



PROG. N° 648

PROGETTO PRELIMINARE -

Comune di



Toring

ACCORDO DI PROGRAMMA EX ART. 27 DELLA LEGGE N.142/90
C.A.A.T. / CENTRO AGRO ALIMENTARE DI TORINO - S.I.T.O. / SOCIETA' INTERPORTO TORINO ORBASSANO
REALIZZAZIONI OPERE INFRASTRUTTURALI STRADA DEL PORTONE
REGOLARIZZAZIONE FOGNATURE IN ZONA MIRAFIORI SUD-OVEST/ COMUNE DI GRUGLIASCO

COSTRUZIONE COLLETTORE DI FOGNATURA LUNGO LA VIA G. C. ANSELMETTI TRA STRADA DEL DROSSO E IL TORRENTE SANGONE - LOTTO II / A -

RELAZIONI SPECIALISTICHE

Società Metropolitana Acque Torino S.p.A.

Sede legale: Corso XI Febbraio, 14 - 10152 Torino TO 1 tel. +39 011 4645.111 - fax. +39 011 4365.575 E-mail: info@smatorino.it Sito web: www.smatorino.it

il Direttore Generale

Dott. Ing. Marco Acri

		ı	1	1	I	
						documento nº:
3						
2						
1						b 01
0	Emissione	Settembre 2009	FOLLIS	ACRI	ACRI	
REV.	DESCRIZIONE	DATA	REDAZIONE	VERIFICA	APPROVAZIONE	

Progettista: Ing. Marco Acri Collaboratori: Geom. Alessandro FOLLIS

Risorse Idriche S.p.A. - Società del gruppo SMAT

Sede legale: C.so XI Febbraio, 14 - 10152 Torino

Tel. +39 011 4645.1250 /1251- fax : +39 011 4645.1252

Capitale Sociale € 1.241.760,00 € i.v.

Codice fiscale-Partita IVA e Registro delle imprese di Torino: 06087720014

E-mail: info@risorseidricheto.it



ATO3 648 RI0235 TANS-PRE-b01.doc
PROGETTO ID R.I. documento

INDICE

1.	PI	remesse	. 2
2.		elazione Idraulica	
į	2.1	Normativa di riferimento	.2
	2.2	Dimensionamento Fognatura bianca	.3
	2.3	Verifica del C.C.B. allo sbocco	.5
	2.4	Verifica e dimensionamento dell'impianto dissabbiatore	8
All	egat	ti:	
	Alle	egato 1 Tabelle di verifica idraulica e planimetria dei bacini colanti	
	Alle	egato 2 Indagine geognostiche	
	Alle	egato 3 Relazione geologica	
	Alle	egato 4 Relazione geotecnica (di riferimento)	
	Alle	egato 5 Relazione di calcolo delle strutture	



Risorse Idriche S.p.A.

Società del Gruppo SMAT C.so XI Febbraio n. 14 10123 Torino

COMUNE DI TORINO



COSTRUZIONE COLLETTORE DI FOGNATURA LUNGO LA VIA G.C. ANSELMETTI, TRA IL TORRENTE SANGONE E LA STRADA DEL DROSSO LOTTO II A

RELAZIONI SPECIALISTICHE

1. Premesse

La presente relazione specialistica contiene la relazione idraulica, la relazione geologica, geotecnica e la relazione di verifica strutturale delle opere in cemento armato.

Considerato che le opere afferenti al presente progetto esecutivo sono relative ad un tratto di fognatura da realizzarsi complessivamente in un'opera a lotti (3) e considerato che la tipologia realizzativa delle opere risulta essere la medesima per tutti i lotti, le valutazioni qui espresse vengono riportate sulla scorta di quanto indagato all'atto della redazione del progetto preliminare, definitivo ed esecutivo del presente Lotto e delle fasi progettuali (preliminare, definitivo ed esecutivo) delle opere afferenti agli altri lotti I dall'ing. Pietro Straiotto della Divisione Ambiente e Mobilità della Città di Torino anche presso l'Ufficio Progettazione dell'Azienda Po – Sangone, ora S.M.A. Torino S.p.A. cui ha partecipato lo scrivente e dallo stesso scrivente.

2. RELAZIONE IDRAULICA

2.1 Normativa di riferimento

- Circolare Ministero LL. PP., n. 13643, del 18.12.1958, "Norme per la progettazione dei lavori relativi alle reti interne di distribuzione degli acquedotti e reti ed impianti di fognature".
- Circolare della Presidenza del Consiglio Superiore dei LL. PP.,n. 11633, del

07.01.1974, "Istruzioni per la compilazione degli elaborati dei progetti di fognatura".

- Deliberazione del Comitato dei Ministri per la tutela delle acque dall'inquinamento, in data 04.02.1977, contenente "Criteri, metodologie e norme tecniche generali di cui all'art. 2, lettere b), d) ed e) della Legge n. 319 del 10.05.1976, recante norme per la tutela dell'acqua dall'inquinamento". Allegato 4.
- Legge del 17.05.1995, n. 172, "Conversione in Legge, con modificazioni del D.L. n. 79 del 17.03.1995, recante modifiche alla disciplina degli scarichi delle pubbliche fognature e degli scarichi civili che non recapitano in pubbliche fognature."
- Decreto Legislativo dell'11 maggio 1999, n.152, "Disposizioni sulla tutela delle acque dall'inquinamento e recepimento della Direttiva 91/271/CEE concernente il trattamento delle acque reflue urbane e della Direttiva 91/676/CEE relativa alla protezione delle acque dall'inquinamento provocato dai nitrati provenienti da fonti agricole".

2.2 Dimensionamento Fognatura bianca

Per il calcolo della portata meteorica al colmo di piena si è fatto riferimento al metodo del volume d'invaso nell'ipotesi di funzionamento della rete autonomo e sincrono, cioè i vari tratti si riempiono contemporaneamente senza che si verifichino rigurgiti, (funzionamento autonomo), è che il grado di riempimento di ogni tratto sia coincidente con quello degli altri (funzionamento sincrono).

In tali ipotesi, il coefficiente udometrico "u" (contributo unitario di piena) è stato valutato con la seguente formula:

$$u = 2168 \cdot \frac{n \cdot (\Phi \cdot a)^{\frac{1}{n}}}{\left(w^{\frac{1}{n}-1}\right)}$$

dove:

- n = esponente della legge di pioggia;

- a = coefficiente della legge di pioggia (m/h)

- ϕ = coefficiente di afflusso alla rete

- w = volume di invaso specifico = W / A

essendo:

- A = area colante sul generico tratto

- W = volume di invaso totale del generico tratto.

Il volume di invaso totale è dato dalla somma :

$$W = W_p + W_m + W_{pi}$$

 W_p = volume di invaso proprio del generico tratto;

 W_m = volume di invaso dei tratti a monte;

 W_{pi} = volume di piccoli invasi.

Scelta del coefficiente di afflusso alla rete

Il coefficiente di afflusso alla rete (ϕ) rappresenta il rapporto tra la portata meteorica netta e quella lorda, intendendo per portata meteorica netta quella di pioggia depurata dalle aliquote dovute ai seguenti fattori:

- evaporazione;
- traspirazione delle piante;
- infiltrazione e percolazione nel sottosuolo.

Tale coefficiente è funzione dei seguenti parametri:

- evapotraspirazione;
- permeabilità e pendenza del bacino;
- copertura vegetale;
- intensità di pioggia.

Poiché le piogge che interessano ai fini dei calcoli idraulici delle reti di fognature bianche sono quelle di breve durata e forte intensità, l'evapotraspirazione riveste un ruolo modesto anche nei periodi più caldi, per cui, nei calcoli che seguiranno tale influenza verrà trascurata; d'altra parte il coefficiente d'afflusso varia con il tempo durante e dopo l'evento meteorico, considerando, però, che la portata al colmo di piena non dipende dal valore medio, ma da quello di punta, è a questo valore che di seguito si farà riferimento.

La determinazione del coefficiente di afflusso rappresenta il punto di maggiore incertezza nello studio di una fognatura pluviale.

Non solamente è difficile dare il valore di tale coefficiente ad una area di caratteristiche omogenee, ma soprattutto è difficoltoso attribuire un valore medio del coefficiente di afflusso nel caso di bacini eterogenei e di elevate dimensioni.

Nel caso particolare, data la elevata dimensione dei bacini, e la loro eterogeneità, si è scelto un valore di f variabile, a seconda delle caratteristiche dei bacini, da 0,27 a 0.35.

Per i tratti di valle e comunque laddove vi fossero delle confluenze, il coefficiente di afflusso è stato valutato facendo una media pesata alle aree secondo la formula:

$$\Phi_{m} = \frac{\sum_{i} \Phi_{i} \cdot A_{i}}{\sum_{i} A_{i}}$$

Legge di pioggia

Nei calcoli delle portate al colmo di piena si è adottata la curva di possibilità pluviometrica, per un tempo di ritorno di 5 anni, assunta a rappresentare le precipitazioni critiche per la rete di fognatura bianca di Torino:

$$h = 42 t^{0.22}$$

dove:

h = altezza di pioggia in mm;

t = durata della pioggia in ore.

Per tenere conto del fattore area sull'apporto meteorico alla rete, si esprimono le altezze di pioggia ragguagliate con una relazione del tipo:

$$h = a' t^{n'}$$

con:

$$a' = a \cdot \left[1 - 0.052 \cdot \frac{A}{100} + 0.002 \cdot \left(\frac{A}{100} \right)^2 \right]$$

$$n' = n + 0.0175 \cdot \frac{A}{100}$$

essendo A l'area del bacino generico espressa in ettari.

Volumi di piccoli invasi

Il volume totale di invaso W corrispondente ad una certa sezione di fogna risulta composto dai volumi di invaso di tutto il sistema di fogne che confluiscono in tale sezione, più tutte le capacità di invaso minori che costituiscono il volume di *piccoli invasi*.

Tale volume rappresenta la capacità di invaso dovuta:

- al terreno (velo idrico distribuito su tutta la superficie colante sul generico tratto);
- alle acque invasate nelle piccole capacità della rete (pozzetti, fognoli privati);
- agli invasi superficiali (cunette, grondaie).

Per le fognature si può assumere, per i piccoli invasi, un valore da 30 a 50 m³ ad ettaro di bacino, in funzione soprattutto delle caratteristiche morfologiche e della pendenza, nel nostro caso si è scelto un valore di 40 m³/ha.

Calcolo delle caratteristiche idrodinamiche

Per il calcolo delle caratteristiche idrodinamiche in condizione di moto uniforme, sia per la fognatura nera che bianca, ci si è riferiti alla formula di Gaukler e Strickler:

$$v = K \cdot R^{\frac{2}{3}} \cdot j^{\frac{1}{2}} \qquad (m/s)$$

ove $K = coefficiente di scabrezza (m^{1/3}/s);$

R = il raggio idraulico (m);

i = pendenza del fondo.

Sono state adottate sezioni di tipo circolari ed ovoidali, realizzate in opera o prefabbricate in conglomerato cementizio armato turbo-centrifugato, per cui si è adottato un coefficiente di scabrezza:

$$K = 74 m^{1/3}/s$$
 (conglomerato cementizio lisciato)

I calcoli sono stati eseguiti facendo riferimento ai seguenti limiti di velocità:

 $V_{max} = 5,00$ m/s (per evitare corrosione dei manufatti)

V_{min} = 0,50 m/s (per evitare depositi di materiali putrescibili)

I risultati ottenuti si riportano nelle tabelle allegate (allegato 1).

2.3 Verifica del C.C.B. allo sbocco

Nella presente relazione si esaminerà l'influenza che il nuovo collettore avrà, dal punto di vista idraulico, allo sbocco sul torrente Sangone.

L'opera è realizzata in modo da evitare il danneggiamento del corso d'acqua ricettore (torrente Sangone); allo scopo si è prevista la realizzazione di un bacino di

dissipazione a risalto idraulico (manufatto di salto), ove dissipare parte dell'energia cinetica, in modo da limitare ulteriormente la velocità e l'energia cinetica allo sfocio.

Le condizioni al contorno considerate riguardano la portata al colmo di piena del collettore in progetto che risulta di 11,09 m³/s ed il livello idraulico del torrente Sangone di cui si sono considerate le due condizioni limite:

- regime di magra, quota del pelo libero di 234,37 m s.l.m.
- regime di massima piena, quota del pelo libero 237,07 m s.l.m.

In regime di magra del corpo ricettore lo sfocio della corrente in Sangone avverrà previa una dissipazione di energia cinetica tramite un bacino di dissipazione, ottenuto associando un salto verticale di m 1,00.

Il tutto è chiaramente descritto nelle tavole progettuali allegate alla presente.

La verifica dell'efficacia del bacino di dissipazione, coincide con l'accertare il reale formarsi del risalto idraulico all' interno del bacino di dissipazione. Occorre quindi controllare che la quantità di moto totale della corrente lenta sia maggiore od uguale di quella della corrente veloce al piede del salto, ed accertarsi che il bacino di dissipazione sia sufficientemente lungo, affinché l'agitazione violenta, dovuta al risalto, possa praticamente spegnersi nel percorso fino al termine della platea.

La corrente liquida in arrivo all'opera di dissipazione presenta le seguenti caratteristiche idrodinamiche (sezione rettangolare):

- portata massima	Q_{max}	11,09	mc/s
- tirante idrico	h _{max}	1,67	m
- velocità	V_{max}	2,64	m/s

La portata specifica per unità di larghezza della soglia di salto risulta:

$$q = \frac{Q_{max}}{L} = \frac{11.09}{2.50} = 4.436 \quad \frac{m^3}{s \cdot m}$$

dove:

 $Q_{max} = portata massima$

L = larghezza della soglia di salto.

La sezione del dissipatore è di tipo rettangolare con le seguenti dimensioni:

- larghezza: 2,50 m - altezza 3,50 m

- materiale conglomerato cementizio armato.

Per determinare le caratteristiche idrauliche del salto e del risalto, si è fatto riferimento a relazioni adimensionali ottenute sperimentalmente da W. Rand, che definiscono i parametri di interesse in funzione del fattore di salto:

$$F_S = \frac{q^2}{g \cdot Y_S^2}$$

dove:

g = accelerazione di gravità

 $Y_s = altezza del salto$

Con riferimento ai simboli della figura 1, si hanno:

L_s = lunghezza della zona aerata $4,30 \cdot Y_s \cdot F_s^{0,27}$ h_o' = tirante alla chiamata allo sbocco $1,00 \cdot Y_s \cdot F_s^{0,22}$

h₁ = tirante della corrente veloce al piede del salto
$$0.54 \cdot Y_s \cdot F_s^{0.42}$$

h₂ = tirante della corrente lenta $0.54 \cdot Y_s \cdot F_s^{0.27}$

Si calcola quindi la lunghezza del risalto:

$$F_{r,1}$$
 = numero di Froude corrente veloce = $\frac{v_1}{(g \cdot h_1)^{0.5}}$

dal diagramma della figura 2 si ricava in funzione del numero di Froude della corrente veloce, il rapporto L_r/h_2 e la tipologia del risalto.

Si sono infine valutate le quantità di moto della corrente veloce (M_1) e di quella lenta (M_2) , verificando che fosse M_2 maggiore od uguale ad M_1 .

Tali verifiche sono state effettuate per un campo di portate che va da 3 m³/s alla portata massima di 11,09 m³/s.

I risultati ottenuti sono riportati nelle tabelle allegate.

Da tali risultati si evince che la lunghezza del bacino di dissipazione risulta essere sufficiente, e d'altra parte che risultando la M_2 prossima in tutti i casi ad M_1 il risalto si verifica al piede del salto.

In regime di massima piena l'opera di dissipazione risulta sommersa, pertanto in tal caso si può ipotizzare uno "sbocco brusco in un bacino a livello idrico noto".

Essendo il livello idrico del Sangone inferiore a quello corrispondente all'altezza idrica di stato critico nella sezione terminale, si può ritenere che nelle immediate vicinanze della sezione di sbocco, si istituiscono condizioni di stato critico, infatti:

livello di massima piena torrente Sangone
 livello stato critico nella sezione terminale
 237,07 m s.l.m.;
 238,04 m s.l.m.;

pertanto la velocità allo sbocco risulta:

$$V_c = 3.40 \text{ m/s}$$

Dall'elaborazioni effettuate risulta che la velocità della corrente nella sezione di sbocco dell'opera in progetto, nel torrente Sangone, risulta essere:

- in regime di magra m/s 1,214 - in regime di piena m/s 2,293

quindi in entrambi i casi dell'ordine di grandezza della velocità ordinaria in un alveo torrentizio.

A valle dell'opera di dissipazione la corrente assume le caratteristiche idrodinamiche del moto uniforme, presentando nel tratto terminale un'ulteriore dissipazione di energia cinetica per la presenza di un "rompitratta "costituito da paletti opportunamente sagomati in cls armato.

All'ingresso in alveo la sezione del canale si allarga indefinitamente e pertanto la velocità media tenderebbe a valori trascurabili, salvo il verificarsi di locali fenomeni di scorrimento incanalato entro il materiale sciolto.

Tali fenomeni rientrano nella normale dinamica di un alveo torrentizio e si provvederà alla risistemazione del fondo ad ogni evento di piena.

In base alle considerazioni sopraesposte, si deve ritenere che la soluzione

progettuale proposta abbia una influenza trascurabile sul regime idraulico del corpo ricettore.

Per far fronte ad eventuali erosioni localizzate del fondo e delle sponde, non prevedibili teoricamente, si è previsto la protezione delle sponde e del fondo dell'alveo in prossimità dello sfocio con rivestimento in massi naturali così come descritto nella presente relazione.

2.4 Verifica e dimensionamento dell'impianto dissabbiatore

Le reti di fognatura hanno l'inconveniente di trasportare, in caso di pioggia, una grande quantità di sabbia e terriccio, la cui separazione delle sabbie è consentita da specifici manufatti chiamati dissabbiatori. In essi la velocità dell'acqua da depurare viene sufficientemente ridotta così da permettere una decantazione dei granelli di sabbia relativamente pesanti.

Per sabbie si intendono oltre a quelle di natura silicea, altri inerti quali le polveri minerali (quelle di carbone e di cemento, piccoli detriti di laterizi, polveri metalliche, ecc.) e anche altri materiali che non hanno origine minerale, purché non putrescibili.

Dai dissabbiatori vengono di solito eliminate le sabbie con granulometria maggiore di 0,20 mm e ciò si può ottenere assumendo, per la velocità, V = 0,30 m/s.

Per la sedimentazione valgono le leggi di Stokes, Hazen e Schultz. Il dato fondamentale è la superficie in rapporto alla portata delle acque.

Altro dato fondamentale per il dimensionamento dei dissabbiatori è, oltre alla velocità della corrente nel canale **(V)**, la velocità di caduta **(Vc)** della particella.

Nel diagramma allegato, determinato sperimentalmente, sono indicate le velocità di caduta in funzione di diversi diametri delle particelle di sabbia, a 18 °C per un peso specifico y=2.650 kg/mc, che è il peso delle sabbie presenti nelle acque bianche.

Il dissabbiatore a flusso orizzontale, sarà costituito da un canale a sezione rettangolare m. 2,00x2,50, rastremato verso il basso, il fondo dei quale funge da deposito delle sabbie. La velocità ottimale che consente la separazione delle sabbie con granulometria > di 0,2 mm, come sopraspecificato, è di 0,3 m/sec. e tale velocità è sempre da rispettare.

La separazione delle sabbie, nell'impianto in oggetto, avverrà esclusivamente per gravità.

Le condizioni a valle del dissabbiatore non debbono influenzare il regime idraulico all'interno dello stesso; ciò si è ottenuto apportando, a valle, una gradinata in modo che, subito a valle del dissabbiatore, si abbia una brusca variazione in aumento della velocità e di nuovo una riduzione di velocità, quindi passando da un regime lento a veloce e da veloce nuovamente a lento.

La pulizia e l'asportazione delle sabbie avverrà nei periodi di scarsa piovosità.

Sono indicati:

- con L la lunghezza del canale;
- con H l'altezza d'acqua;

e, per la più piccola particella che esaminiamo,

- con V la velocità di trascinamento;
- con **Vc** la velocità di caduta;
- con Vs la velocità di sedimentazione.

Per la separazione della particella dall'acqua occorre che il tempo di sedimentazione (ts) sia uguale al tempo (t) che impiega a percorrere la lunghezza della vasca, ossia ts = t. Avremo che:

$$\frac{V}{V_C} = \frac{L}{H}$$
 da cui $L = \frac{V}{V_C} \cdot H$

Essendo V = 0,3 m/sec. la velocità che determina la separazione delle particelle superiori a 0,2 mm di diametro e, determinando dal diagramma allegato (vedi all. n.1) che a tale diametro corrisponde una velocità di caduta V_c = 2,4 cm/s = 0,02 m/s, avremo la seguente relazione:

$$L = \frac{0.30}{0.02} \cdot H = 15 \cdot H$$
 (m)

E' determinata quindi la lunghezza del canale in funzione dell'altezza H.

Detti inoltre:

- Qmax (mc/s) la portata max delle acque meteoriche;

- B (m) la larghezza media del canale (valore fissato)

avremo che:

$$\begin{split} H &= \frac{Q_{max}}{V \cdot b} = \frac{Q_{max}}{0.30 \cdot b} \qquad \qquad \text{(m)} \\ L &= 15 \cdot H \qquad \text{(m)} \\ S &= b \cdot L \qquad \qquad \text{(mq)} - \text{sezione longitudinale del canale} \\ V_C &= \frac{Q_{max}}{S} \qquad \qquad \text{(m/s)} \end{split}$$

Il dissabbiatore è stato dimensionato nell'ipotesi che il volume delle acque di prima pioggia raggiunga all'imbocco finale del collettore una portata massima pari a $Q_{max} = 1,50$ mc/s, a cui corrisponde un <u>tirante idraulico di 60 cm</u> e una velocità di arrivo pari a $V_{a} = 1,65$ m/s (considerando la pendenza del collettore i =2‰).

Il bacino di dissipazione, a monte dell'impianto, attenuerà la forza cinetica delle acque, riducendo la velocità iniziale di 1,65 m/s a valori prossimi a 0,55 m/s come risulta dalle seguenti verifiche:

b = 2,50 m (larghezza del bacino)
i = 0,0002 (pendenza fondo bacino)
Q = 1,50 mc/s (portata di calcolo)

$$K_s$$
 = 55 m^{1/3}/s (coefficiente di scabrezza)
Q = $v \cdot K_s \cdot R^{\frac{2}{3}} \cdot j_f^{0.5}$ (mc/s)

si ottengono i seguenti risultati:

h = 1,12 m (tirante idraulico) V = 0,55 m/s (velocità) L'adozione del setto all'ingresso della vasca ha la funzione di abbattere ulteriormente l'energia cinetica della corrente fluida all'ingresso dell'impianto e di ricondurre la velocità a valori prossimi a quella imposta nel dissabbiatore pari a 0,30 m/s.

Calcolo della lunghezza del dissabbiatore

Nel caso specifico avremo quindi:

```
    V = 0.30 m/s (velocità imposta)
    b = 2,50 m (larghezza del manufatto)
    V<sub>c</sub> = 0,02 m/s (velocità di caduta delle particelle solide)
    Q<sub>max</sub> = 1,50 mc/s (portata massima acque di prima pioggia)
```

e i seguenti risultati finali:

```
H = 1,50 / 0,30 * 2,50 = 2,00 m (altezza utile dissabbiatore)
L = 0,30/0.02 * H = 0.30/0.02 * 2,00 = 30 m (lunghezza dissabbiatore)
```

Dimensioni e forma del suddetto manufatto sono desumibili dai disegni particolari di progetto.

ALLEGATI

CALCOLO IDRAULICO COLLETTORE STRADA DEL PORTONE - VIA ANSELMETTI

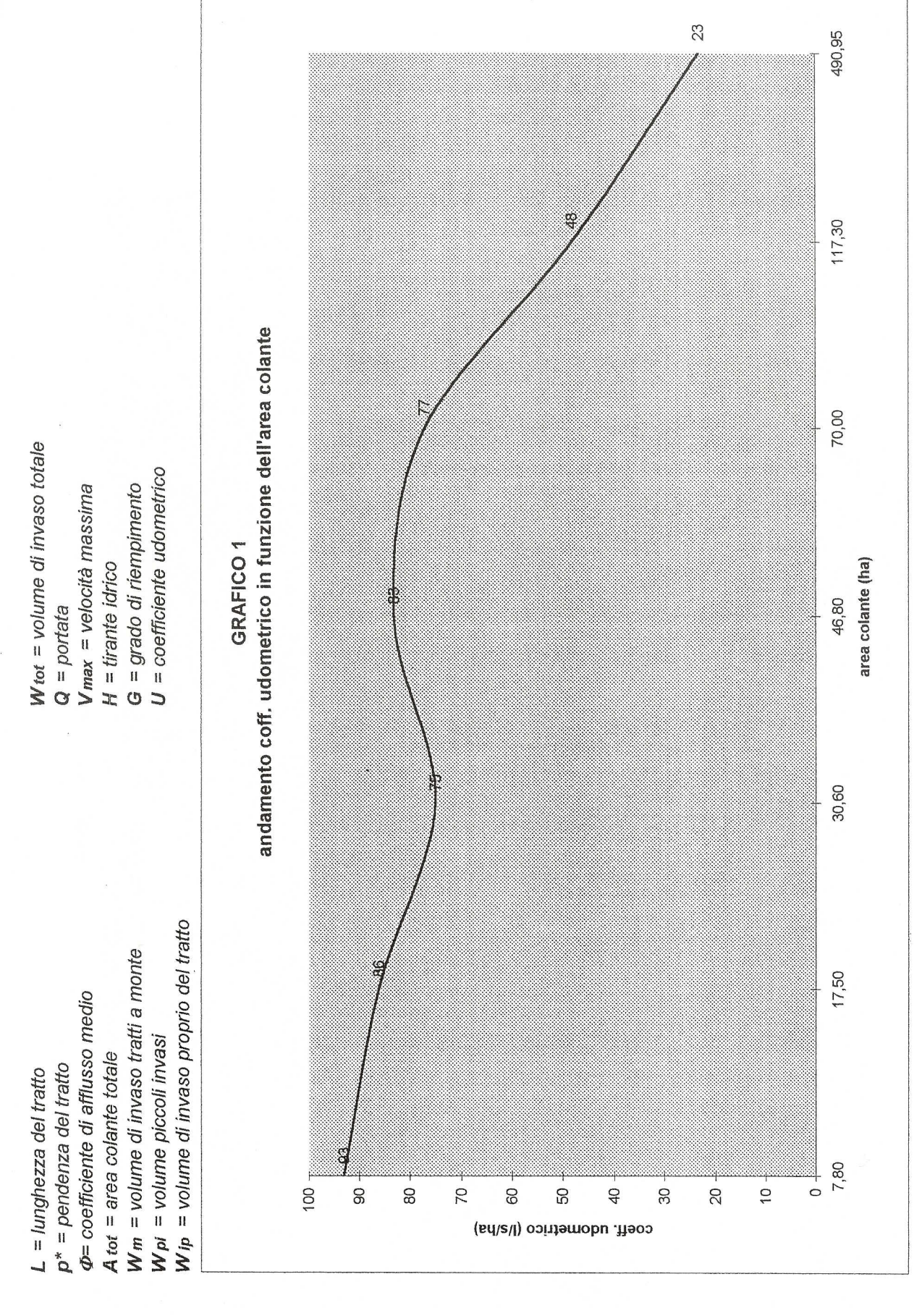
bacino totale 490,95 ha

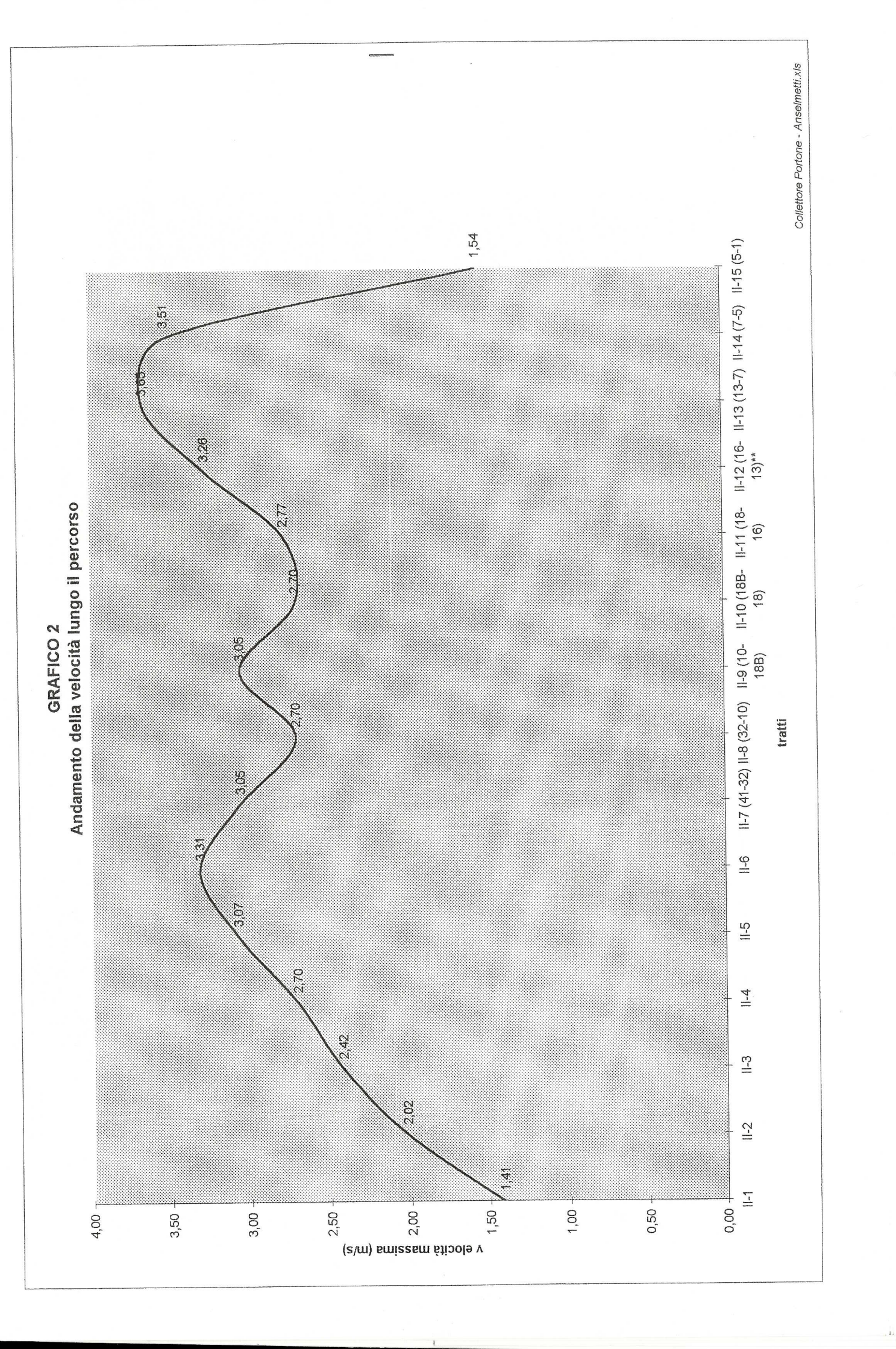
ks = 74 wpi =40 m3/ha

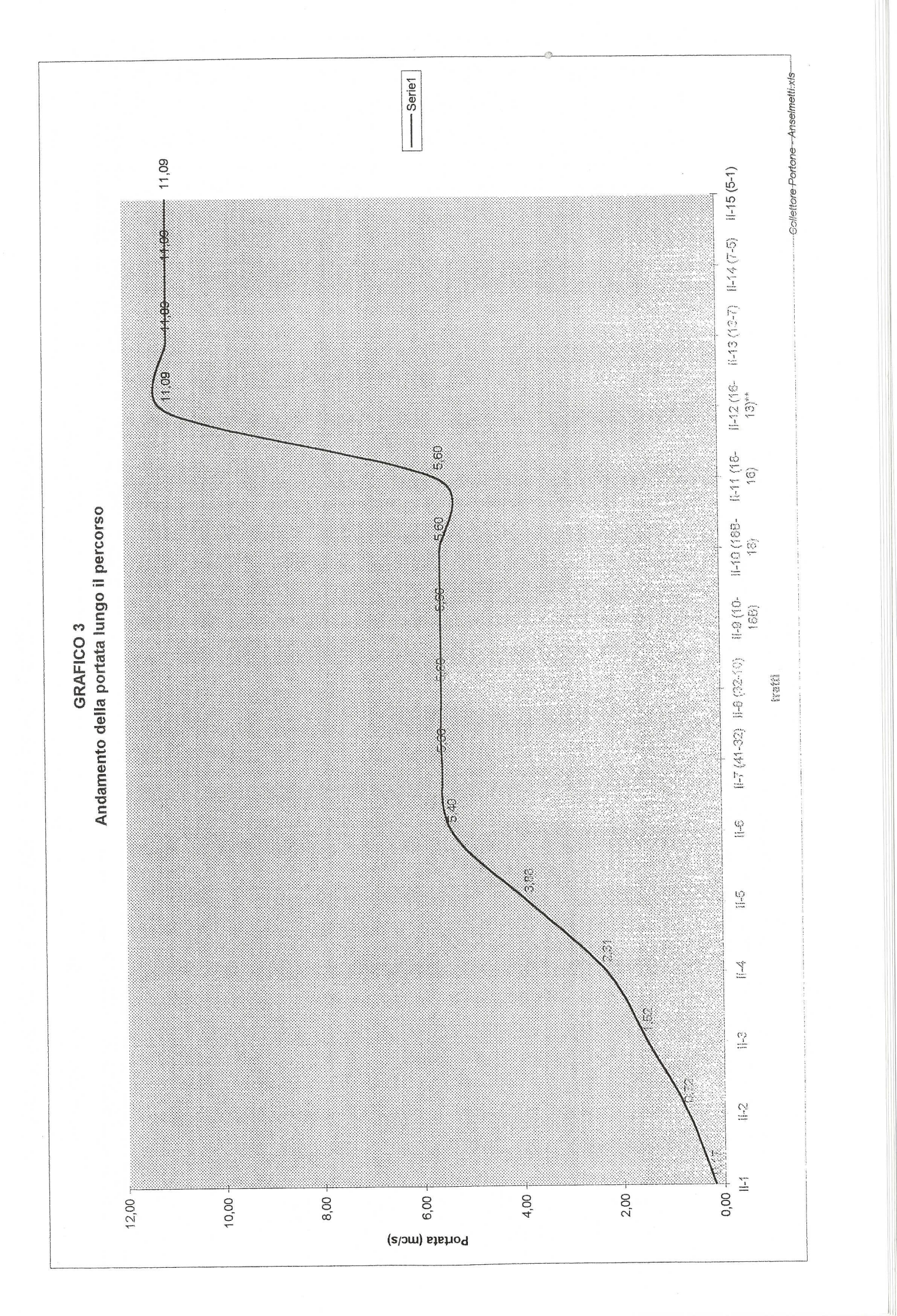
(m3) 98 42,00 0,22 454 42,00 0,22	ioi Win Wtot	MA	_
42,00	3) (m3)	Atot will wp	D W
42,00	8 30	9 0	0.30 1.
	112	30 37	_
1039 42,00 0,22	197	17,50 142 700	0,30 17,
1831 41,00 0,22	268	30,60 339 1224	↓
2876 41,00 0,23	397	46,80 607 1872	1
4517 40,00 0,23	00 713	70,00 1004 280	-
10888 39,00 0,24	2765	117,30 3431 4692	0,35 117
39,00 0,24		117,30	0,35 117
39,00 0,24		117,30	0,35 117
39,00 0,24		117,30	0,35 117
39,00 0,24		117,30	0,35 117
27217 35,00 0,28	538 1564	490,95 6015 1963	0,27 490
39,00 0,24		490,95	0,27 490
39,00 0,24		490,95	0,27 490
39,00 0,24		490,95	0,27 490
774 42,00 0,22	134	13,50 100 540	0,30 13
799 41,00 0,22	159	24,50 259 540	0,31 24
2518 41,00 0,23	498	28,00 500 1520	0,34 28
3181 41,00 0,23	68 415	998 17	0,35 44
3606 41,00 0,23	301	47,30 1413 1892	0,35 47

^{*} in prima approssimazione si è considerata la pendenza del terreno. ** immissione Strada del Portone a valle del Sottopassaggio Ferroviario ha 90,30 (diametro cm. 150) ** immissione Corso Marche ha 283,35 (diametro cm. 180)









CALCOLO IDRAULICO COLLETTORE STRADA DEL PORTONE - VIA ANSELMETTI

bacino totale 490,95 ha

ks = 74 wpi =40 m3/ha

	ם	(I/sxha)	97	93	86	75	83	77		48					3	23					88	85	84	10	71	59
070	ග	(%)	45	47	54	49	50	61		89	92	89	92	4.5	2	65	09	62	7.6		99	65	G2	3 6	70	57
RISULTATI DEL CALCOLO	H	(m)	0,27	0,47	0,65	0,74	06'0	1,10		1,22	1,37	1,22	1,37	1 00	1,00	1,63	1,49	1,54	1,91		0,79	0.97	4 40	1, 6	1,12	1,03
ATI DEL	Vmax	(s/w)	1,41	2,02	2,42	2,70	3,07	3,31		3,05	2,70	3,05	2.70	1110	7,11	3,26	3,65	3,51	1,54		1,49	1.72	4 03	72.	1,92	1,93
RISULT	Ø	(m3/s)	0,17	0,72	1,52	2,31	3,88	5,40		5,60	5,60	5,60	5.60		2,00	11,09	11,09	11,09	11,09		2,00	2.07	0.70	, c	3,19	2,83
	sezione	(cm)	09 Ø	Φ 100	Ø 120	Ф 150	Φ 180	Φ 180		Ø 180	Ø 180	0810	0 180		057.0	\$250	0570	\$ 250	6250	department of the control of the con	\$ 120	057 00	SOL SP	50× 5	0.180	Ø 180
ragguagliata	"Lu		0,22	0,22	0,22	0,22	0,23	0,23		0,24	0,24	0,24	77.0		0,24	0.28	700	6.24	0,24		0,22	000		0,23	0,23	63.0
pioggia ra			42,00	42,00	42,00	41,00	41,00	40,00		39,00	39,00	39,00	00.08	3	0 38 8	35.00	36,00	00.88	30.00		42,00	41.00		41.00	47.00	44,00
	Wtot	(m3)	98	454	1039	1831	2876	4517		10888						27217					774	700	22	2518	3,191	3606
	Wip	(m3)	30	112	197	268	397	713		2765						1564					134	, r	2	498	4.5	301
	Woi	(m3)	89	312	700	1224	1872	2800		4692						19638					540	2 2 2	Otto	1520	1768	1862
	Wm	(m3)	0	30	142	339	209	1004		3431						6015					200	020	7.33	200	80%	24.13
	Afot	(ha)	1.70	7.80	17.50	30.60	46.80	70,00		117.30	117.30	117.30	000000	177,55	117,30	490,95	490.25	A0.004	76 007	The second second	CC	200 X 50	00.92	28,90	44,20	67.30
	Æ	+	0.30							0 35	0.35		-	0,30	0,38	0,27	260	mojoren	our frames	- Jacon	08.0		6.03	0,3	0,35	0.33
TPATTO	2 0	(%)	0.50*	0.50*	0.50*	0.50*	0.50*	0.50*		OF U	0 30	13 A.C.		0,30	0:30	0.30	OFO	2 2 2	1 8	24,7		7 C		 O	φ. Ο	100
TEI TE/		(m)	20,000	250	250	250	250	389		VOV			_	232	100 Kg	460	ļ.,		andrew		GUC	2/10	707	8	282	000
OABATTEBIETICUE D			Strada del	Dortone	Monte del	Softonassagginio	Ferroviario			044050000000000000000000000000000000000	trafficial progetto	Taca or second	onaffend in men	tratii in progetto	tratfi in progetto	PERMIT IN PROPERTY	CHOOCH HISTORY	MANUAL MANUAL CONTRACTOR OF THE PROPERTY OF TH	LECTION OF CONTRACTOR OF CONTR	HELL MINISTER	And the case who was a second contracted property of the party of the case of	LACATOR CONTRACTOR CON	The state of the s	secondario	mandamentaria i piet to del proposa del	والمستحمد والمستركة والمراجع فيهاجه والمراجع فيتمام والماء والمراجع والمتراجع والمتراج والمتراجع والمتراج والمتراجع والمتراج والمتراجع والمتراجع والمتراجع والمتراجع والمتراجع والمتراجع و
F < 0 × 0	ANA CANA	tratto	7-11	-==	1-7	2 =	7-11		2	+	11.0 (92.40)	-		-10 (18B-18)	11-11 (18-16)	11-12 (16-13)**			ne free	25002	200	7-113		8-18	3-313	

^{*} in prima approssimazione si è considerata la pendenza del terreno.

^{***} immissione Strada del Portone a valle del Sottopassaggio Ferroviario ha 90,30 (diametro cm. 150) *** immissione Corso Marche ha 283,35 (diametro cm. 180)

W tot = volume di invaso totale

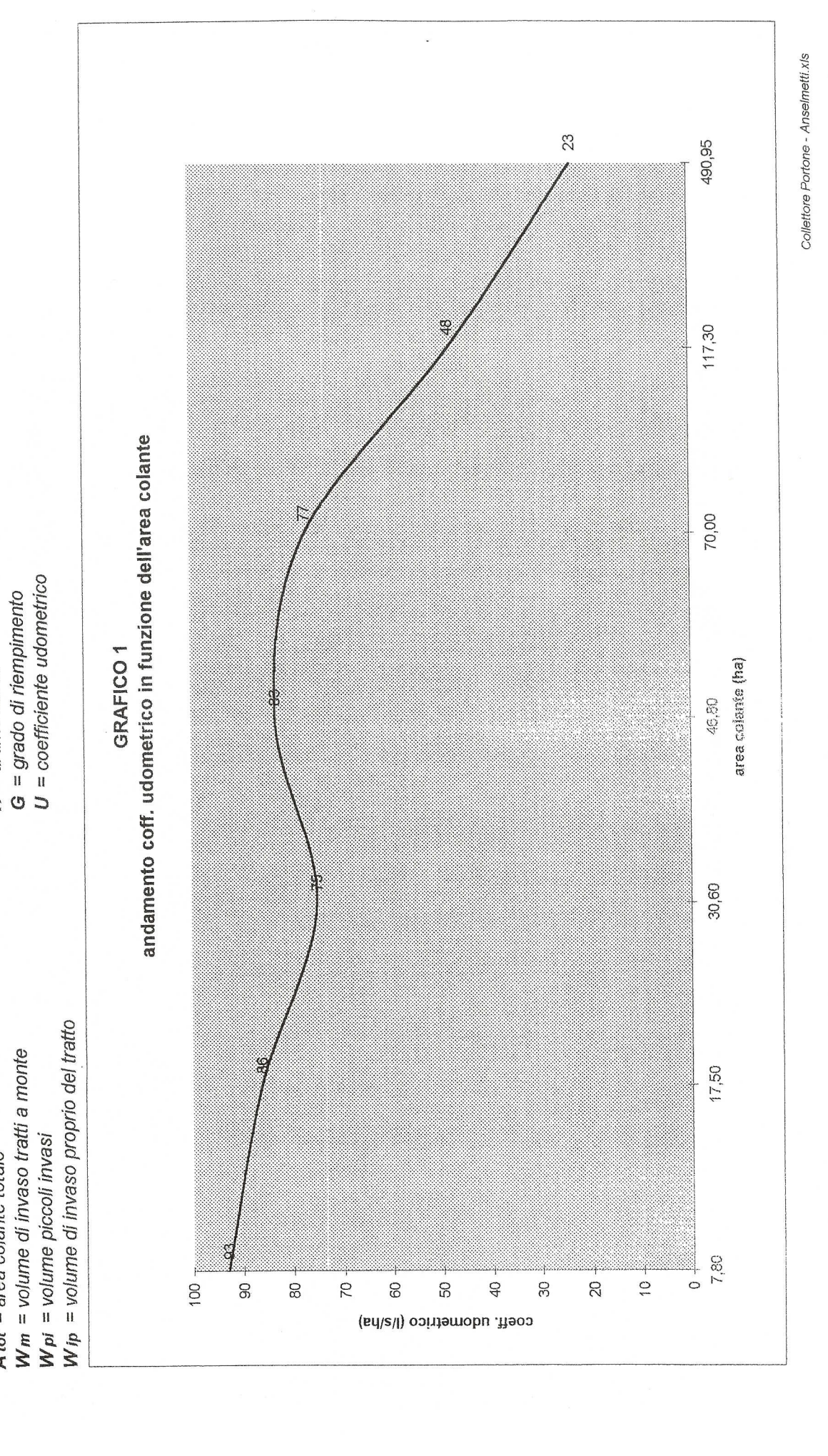
V max = velocità massima

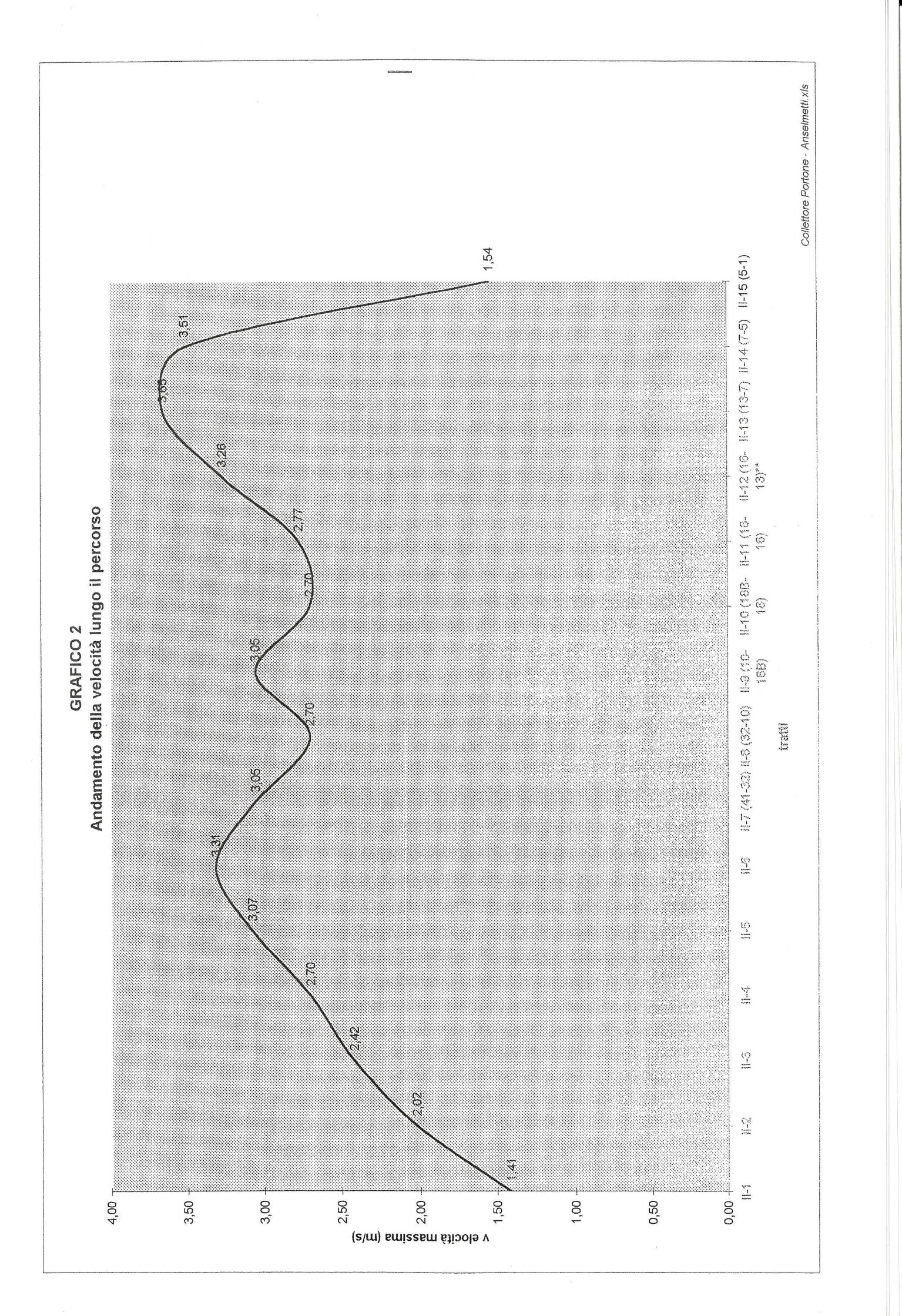
Ф= coefficiente di afflusso medio

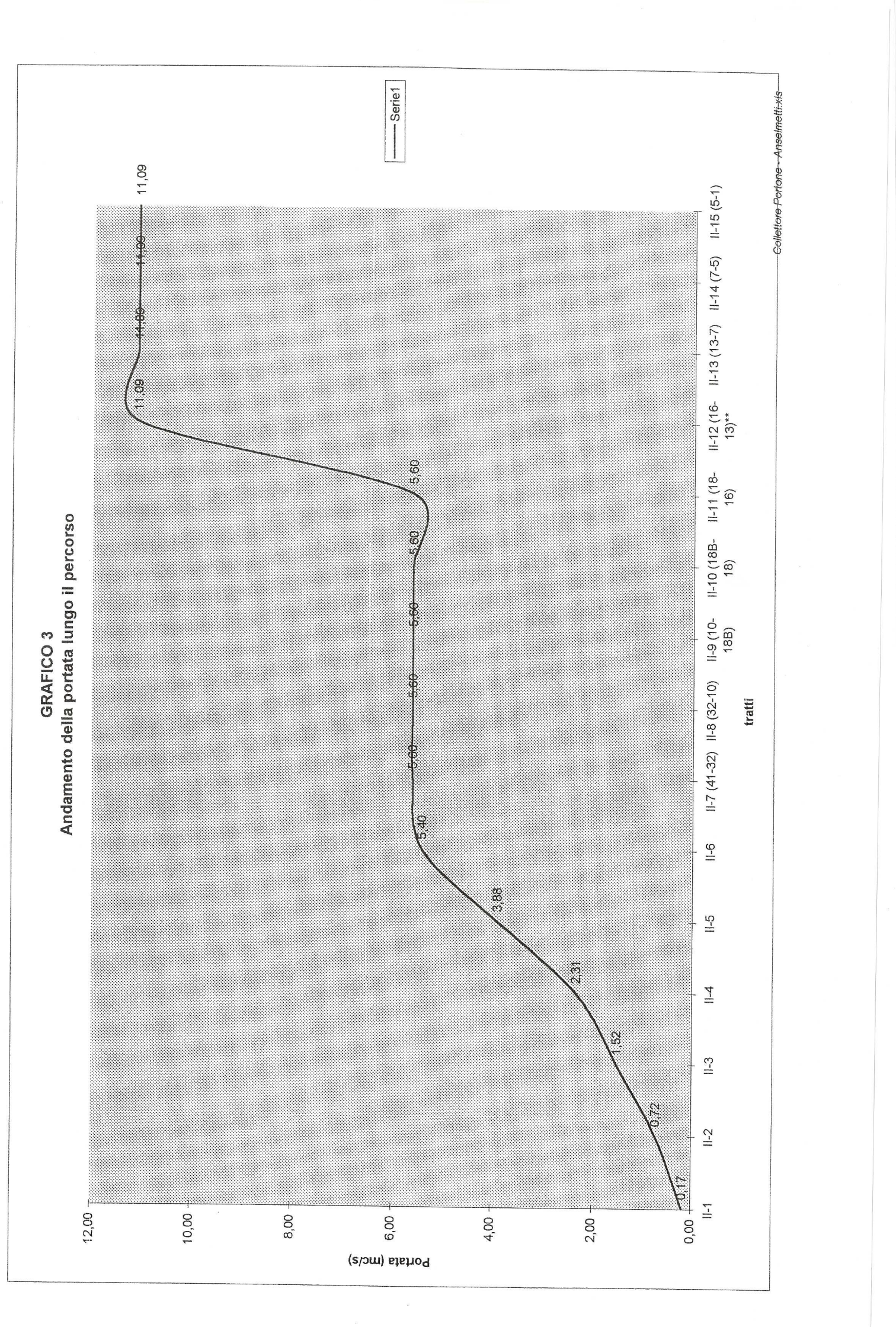
L = lunghezza del tratto $p^* = pendenza del tratto$ A tot = area colante totale

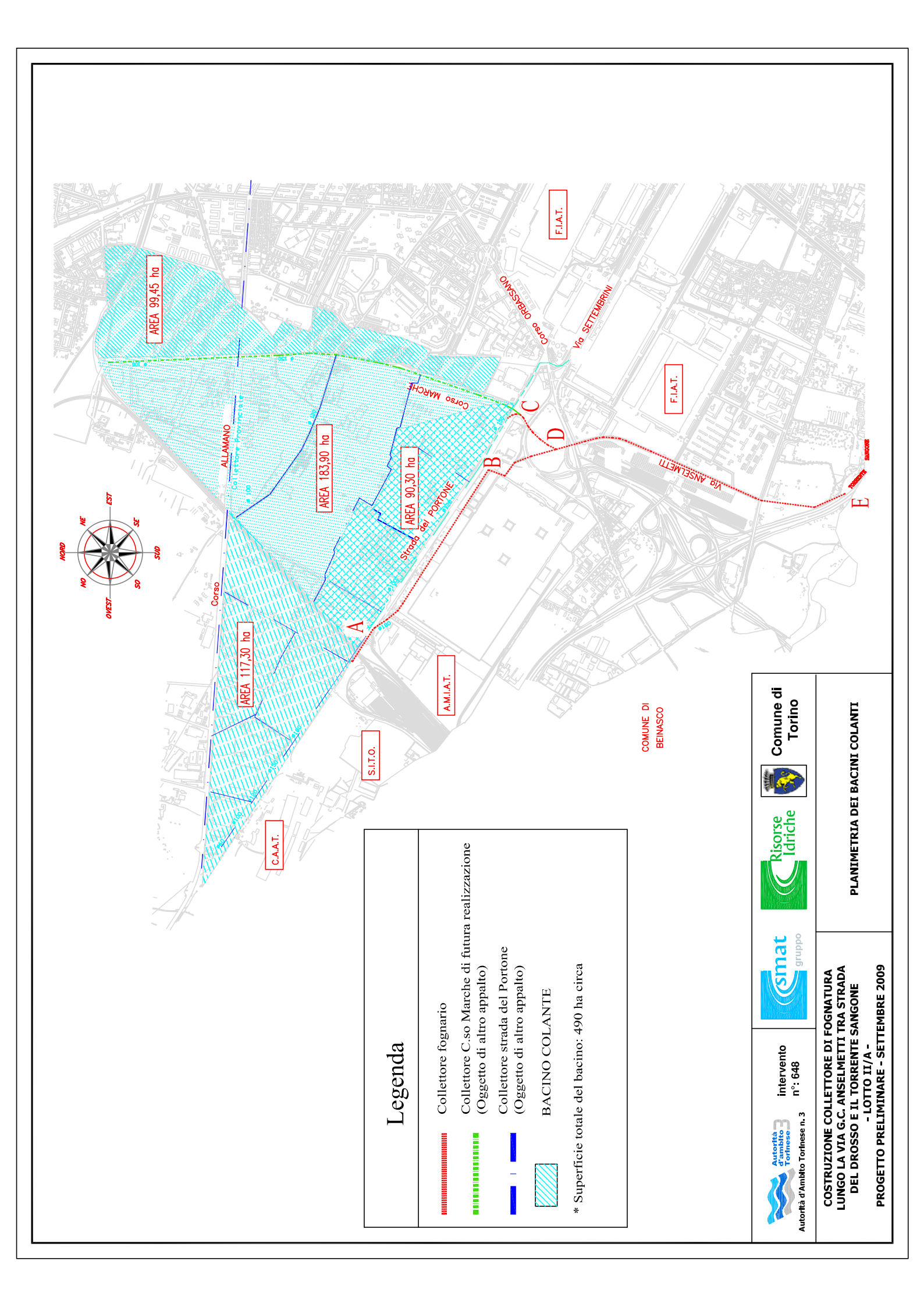
Q = portata

H = tirante idrico









CITTA' di TORINO

SETTORE TECNICO IV° - PONTI, ALVEI FLUVIALI, FOGNATURE

COSTRUZIONE COLLETTORE BIANCO in STRADA del PORTONE e Via ANSELMETTI



INDAGINI GEOGNOSTICHE

Novembre - Dicembre 1997



Geolecno s.t. COMMITTENTE: Città di Torino

SONDAGGIO N. S1

LOCALITA': Torino - via Anselmetti

COMMESSA N. 70/97

metodo perforazione: carot. continuo

diam. perf.: 101/127

RCQ: Dr. F. Bordignon

quota inizio: p.c.

data: dal 11/11/97al 13/11/97 RCN: M. Tomaino

Data di esecuz.	Rivestimento	Falda	Profondita'	Stratigrafia	Scala 1:150	Descrizione terreno	Campioni	® Carotaggio	Manovre carot.	Pocket	S.P.T.	Piez. tubo aperto
11/11/97			0.15 - 1.40 - 3.40 - 4.40	20.70 00 00 00 00 00 00 00 00 00 00 00 00 0	1 2 3 4 5	Terreno di riporto costituito da sabbia media limosa, localmente limo sabbioso grigio marrone umido con ghiaia (D max 3 cm) poligenica subangolare. Limo sabbioso marrone rossiccio debolmente umido da consistente a molto consistente con rara ghiaia eterometrica (D max 4 cm) poligenica subarrotondata. Sabbia media e grossa limosa da nocciola rossiccio a nocciola ocra debolmente umida e ghiaia eterometrica (D max 4 cm) poligenica subangolare. Ghiaia eterometrica (D max 4 cm) poligenica subarrotondata e sabbia media e grossa limosa, localmente sabbia e limo, nocciola ocra debolmente umida addensata.			- 0.60 - - 1.60 - - 2.40 - - 3.00 - - 3.40 - - 4.40 -		- 8-13-17	\\\\\\\\\\\\\\\\\\\\\\\\\\\\\\\\\\\\\\
	127		- 7.00 - 11.00		8 9 10 11	Conglomerato poligenico da parzialmente cementato a ben cementato. Ghiaia eterometrica (D max 4 cm) poligenica subarrotondata e sabbia media con limo, localmente limo sabbioso, ocra umida. Si segnala la presenza di tracce di cementazione dei clasti di maggiori dimensioni. Ghiaia eterometrica (D max 4 cm) poligenica subangolare e sabbia media limosa marrone bruno rossiccio debolmente umida. Si segnala la presenza di tracce di ce-			- 6.70 - - 7.50 - - 8.00 - - 9.00 -		- 11-18-29 - 6-9-14	Walind Waling William Control
13/11/97			- 15.00 ·		13 14 15 16 17 18	Ghiaia eterometrica (D max 3 cm) poligenica subangolare molto addensata e sabbia media e grossolana con limo marrone grigiastro, umida. Si segnala la presenza di tracce di cementazione dei clasti di maggiori dimensioni. Ghiaia eterometrica (D max 6 cm), qualche ciottolo (pot. max 10 cm), poligenica subarrotondata e sabbia media limosa, localmente limo sabbioso nocciola ocra, debolmente umida, molto addensata. Si segnala la presenza di tracce di cementazione dei clasti di maggiori dimensio-	- 14.00 - A - 14.50 - - 16.50 - - 17.00 -		-15.00- -16.00- -17.00- -18.00-		- 33-R11 ·	TITALITATION TO THE TAXABLE TO THE T
		1	- 19.80 - 20.30 - 21.50		20 21 22	Limo argilloso nocciola ocra con screziature rossicce, de- bolmente umido, consistente. Limo sabbioso marrone rossiccio, localmente sabbia li- mosa debolmente umida. (Sabbia micacea) con rara ghiaia (D max 2 cm) poligenica perloppiù sfatta. FINE SONDAGGIO			-20.00- -21.00- -21.50-			19.50

Installato piezometro a tubo aperto fino a 19,50 m da p.c.











SONDAGGIO N. S2

LOCALITA': Torino - via Anselmetti

COMMESSA N. 70/97

metodo perforazione: carot. continuo

quota inizio: p.c.

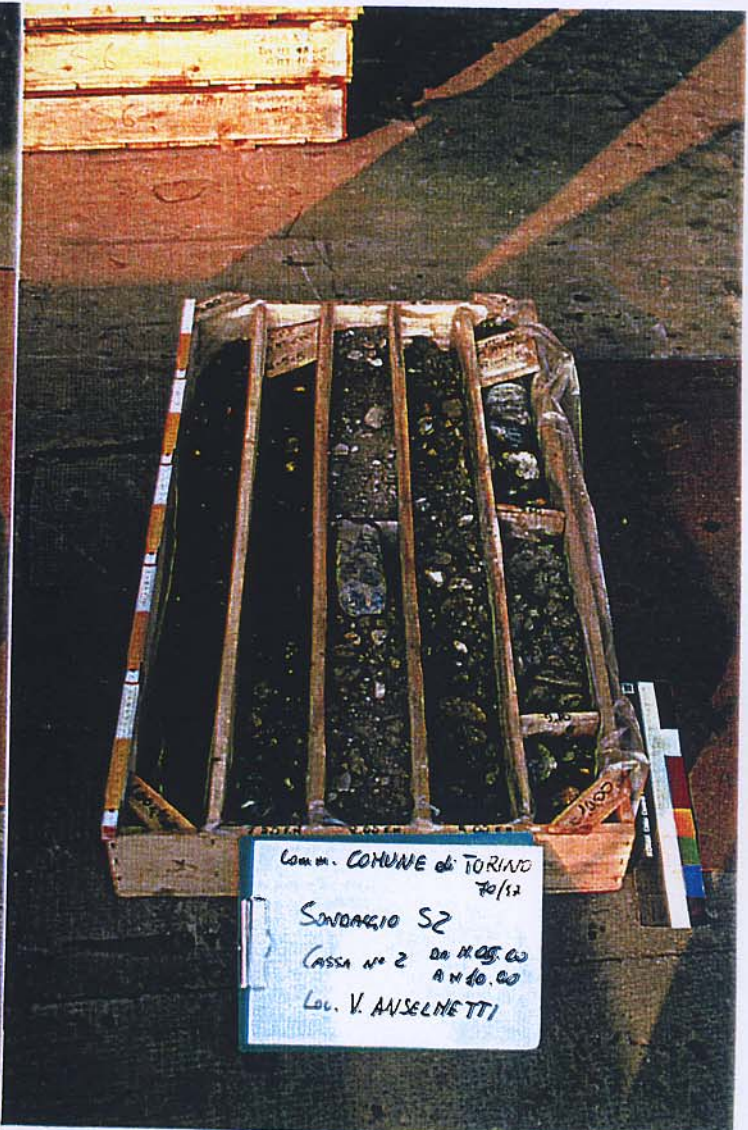
diam. perf.: 101/127

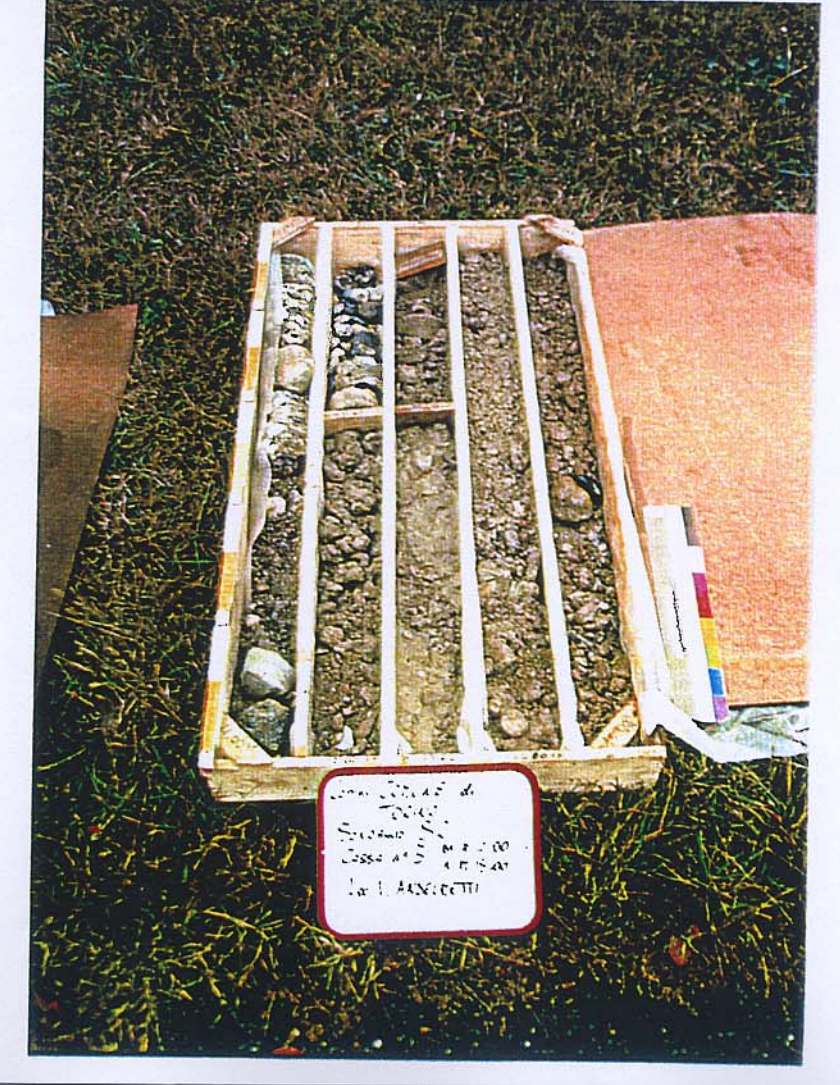
RCQ: Dr. F. Bordignon

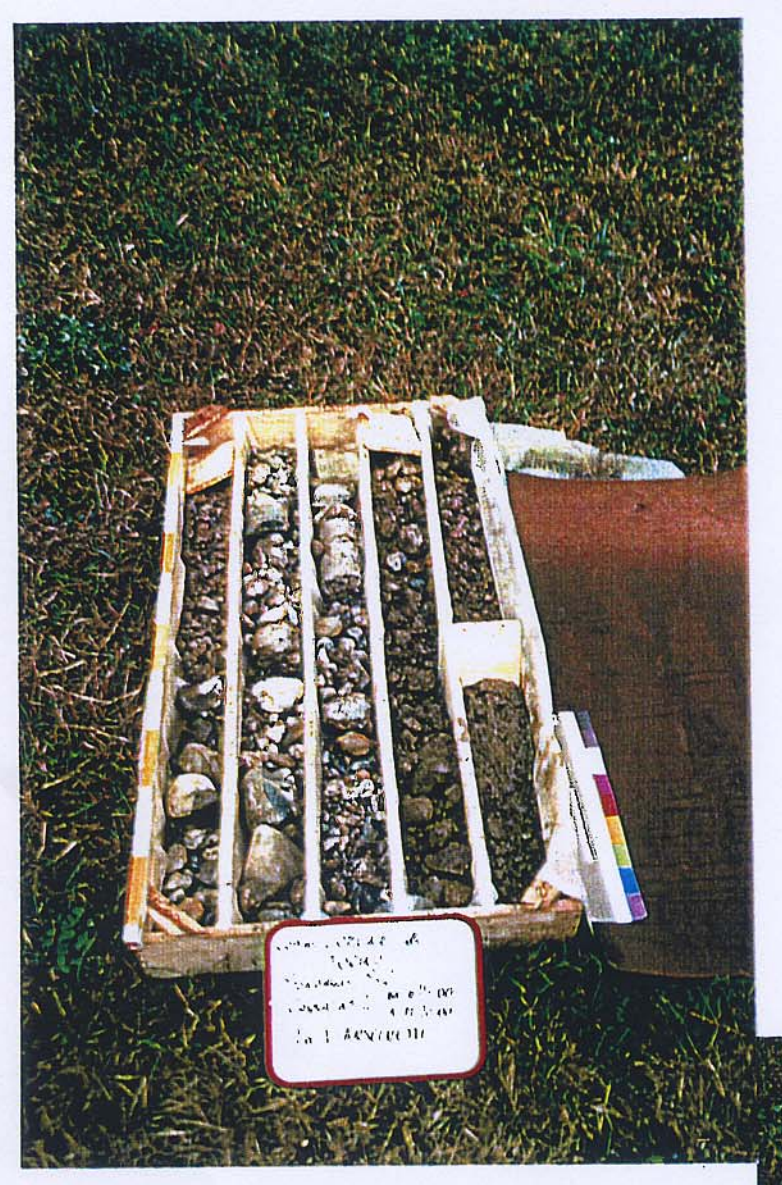
data: dal 13/11/97al 18/11/97 RCN: M. Tomaino

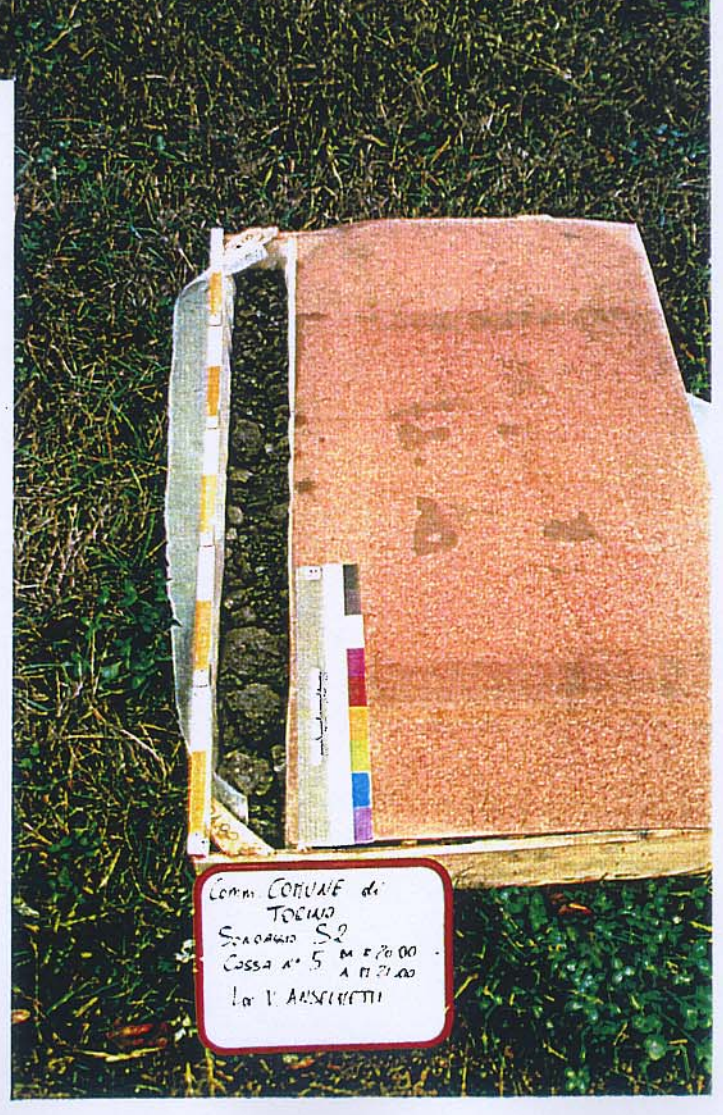
Data di esecuz.	Rivestimento	Falda	Profondita'	Stratigrafia	Scala 1:150	Descrizione terreno	Campioni	Carotaggio	Manovre carot.	Pocket	S.P.T.	Piez. tubo aperto
797 13/11/97	127		- 2.00 - 2.50 - 4.00 - 6.00 - 9.50 - 9.80 - 10.60 - 15.50 - 18.00 - 1		1 2 3 4 5 6 7 8 9 10 11 12 13 14 15 16 17 18	Ghiaia eterometrica (D max 6 cm), qualche ciottolo (pot. max 10 cm), poligenica subarrotondata e sabbia media limosa nocciola asciutta. (Tracce di cementazione di ciottoli). Limo argilloso marrone rossiccio con screziature varicolori e ghiaia (D max 5 cm) poligenica con sabbia media. Ghiaia eterometrica (D max 5 cm) poligenica subarrotondata e sabbia media limosa nocciola rossiccio asciutta, moderatamente addensata. Sabbia media limosa nocciola rossiccio asciutta con ghiaia eterometrica (D max 3 cm) poligenica subarrotondata. Ghiaia eterometrica (D max 6 cm) poligenica subarrotondata, qualche ciottolo (pot. max 15 cm) e sabbia media e fine limosa nocciola, localmente limo sabbioso, poco addensata. Si segnala la presenza di tracce di cementazione dei ciottoli di maggiori dimensioni. Conglomerato poligenico ben cementato. Ghiaia e sabbia c.s. Conglomerato poligenico ben cementato a cementazione di tipo calcareo. Ghiaia eterometrica (D max 6 cm) poligenica subarrotondata e sabbia media e grossa limosa nocciola umida, da moderatamente addensata a molto addensata. Si segnala la presenza di tracce di cementazione dei clasti di maggiori dimensioni e tra 11,00 e 11,40 la presenza di un livello di conglomerato poligenico ben cementazione dei clasti di maggiori dimensioni e tra 11,00 e 11,40 la presenza di un livello di conglomerato poligenico ben cementazione di cementazione di tipo calcareo. Conglomerato poligenico ben cementato.	- 13.00 - A - 13.30 -		- 0.55 - - 1.60 - - 3.00 - - 4.00 - - 5.00 - - 6.00 - - 7.50 - - 9.50 - 9.80 - - 11.00 - - 12.00 - - 12.00 - - 12.40 - - 15.00 -		- 5-7-5 4-5-5 R5 19-33-44 -	
18/11/97	*		21.00		19 20 21 22	Ghiaia eterometrica (D max 5 cm), poligenica subarro- tondata e sabbia media e fine limosa, localmente con li- mo nocciola, umida, addensata. FINE SONDAGGIO	- 19.50 - B - 19.80 -		-18.00- -19.50- -21.00-		29-20-13	













SONDAGGIO N. S3

LOCALITA': Torino - via Anselmetti

COMMESSA N. 70/97

metodo perforazione: carot. continuo

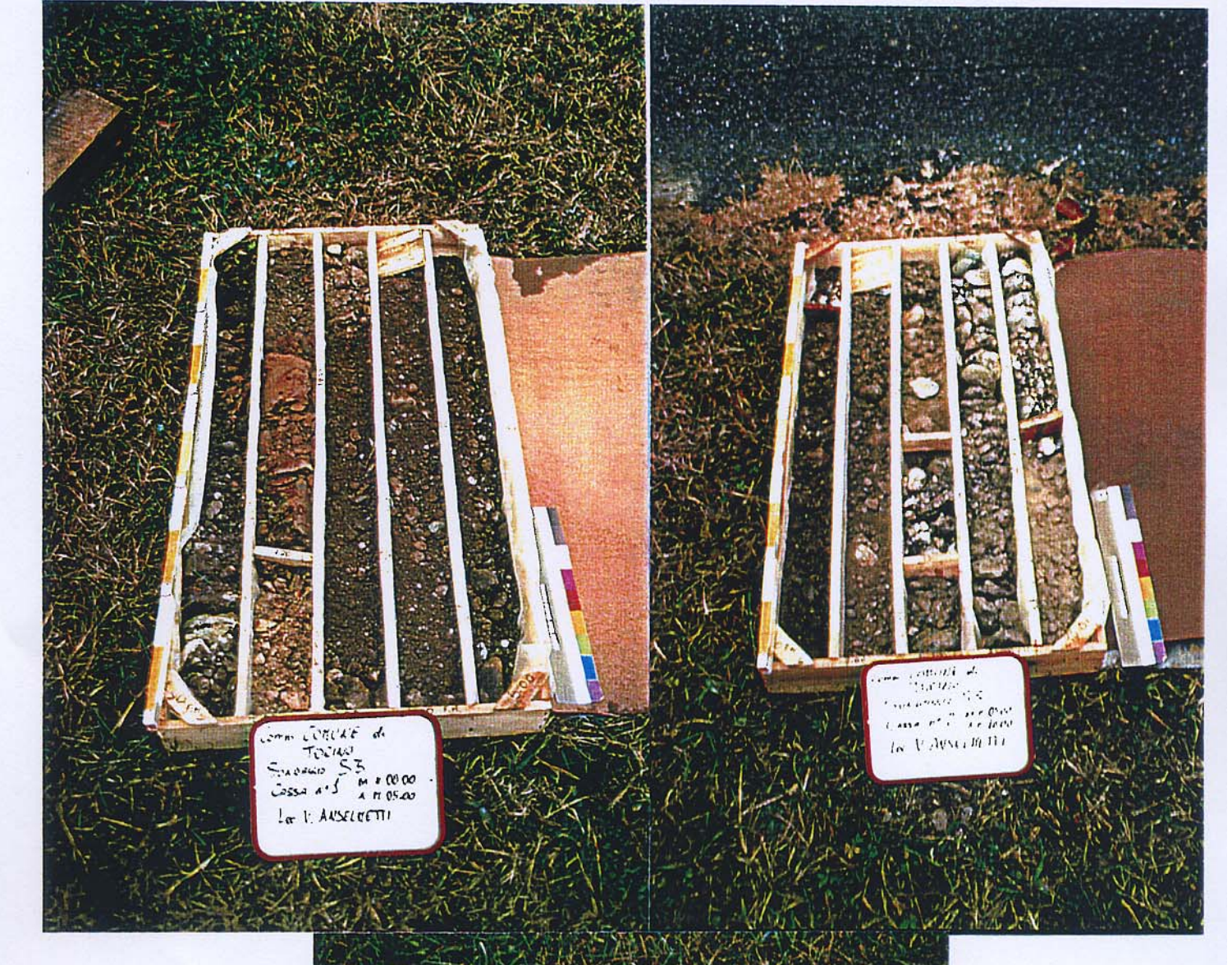
quota inizio: p.c.

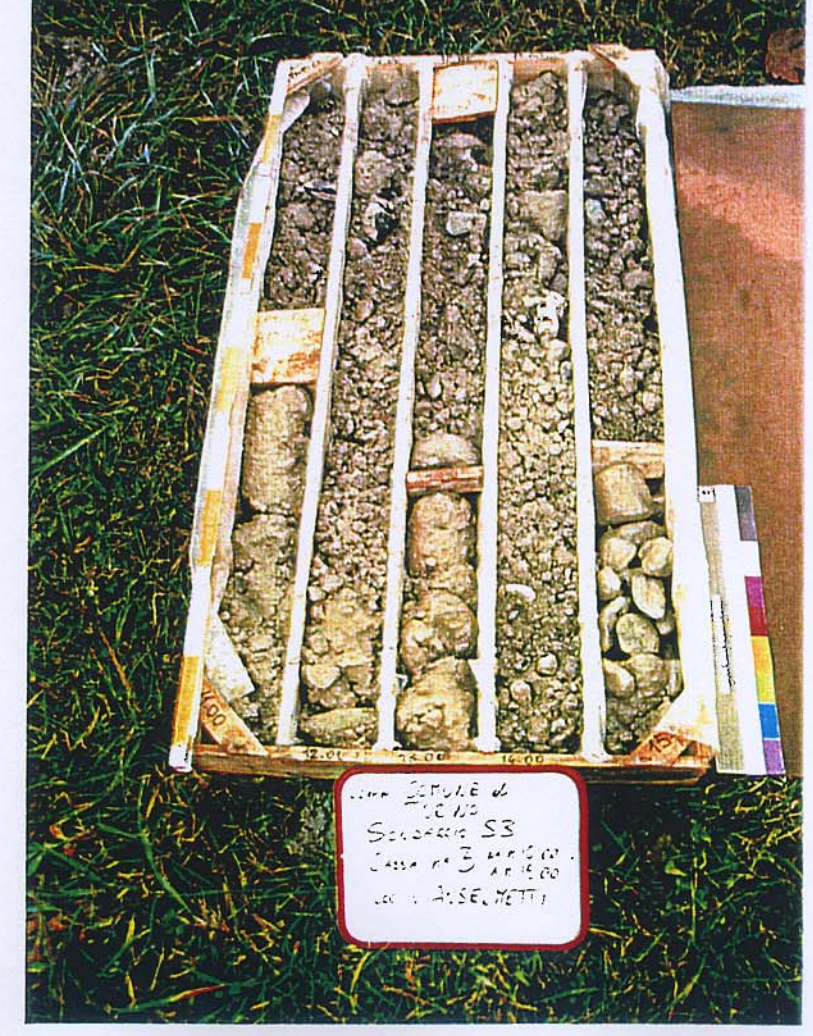
diam. perf.: 101/127 RCQ: Dr. F. Bordignon

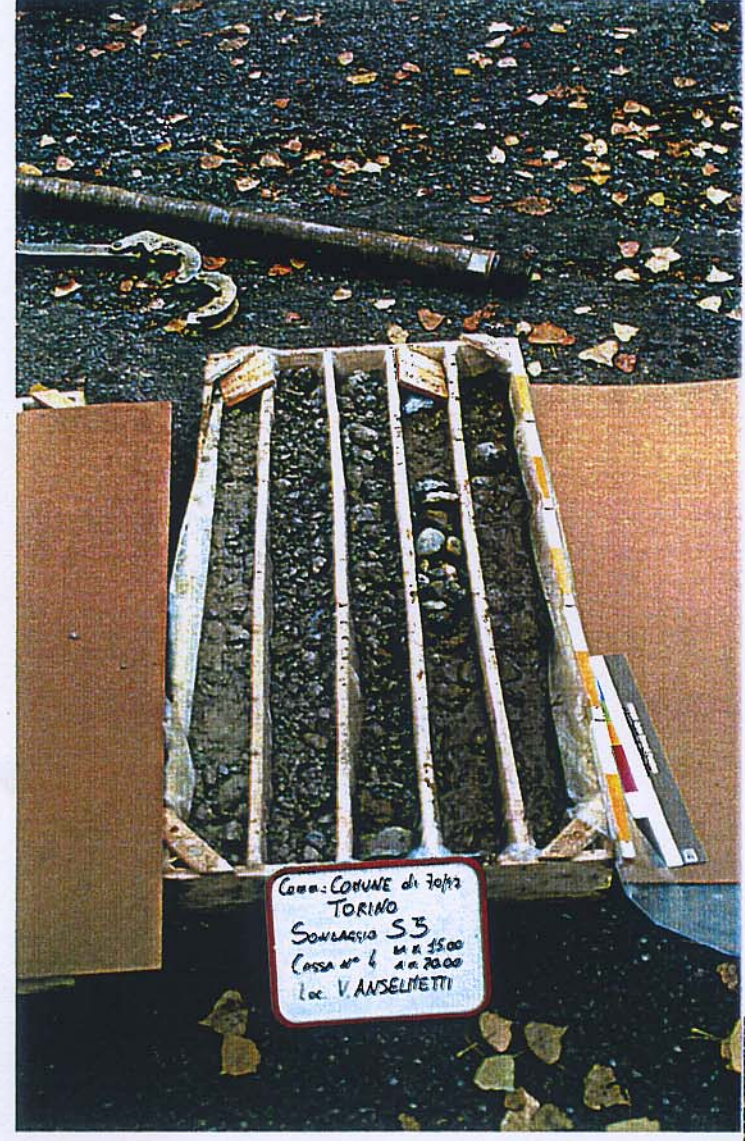
data: dal 18/11/97al 19/11/97 RCN: M. Tomaino

Data di esecuz.	Rivestimento	Falda	Profondita'	Stratigrafia	Scala 1:150	Descrizione terreno	Campioni	© Carotaggio	Manovre carot.	Pocket	S.P.T.	Piez. tubo aperto
18/11/97			- 1.30 - 1.70 - 2.30		1 2 3 4 5 6	Terreno di riporto costituito da sabbia media e fine con limo da marrone rossiccio a bruno, debolmente umido, con ghiaia (D max 4 cm) poligenica subarrotondata e frammenti di laterizi. Limo sabbioso da nocciola rossiccio a magenta, con screziature ocra, debolmente umido, molto consistente con rara ghiaia e frammenti di laterizi. Sabbia media e fine limosa marrone e ghiaia eterometrica (D max 4 cm) poligenica subangolare, debolmente addensata. Sabbia media e fine limosa marrone rossiccia, umida, con ghiaia eterometrica (D max 5 cm) poligenica subarrotondata molto addensata.			- 5.20 - - 6.00 -		-26-27-34	XXXXXXXXXXXXXXXXXXXXXXXXXXXXXXXXXXXXXX
	127				7 8 9 10 11	Ghiaia eterometrica (D max 5 cm), qualche ciottolo (Pot. max 10 cm) poligenica subarrotondata e sabbia media limosa, localmente limo sabbioso, nocciola ocra, umida. Si segnala la presenza fino a 11 m di tracce di cementazione dei ciottoli di maggiori dimensioni e la presenza tra 7,50 e 8,50 e tra 8,90 e 9,50 di due livelli di conglomerato poligenico ben cementato a cementazione calcarea.			- 7.50 - - 7.80 - 8.00 - - 9.00 - - 9.50 - -10.50-		- 18-27-34 -	THE THE PROPERTY OF THE PROPER
19/11/97			15.00 -		13 14 15 16 17	Ghiaia eterometrica (D max 5 cm) poligenica subarro- tondata e sabbia media limosa nocciola verdastra, umida. Si segnala la presenza di tracce di cementazione dei clasti di maggiori dimensioni.	- 13.00 - - 13.50 - - 17.00 - B - 17.30 -		-12.70- -14.70- -15.00 -16.00- -17.00-		-19-37-R3-	THE THE PARTY OF T
			21.00 -	5.55 5.55 5.55 5.55 5.55 6.55 6.55 6.55	19 20 21	Ghiaia eterometrica (D max 5 cm) poligenica subarro- tondata e sabbia media limosa di colore nocciola rossic- cio umida. FINE SONDAGGIO	_ 17.30 =		-18.00-		- 31-R11 -	21.00

Installato piezometro a tubo aperto a fondo foro.











SONDAGGIO N. S4

LOCALITA': Torino - via Anselmetti

COMMESSA N. 70/97

metodo perforazione: carot. continuo

quota inizio: p.c.

diam. perf.: 101/127

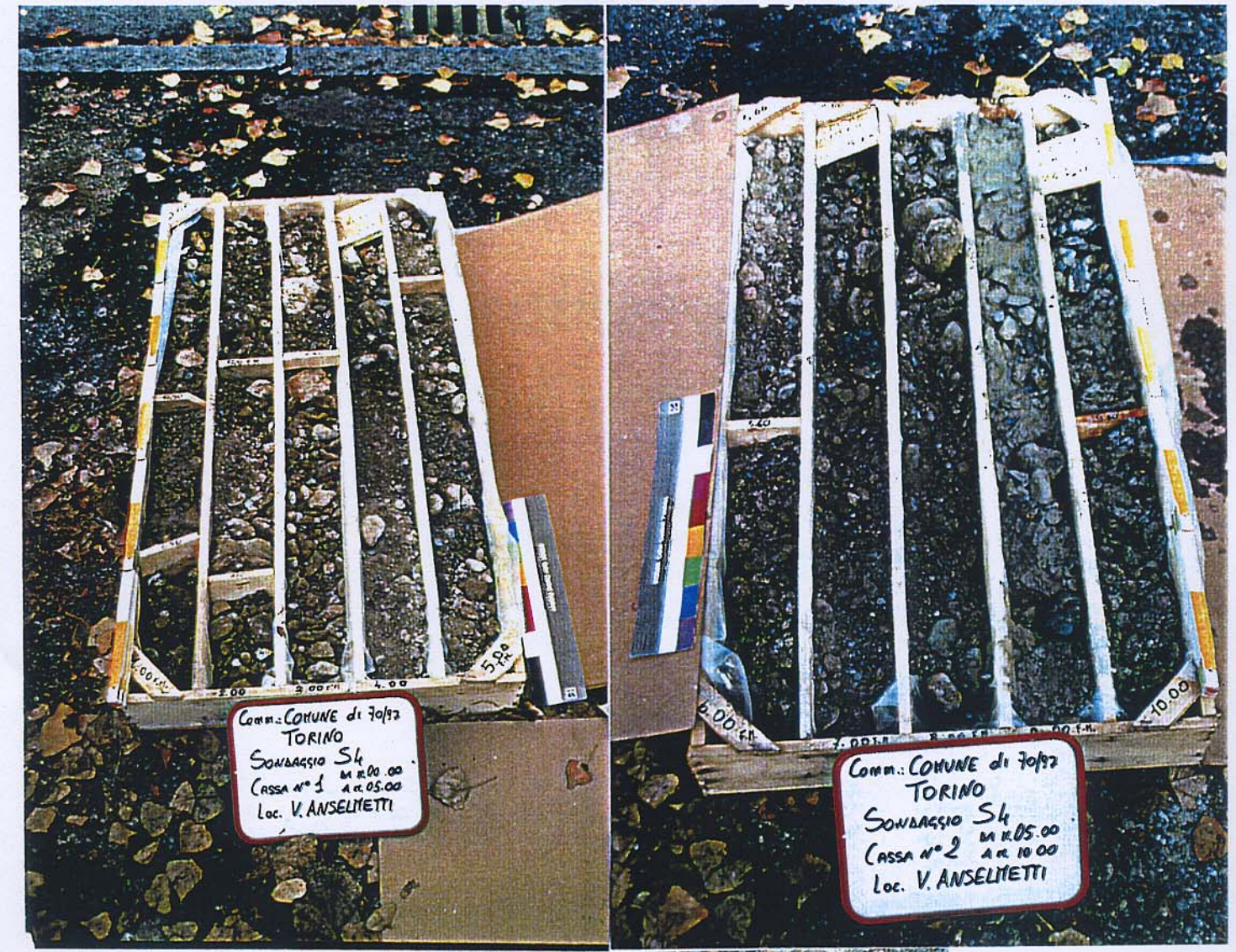
RCQ: Dr. F. Bordignon

data: dal 20/11/97al 21/11/97 RCN: M. Tomaino

Data di esecuz.	Rivestimento	Falda	Profondita'	Stratigrafia	Scala 1:150	Descrizione terreno	Campioni	Carotaggio	Manovre carot.	Pocket	S.P.T.	Piez. tubo aperto
20/11/97	127		- 0.80 - 3.20 - 5.00 - 8.00 - 12.00 - 12.50		1 2 3 4 5 6 6 7 8 8 9 10 11 12 13	Conglomerato bituminoso (00.00 - 00.05 m) e sotto- fondo costituito da ghiaia eterometrica (D max 5 cm), qualche ciottolo (pot. max 10 cm) e sabbia media e gros- sa debolmente limosa ocra nerastra. Terreno di riporto costituito da sabbia limosa marrone rossiccio, debolmente umida con ghiaia eterometrica e frammenti di laterizi. Sabbia media e fine limosa marrone asciutta e ghiaia ete- rometrica (D. max 6 cm) poligenica subarrotondata. Ghiaia eterometrica (D max 5 cm), qualche ciottolo (pot. max 10 cm), poligenica subarrotondata e sabbia media e grossa limosa, localmente limo sabbioso nocciola ocra, u- mida. Ghiaia eterometrica (D max 5 cm), poligenica subarro- tondata e sabbia media e grossa limosa, localmente limo sabbioso ocra, umida. Si segnalano tracce di cementazio- ne dei clasti da 9.00 - 12.00 m. Conglomerato poligenico ben cementato a cementazione calcarea. Ghiaia eterometrica e sabbia media limosa c.s.			- 0.50 - 1.00 - 1.40 - 1.80 - 2.40 - 3.00 - 4.25 - 5.00 - 6.00 - 7.00 - 9.60 - 10.50 - 11.00 - 12.00 - 12.50 -		- 18-23-25 - -22-29-R14- - 24-R5 -	
21/11/97			17.60 : 17.80 : 21.00 -		14 15 16 17 18 19 20 21	Ghiaia eterometrica (D max 5 cm), poligenica subarrotondata con sabbia media e fine limosa nocciola rossiccio, umida. Si segnalano tracce di cementazione dei clasti di maggiori dimensioni. Conglomerato poligenico ben cementato a cementazione calcarea. Ghiaia eterometrica (D amx 5 cm) poligenica subarrotondata e sabbia grossa e fine debolmente limosa marrone rossiccia.	- 17.30 - A - 17.60 - - 18.60 - B - 19.00 -		-13.50- -14.00- -15.00- -16.20- -16.60- 17.30- 17.80] 18.00 18.40, 19.30 19.80- 20.00		-13-27-34- -23-41-R9- -29-R9	











SONDAGGIO N. S5

LOCALITA': Torino - via Anselmetti

COMMESSA N. 70/97

metodo perforazione: carot. continuo

quota inizio: p.c.

diam. perf.: 101/127 RCQ: Dr. F. Bordignon data: dal 25/11/97al 25/11/97 RCN: M. Tomaino

Data di esecuz.	Rivestimento	Falda	Profondita'	Stratigrafia	Scala 1:150	Descrizione terreno	Campioni	© Carotaggio	Manovre carot.	Pocket	S.P.T.	Piez. tubo aperto
			- 0.50 - 1.50 - 1.80 - 2.50	10000000000000000000000000000000000000	1 2 3 4 5 6	Pavimentazione in conglomerato bituminoso e sotto- fondo costituito da ghiaia (D max 3 cm) e sabbia media. Terreno di riporto costituito da ghiaia eterometrica (D max 3 cm) e sabbia media e fine limosa marrone rossic- cia. Presenza di frammenti di laterizi. Limo sabbioso marrone rossiccio, debolmente umido con ghiaia (D max 6 cm) poligenica. Ghiaia eterometrica (D max 5 cm), qualche ciottolo (pot. max 8 cm), poligenica subangolare e sabbia media e fine limosa marrone rossiccio. Ghiaia eterometrica (D max 5 cm) poligenica subarro- tondata e sabbia media e grossa con limo nocciola gri- giastro, umida.			- 1.80 - - 2.50 - - 3.00 -	1234	- 8-15-18 - - R7 -	
25/11/97	127		9.25 -	#1093 2000 1000 2000 1000 2000 2000	8 9 10 11	Sabbia fine e media con limo nocciola, umida con ghiaia eterometrica (D max 4 cm) poligenica subarrotondata. Ghiaia eterometrica (D max 5 cm) poligenica subarrotondata e sabbia media limosa da marrone rossiccio ad ocra. Tracce di cementazione. Sabbia media e fine, debolmente limosa, grigio ocra, u-			9.00 - 9.25 - 10.60- 11.50- 12.00-		- R11 -	
			13.00 - 13.80 - 15.00 -		13/ 14/ 15 16	mida con rara ghiaia (D max 4 cm) poligenica subarro- tondata. Sabbia media fine limosa marrone rossiccio, umida e ghiaia eterometrica (D max 4 cm) c.s. Tracce di cementa-	- 14.50 - - A - 15.00 -		12.60- 13.80- 15.00- 15.30 16.00- 16.60- 17.00-		R11 -	
		-	17.10 18.00 19.50 21.00		20	Ghiaia eterometrica (D max 5 cm) poligenica subarrotondata e sabbia media e fine limosa nocciola ocra. Tracce di cementazione. Ghiaia eterometrica (D max 5 cm), qualche ciottolo (pot. max 8 cm) e sabbia media e fine c.s., ma nocciola rossiccio. Tracce di cementazione. Ghiaia eterometrica c.s. e sabbia media e fine limosa, localmente limo sabbioso nocciola ocra. Tracce di cementazione. FINE SONDAGGIO	17.50 — B 18.00 —		18.00- 19.00-		31-45-R10-	











COMMITTENTE: Città di Torino

SONDAGGIO N. S6

LOCALITA': Torino - via Anselmetti

COMMESSA N. 70/97

metodo perforazione: carot. continuo

diam. perf.: 101/127

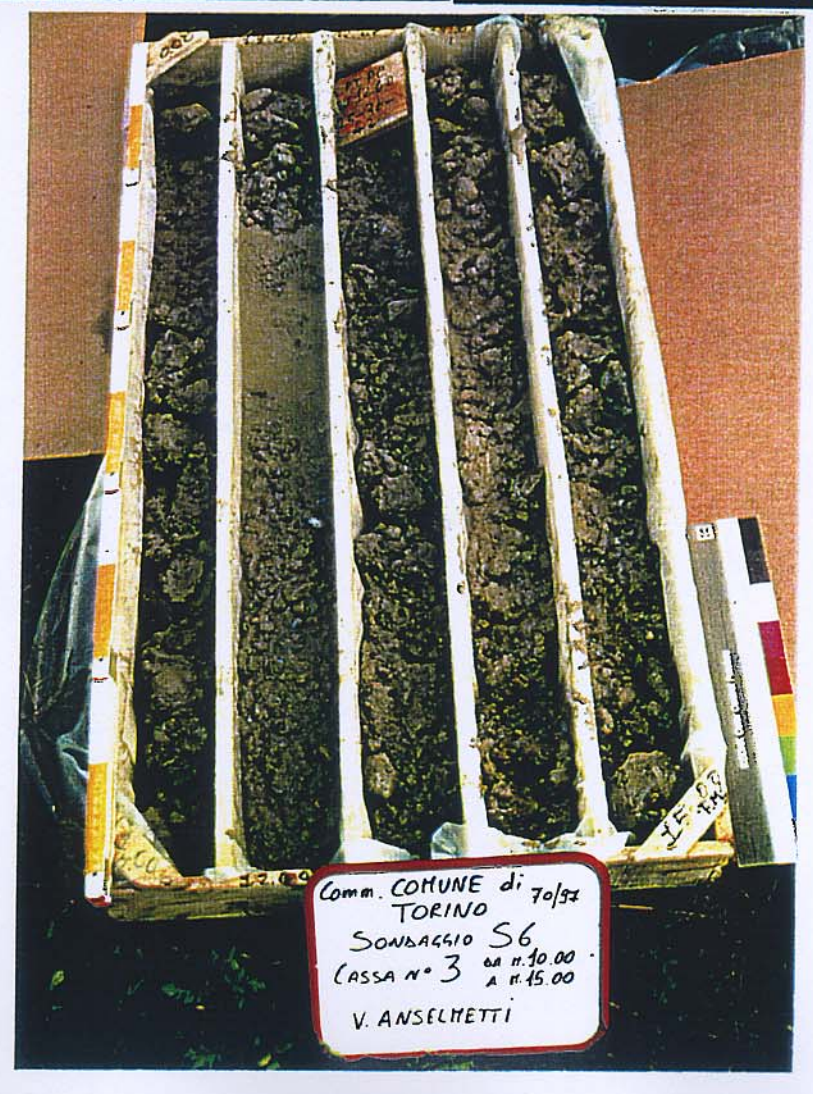
RCQ: Dr. F. Bordignon

quota inizio: p.c.

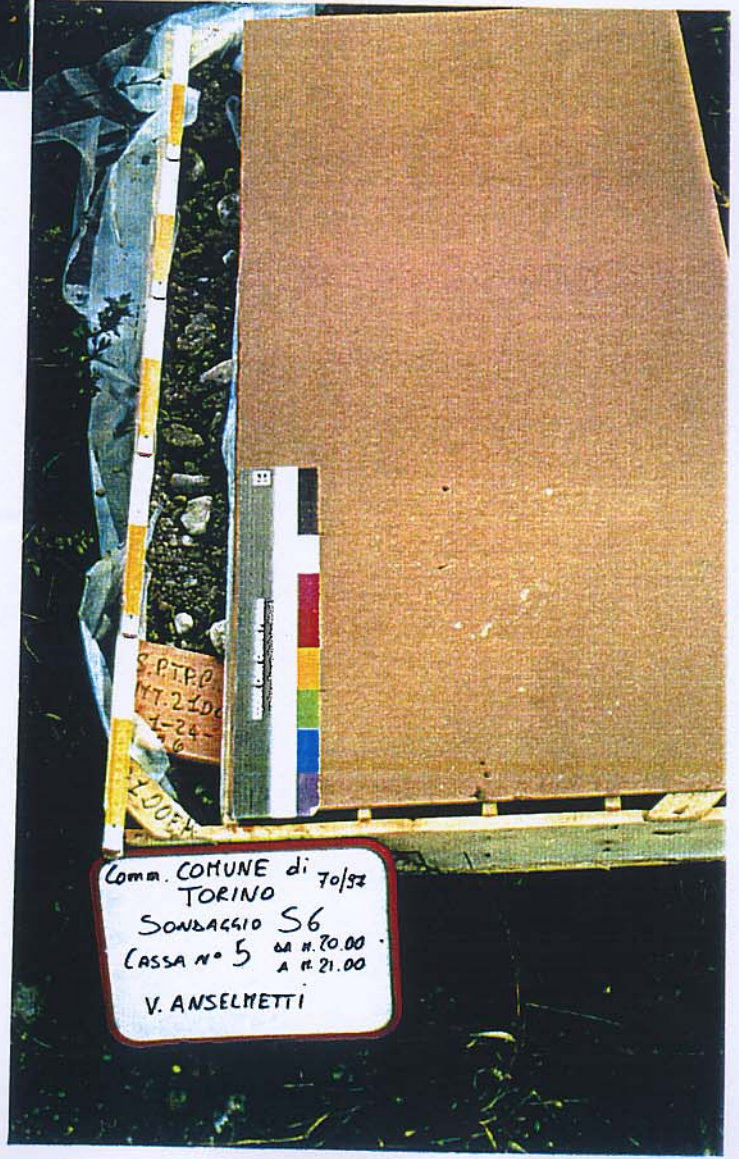
data: dal 25/11/97al 25/11/97 RCN: M. Tomaino

Data di esecuz.	Rivestimento	Falda	Profondita'	Stratigrafia	Scala 1:150	Descrizione terreno	Campioni	Carotaggio	Manovre carot.	Pocket	S.P.T.	Piez. tubo aperto
			- 1.70		1 2	Terreno di riporto costituito da sabbia limosa, marrone rossiccio con ghiaia (D max 6 cm), qualche ciottolo (pot. max 10 cm). Presenza di frammenti di laterizi. Limo sabbioso e sabbia limosa grigio marrone, de-			- 0.55 - - 1.50 -			
			- 3.00	2000 2000 2000 2000	3 4	bolmente umida. Ghiaia eterometrica (D max 4 cm) poligenica subarrotondata e sabbia media limosa marrone rossiccio poco addensata.			- 3.00 -		- 7-6-6 -	
			- 6.00		6	Ghiaia eterometrica (D max 5 cm), qualche ciottolo (pot.			- 4.50 - - 6.00 -		- 50-R13 -	
			9.00		8 9	max 10 cm), poligenica subarrotondata e sabbia media li- mosa nocciola ocra. Si segnalano tracce di cementazione dei clasti.	- 8.40 -		- 7.00 - - 8.00 -			
25/11/97	127		9.00		10 11	Ghiaia eterometrica (D max 6 cm), qualche ciottolo (pot. max 10 cm), poligenica subarrotondata con sabbia media e con limo ocra grigiastro. Si segnalano tracce di cementazione dei clasti.	A 8.80 —		- 9.00 - -10.00- -11.00-		- 19-27-36 -	
2			13.00		12 13				-12.00- -13.00-		-25-36-42-	
					14 15	Ghiaia eterometrica (D max 4 cm) poligenica subarro- tondata e sabbia media con limo marrone nocciola. Si segnala la presenza di tracce di cementazione dei ciottoli di maggiori dimensioni.	- 14.50 - B - 15.00 -	N MAG	-14.00- -15.00-		-22-28-30-	
					16 17		- 13.00 -		-15.50- -16.50-			
			18.00 -	76 C C C	18 19	Sabbia media e limo nocciola ocra, localmente limo sabbioso con ghiaia (D max 6 cm) poligenica subarrotondata.			-18.00- -19.00-		- 15-21-22 -	
			20.00 -	~ \$ \$ \$ \$	20 21	Ghiaia eterometrica (D max 6 cm) poligenica subarro- tondata, in parte argillificata e sabbia media limosa noc-			20.00			
			21.00		22	ciola. Si segnalano tracce di cementazione dei clasti. FINE SONDAGGIO			21.00		-21-24-26-	











COMMITTENTE: Città di Torino

SONDAGGIO N. S7

LOCALITA': Torino - via Anselmetti

COMMESSA N. 70/97

metodo perforazione: carot. continuo

diam. perf.: 101/127

RCQ: Dr. F. Bordignon

quota inizio: p.c.

data: dal 26/11/97al 26/11/97 RCN: M. Tomaino

Data di esecuz.	Rivestimento	alda	Profondita'	Stratigrafia	Scala 1:150	Descrizione terreno	Campioni	& Carotaggio	Manovre carot.	Pocket	S.P.T.	Piez. tubo aperto
1/97	127		1.30 · · · · · · · · · · · · · · · · · · ·		1 2 3 4 4 5 6 6 7 8 8 9 10 11 11	Terreno di riporto costituito da ghiaia (D max 6 cm) poligenica da subangolare a subarrotondata e sabbia media e fine limosa marrone grigiastra. Presenza di frequent frammenti di laterizi (1 - 1.40 m) Limo sabbioso da grigio cenere a marrone rossiccio debolmente umido da molto consistente a consistente. Ghiaia eterometrica (D max 4 cm), qualche ciottolo (pot. max 10 cm), poligenica subarrotondata e sabbia media e fine limosa nocciola. Ghiaia eterometrica (D max 6 cm) poligenica subarrotondata e sabbia media e fine limosa, localmente limo sabbioso nocciola ocra, umida. Si segnalano tracce di cementazione dei clasti di maggiori dimensioni. Sabbia media debolmente limosa grigio nocciola, umida e ghiaia eterometrica (D max 4 cm) poligenica subarrotondata. Ghiaia eterometrica (D max 5 cm) poligenica subarrotondata e sabbia media e fine limosa da marrone rossic-	- 8.40 - - 8.70 -		- 0.50 - - 1.50 - - 3.00 - - 3.50 - - 5.00 - - 6.00 - - 7.00 - - 8.00 - - 9.00 - - 10.00		- 16-21-24 - - 28-39-47 - - 29-40-R4-	Ed.
26	81		14.50		12 13 14 15 16 17 18 19 20 21	cia a nocciola umida. Si segnalano tracce di cementazione dei clasti di maggiori dimensioni, particolarmente evidenti tra 9,00 e 10,00 m e tra 14,50 e 15,00. Ghiaia eterometrica (D max 5 cm), qualche ciottolo (pot. max 10 cm), poligenica subarrotondata e sabbia media e fine limosa, localmente limo sabbioso nocciola, umida. Si segnala tra (18 - 19 m) e tra (20 - 21 m) alcuni livelli di sabbia media limosa con ghiaia e ciottoli. Si segnalano tracce di cementazione dei clasti di maggiori dimensioni fino a fine sondaggio.	= 12.50 - B = 13.00 -		12.00- 13.00- 14.00- 15.00- 16.00- 17.00- 18.00- 19.00- 21.00-		19-24-31 - 14-18-26 - 30-20-25 - 16-20-23 -	







COMMITTENTE: Città di Torino

SONDAGGIO N. S8

LOCALITA': Torino - via Anselmetti

COMMESSA N. 70/97

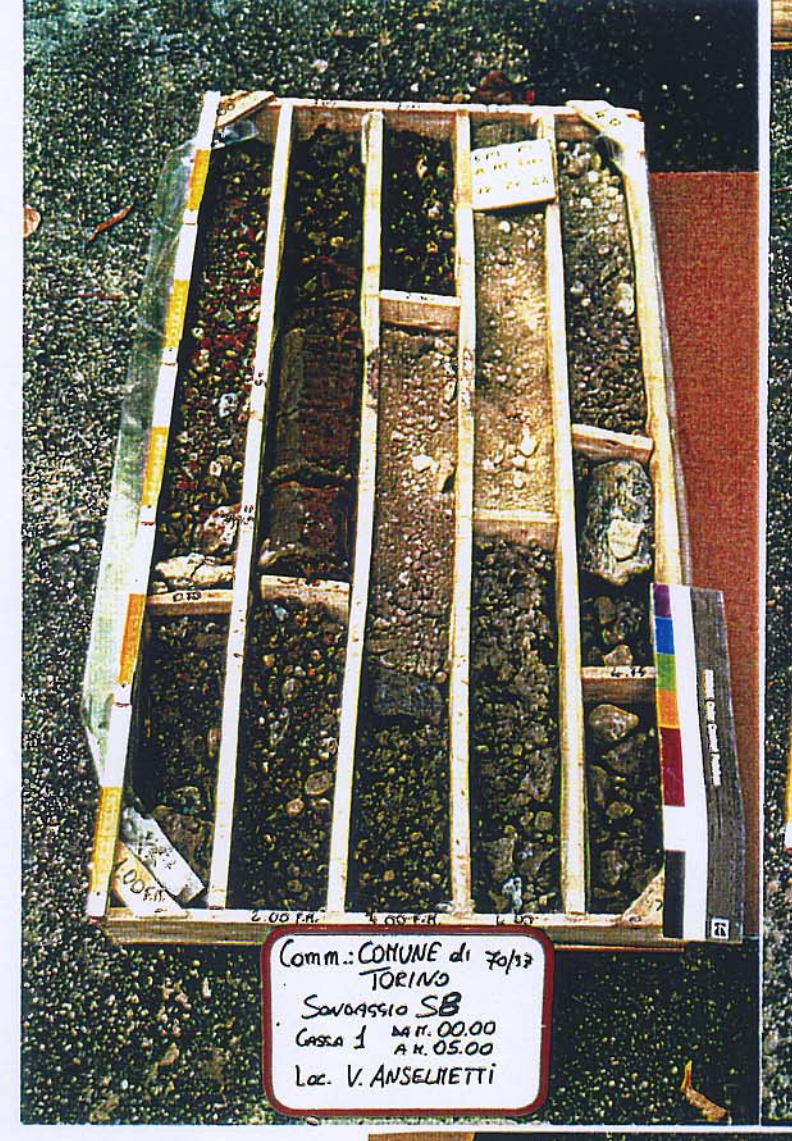
metodo perforazione: carot. continuo quota inizio: p.c.

diam. perf.: 101/127

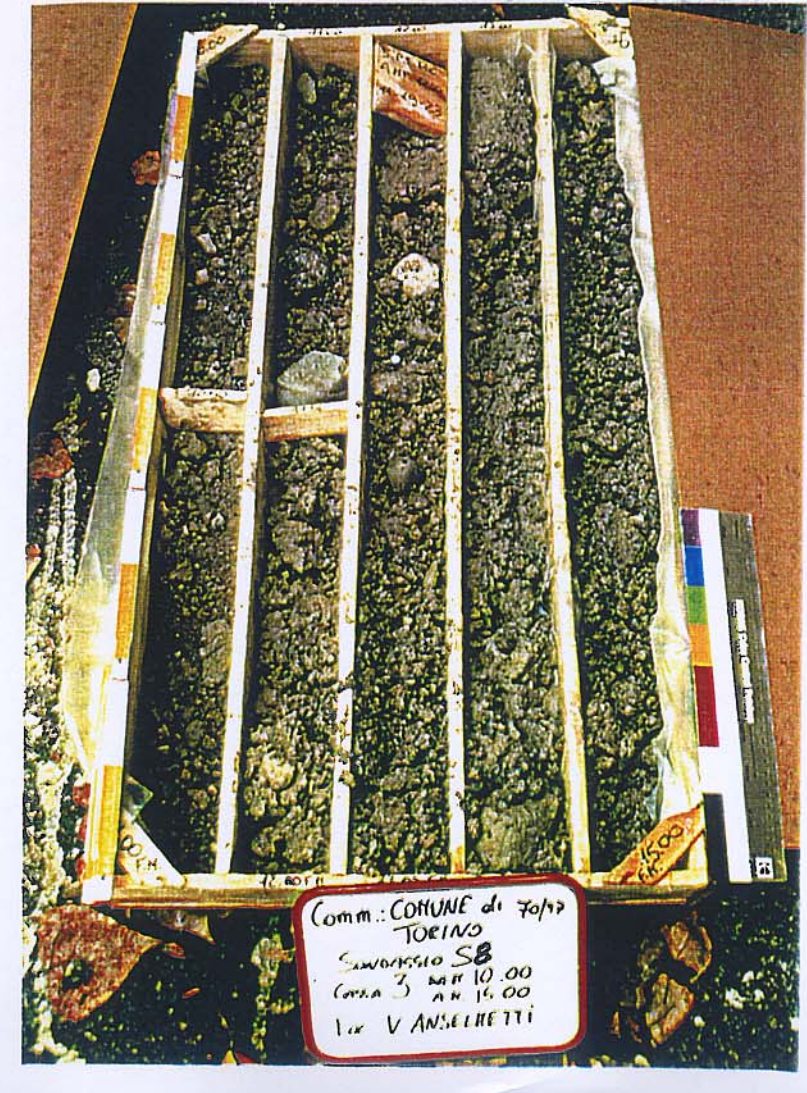
RCQ: Dr. F. Bordignon

data: dal 24/11/97al 24/11/97 RCN: M. Tomaino

Data di esecuz.	Rivestimento	Falda	Profondita'	Stratigrafia	Scala 1:100	Descrizione terreno	Campioni	S Carotaggio	Manovre carot.	Pocket	S.P.T.	Piez. tubo aperto
					1	Terreno di riporto costituito da ghiaia eterometrica (D max 4 cm) poligenica e limo sabbioso grigio nocciola, presenza di laterizi.		20 40 60 80	- 0.70 - - 1.00 -	1234		
			2.30		2	Ghiaia eterometrica (D max 4 cm) poligenica subarrotondata e sabbia media limosa marrone nocciola.		ı. E	- 1.70 - - 2.00 - - 2.30 -			
			2.60		3	Ghiaia eterometrica (D max 4 cm) poligenica da subarro- tondata a subangolare e sabbia media e grossa de- bolmente limosa nocciola.			- 3.00 -		- 17-25-44 -	
			4.50		4	Ghiaia eterometrica (D max 5 cm), poligenica, da su- bangolare a subarrotondata e sabbia media e grossa con limo marrone nocciola.		140	- 3.60 -			
			5.50 -		5	Ghiaia eterometrica (D max 6 cm) e ciottoli (pot. max 8 cm) poligenica subarrotondata con sabbia grossa debolmente limosa.			4.50 - 4.75 -			
					6	Ghiaia eterometrica (D max 4 cm), qualche ciottolo (pot. max 10 cm) poligenica subarrotondata e sabbia media e grossa limosa, localmente limo sabbioso marrone rossic-			6.00 -		- 7-11-13 -	
24/11/97	7		7.30 -		7	cio.	- 7.60 -		7.30 -			
77	127				9	Ghiaia eterometrica (D max 6 cm), qualche ciottolo (pot. max 10 cm), poligenica subarrotondata e sabbia media limosa nocciola, umida.	— 7.60 — — 8.00 —		8.70 - 9.00 -		- R14 -	
					11		= 10.50 - B = 11.00 -		10.50			
			11.50		12	Chili			11.50- 12.00-		11-19-23 -	
					13	Ghiaia eterometrica (D max 4 cm) poligenica subarro- tondata e sabbia media e grossa limosa, localmente limo sabbioso nocciola ocra, umida.		i i iji	13.00-			
					15				14.00-			
			15.00	20.50		FINE SONDAGGIO	0		15.00		9-18	







CITTA' di TORINO

SETTORE TECNICO IV° - PONTI, ALVEI FLUVIALI, FOGNATURE

COSTRUZIONE COLLETTORE BIANCO in STRADA del PORTONE e Via ANSELMETTI

PROVE GEOTECNICHE DI LABORATORIO



ANALISI GRANULOMETRICA Per setacciatura

Prova nº 01

Ente appaltante:

COMUNE di TORINO

Profondità:

da m. 14,00

Località:

Via Anselmetti

a m. Data di prova:

14,50 02/12/97

Sondaggio:

S 1

Umidità (%):

Data del prelievo: Terreno analizzato gr.: 13/11/97 980,00

6,54

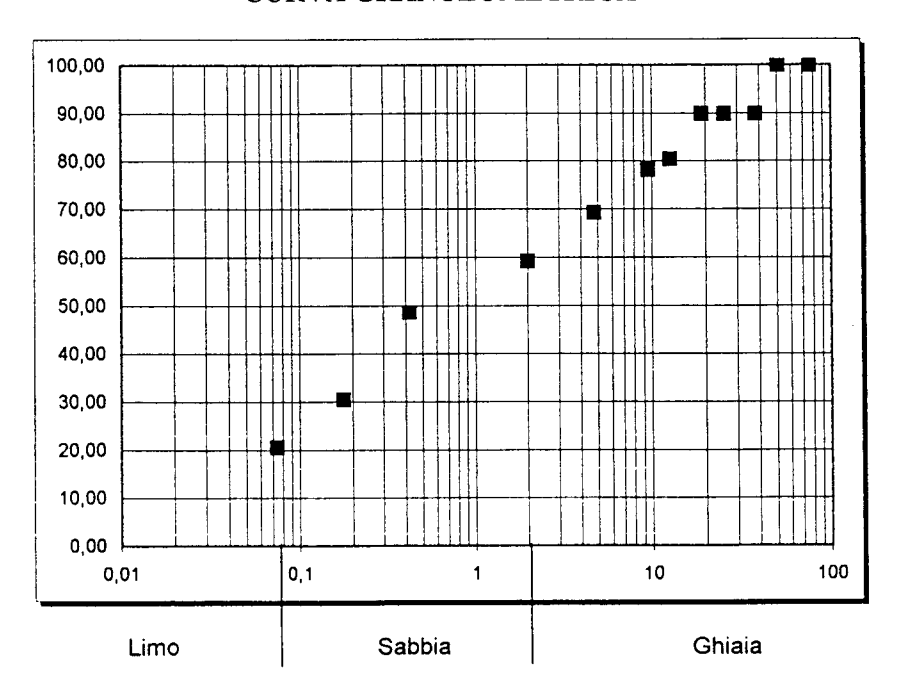
Classificazione del terreno:

Sabbia e ghiaia debolmente limosa

Campione n°:

Α

Setaccio	Apertura	Peso inerte	% parziali	% totale	% totale
n°	delle maglie	trattenuto (g)	dei trattenuti	dei trattenuti	del passante
3"	76	-	-	-	100,00
2"	50,8	-	-	-	100,00
1"1/2	38,1	63,21	6,45	6,45	93,55
1"	25,4	22,54	2,30	8,75	91,25
3/4"	19,1	14,32	1,46	10,21	89,79
1/2"	12,7	0,00	0,00	10,21	89,79
3/8"	9,52	0,00	0,00	10,21	89,79
4	4,76	98,26	10,03	20,24	79,76
10	2,00	144,55	14,75	34,99	65,01
40	0,42	156,87	16,01	50,99	49,01
80	0,177	202,03	20,62	71,61	28,39
200	0,074	102,53	10,46	82,07	17,93
Fondo		175,69	17,93	100,00	-



Limiti di Atterberg non possibili



ANALISI GRANULOMETRICA Per setacciatura

Prova n° 02

Ente appaltante:

COMUNE di TORINO

Profondità:

da m. 16,50

Località:

Via Anselmetti

a m.

17,00

Sondaggio:

S 1

Data di prova:

17/11/97

Data del prelievo:

13/11/97

Umidità (%):

8,74

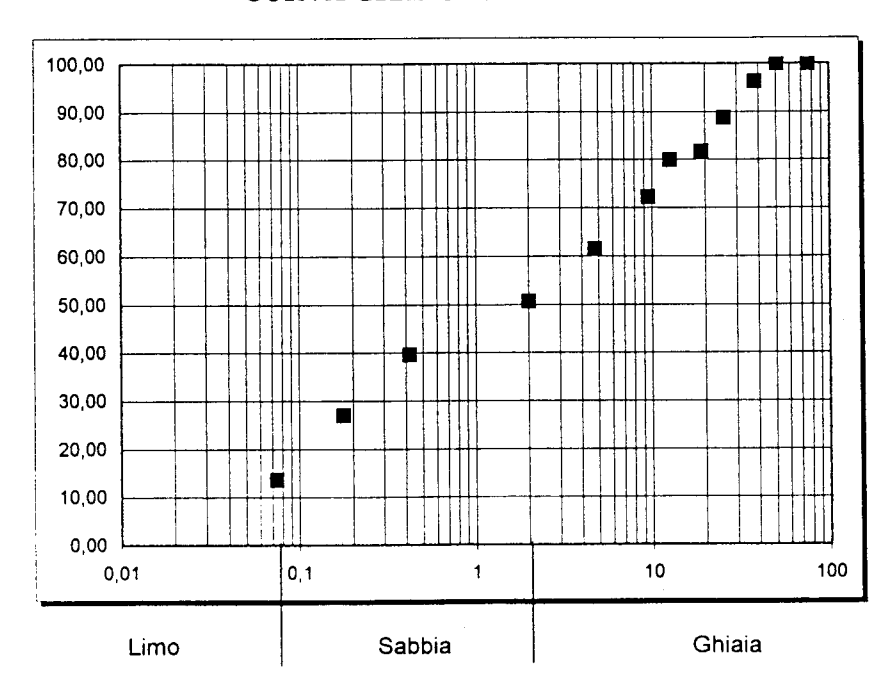
Terreno analizzato gr.:

892,00

В

Classificazione del terreno: Ghiaia e sabbia limosa Campione n°:

		100 At 1 At 1			
Setaccio	Apertura	Peso inerte	% parziali	% totale	% totale
n°	delle maglie	trattenuto (g)	dei trattenuti	dei trattenuti	del passante
3"	76	-	-	-	100,00
2"	50,8	-	-	-	100,00
1"1/2	38,1	32,87	3,68	3,68	96,32
1"	25,4	67,21	7,53	11,22	88,78
3/4"	19,1	62,54	7,01	18,23	81,77
1/2"	12,7	16,33	1,83	20,06	79,94
3/8"	9,52	68,95	7,73	27,79	72,21
4	4,76	96,22	10,79	38,58	61,42
10	2,00	96,31	10,80	49,38	50,62
40	0,42	98,65	11,06	60,43	39,57
80	0,177	112,34	12,59	73,03	26,97
200	0,074	119,03	13,34	86,37	13,63
Fondo		121.55	13.63	100.00	-



Limiti di Atterberg non possibili



ANALISI GRANULOMETRICA Per setacciatura

Prova n° 03

Ente appaltante:

COMUNE di TORINO

Profondità:

13,00

Località:

Via Anselmetti

da m. a m.

13,30

Sondaggio:

S 2

Data di prova:

24/11/97

Data del prelievo:

19/11/97

Umidità (%):

9,21

Terreno analizzato gr.:

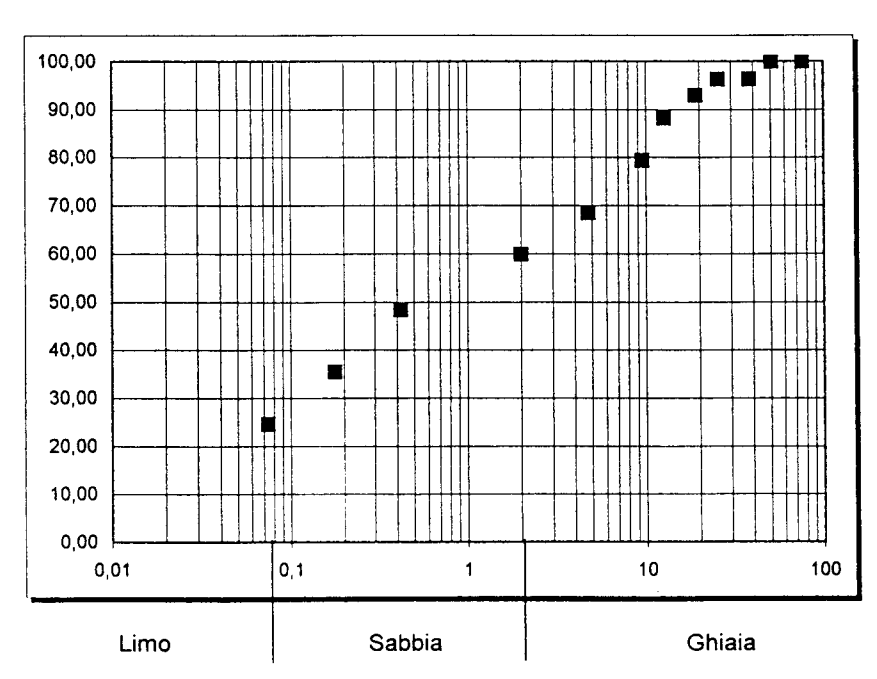
940,00

Campione n°:

Α

Classificazione del terreno: Ghiaia e sabbia limosa

Setaccio	Apertura	Peso inerte	% parziali	% totale	% totale
n°	delle maglie	trattenuto (g)	dei trattenuti	dei trattenuti	del passante
3"	76	-	-	-	100,00
2"	50,8	-	-	-	100,00
1"1/2	38,1	34,22	3,64	3,64	96,36
1"	25,4	0,00	0,00	3,64	96,36
3/4"	19,1	32,01	3,41	7,05	92,95
1/2"	12,7	45,20	4,81	11,85	88,15
3/8"	9,52	82,31	8,76	20,61	79,39
4	4,76	102,84	10,94	31,55	68,45
10	2,00	80,17	8,53	40,08	59,92
40	0,42	108,12	11,50	51,58	48,42
80	0,177	122,34	13,01	64,60	35,40
200	0,074	102,34	10,89	75,48	24,52
Fondo		230,45	24,52	100,00	-



Limiti di Atterberg non possibili



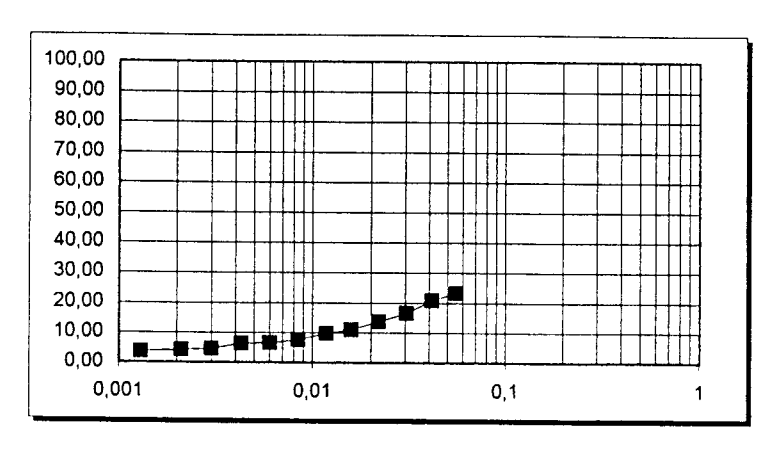
ANALISI GRANULOMETRICA Per sedimentazione

Prova nº 04

Ente appaltante: Località:	COMUNE di TORINO Via Anselmetti	Profondità: da m. a m.	13,00 13,30
Sondaggio:	S 2	Data di prova	25/11/97
Data del prelievo:	19/11/97	Umidità:	9,21
Terreno analizzato gr.:	41,03	Campione n°:	Á
Peso specifico g/cmc:	2,65	Cilindro n°:	3
% passante setaccio n°200:	24,52	Aerometro tipo:	152 H
Dispersivo :	(NaPO ₃) ₆ +Na ₂ CO ₃	K=	2,445
Corr. menisco;	0,5	Corr. temperatura	0.99
Corr. dispersivo:	-6,3	Fattore A:	1
Terreno:	Ghiaia e sabbia limosa		•

Lettua	Tempi	Letture	Diametri	Passanti	Passanti
n°	(minuti)	aerometro	(mm)	(%)	
				(70)	cumulativi
1	0,5	41,0	0,0533	95,36	23,38
2	1	37,0	0,0381	85,21	20,89
3	2	30,0	0,0274	67,23	16,48
4	4	25,0	0,0194	55,61	13,63
5	8	20,5	0,0140	45,12	11,06
6	15	17,5	0,0104	39,56	9,70
7	30	15,0	0,0075	31,25	7,66
8	60	13,0	0,0055	26,58	6,52
9	120	11,5	0,0039	25,96	6,36
10	250	9,5	0,0028	19,08	4,68
11	500	9,0	0,0020	17,66	4,33
12	1391	7,5	0,0012	14,95	3,67

CURVA CUMULATIVA





ANALISI GRANULOMETRICA Per setacciatura

Prova nº 05

Ente appaltante: COMUNE di TORINO Pr

Profondità: da m. 19,50

Località: Via Anselmetti Sondaggio: S 2 a m. 19,80 : 24/11/97

В

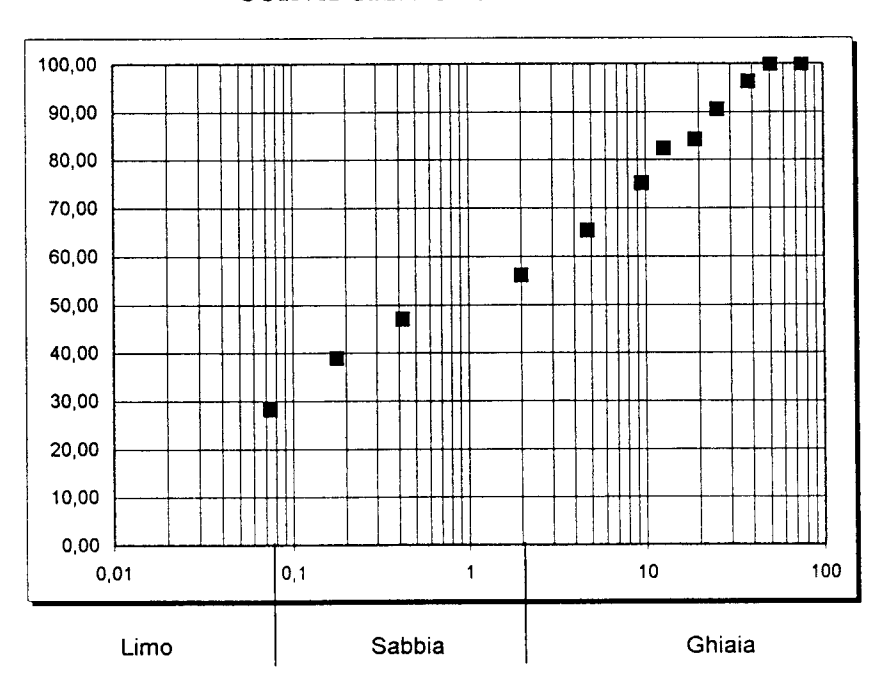
Sondaggio: S 2
Data del prelievo: 19/11/97

Data di prova: 24/11/97 Umidità (%): 9,21

Terreno analizzato gr.: 960,20 Classificazione del terreno: Ghiaia e si

Ghiaia e sabbia limosa Campione n°:

Setaccio	Apertura	Peso inerte	% parziali	% totale	% totale
n°	delle maglie	trattenuto (g)	dei trattenuti	dei trattenuti	del passante
3"	76	-	-	-	100,00
2"	50,8	-	-	•	100,00
1"1/2	38,1	35,21	3,67	3,67	96,33
1"	25,4	56,23	5,86	9,52	90,48
3/4"	19,1	58,96	6,14	15,66	84,34
1/2"	12,7	18,32	1,91	17,57	82,43
3/8"	9,52	70,19	7,31	24,88	75,12
4	4,76	94,25	9,82	34,70	65,30
10	2,00	88,17	9,18	43,88	56,12
40	0,42	87,03	9,06	52,94	47,06
80	0,177	78,24	8,15	61,09	38,91
200	0,074	102,34	10,66	71,75	28,25
Fondo		271,26	28,25	100,00	-



Limiti di Atterberg eseguiti



ANALISI GRANULOMETRICA Per sedimentazione

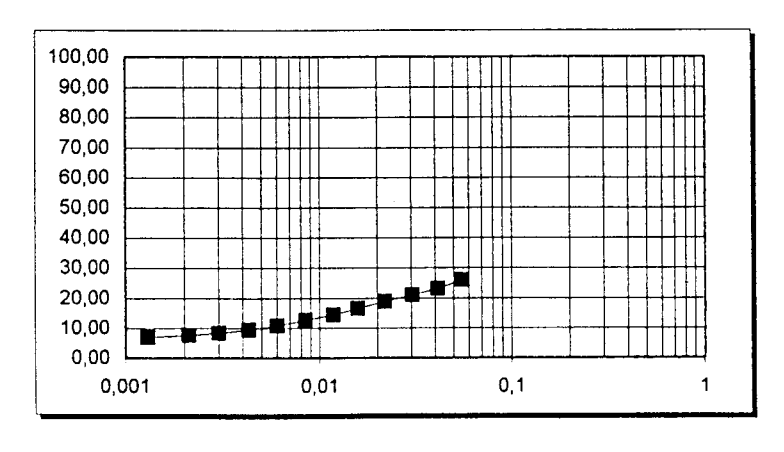
Prova nº 06

Ente appaltante:	COMUNE di TORINO	Profondità:	da m.	19,50
Località:	Via Anselmetti		a m.	19,80
Sondaggio:	S 2	Data di prova	3	25/11/97
Data del prelievo:	19/11/97	Umidità:		9,21
Terreno analizzato gr.:	39,54	Campione n°	·:	В
Peso specifico g/cmc:	2,66	Cilindro n°:		1
% passante setaccio n°200:	28,25	Aerometro tip	00:	152 H
Dispersivo :	(NaPO₃) ₆ +Na₂CO₃	K=		2,442
Corr. menisco:	0,5	Corr. temper	atura	1
Corr. dispersivo:	-6,3	Fattore A:		0,99
T ·	Objete a subbite thereon			

Terreno: Ghiaia e sabbia limosa

Lettua	Tempi	Letture	Diametri	Passanti	Passanti
n°	(minuti)	aerometro	(mm)	(%)	cumulativi
1	0,5	40,0	0,0550	91,95	25,98
2	1	36,0	0,0403	81,98	23,16
3	2	33,0	0,0292	74,51	21,05
4	4	30,0	0,0211	67,03	18,94
5	8	26,5	0,0153	58,31	16,47
6	15	23,5	0,0114	50,83	14,36
7	30	21,0	0,0082	44,60	12,60
8	60	18,5	0,0059	38,36	10,84
9	120	16,5	0,0042	33,37	9,43
10	250	15,0	0,0030	29,51	8,34
11	500	14,0	0,0021	27,18	7,68
12	1391	13,0	0,0012	24,51	6,92

CURVA CUMULATIVA



Limo (%): 20,57 Argilla (%): 7,68



LIMITE LIQUIDO E LIMITE PLASTICO

Prova nº 07

Ente appaltante:

CITTA' DI TORINO

Campione n°: B

Località:

S 2

Profondità:

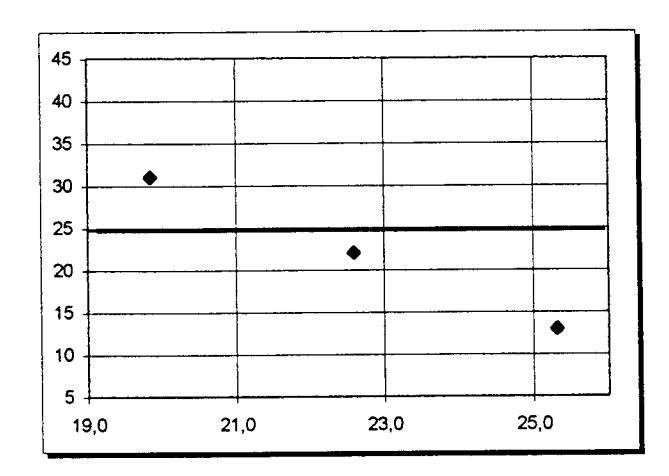
Sondaggio n°

Via Anselmetti

- roioridita.

Data del prelievo: Data di prova : 19/11/97 25/11/97 da m. a m. 19,50 19,80

	LIN	ITE LIQUID	0	LIMITE PL	ASTICO
Numero colpi	31	22	13		
Recipiente	33	0	10	n.p.	n.p.
Peso lordo umido (gr)	43,10	41,85	44,68		
Peso lordo secco (gr)	41,48	40,25	42,86		
Peso acqua (gr)	1,62	1,60	1,83		
Tara recipiente (gr)	33,34	33,16	35,64		
Peso netto secco (gr)	8,14	7,09	7,22		L
Umidità (%):	19,84	22,59	25,31		



21,68 %
N.P.
N.P.



ANALISI GRANULOMETRICA

Per setacciatura

Prova nº 08

Ente appaltante:

COMUNE di TORINO

Profondità:

13,00

Località:

Via Anselmetti

da m. a m.

13,50

Sondaggio:

S 3

Data di prova:

24/11/97

Data del prelievo:

18/11/97

Umidità (%):

12,43

Terreno analizzato gr.:

430,00

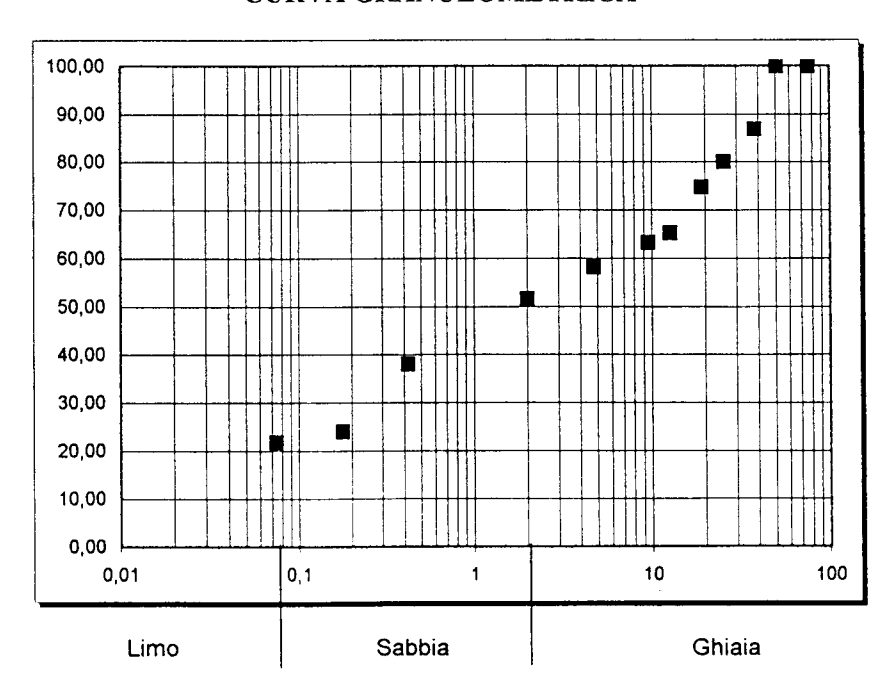
Campione n°:

Α

Classificazione del terreno:

Ghiaia e sabbia limosa

					
Setaccio	Apertura	Peso inerte	% parziali	% totale	% totale
n°	delle maglie	trattenuto (g)	dei trattenuti	dei trattenuti	del passante
3"	76	-	-	-	100,00
2"	50,8	-	•		100,00
1"1/2	38,1	56,66	13,18	13,18	86,82
1"	25,4	29,34	6,82	20,00	80,00
3/4"	19,1	22,18	5,16	25,16	74,84
1/2"	12,7	41,62	9,68	34,84	65,16
3/8"	9,52	8,46	1,97	36,80	63,20
4	4,76	22,13	5,15	41,95	58,05
10	2,00	27,58	6,41	48,37	51,63
40	0,42	58,62	13,63	62,00	38,00
80	0,177	60,54	14,08	76,08	23,92
200	0,074	9,56	2,22	78,30	21,70
Fondo		93,31	21,70	100,00	-



Limiti di Atterberg eseguiti



ANALISI GRANULOMETRICA Per sedimentazione

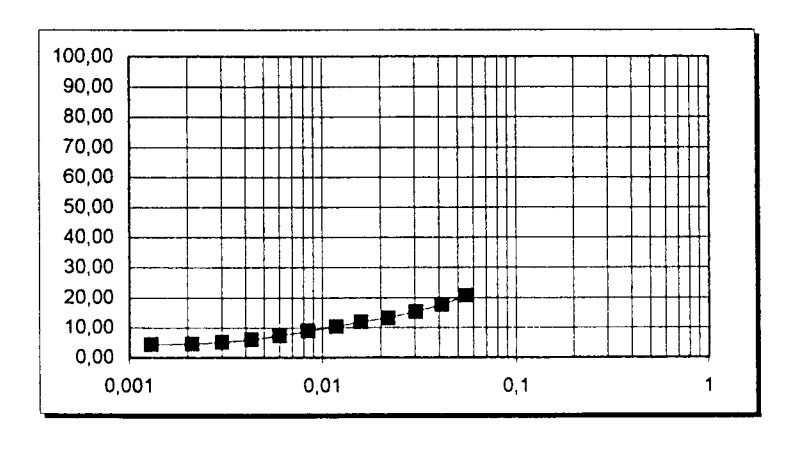
Prova nº 09

Ente appaltante:	COMUNE di TORINO	Profondità: da m.	13,00
Località:	Via Anselmetti	a m.	13,50
Sondaggio:	S 3	Data di prova	25/11/97
Data del prelievo:	18/11/97	Umidità:	12,43
Terreno analizzato gr.:	40,18	Campione n°:	Α
Peso specifico g/cmc:	2,65	Cilindro n°:	2
% passante setaccio n°200:	21,70	Aerometro tipo:	152 H
Dispersivo :	(NaPO ₃) ₆ +Na ₂ CO ₃	K=	2,556
Corr. menisco:	0,5	Corr. temperatura	1,01
Corr. dispersivo:	-6,3	Fattore A:	1
Terreno:	Ghiaia e sabbia limosa		

LettuaTempi
(minuti)Letture
aerometroDiametri
(mm)Passanti
(%)Passanti
cumulativi10,540,00,056094,9820,61

11	(minau)	acromeno	(11111)	(70)	Camalativi
1	0,5	40,0	0,0560	94,98	20,61
2	1	37,0	0,0409	81,51	17,69
3	2	30,0	0,0305	70,50	15,30
4	4	26,0	0,0221	60,71	13,17
5	8	23,5	0,0160	54,59	11,85
6	15	20,5	0,0119	47,24	10,25
7	30	18,0	0,0086	41,12	8,92
8	60	15,0	0,0061	33,78	7,33
9	120	12,5	0,0044	27,66	6,00
10	250	11,0	0,0031	23,99	5,21
11	500	10,0	0,0022	21,54	4,67
12	1391	9,5	0,0013	20,32	4,41

CURVA CUMULATIVA



Limo (%):

17,03

Argilla (%):



LIMITE LIQUIDO E LIMITE PLASTICO

Prova nº 10

Ente appaltante:

CITTA' DI TORINO

Via Anselmetti

Campione n°: A

Località: Sondaggio n°

S 3

Profondità:

Data del prelievo:

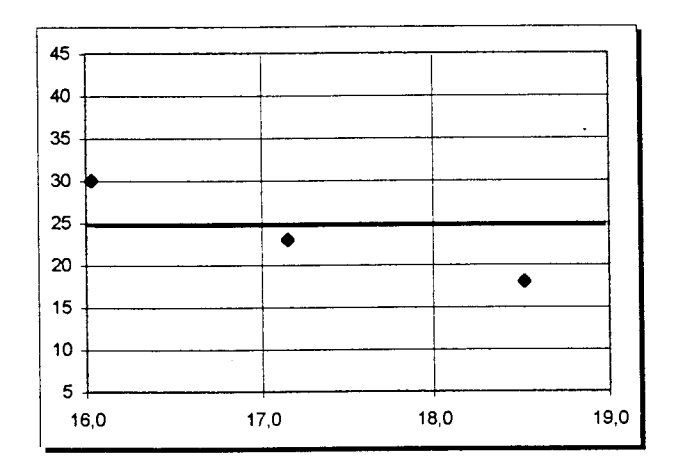
18/11/97 25/11/97 da m.

a m.

13,00 13,50

Data di prova :		

	LIN	ITE LIQUID	0	LIMITE PL	ASTICO
Numero colpi	30	23	18		
Recipiente	М	S	Н	n.p.	n.p.
Peso lordo umido (gr)	44,66	44,83	43,84		
Peso lordo secco (gr)	43,36	43,57	42,50		
Peso acqua (gr)	1,29	1,26	1,34		
Tara recipiente (gr)	35,29	36,21	35,28		
Peso netto secco (gr)	8,07	7,36	7,22		
Umidità (%):	16,03	17,15	18,52		



Limite liquido	16,95 %
Limite plastico	N.P.
Indice di plasticità	N.P.



ANALISI GRANULOMETRICA Per setacciatura

Prova nº H

Ente appaltante:

COMUNE di TORINO

Profondità:

da m. 17,00

Località:

Via Anselmetti

a m.

17,30

Sondaggio:

S 3

Data di prova: Umidità (%): 25/11/97

Data del prelievo: Terreno analizzato gr.: 18/11/97 990,00

9,65

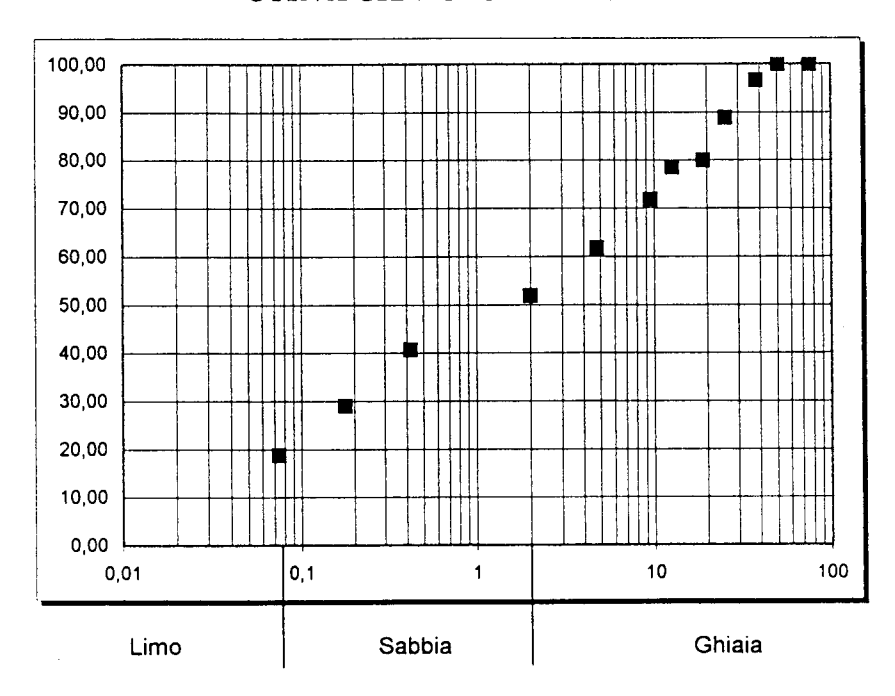
Classificazione del terreno:

Ghiaia e sabbia limosa

Campione n°:

В

Setaccio	Apertura	Peso inerte	% parziali	% totale	% totale
n°	delle maglie	trattenuto (g)	dei trattenuti	dei trattenuti	del passante
3"	76	-	-	1	100,00
2"	50,8	-	-	•	100,00
1"1/2	38,1	33,65	3,40	3,40	96,60
1"	25,4	76,21	7,70	11,10	88,90
3/4"	19,1	88,35	8,92	20,02	79,98
1/2"	12,7	14,35	1,45	21,47	78,53
3/8"	9,52	66,27	6,69	28,16	71,84
4	4,76	99,64	10,06	38,23	61,77
10	2,00	98,72	9,97	48,20	51,80
40	0,42	109,88	11,10	59,30	40,70
80	0,177	115,66	11,68	70,98	29,02
200	0,074	101,44	10,25	81,23	18,77
Fondo		185,83	18,77	100,00	-



Limiti di Atterberg non possibili



ANALISI GRANULOMETRICA Per setacciatura

Prova nº 12

Ente appaltante:

COMUNE di TORINO

Profondità:

17,30

Località:

Via Anselmetti

da m. a m.

17,60

Sondaggio:

S 4

Data di prova:

27/11/97

Data del prelievo:

21/11/97

Umidità (%):

6,54

Terreno analizzato gr.:

Classificazione del terreno:

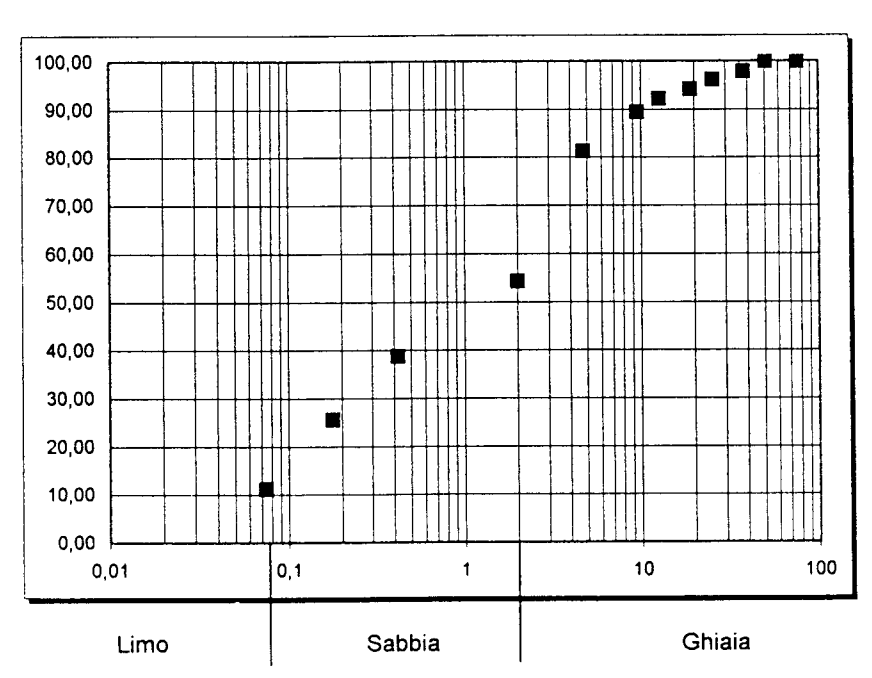
590,00

Ghiaia e sabbia debolmente limosa

Campione n°:

Α

Setaccio	Apertura	Peso inerte	% parziali	% totale	% totale
n°	delle maglie	trattenuto (g)	dei trattenuti	dei trattenuti	del passante
3"	76	-	-	-	100,00
2"	50,8	-	-	-	100,00
1"1/2	38,1	12,35	2,09	2,09	97,91
1"	25,4	10,21	1,73	3,82	96,18
3/4"	19,1	11,47	1,94	5,77	94,23
1/2"	12,7	12,06	2,04	7,81	92,19
3/8"	9,52	16,33	2,77	10,58	89,42
4	4,76	47,85	8,11	18,69	81,31
10	2,00	159,31	27,00	45,69	54,31
40	0,42	91,62	15,53	61,22	38,78
80	0,177	78,31	13,27	74,49	25,51
200	0,074	84,54	14,33	88,82	11,18
Fondo		65,95	11,18	100,00	-



Limiti di Atterberg non possibili



ANALISI GRANULOMETRICA Per setacciatura

Prova nº 13

Ente appaltante:

COMUNE di TORINO

Profondità:

da m. 18,60

Località:

Via Anselmetti

a m.

19,00

Sondaggio:

Ansenner

Data di prova:

02/12/97

Data del prelievo:

S 4 21/11/97

Umidità (%):

9,88

Terreno analizzato gr.:

1010,00

5,00

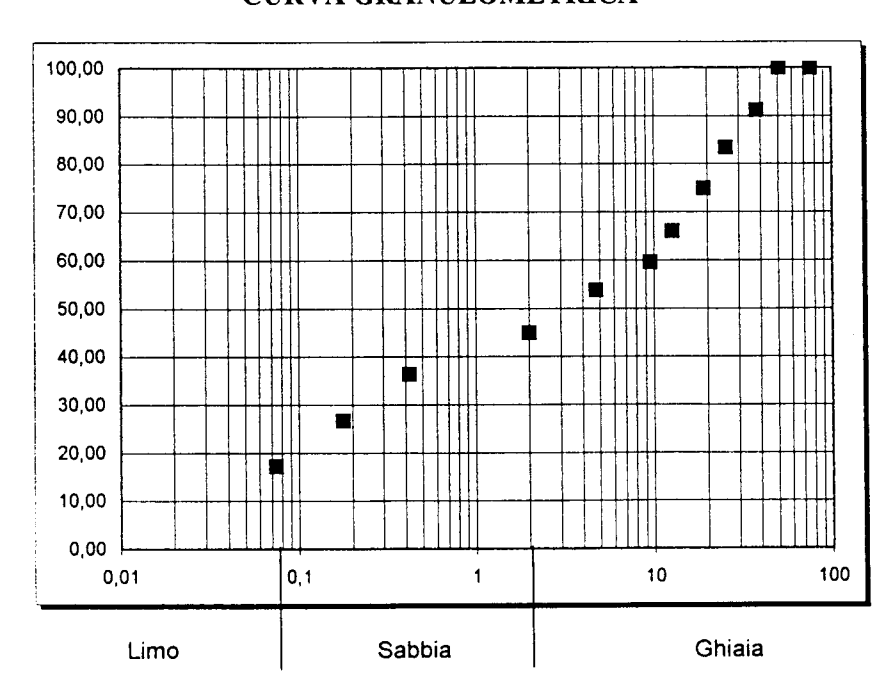
Classificazione del terreno:

Ghiaia e sabbia limosa

Campione n°:

В

Setaccio	Apertura	Peso inerte	% parziali	% totale	% totale
n°	delle maglie	trattenuto (g)	dei trattenuti	dei trattenuti	del passante
3"	76	-		-	100,00
2"	50,8	-	-		100,00
1"1/2	38,1	89,21	8,83	8,83	91,17
1"	25,4	78,62	7,78	16,62	83,38
3/4"	19,1	85,24	8,44	25,06	74,94
1/2"	12,7	90,01	8,91	33,97	66,03
3/8"	9,52	65,24	6,46	40,43	59,57
4	4,76	59,35	5,88	46,30	53,70
10	2,00	88,26	8,74	55,04	44,96
40	0,42	87,12	8,63	63,67	36,33
80	0,177	98,37	9,74	73,41	26,59
200	0,074	95,17	9,42	82,83	17,17
Fondo		173,41	17,17	100,00	-



Limiti di Atterberg non possibili



ANALISI GRANULOMETRICA Per setacciatura

Prova nº 14

Ente appaltante:

COMUNE di TORINO

Profondità:

da m.

Località:

Via Anselmetti

a m.

14,50 15,00

Sondaggio:

S 5

Data di prova: Umidità (%): 01/12/97

Data del prelievo:

25/11/97 610,00

8,92

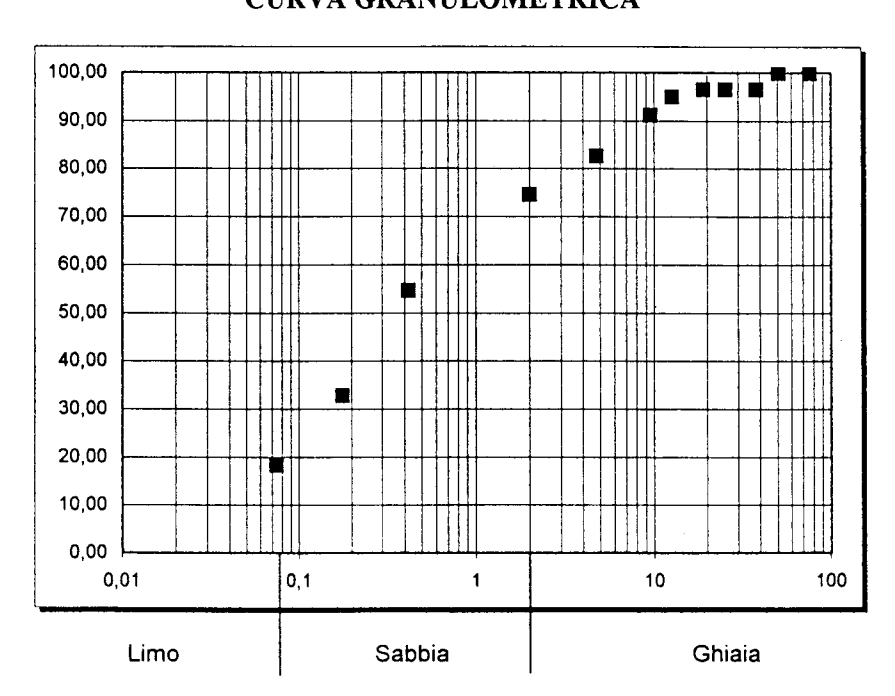
Terreno analizzato gr.: Classificazione del terreno:

Sabbia limosa con ghiaia

Campione n°:

Α

Setaccio	Apertura	Peso inerte	% parziali	% totale	% totale
n°	delle maglie	trattenuto (g)	dei trattenuti	dei trattenuti	del passante
3"	76	-	-	-	100,00
2"	50,8	-	-	-	100,00
1"1⁄2	38,1	21,35	3,50	3,50	96,50
1"	25,4	0,00	0,00	3,50	96,50
3/4"	19,1	0,00	0,00	3,50	96,50
1/2"	12,7	9,56	1,57	5,07	94,93
3/8"	9,52	22,54	3,70	8,76	91,24
4	4,76	52,63	8,63	17,39	82,61
10	2,00	48,71	7,99	25,38	74,62
40	0,42	121,66	19,94	45,32	54,68
80	0,177	133,57	21,90	67,22	32,78
200	0,074	88,26	14,47	81,69	18,31
Fondo		111,72	18,31	100,00	-



Limiti di Atterberg non possibili



ANALISI GRANULOMETRICA Per setacciatura

Prova nº 15

Ente appaltante:

COMUNE di TORINO

Profondità:

da m.

Località:

Via Anselmetti

a m.

17,50 18,00

Sondaggio:

S 5

Data di prova:

01/12/97

Data del prelievo:

25/11/97

Umidità (%):

7,01

Terreno analizzato gr.:

585,00

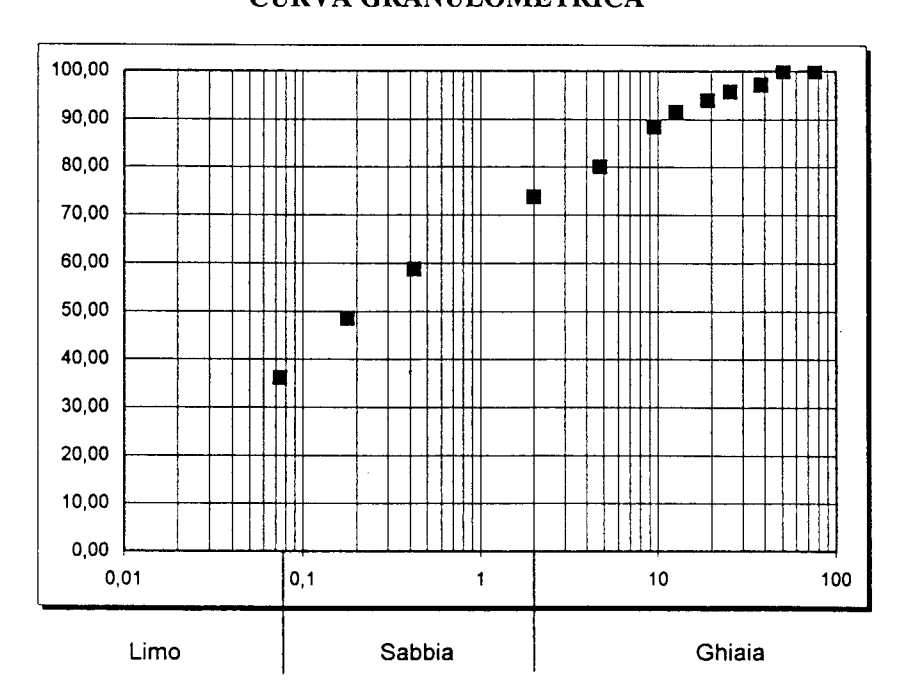
Campione n°:

В

Classificazione del terreno: Sab

a con limo e ghiaia

Setaccio	Apertura	Peso inerte	% parziali	% totale	% totale
n°	delle maglie	trattenuto (g)	dei trattenuti	dei trattenuti	del passante
3"	76	_	-	-	100,00
2"	50,8	-	-	-	100,00
1"1/2	38,1	16,58	2,83	2,83	97,17
1"	25,4	8,41	1,44	4,27	95,73
3/4"	19,1	10,03	1,71	5,99	94,01
1/2"	12,7	14,56	2,49	8,48	91,52
3/8"	9,52	18,45	3,15	11,63	88,37
4	4,76	49,00	8,38	20,01	79,99
10	2,00	36,00	6,15	26,16	73,84
40	0,42	88,20	15,08	41,24	58,76
80	0,177	60,33	10,31	51,55	48,45
200	0,074	72,39	12,37	63,92	36,08
Fondo		211,05	36,08	100,00	-



Limiti di Atterberg eseguiti



ANALISI GRANULOMETRICA Per sedimentazione

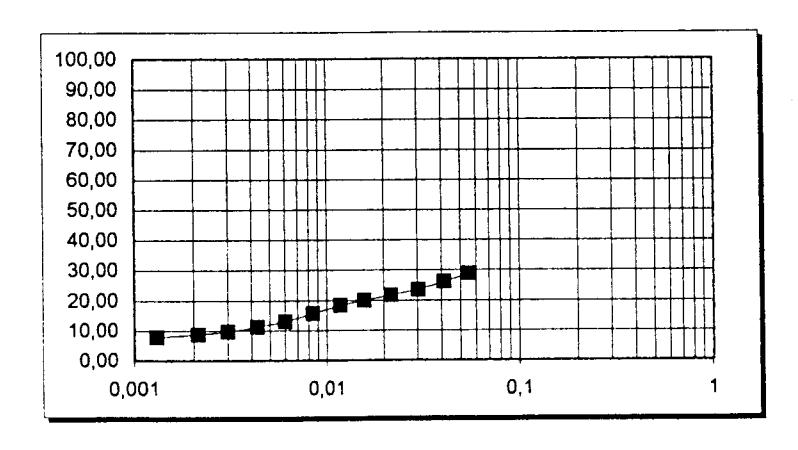
Prova nº 16

Ente appaitante:	COMUNE di TORINO	Profondità: da m.	17,50
Località:	Via Anselmetti	a m.	18,00
Sondaggio:	S 5	Data di prova	02/12/97
Data del prelievo:	25/11/97	Umidità:	7,01
Terreno analizzato gr.:	40,39	Campione n°:	В
Peso specifico g/cmc:	2,65	Cilindro n°:	2
% passante setaccio n°200:	36,08	Aerometro tipo:	152 H
Dispersivo :	(NaPO ₃) ₆ +Na ₂ CO ₃	K=	2,399
Corr. menisco:	0,5	Corr. temperatura	2,25
Corr. dispersivo:	-6,3	Fattore A:	1,01
Terreno:	Sabbia con limo e ghiaia		

_

		· · · · ·		5 (1)	5
Lettua	Tempi	Letture	Diametri	Passanti	Passanti
n°	(minuti)	aerometro	(mm)	(%)	cumulativi
1	0,5	36,0	0,0570	79,68	28,75
2	1	33,0	0,0412	72,41	26,12
3	2	30,0	0,0298	65,15	23,50
4	4	28,0	0,0214	60,31	21,76
5	8	26,0	0,0153	55,46	20,01
6	15	24,0	0,0114	50,62	18,26
7	30	21,0	0,0082	43,35	15,64
8	60	18,0	0,0059	36,09	13,02
9	120	16,0	0,0042	31,24	11,27
10	250	14,0	0,0030	26,40	9,52
11	500	13,0	0,0021	23,98	8,65
12	1391	12,0	0,0012	21,55	7,77

CURVA CUMULATIVA



Limo (%):

27,43

Argilla (%):



LIMITE LIQUIDO E LIMITE PLASTICO

Prova nº 17

Ente appaltante:

CITTA' DI TORINO

Campione n°: B

Località: Sondaggio n°

S 5

Profondità:

Data del prelievo:

25/11/97

Via Anselmetti

da m.

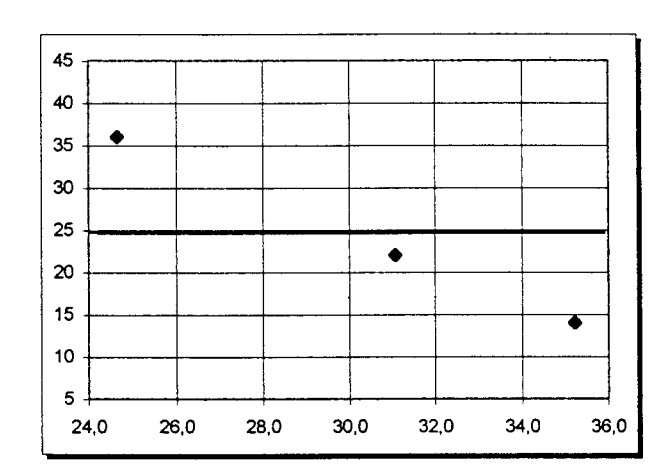
17,50

Data di prova :

02/12/97

a m.

	LIN	IITE LIQUID	0	LIMITE PL	ASTICO
Numero colpi	36	22	14		
Recipiente	11	G	3	n.p.	n.p.
Peso lordo umido (gr)	44,66	43,32	44,71		
Peso lordo secco (gr)	42,77	41,00	42,16		
Peso acqua (gr)	1,90	2,32	2,55		
Tara recipiente (gr)	35,07	33,54	34,92		
Peso netto secco (gr)	7,70	7,46	7,24		
Umidità (%):	24,65	31,06	35,22		



Limite liquido	29,83 %
Limite plastico	N.P.
Indice di plasticità	N.P.



ANALISI GRANULOMETRICA Per setacciatura

Prova nº 18

Ente appaltante:

COMUNE di TORINO

Profondità:

da m. 8,40

Località:

Via Anselmetti

a m.

8,80

Sondaggio:

S 6

Data di prova:

03/12/97

Data del prelievo:

27/11/97

Umidità (%):

10,25

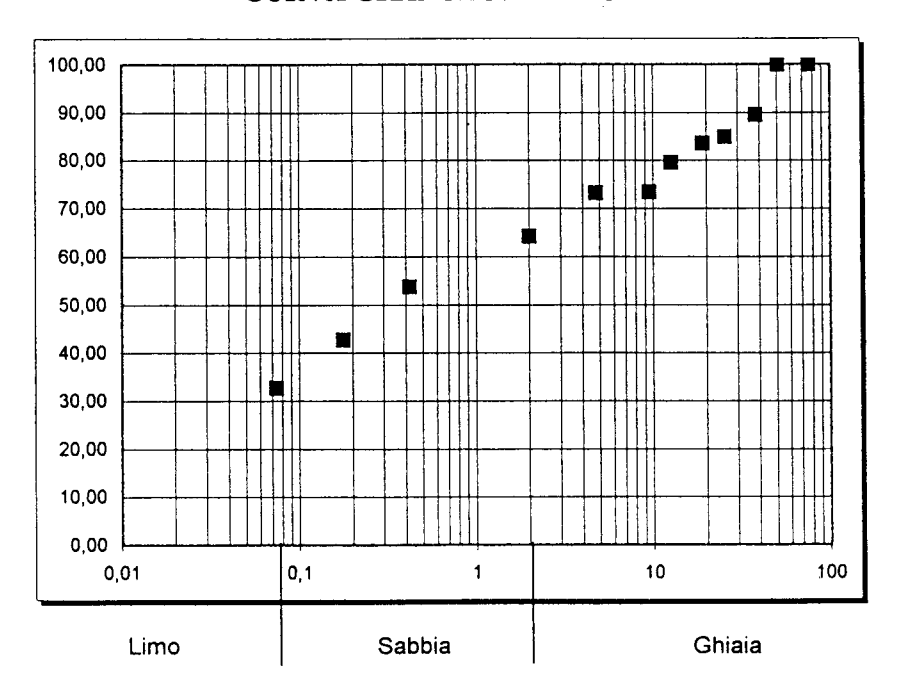
Terreno analizzato gr.: Classificazione del terreno: 920,00

Campione n°:

Α

assificazione del terreno:		Ghiaia e sabl	bia limosa
Sataccia	Apertura	I Boso inorto	% pagrial

Setaccio	Apertura	Peso inerte	% parziali	% totale	% totale
n°	delle maglie	trattenuto (g)	dei trattenuti	dei trattenuti	del passante
3"	76	-	-		100,00
2"	50,8	-	-	1	100,00
1"1/2	38,1	96,25	10,46	10,46	89,54
1"	25,4	42,35	4,60	15,07	84,93
3/4"	19,1	12,54	1,36	16,43	83,57
1/2"	12,7	36,38	3,95	20,38	79,62
3/8"	9,52	56,74	6,17	26,55	73,45
4	4,76	2,18	0,24	26,79	73,21
10	2,00	82,54	8,97	35,76	64,24
40	0,42	96,85	10,53	46,29	53,71
80	0,177	101,21	11,00	57,29	42,71
200	0,074	92,01	10,00	67,29	32,71
Fondo		300,95	32,71	100,00	-



Limiti di Atterberg eseguiti



ANALISI GRANULOMETRICA Per sedimentazione

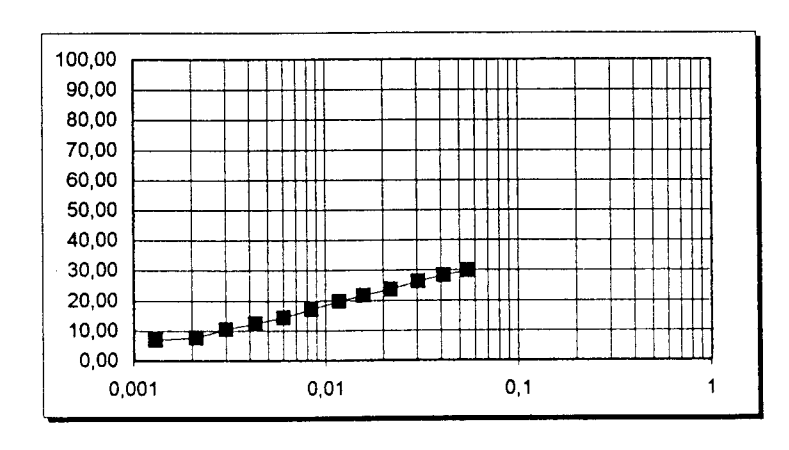
Prova nº19

Ente appaltante:	COMUNE di TORINO	Profondità: da m.	8,40
Località:	Via Anselmetti	a m.	8,80
Sondaggio:	S 6	Data di prova	06/12/97
Data del prelievo:	27/11/97	Umidità:	10,25
Terreno analizzato gr.:	40,01	Campione n°:	Α
Peso specifico g/cmc:	2,65	Cilindro n°:	2
% passante setaccio n°200:	32,71	Aerometro tipo:	152 H
Dispersivo :	(NaPO ₃) ₆ +Na ₂ CO ₃	K=	2,399
Corr. menisco:	0,5	Corr. temperatura	1
Corr. dispersivo:	-6,3	Fattore A:	0,99

Terreno: Ghiaia e sabbia limosa

Lettua	Tempi	Letture	Diametri	Passanti	Passanti
n°	(minuti)	aerometro	(mm)	(%)	cumulativi
1	0,5	42,0	0,0558	91,49	29,93
2	1	40,0	0,0401	86,73	28,37
3	2	37,5	0,0290	80,77	26,42
4	4	34,0	0,0210	72,43	23,69
5	8	31,5	0,0152	66,48	21,75
6	15	29,0	0,0113	60,52	19,80
7	30	25,5	0,0082	52,18	17,07
8	60	22,0	0,0059	43,84	14,34
9	120	19,5	0,0042	37,88	12,39
10	250	17,0	0,0030	31,93	10,44
11	500	13,5	0,0022	23,59	7,72
12	1391	12,5	0,0013	21,21	6,94

CURVA CUMULATIVA



Limo (%): 25,00

Argilla (%):



LIMITE LIQUIDO E LIMITE PLASTICO

Prova n° 20

Ente appaltante:

CITTA' DI TORINO

Campione n°: A

Località: Sondaggio n° Via Anselmetti S 6

Profondità:

Data del prelievo:

27/11/97

da m.

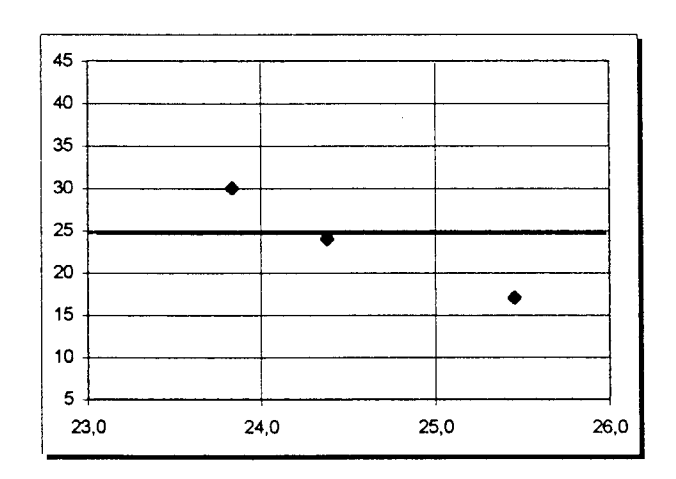
Data di prova :

04/12/97

a m.

8,40 8,20

	LIMITE LIQUIDO			LIMITE PLASTICO	
Numero colpi	30	24	17		
Recipiente	С	N	1	n.p.	n.p.
Peso lordo umido (gr)	44,11	43,82	44,39		
Peso lordo secco (gr)	42,28	42,00	42,56		_
Peso acqua (gr)	1,83	1,83	1,83		
Tara recipiente (gr)	34,61	34,50	35,36		
Peso netto secco (gr)	7,67	7,50	7,20		
Umidità (%):	23,83	24,38	25,45		



Limite liquido	24,38 %
Limite plastico	N.P.
Indice di plasticità	N.P.
_	



ANALISI GRANULOMETRICA Per setacciatura

Prova nº 21

Ente appaltante:

COMUNE di TORINO

Profondità:

14,50

Località:

Via Anselmetti

da m. 15,00

Sondaggio:

S 6

a m. Data di prova:

03/12/97

Data del prelievo:

27/11/97

Umidità (%):

13,01

Terreno analizzato gr.:

1520,00

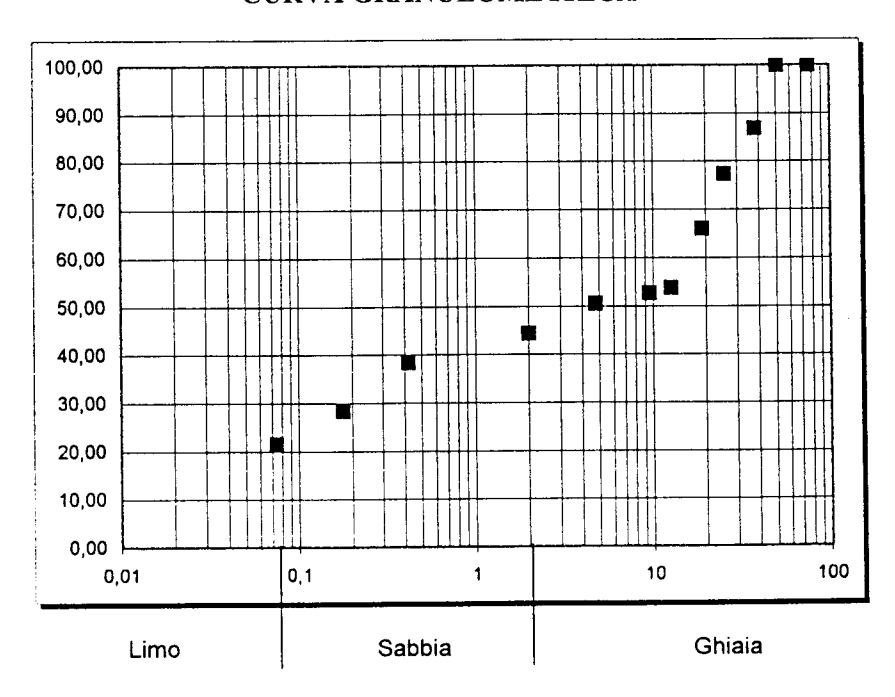
Campione n°:

В

Classificazione del terreno:

Ghiaia con sabbia limosa

Setaccio	Apertura	Peso inerte	% parziali	% totale	% totale
n°	delle maglie	trattenuto (g)	dei trattenuti	dei trattenuti	del passante
3"	76	_	-	-	100,00
2"	50,8	-	-	-	100,00
1"1/2	38,1	199,23	13,11	13,11	86,89
1"	25,4	145,28	9,56	22,67	77,33
3/4"	19,1	172,65	11,36	34,02	65,98
1/2"	12,7	185,36	12,19	46,22	53,78
3/8"	9,52	17,25	1,13	47,35	52,65
4	4,76	32,10	2,11	49,47	50,53
10	2,00	93,02	6,12	55,58	44,42
40	0,42	92,54	6,09	61,67	38,33
80	0,177	152,84	10,06	71,73	28,27
200	0,074	102,35	6,73	78,46	21,54
Fondo		327,38	21,54	100,00	-



Limiti di Atterberg eseguiti



ANALISI GRANULOMETRICA Per sedimentazione

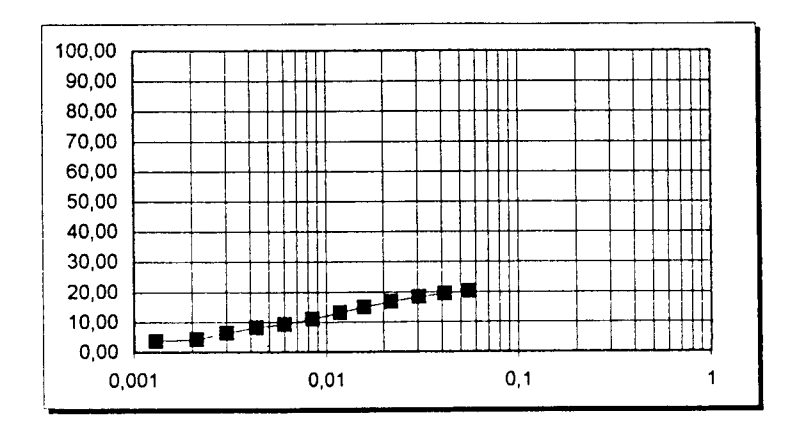
Prova nº 22

Ente appaltante:	COMUNE di TORINO	Profondità: da m.	14.50
Località:	Via Anselmetti	a m.	15,00
Sondaggio:	S 6	Data di prova	04/12/97
Data del prelievo:	27/11/97	Umidità:	13,01
Terreno analizzato gr.:	41,2	Campione n°:	В
Peso specifico g/cmc:	2,65	Cilindro n°:	1
% passante setaccio n°200:	21,54	Aerometro tipo:	152 H
Dispersivo :	(NaPO ₃) ₆ +Na ₂ CO ₃	K=	2,556
Corr. menisco:	0,5	Corr. temperatura	1
Corr. dispersivo:	-6,3	Fattore A:	0,99
-	Objeja sam aabbia limaaa		

Terreno: Ghiaia con sabbia limosa

Lettua	Tempi	Letture	Diametri	Passanti	Passanti
n°	(minuti)	aerometro	(mm)	(%)	cumulativi
1	0,5	41,0	0,0573	94,55	20,36
2	1	39,0	0,0409	89,74	19,33
3	2	37,0	0,0294	84,93	18,29
4	4	34,0	0,0213	77,71	16,74
5	8	30,5	0,0155	69,29	14,92
6	15	27,0	0,0116	60,87	13,11
7	30	23,0	0,0084	51,24	11,04
8	60	19,5	0,0061	42,82	9,22
9	120	17,5	0,0043	38,01	8,19
10	250	14,0	0,0031	29,59	6,37
11	500	10,0	0,0022	19,97	4,30
12	1391	9,0	0,0013	17,56	3,78

CURVA CUMULATIVA



Limo (%):

17,24

Argilla (%):



ANALISI GRANULOMETRICA Per setacciatura

Prova nº 23

Ente appaltante:

COMUNE di TORINO

Profondità:

8,40 da m.

Località:

Via Anselmetti

a m.

8,70

Sondaggio:

S 7

Data di prova:

02/12/97

Data del prelievo:

26/11/97

Umidità (%):

10,23

Terreno analizzato gr.:

Classificazione del terreno:

10

40

80

200

Fondo

2,00

0,42

0,177

0,074

1010,00

101,25

106,99

184,23

99,75

207,40

Ghiaia con sabbia limosa

Campione n°:

59,24

48,65

30,41

20,53

Α

Setaccio	Apertura	Peso inerte	% parziali	% totale	% totale
n°	delle maglie	trattenuto (g)	dei trattenuti	dei trattenuti	del passante
3"	76	-	-	-	100,00
2"	50,8	-	-	_	100,00
1"1/2	38,1	102,35	10,13	10,13	89,87
1"	25,4	0,00	0,00	10,13	89,87
3/4"	19,1	0,00	0,00	10,13	89,87
1/2"	12,7	95,74	9,48	19,61	80,39
3/8"	9,52	22,54	2,23	21,84	78,16
4	4,76	89,75	8,89	30,73	69,27

CURVA GRANULOMETRICA

10,02

10,59

18,24

9,88

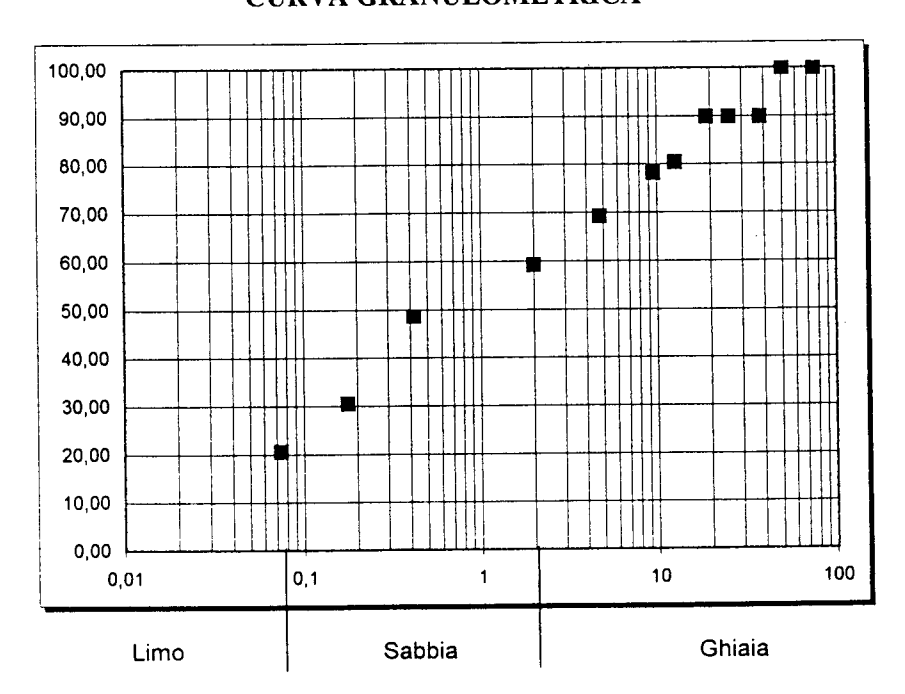
20,53

40,76

51,35

69,59

79,47



Limiti di Atterberg eseguiti



Terreno:

LABORATORIO TERRE

ANALISI GRANULOMETRICA Per sedimentazione

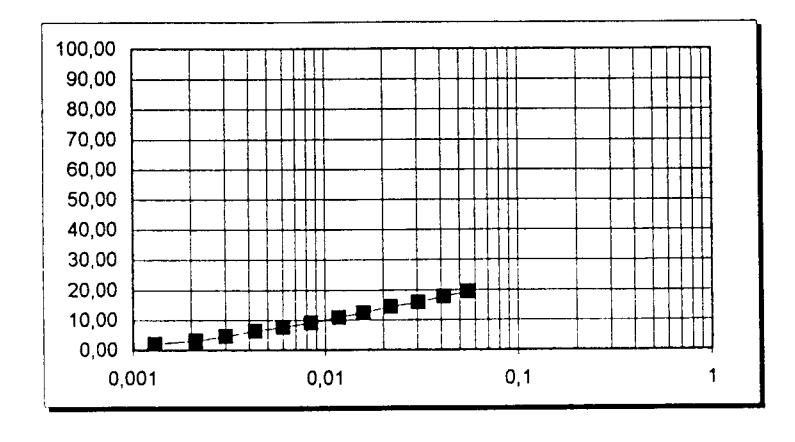
Prova nº 24

Ente appaltante:	COMUNE di TORINO	Profondità: da m.	8,40
Località:	Via Anselmetti	a m.	8,70
Sondaggio:	S 7	Data di prova	04/12/97
Data del prelievo:	26/11/97	Umidità:	10,23
Terreno analizzato gr.:	39,12	Campione n°:	Α
Peso specifico g/cmc:	2,64	Cilindro n°:	2
% passante setaccio n°200:	20,53	Aerometro tipo:	152 H
Dispersivo :	(NaPO ₃) ₆ +Na₂CO ₃	K=	2,776
Corr. menisco:	0,5	Corr. temperatura	1,01
Corr. dispersivo:	-6,3	Fattore A:	1

Ghiaia con sabbia limosa

Lettua	Tempi	Letture	Diametri	Passanti	Passanti
	•				
n°	(minuti)	aerometro	(mm)	(%)	cumulativi
1	0,5	43,0	0,0556	94,54	19,41
2	1	39,5	0,0406	86,74	17,81
3	2	36,5	0,0294	76,84	15,78
4	4	33,0	0,0214	70,54	14,49
5	8	29,0	0,0156	60,95	12,52
6	15	25,5	0,0116	52,55	10,79
7	30	22,0	0,0084	44,15	9,07
8	60	19,0	0,0061	36,95	7,59
9	120	16,5	0,0044	30,95	6,36
10	250	13,0	0,0031	22,55	4,63
11	500	10,0	0,0022	15,36	3,15
12	1391	8,0	0,0013	10,56	2,17

CURVA CUMULATIVA



Limo (%):

17,38

Argilla (%):



LIMITE LIQUIDO E LIMITE PLASTICO

Prova n° 25

Ente appaitante:

CITTA' DI TORINO

Campione n°: A

Località:

S 7

Profondità:

Sondaggio n° Data del prelievo:

26/11/97

Via Anselmetti

da m.

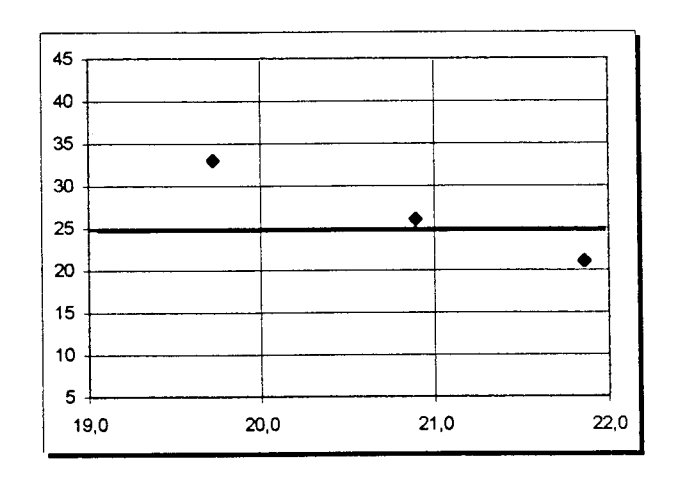
Data di prova :

04/12/97

a m.

8,40 8,70

	LIN	IITE LIQUID	0	LIMITE PLASTICO	
Numero colpi	33	26	21		
Recipiente	T	33	12	n.p.	n.p.
Peso lordo umido (gr)	45,10	42,35	44,73		
Peso lordo secco (gr)	43,58	40,79	43,14		
Peso acqua (gr)	1,51	1,56	1,59		
Tara recipiente (gr)	35,90	33,33	35,86		
Peso netto secco (gr)	7,68	7,46	7,28		
Umidità (%):	19,72	20,89	21,86	1	



Limite liquido	21,12 %
Limite plastico	N.P.
Indice di plasticità	N.P.



ANALISI GRANULOMETRICA Per setacciatura

Prova nº 26

Ente appaltante:

COMUNE di TORINO

Profondità:

12,50

Località:

Via Anselmetti

da m. a m.

13,00

Sondaggio:

S 7

Data di prova:

03/12/97

Data del prelievo:

26/11/97

Umidità (%):

10,03

Terreno analizzato gr.:

770,00

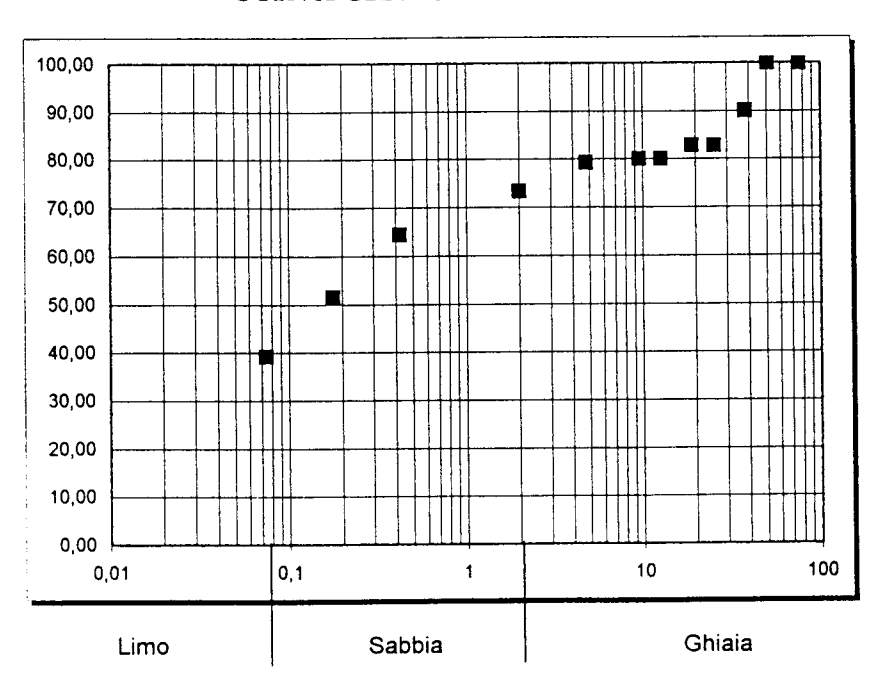
Classificazione del terreno:

Sabbia con ghiaia e limo

Campione n°:

В

	T	r 		24 1 4 1	0/ 1 / 1
Setaccio	Apertura	Peso inerte	% parziali	% totale	% totale
n°	delle maglie	trattenuto (g)	dei trattenuti	dei trattenuti	del passante
3"	76	-	-	-	100,00
2"	50,8	-	-	-	100,00
1"1/2	38,1	76,35	9,92	9,92	90,08
1"	25,4	56,21	7,30	17,22	82,78
3/4"	19,1	0,00	0,00	17,22	82,78
1/2"	12,7	21,33	2,77	19,99	80,01
3/8"	9,52	0,00	0,00	19,99	80,01
4	4,76	6,18	0,80	20,79	79,21
10	2,00	45,21	5,87	26,66	73,34
40	0,42	68,32	8,87	35,53	64,47
80	0,177	100,09	13,00	48,53	51,47
200	0,074	94,21	12,24	60,77	39,23
Fondo		302,10	39,23	100,00	-



Limiti di Atterberg eseguiti



ANALISI GRANULOMETRICA Per sedimentazione

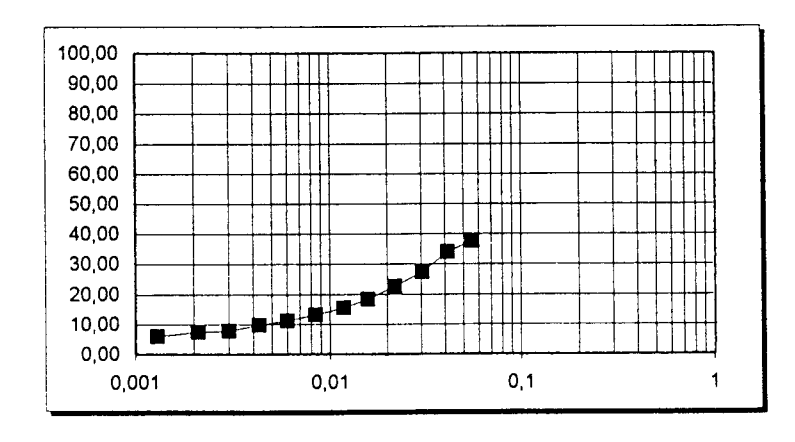
Prova n° 2千

Ente appaltante:	COMUNE di TORINO	Profondità:	da m.	12.50
• •		i ioionala.	aa III.	•
Località:	Via Anselmetti		a m.	13,00
Sondaggio:	S 7	Data di prov	а	06/12/97
Data del prelievo:	26/11/97	Umidità:		10,03
Terreno analizzato gr.:	40,01	Campione n	٥.	В
Peso specifico g/cmc:	2,64	Cilindro n°:		3
% passante setaccio n°200:	39,23	Aerometro ti	po:	152 H
Dispersivo :	(NaPO ₃) ₆ +Na ₂ CO ₃	K=		2,421
Corr. menisco:	0,5	Corr. temper	ratura	2,5
Corr. dispersivo:	-6,3	Fattore A:		1
T	Chiaia a sabbia limasa			

Terreno: Ghiaia e sabbia limosa

Lettua	Tempi	Letture	Diametri	Passanti	Passanti
n°	(minuti)	aerometro	(mm)	(%)	cumulativi
1	0,5	41,0	0,0533	96,34	37,80
2	1	37,0	0,0381	86,66	34,00
3	2	30,0	0,0274	69,72	27,35
4	4	25,0	0,0194	57,61	22,60
5	8	20,5	0,0140	46,72	18,33
6	15	17,5	0,0104	39,46	15,48
7	30	15,0	0,0075	33,41	13,11
8	60	13,0	0,0055	28,56	11,21
9	120	11,5	0,0039	24,93	9,78
10	250	9,5	0,0028	20,09	7,88
11	500	9,0	0,0020	18,88	7,41
12	1391	7,5	0,0012	15,25	5,98

CURVA CUMULATIVA





LABORATORIO TERRE

LIMITE LIQUIDO E LIMITE PLASTICO

Prova n° 28

Ente appaltante:

CITTA' DI TORINO

Campione n°: B

Località: Sondaggio n°

Via Anselmetti

S 7

Profondità:

Data del prelievo:

26/11/97

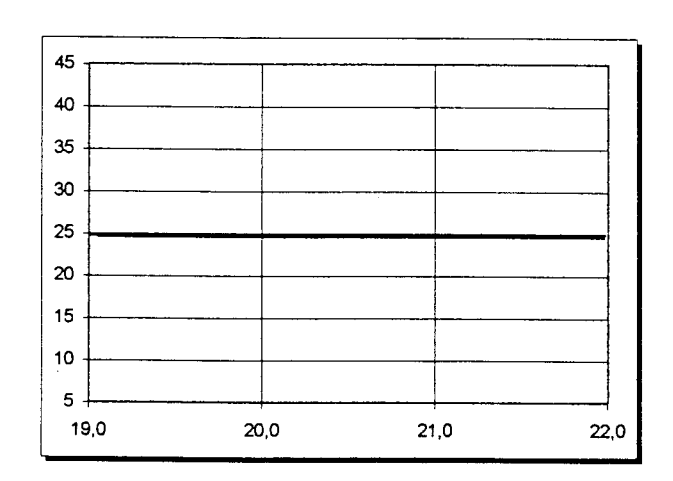
da m. 12,50

Data di prova :

04/12/97

a m. 13,00

	LIN	IITE LIQUID	0	LIMITE PL	ASTICO
Numero colpi	33	28	21		1
Recipiente	3	Α	2	n.p.	n.p.
Peso lordo umido (gr)	28,71	43,97	43,78		
Peso lordo secco (gr)	26,77	42,05	41,68		
Peso acqua (gr)	1,94	1,93	2,10		
Tara recipiente (gr)	18,98	34,92	34,65		
Peso netto secco (gr)	7,79	7,13	7,03		
Umidità (%):	24,94	27,02	29,86		



Limite liquido	28,23 %
Limite plastico	N.P.
Indice di plasticità	N.P.



LABORATORIO TERRE

ANALISI GRANULOMETRICA Per setacciatura

Prova nº 29

Ente appaltante:

COMUNE di TORINO

Profondità:

7,60

Località:

Via Anselmetti

da m. a m.

8,00

Sondaggio:

S 8

Data di prova:

03/12/97

Data del prelievo:

24/11/97

Umidità (%):

9,21

Terreno analizzato gr.:

812,00

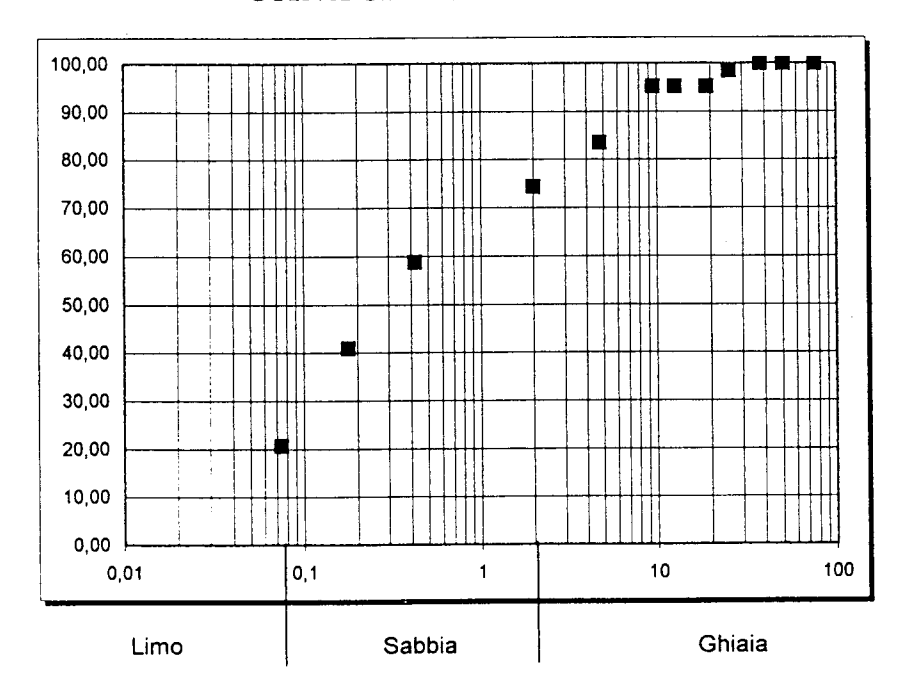
Α

Classificazione de	el terreno:	Sabbia	limosa	con	ghiaia

Campione n°:

Setaccio	Apertura	Peso inerte	% parziali	% totale	% totale
n°	delle maglie	trattenuto (g)	dei trattenuti	dei trattenuti	del passante
3"	76	-	-	-	100,00
2"	50,8	-	-	-	100,00
1"1/2	38,1	_	-	-	100,00
1"	25,4	12,54	1,54	1,54	98,46
3/4"	19,1	26,31	3,24	4,78	95,22
1/2"	12,7	0,00	0,00	4,78	95,22
3/8"	9,52	0,00	0,00	4,78	95,22
4	4,76	95,23	11,73	16,51	83,49
10	2,00	74,21	9,14	25,65	74,35
40	0,42	126,74	15,61	41,26	58,74
80	0,177	144,52	17,80	59,06	40,94
200	0,074	165,31	20,36	79,42	20,58
Fondo		167,14	20,58	100,00	-

CURVA GRANULOMETRICA



Limiti di Atterberg non possibili



LABORATORIO TERRE

ANALISI GRANULOMETRICA Per setacciatura

Prova nº 30

Ente appaltante:

COMUNE di TORINO

Profondità:

da m. 10,50

Località:

Via Anselmetti

a m.

11,00

Sondaggio:

S 8

Data di prova:

24/11/97

Data del prelievo:

24/11/97 730,00 Umidità (%):

8,76

Terreno analizzato gr.: Classificazione del terreno:

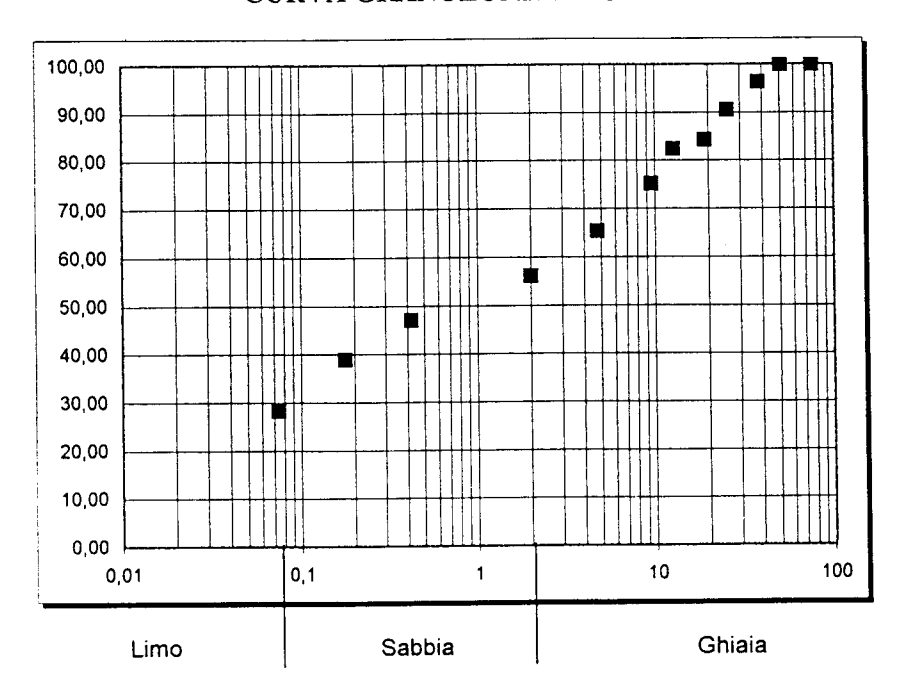
Sabbia limosa con ghiaia

Campione n°:

В

Setaccio	Apertura	Peso inerte	% parziali	% totale	% totale
n°	delle maglie	trattenuto (g)	dei trattenuti	dei trattenuti	del passante
3"	76	-	_	-	100,00
2"	50,8	-	-	-	100,00
1"1/2	38,1	10,26	1,41	1,41	98,59
1"	25,4	58,31	7,99	9,39	90,61
3/4"	19,1	24,09	3,30	12,69	87,31
1/2"	12,7	17,35	2,38	15,07	84,93
3/8"	9,52	18,26	2,50	17,57	82,43
4	4,76	96,54	13,22	30,80	69,20
10	2,00	90,21	12,36	43,15	56,85
40	0,42	89,35	12,24	55,39	44,61
80	0,177	92,44	12,66	68,06	31,94
200	0,074	102,34	14,02	82,08	17,92
Fondo		130,85	17,92	100,00	-

CURVA GRANULOMETRICA



Limiti di Atterberg non possibili

CITTA' di TORINO

SETTORE TECNICO IV° - PONTI, ALVEI FLUVIALI, FOGNATURE

COSTRUZIONE COLLETTORE BIANCO in STRADA del PORTONE e Via ANSELMETTI

PROVE DI POINT LOAD TEST



POINT LOAD TEST

Certificato nº 97/110/01

Committente: GEOTECNO S.p.A.

Cantiere: Via Anselmetti

Località. Torino

Duta ricevimento 02/12/97
Stoccaggio cumpione: Cella
Campionamento: Spezzoni di carota

Note

Sondaggio: \$1 e \$2 Campione. diversi

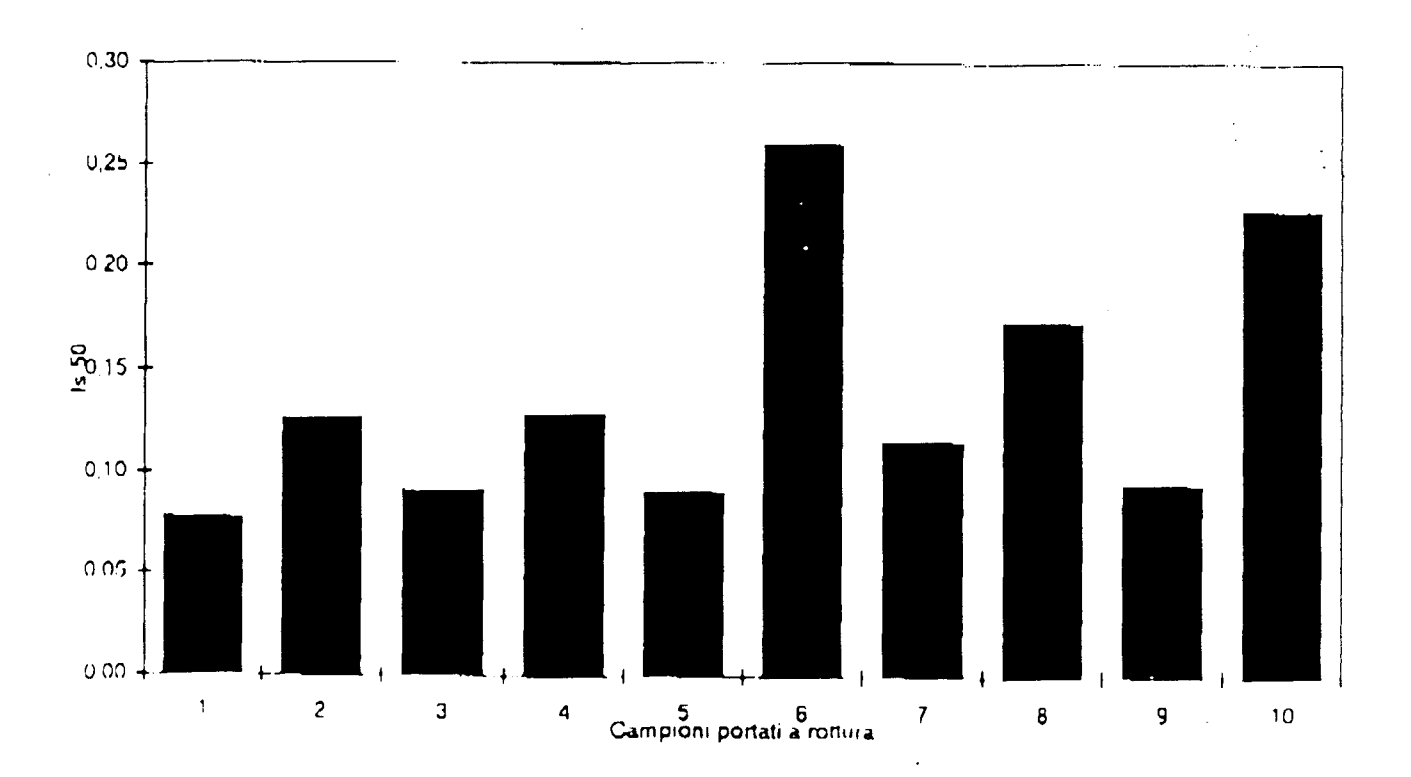
Profondità: diverse

Data esecuzione prova. 03/12/1997 Specifica di prova: ISRM (1985) Operature: Datt. A. MIRENGHI

CAMPIONE	PROF.(m)	DIREZIONE	Dm(cm)	P(KN)	Is(MPa)	Is 50mm	DESCRIZIONE CAMPIONE
SI CI	5.75-5.90	()	7,8	3,8	0,06	80,0	Conglomerato
SI CI	5.75-5.90	Λ	5,5	3,65	0,12	0,13	"
S1 C3	6,60-6,70	D)	7,5	1,2	0,07	0,09	
81 C3	6.60-6,70	Λ	5,8	1	0,12	0,17	"
S2 C1	9,10-9,18	D	7,5	4,15	0,07	(1,09	n
S2 C1	9,10-9,1K	Λ	5,5	7,5	0,25	0,26	"
S2 C2	10,30-10,45	D	7,7	5,5	0.09	0,12	11
S2 C2	10,30-10,45	Λ	5,5	.5	0,17	0,17	н
S2 C3	17,20-17,30	מ	7,7	4,5	0.08	0,09	11
S2 C3	17,20-17,50		6,8	4	0,19	0,23	tt.

(A TEST ASSIALE; D-TEST DIAMETRALE)

(Dm = Distanza media tra le punte)



Deners



PROVA DI RESISTENZA A COMPRESSIONE MONOASSIALE

Certificato nº 97/112/02

Committente GEOTECNO S.p.A.

Cantiere Vin Anselmetti

Località: Torino

Data ricevimento: 02/12/97 Stoccaggio campione. Cella

Campionimento: Spezzoni di curutu

Note:

Sondaggio: S1 c S2

Campione: diversi

Profondità: diverse
Data esecuzione prova: 03/12/1997

Specifica di prova: ISRM (1985)

Operatore: Dott. A. MIRENGHI

Peso di volume del provino: 24,83 kN/m3

AMPIONE	PROF	AREA	AI.TEZZA	r	oc
	m	cmq	mm	KN	MPa
SI C2	6,40-6,60	47,76	161,50	60,7	12,71

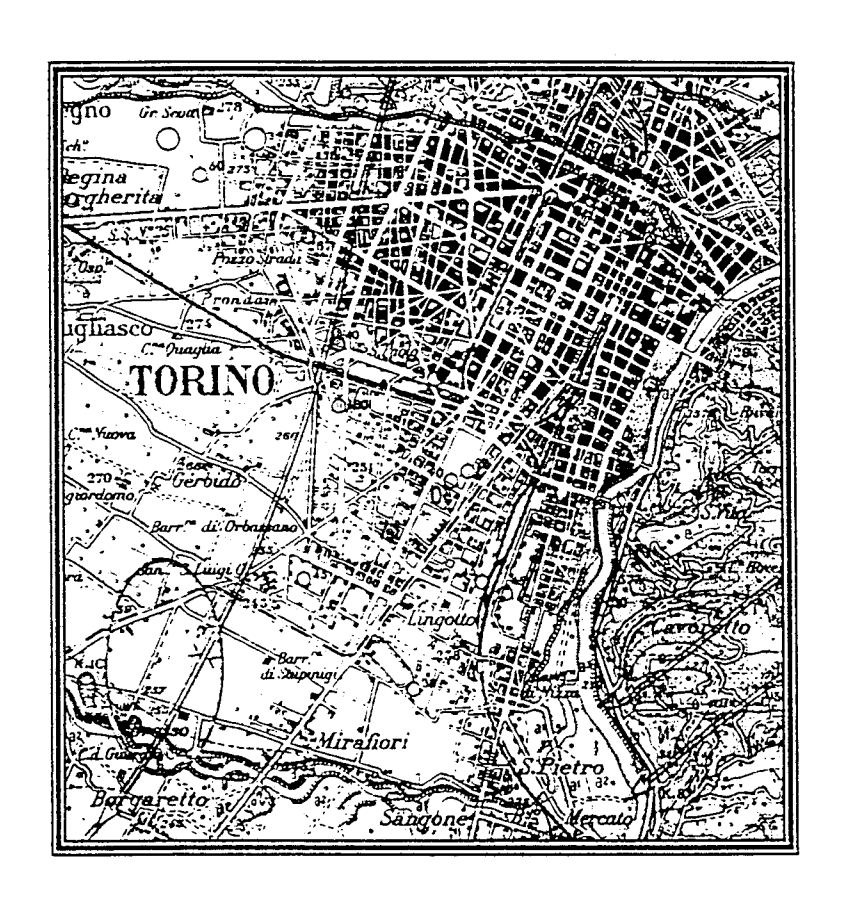
NOTE: Rottura regolare lungo la matrice e i ciottoli, a clessidra

Jumes

CITTA' di TORINO

SETTORE TECNICO IV° - PONTI, ALVEI FLUVIALI, FOGNATURE.

COSTRUZIONE COLLETTORE BIANCO in STRADA del PORTONE e Via ANSELMETTI



RELAZIONE GEOLOGICA



NOVEMBRE 1997

PREMESSA	2
1. INQUADRAMENTO GEOLOGICO GENERALE	4
2. GEOLOGIA, GEOMORFOLOGIA ED IDROGEOLOGIA LOCALE	7
3. INDAGINI IN SITO	10
3.1 ATTREZZATURE DI PERFORAZIONE	12
3.3 PROVE STANDARD PENETRATION TEST (S.P.T.)	
5. STRATIGRAFIE DEI TERRENI INDAGATI E CONSIDERAZIONI CONCLUSIVE	21

PREMESSA

Come previsto dal programma triennale dell'OO.PP. 1997 - 1998 e 1999, la Città di Torino prevede di portare a compimento la progettazione esecutiva di collettore bianco in strada del Portone e Via Anselmetti il cui progetto preliminare è stato approvato con Delibera G.C. 29.07.97 mecc. 9704474/34 ed affidato alla Società Geotecno S.r.l. nella persona del Dott. Geol. Roberto Giacometti l'incarico per l'esecuzione delle indagini geognostiche e lo studio geologico connesso con Delibera del G.C. n. 3399 del 21.10.97 (mecc. 9706608/34).

I risultati dei rilievi e delle indagini geognostiche eseguite in situ ed in laboratorio sono in accordo a quanto prescritto dal vigente **D.M. 11 marzo 1988** " Norme tecniche riguardanti le indagini sui terreni e sulle rocce, la stabilità dei pendii naturali e delle scarpate, i criteri generali e le prescrizioni per la progettazione, l'esecuzione ed il collaudo delle opere di sostegno delle terre e delle opere di fondazione".

Lo studio geologico è stato effettuato avendo preso visione di:

- planimetria, scala 1:10.000

- profilo, scala 1:2.000

L'attività di indagine si è esplicata con l'effettuazione di:

- raccolta ed organizzazione dei dati geologici e stratigrafici esistenti;
- esecuzione di n° 8 sondaggi in Via Anselmetti con effettuazione in foro di prove S.P.T.
- analisi geotecnica di laboratorio su campioni rappresentativi di terreni indagati comprendenti:
 - a) granulometrie eseguite mediante vagliatura per via umida e per sedimentazione
 - b) determinazione dei limiti di consistenza del terreno (limiti di Atterberg);
 - c) Prove Point Load Test su spezzoni di conglomerato.
 - d) Prove di compressione monoassiali su spezzoni di conglomerato.

1. Inquadramento geologico generale

L'area in studio è ubicata alla periferia Sud-occcidentale della città di Torino, geologicamente appartenente alla Pianura Torinese, si tratta di un settore di pianura compreso tra il bordo alpino e quello della Collina di Torino che costituisce l'elemento di raccordo tra la pianura cuneese ed il resto della pianura padana.

La cartografia geologica ufficiale è rappresentata dal Foglio n° 56 "TORINO" della Carta Geologica d'Italia, alla scala 1 :100.000.

L'assetto litologico stratigrafico della pianura torinese è costituito da una coltre di depositi alluvionali e fluvioglaciali (ambiente continentale) di età pliocenica superiore-olocenica, sovrapposta ad una serie di depositi di natura lacustre - fluviale (Complesso Villafranchiano di età Pleistocene inf. - Pliocene sup.), poggianti a loro volta su depositi marini di età pliocenica ed infine su rocce di ambiente marino più antico di età compresa tra l'Eocene e il Miocene; queste ultime costituiscono l'ossatura della Collina di Torino.

La morfologia è subpianeggiante, caratterizzata dalla presenza di una serie di terrazzi, geneticamente legati alle conoidi

fluvioglaciali dei Fiumi Dora Riparia, Stura di Lanzo, ecc. compresi tra le fasce di alluvioni più recenti e rilevati di parecchi metri rispetto ad esse.

I depositi fluvioglaciali (Pleistocene medio - Pleistocene sup.) sono costituiti da ghiaie e sabbie con subordinati livelli limoso argillosi, e geologicamente sono stati così distinti (dai più antichi ai più recenti):

- * Fluvioglaciale Mindel (Auct.) caratterizzato dalla presenza in superficie di un paleosuolo costituito da argille rosso brune (ferretto) con ciottoli silicatici alteratissimi, mentre sono assenti i ciottoli calcarei.
- * Fluvioglaciale Riss (Autc.) che costituisce un alto terrazzo, sospeso di 20 25 metri sugli attuali corsi d'acqua e ricopre il fluvioglaciale Mindel.

 In superficie è presente un paleosuolo costituito da argille giallo arancio con ciottoli silicatici in fase di avanzata alterazione ; sono inoltre presenti ciottoli calcarei.
- * Fluvioglaciale Wurm (Autc.) che costituisce un terrazzo ghiaioso argilloso con suolo bruno ed è limitato a ristretti lembi lungo la Dora Riparia, sospesi con scarpate di alcuni metri sull'alveo attuale.

I depositi alluvionali, di età olocenica, formano un sistema di terrazzi lungo gli attuali corsi d'acqua, differenziati tra loro in base alla vulnerabilità nei confronti degli eventi di piena : le alluvioni attuali costituiscono l'alveo dei corsi d'acqua, le alluvioni medio - recenti sono tuttora esondabili mentre le alluvioni antiche sono maggiormente sospese sulle alluvioni medio - recenti. Si tratta di terreni costituiti prevalentemente da ghiaie con subordinate lenti sabbiose ed argilloso sabbiose.

2. Geologia, Geomorfologia ed Idrogeologia locale

L'area in esame è ubicata nel ripiano della pianura torinese compreso tra il corso del Fiume Dora Riparia (a nord), del Fiume Po (a est) e del Torrente Sangone (a sud).

L'assetto geologico di superficie è rappresentato, nel settore più interno della pianura, dai depositi del Fluvioglaciale - Fluviale Riss che formano una serie di terrazzi morfologici rilevati di una ventina di metri rispetto al corso attuale del Torrente Sangone; questi depositi sono costituiti da una sequenza, di terreni essenzialmente ciottoloso - ghiaiosi e subordinatamente sabbiosi, con intercalati livelli limoso-argillosi potente qualche metro.

Nella fascia di pianura in sinistra orografica del Torrente Sangone, affiorano i depositi del Fluvioglaciale - Fluviale Mindel, caratterizzati dalla presenza in superficie di un paleosuolo costituito da argille rosso - brune (ferretto) con ciottoli silicatici alteratissimi, mentre sono assenti i ciottoli calcarei.

I depositi mindelliani e rissiani risultano incisi e parzialmente ricoperti dai depositi fluviali appartenenti alle Alluvioni antiche, alle Alluvioni medio-recenti, le quali formano una serie di terrazzi a quote decrescenti dal più antico al più recente, fino a raccordarsi con le Alluvioni attuali (Olocene) che rappresentano l'alveo del Torrente Sangone; i depositi alluvionali presentano una

granulometria grossolana ghiaioso - ciottoloso - sabbiosa, con livelli limoso - sabbiosi di limitata estensione e potenza.

Alla base dei depositi rissiani e nei depositi più antichi sottostanti si trovano dei livelli ghiaioso - sabbiosi fortemente cementati ("Ceppo" Autc., riferibile all'interglaciale Gunz - Mindel di età Pleistocene inferiore), si tratta di intercalazioni conglomeratiche (ghiaie poligeniche cementate) più o meno stratificate, a grado di cementazione variabile.

I livelli cementati sono presenti a pochi metri di profondità nelle aree in sponda sinistra orografica del Torrente Sangone (dalla zona di Beinasco fino alla confluenza con il Fiume Po) e nelle aree fiancheggianti la sponda sinistra del Fiume Po; essi si estendono con continuità sotto forma di un'ampia conoide, con spessori (pari a circa 30 metri come valore massimo) che diminuiscono proggressivamente andando dal bordo alpino al Fiume Po.

In profondità, sotto la coltre di depositi fluviali quaternari, sono presenti alternanze di livelli fini limoso-argillosi di natura lacustre, e livelli grossolani ghiaioso-sabbiosi di natura fluviale (Complesso Villafranchiano di età Pleistocene inferiore - Pliocene superiore), fino a profondità superiori a 150 metri dal piano campagna.

Per quanto riguarda l'idrogeologia, i depositi fluviali e fluvioglaciali pleistocenici sono sede di una falda libera (i livelli cementati possono formare dei diaframmi impermeabili in grado di pressurizzare localmente le falde) collegata al reticolato idrografico che agisce da dreno. I valori di soggiacenza sono elevati, dell'ordine di circa 20 metri del settore di pianura più rilevato, valori

che diminuiscono spostandosi verso il corso del Torrente Sangone, fino a raccordarisi con la falda contenuta nei depositi alluvionali olocenici sede di una falda libera con bassa soggiacenza, in rapporti di interdipendenza con il reticolo idrografico superficiale.

3. Indagini in sito

La campagna di indagine è consistita nell'esecuzione di n° 8 sondaggi a carotaggio continuo spinti ad una profondità max di 21.50 metri da p.c..

In particolare, sono stati eseguiti:

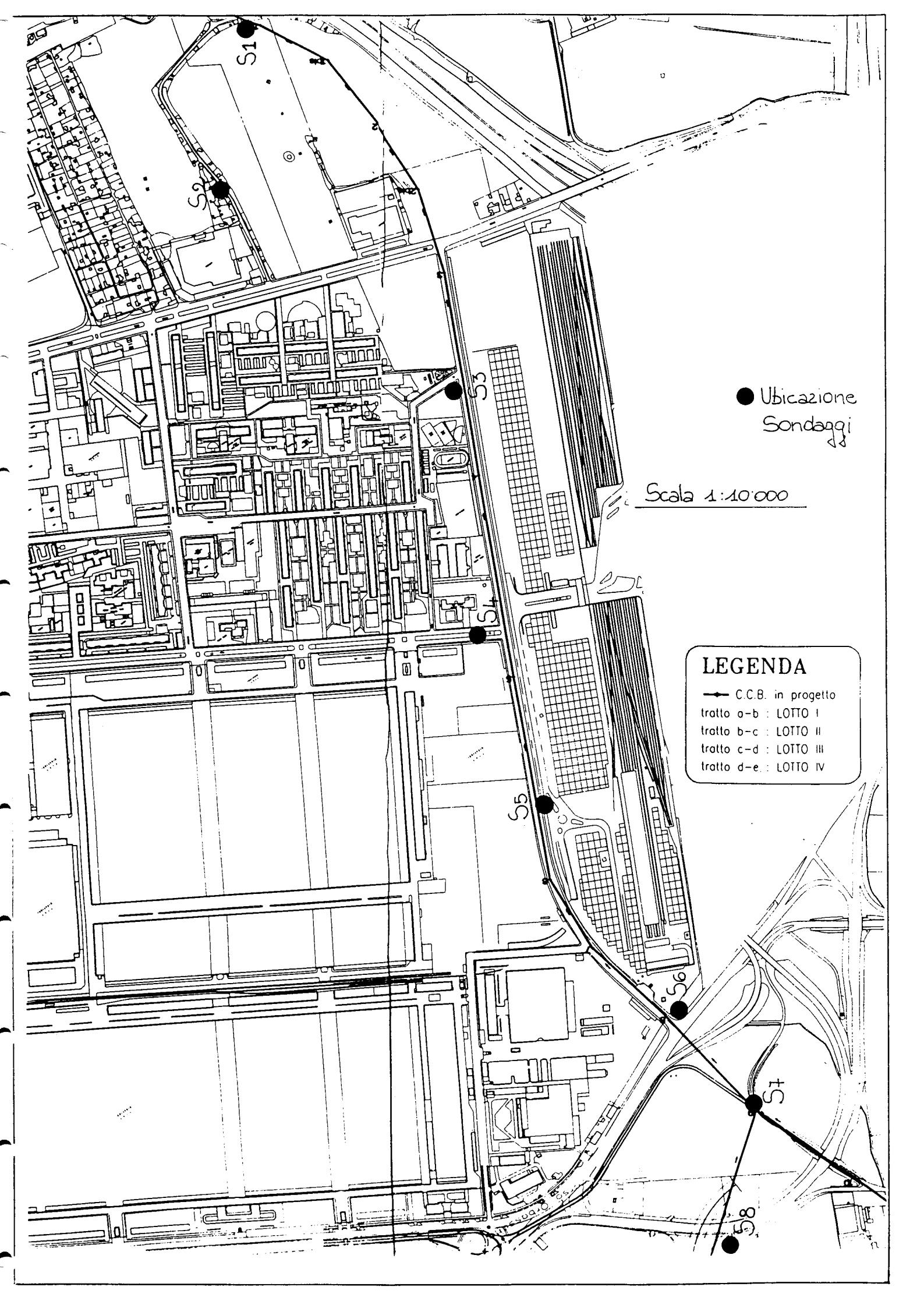
- n° 1 sondaggio spinto a 15 metri da p.c. (S8).
- n° 1 sondaggio spinto a 20 metri da p.c. (S4).
- n° 5 sondaggi spinti a 21 metri da p.c. (S2 S3 S5- S6 S7).
- n° 1 sondaggio spinto a 21.50 metri da p.c. (S1).

L'ubicazione dei sondaggi è riportata nella Tavola allegata.

3.1 Attrezzature di perforazione

Per l'esecuzione dei sondaggi è stata impiegata una sonda NENZI GELMA 2, montata su autocarro ASTRA BM20 6x6.

Di seguito vengono fornite le caratteristiche tecniche principali.



La sonda era dotata delle seguenti attrezzature di perforazione:

- Aste φ 2" 3/8 API REGULAR per carotaggio;
- Aste φ 50 mm per prove S.P.T.;
- Tubi di rivestimento φ 127 mm;
- Carotieri semplici, doppi tipo T6;
- Campionatori: Orsterberg (a parete sottile con fustella in acciaio, infissione a pressione idraulica), Shelby (a parete sottile con fustella in acciaio, infisso a pressione idraulica);
- Attrezzatura per prove S.P.T.;
- Pompa fanghi tipo triplex (Nenzi o Clivio) con portata di 200 I.

SCHEDA TECNICA DELLA MACCHINA UTILIZZATA

SONDA: NENZI GELMA 2

Montata su Autocarro ASTRA BM 20 6x6
Peso complessivo con attrezzatura circa 200 ql.

Caratteristiche tecniche

Coppia max	1.000 Kgm
Velocità rotazione	da 12 a 550 giri rpm con 8
,	velocità
Passaggio testa	98 mm
Spinta	5.800 Kg
Tiro	8.300 Kg
Corsa testa idraulica	3.400 mm
Controslitta idraulica corsa	1.000 mm
Motore Diesel standard	120 HP
indipendente dall'autocarro	
Cap. tiro max argano	3.350 Kg
Gruppo freno-svitatore forza	25.000 Kg
max di bloccaggio	
Serbatoio olio capacità	400 lt

Pannello comandi centralizzato

Mast di perforazione completo di prolunga 7.000 mm

3.2. Metodologia di perforazione

La perforazione è stata condotta a rotazione a carotaggio continuo. L'impiego del carotiere semplice è stato effettuato con avanzamento "a secco" in modo da garantire una percentuale di

materiale estratto uguale al corrispondente volume di materiale in posto.

Tale sistema di avanzamento ha permesso di recuperare sia le frazioni fini che quelle grossolane con una buona percentuale di recupero.

Localmente è stato impiegato il carotiere doppio T6 con fluido di circolazione. L'impiego del carotiere tipo T6 è stato effettuato dopo aver rilevato tracce di cementazione sui clasti e dopo breve consulto tra il geologo di cantiere e l'operatore. A tale proposito, si segnala che la ricerca delle tracce di cementazione è stata effettuata metodicamente su ogni manovra di carotaggio, procedendo al lavaggio con acqua chiara dei clasti al fine di individuare le tracce di cementazione presenti.

Le pareti del foro sono state sostenute con tubi di rivestimento provvisori (127 mm), per evitare fenomeni di franamento delle pareti.

Nel corso delle operazioni di rivestimento del foro è stato impiegato fluido di circolazione (acqua) a circolazione diretta, con funzione di raffreddamento dell'utensile (scarpa) e di asportazione dei detriti.

Il fluido di perforazione è stato immesso in foro a pressioni variabili (a seconda delle esigenze) tramite una pompa a pistoni.

Il materiale estratto nel corso delle perforazioni è stato posto in apposite cassette catalogatrici che sono poi state stoccate nel Magazzino Comunale di Via Pinelli (in allegato si forniscono le fotografie a colori di ogni cassetta).

3.3 Prove Standard Penetration Test (S.P.T.)

Nel corso dei sondaggi sono state eseguite prove S.P.T. impiegando il campionatore tipo Raymond a punta aperta o chiusa a seconda dei terreni naturali presenti in sito, secondo le norme ASTM.

Per l'esecuzione delle prove S.P.T. è stata impiegata una attrezzatura con caratteristiche conformi alle norme ASTM 1586/67 "Penetration test and split barrel sampling of soils":

- lunghezza totale campionatore 685 mm
- diametro interno 35 mm
- peso totale 7 Kg
- dispositivo automatico di percussione con maglio da 63.5
 Kg
- altezza di caduta 76.2 cm

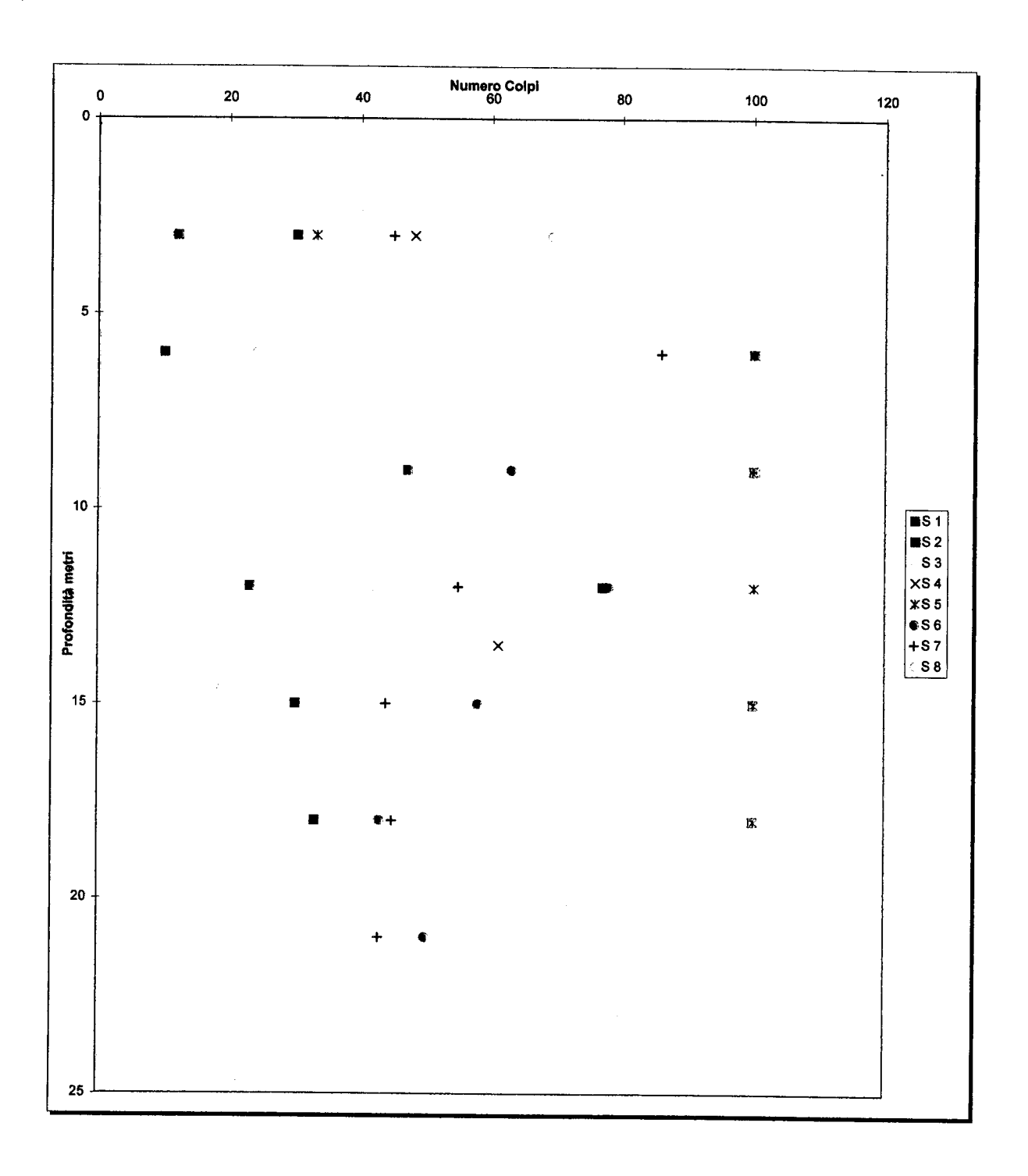
Durante l'esecuzione delle prove sono stati contati i colpi del maglio necessari ad infiggere il campionatore di tre tratti consecutivi da 15 cm. Ai fini delle prove viene considerato il valore

N S.P.T. dato dalla somma del numero di colpi necessari all'infissione degli ultimi due tratti.

La frequenza delle prove è stata concordata con la D.L. ed i valori ottenuti sono riportati in dettaglio nella stratigrafia allegata.

Nella tavola allegata n° 1 sono riportati graficamente i valori dei risultati delle prove S.P.T. eseguite nei singoli sondaggi al fine di dare una visione d'insieme dei risultati ottenuti.

GRAFICO RIEPILOGATIVO dei VALORI di $N_{\it SPT}$



4. Prove Geotecniche di laboratorio

Nel corso delle indagini sono stati inoltre prelevati n° 16 campioni rimaneggiati rappresentativi dei depositi incontrati. Sui campioni prelevati sono state effettuate prove di laboratorio che sono consistite in prove di identificazione e classificazione ed inoltre su alcuni spezzoni di conglomerato si è proceduto a prove speditive di rottura Point Load Test e a prove di compressione monoassiale.

Dai risultati delle analisi granulometriche, risulta che si tratta per la maggior parte di terreni a granulometria grossolana: ghiaia con sabbia limosa, o ghiaia e sabbia passante localmente a sabbia con ghiaia. In tali materiali risulta però sempre presente una percentuale di frazione fine passante al setaccio 200 della serie UNI comprese tra un minimo di 11,18% S4CA ed un max di 39.23% S7CB. Su alcuni di questi campioni è stato inoltre possibile effettuare la determinazione dei limiti di Atterberg da cui risulta sempre che la plasticità è bassa o nulla.

	Città di Torino - Via Anselmetti Tavola 2													
Granulometria														
Sond.	Camp.	Profondità	Umidità		Limiti		passante	passante	passante	Aeron	netria	Peso Spec.	Taglio	Descrizione
				LL	LP	ΙP	al 10	al 40	al 200	limo	argilla			
S1	Α	14,00-14,50	6,54	N.P.	N.P.	N.P.	65,01	49,01	17,93	N.P.	N.P.	N.P.		Sabbia e ghiaia deb. lim
S1	В	16,50-17,00	8,74	N.P.	N.P.	N.P.	50,62	39,57	13,63	N.P.	N.P.	N.P.		Ghiaia e sabbia limosa
S2	Α	13,00-13,30	9,21	N.P.	N.P.	N.P.	59,92	48,42	24,52	20,19	4,33	2,65		Ghiaia e sabbia limosa
S2	В	19,50-19,80	9,21	21,68	N.P.	N.P.	56,12	47,06	28,25	20,57	7,68	2,66		Ghiaia e sabbia limosa
S3	Α	13,00-13,50	12,43	16,95	N.P.	N.P.	51,63	38	21,7	17,03	4,67	2,65		Ghiaia e sabbia limosa
S3	В	1,00-17,30	9,65	N.P.	N.P.	N.P.	51,8	40,7	18,77	N.P.	N.P.	N.P.		Ghiaia e sabbia limosa
S4	Α	17,30-17,60	6,54	N.P.	N.P.	N.P.	54,31	38,78	11,18	N.P.	N.P.	N.P.		Ghiaia e sabbia deb. Lir
S4	В	18,60-19,00	9,88	N.P.	N.P.	N.P.	44,96	36,33	17,17	N.P.	N.P.	N.P.		Ghiaia e sabbia limosa
S5	Α	14,50-15,00	8,92	N.P.	N.P.	N.P.	74,62	54,68	18,31	N.P.	N.P.	N.P.		Sabbia limosa con ghia
S5	В	17,50-18,00	7,01	29,83	N.P.	N.P.	73,84	58,76	36,08	27,43	8,65	2,65		Sabbia con limo e ghiai
S6	Α	14,50-15,00	10,25	24,38	N.P.	N.P.	64,24	53,71	32,71	25	7,72	2,65		Ghiaia e sabbia limosa
S6	В	14,50-15,00	13,01	N.P.	N.P.	N.P.	44,42	38,33	21,54	17,24	4,3	2,65		Ghiaia con sabbia limos
S7	Α	8,40-8,70	10,23	21,12	N.P.	N.P.	59,24	48,65	20,53	17,38	3,15	2,64		Ghiaia con sabbia limos
S7	В	12,50-13,00	10,03	28,23	N.P.	N.P.	73,34	64,47	39,23	31,83	7,41	2,64		Sabbia con ghiaia e lime
S8	Α	7,60-8,00	9,21	N.P.	N.P.	N.P.	74,35	58,74	20,58	N.P.	N.P.	N.P.		Sabbia limosa con ghia
S8	В	10.50-11,00	8,76	N.P.	N.P.	N.P.	56,85	44,61	17,92	N.P.	N.P.	N.P.		Sabbia limosa con ghiai

Nei Sondaggi S1 e S2, dove nel corso dei sondaggi era risultato più evidente la presenza di conglomerato, sono stati inoltre prelevati n° 6 spezzoni di lunghezza compresa tra 8 e 16 cm ed inviati al ns/laboratorio rocce di fiducia, al fine di determinare dei valori di rottura dei conglomerati.

Il laboratorio Geotecnico Ligure incaricato di eseguire le prove di cui sopra così ha a noi relazionato:

I campioni sono costituiti litologicamente da conglomerati a basso grado di cementazione calcarea, con ciottoli di dimensioni centimetriche di natura eterogenea.

Sugli stessi sono state complessivamente realizzate:

- n° 1 prova di compressione monoassiale con misura del solo valore di rottura;
- n° 10 Point Load Test, sia secondo la direzione diametrale, sia secondo la direzione assiale.

Sono state adottate le metodologie e le modalità suggerite dalla International Society for Rock Mechanics.

Tutti i risultati delle prove effettuate appaiono in dettaglio nelle allegate certificazioni; le prove ed i risultati conseguiti evidenziano una discreta differenza fra il valore a rottura ottenuto con la compressione monoassiale e quello calcolabile dal Point Load Test con la nota relazione σc= Is_{50mm} x 24.

Si ritiene che questa differenziazione sia dovuta alla differente propagazione trasmessa nell'applicazione del carico mediante le due prove, più in particolare, il carico nella prova di

compressione monoassiale viene trasmesso indistintamente ai ciottoli e alla matrice, mentre nel Point Load Test il carico è trasmesso unicamente alla matrice.

Il valore della prova di compressione monoassiale fornisce pertanto il valore di resistenza a compressione monoassiale dell'ammasso roccioso, mentre quello desumibile dal Point Load Test è da riferire alla sola matrice.

5. Stratigrafie dei terreni indagati e considerazioni conclusive

Per una migliore visione di insieme al fine di riassumere le stratigrafie dei terreni indagati, è stata redatta una sezione stratigrafica dei terreni attraversati nel corso delle indagini in sito e di seguito allegata.

Ricordiamo inoltre che la sezione stratigrafica è il risultato della interpretazione effettuata dallo scrivente sulla base delle stratigrafie di dettaglio dei singoli sondaggi.

La sezione stratigrafica illustrata è stata distinta in due strati principali e precisamente:

- l° strato o strato superficiale di potenza media di circa 2 metri corrispondente ai terreni di riporto e alla coltre superficiale limosa marrone rossiccia. La potenza di tale strato aumenta in corrispondenza del sondaggio S4 sino a raggiungere i 3.20 metri di profondità da p.c.
- II° strato, presente dalla base del primo per tutta la profondità indagata. Questo secondo strato è stato da noi schematizzato e suddiviso in due fascie:

- a) Fascia superficiale, caratterizzata dalla presenza di materiale a granulometria grossolana, ghiaia, con diametro max 6 cm., con sabbia limosa o limo sabbioso, di colore da grigio a marrone, nell'area compresa tra i sondaggi S8 e S5, mentre, nel tratto indagato più vicino al T. Sangone, caratterizzata dalla presenza di materiali più fini, quali sabbia limosa e ghiaia, o sabbia limosa con ghiaia. Tale fascia, localizzata immediatamente al di sotto del primo strato, ha una potenza variabile da 3,00 a 7,00 m circa.
- b) Fascia profonda, caratterizzata dalla presenza di ghiaia in cui sono evidenti sempre fenomeni di cementazione, da noi rilevati perloppiù sottoforma di tracce più o meno diffuse, osservabile con continuità, sia orizzontale sia verticale, dal sondaggio S1 al sondaggio S7.

All'interno della stessa, inoltre, si segnala la presenza di diffuse lenti di conglomerati a cementazione carbonatica aventi potenza variabile da pochi centimetri a qualche metro (massimo 2.50 metri, in corrispondenza dei sondaggi S1, da 4,40 a 7,00 m, e S2, da 15,50 a 18,00 m).

Come risulta evidente dalla sezione allegata, questa zona è arealmente molto sviluppata, e, a partire da una profondità media da p.c. di circa 6 metri, si estende in alcuni casi anche sino a fondo foro (S5 - S6 - S7).

Fa eccezione a questo schema, il sondaggio S8, lungo la cui verticale, invece, è evidente l'assenza totale di tracce di cementazione.

Su tutta l'area indagata, sono state, inoltre, riscontrate delle lenti, potenti da qualche decimetro a max 3.00 metri circa, costituite da materiali più fini, quali sabbie limose, intercalate alle ghiaie sopra descritte.

Precisiamo che le indagini eseguite in sito sono puntuali e che per difficoltà di tipo logistico (traffico, sottoservizi, ecc.), le stesse sono state talvolta eseguite fuori asse individuando di volta in volta le aree più vicine al tracciato.

Quanto sopra esposto serve a chiarire sia il grado di definizione dello schema stratigrafico sia quello dell'indagine, che se vista su grande scala illustra ed individua i depositi presenti lungo il tracciato, mentre se utilizzata in dettaglio è indicativa solo della verticale indagata.

Tutto ciò per dare il miglior contributo possibile sia alla progettazione esecutiva che alla realizzazione dell'opera.

Sulla base dello schema stratigrafico allegato risulta che il tracciato del nuovo collettore bianco in progetto interesserà il secondo strato precedentemente descritto delle ghiaie cementate. ad eccezione del tratto in prossimità del sondaggio S6 in cui i lavori di scavo dovranno tener conto della presenza di una lente di materiali più fini quali sono le sabbie limose, e del sondaggio S8, in cui, come sopra descritto, non sono state rilevate tracce di cementazione.

Segnaliamo inoltre che i sondaggi S1 - S3 sono stati attrezzati con piezometro a tubo aperto, installati rispettivamente a 19.50 m di profondità da p.c. e a fondo foro. Dalle ultime letture effettuate, la falda risulta ad una profondità di 18,40 m da p.c. in S1 e 20,46 m da p.c. in S3, ad una quota, quindi inferiore rispetto a quella prevista come piano di scavo del collettore in oggetto. A tale proposito, si ricorda, che le indagini sono state eseguite alla fine di una stagione caratterizzata da scarsità di precipitazioni e pertanto si consiglia di tenere sotto controllo i piezometri installati, al fine di monitorare il livello di falda anche in stagioni piovose.

Per quanto riguarda infine la metodologia di scavo, ricordiamo che nei terreni "cementati" con tracce di cementazione si possono presentare difficoltà nell'avanzamento eseguito con escavatore a benna e sarà opportuno prevedere l'uso di martelli demolitori.

CITTÀ di TORINO

SETTORE TECNICO IV - PONTI, ALVEI FLUVIALI, FOGNATURE

COSTRUZIONE COLLETTORE DI FOGNATURA BIANCA IN ZONA MIRAFIORI SUD CON SFOCIO NEL SANGONE – VIA ANSELMETTI

RELAZIONE GEOTECNICA

IL PROGETTISTA

INDICE

1 - INTRODUZIONE	1
2 - CARATTERIZZAZIONE GEOTECNICA	3
2.1 Generalità	3
2.2 Stratigrafia Geotecnica.	4
2.2.1 RIPORTO O COLTRE SUPERFICIALE	4
2.2.2 GHIAIA E SABBIA NON CEMENTATA	6
2.2.3 GHIAIA E SABBIA CON CEMENTATAZIONE	7
3 - PROBLEMATICHE GEOTECNICHE ED ESECUTIVE	8
4 - SPINTE SUI MANUFATTI INTERRATI	8
5 - OPERE IN GALLERIA	8
5.1 Interazione Terreno - Rivestimento	9
5.1.1 INTERFERENZA CON IL MANUFATTO FIAT	9
5.1.2 SEZIONE TIPO	11
6 - CEDIMENTI SUPERFICIALI	12

La presente relazione geotecnica viene redatta a corredo del progetto Preliminare che prevede la realizzazione di collettore di fognatura bianca in zona Mirafiori Sud-Ovest lato Comune di Grugliasco, con sfocio nel torrente Sangone limitatamente al tratto di Via Anselmetti e dell'innesto di Corso Marche.

Il Collettore avrà sezione circolare di diametro interno di 2,50 m. e spessore di 0,25 m., realizzato in conglomerato cementizio gettato in opera di classe Rck ≥25 Mpa.

Nel tratto in oggetto il collettore sarà realizzato mediate scavo in galleria con sistema meccanizzato per una lunghezza di circa 2250 m.

Il presente studio geotecnico è stato elaborato sulla scorta delle indagini geognostiche e dello studio geologico che il Settore Tecnico Ponti Alvei fluviali e fognature ha affidato alla Soc. GEOTECNO s.r.l. nella persona del Dott. Geol. Roberto GIACOMETTI.

Nella presente relazione vengono tratteggiate le problematiche di carattere geotecnico emerse da un'analisi delle interferenze tra le condizioni litostratigrafiche locali, descritte nella relazione geologica, e le opere in progetto.

Per un corretto ed esauriente studio geotecnico sono state effettuate le seguenti indagini:

- esecuzione di n° 8 sondaggi geognostici verticale, a rotazione e carotaggio continuo, di cui n°7 spinti fino ad una profondità di 21 metri dal piano campagna e n°1 spinti fino a -15 metri, mediante i quali è stato possibile ricostruire la stratigrafia del terreno lungo la verticale dei sondaggi.
- N. 46 Prove Penetrometriche Standard (SPT) nei sondaggi sopra descritti. Le suddette prove, insieme alle analisi granulometriche, consentono di definire i parametri di resistenza al taglio e deformabilità.
- Prove speditive sulle carote appena estratte per la determinazione della consistenza dei terreni pseudo-coesivi (pocket penetrometer).
- Prelievo di nº 16 campioni rimaneggiati ed esecuzione di analisi granulometriche con determinazione limiti di Atterberg necessari alla caratterizzazione fisica dei terreni.
- Prelievo di n° 6 spezzoni di carote per determinare i valori di rottura dei

conglomerati.

• Installazione di n° 1 piezometro a tubo aperto nel sondaggio S1 per la determinazione della soggiacenza della Falda.

Sulla scorta dei dati raccolti è stato possibile realizzare la presente relazione geotecnica in accordo a quanto prescritto dal vigente D.M. 11 marzo 1988 "Norme tecniche riguardanti le indagini sui terreni e sulle rocce, la stabilità dei pendii naturali e delle scarpate, i criteri generali e le prescrizioni per la progettazione, l'esecuzione e il collaudo delle opere di sostegno delle terre e delle opere di fondazione" e dalla Circ. n. 9 del 9 Gennaio 1996 del Ministero dei Lavori Pubblici.

2.1 Generalità

In considerazione delle finalità del presente lavoro e della natura eterogenea e ± discontinua dei materiali che compongono il materasso ghiaioso, si è ritenuto corretto definire "una stratigrafia geotecnica" cercando di classificare i terreni in sito secondo criteri "ingegneristici" piuttosto che litologici. In altre parole si è cercato di individuare i materiali con comportamento meccanico simile e di utilizzare per essi caratteristiche "ragionate", rappresentative di una situazione "media" e non di una precisa successione stratigrafica di dettaglio (per una tale classificazione si veda la relazione geologica).

Nel presente lavoro la caratterizzazione geotecnica è stata condotta utilizzando quasi esclusivamente i risultati delle prove SPT e delle prove di laboratorio di classificazione (analisi granulometriche e limiti di Atterberg), poiché la natura incoerente dei terreni attraversati non ha consentito il prelievo di campioni indisturbati per l'esecuzione di prove geomeccaniche di laboratorio, salvo gli spezzoni di carote utilizzate per l'esecuzione di:

- N° 1 prova di compressione monoassiale con misura del solo valore di rottura;
- N° 10 Point Load Test, sia secondo la direzione diametrale, sia secondo la direzione assiale.

Le prove penetrometriche forniscono indicazioni sul grado di addensamento dei materiali, e attraverso correlazioni disponibili in letteratura tecnica, consentono di stimare le caratteristiche di resistenza e deformabilità dei terreni.

Nel presente lavoro si è fatto uso delle seguenti correlazioni :

- Gibbs H.J., Holtz W.G. (1957) "Research on Determining the Density of Sand by Spoon Ppenetration Testing", Proc. VI ICSMFE, London, tale correlazione lega i valori di Nsrr alla densità relativa (**Dr**%).
- Schmertmann J.H. (1977) "Interpreting the Dynamics of Standard Penetration Test", Univ. of Florida, la quale <u>stima l'angolo di resistenza al taglio di picco</u> (φ'_p) in funzione della densità relativa (Dr_%).
- D'Apollonia D.J. et al. (1970) "Closure to stettlement of Spread Footings on Sand", Journal of Soil Mechanics and Foundation Enginerings Division, ASCE- SM4, tale correlazione lega i valori di Nspt al modulo di deformabi-

lità.

A causa della natura comunque eterogenea dei terreni in esame, una caratterizzazione basata soltanto sui risultati delle prove SPT potrebbe non essere prudenziale, portando a sovrastimare i valori di resistenza al taglio e deformabilità. Risulta quindi necessario valutare i dati delle prove attraverso considerazioni geotecniche generali sulla natura del sito e del problema in esame.

Nello studio dei problemi di stabilità la rottura è di tipo progressiva: con zone di terreno soggette a grandi deformazioni ed altre con piccole deformazioni. In un materiale non perfettamente elastico come i terreni la resistenza dipende dal livello di deformazioni raggiunto e dalla variazione di volume durante la rottura, pertanto nel caso in esame i paramenti da considerare sono intermedi tra quelli a grandi deformazioni (resistenza residua) e quelli a piccole deformazioni (resistenza di picco). I primi dipendono essenzialmente dalla natura mineralogica e dalla dimensione dei grani, i secondi sono ricavabili dalle correlazioni con prove in sito disponibili in letteratura.

2.2 Stratigrafia Geotecnica.

Nel campo di profondità d'interesse (da piano campagna a 15,0 ÷ 21,0 mt) si possono pertanto individuare i seguenti materiali con differenti caratteristiche Geotecniche:

- RIPORTO O COLTRE SUPERFICIALE
 - GHIAIA E SABBIA NON CEMENTATA
- GHIAIA E SABBIA CON TRACCE DI CEMENTAZIONE

2.2.1 RIPORTO O COLTRE SUPERFICIALE

Come già evidenziato nella relazione geologica la coltre superficiale superficiale, affiorante tra 0,0 e 2,0÷3,0 mt, si presenta piuttosto eterogenea ed è costituito da materiale di riporto di natura prevalentemente *LIMOSA*.

Nella presente caratterizzazione geotecnica è stato compreso all'interno di tale strato anche la **SABBIA LIMOSA** affiorante fino a -6,00 mt. dal p.c. nei sondaggi S2-S3-S4 e fino a -4,5 nel sondaggio S1 (vedi sezione stratigrafica

allegata alla relazione geologica).

Nella tabella seguente sono riassunti i dati delle prove penetrometriche effettuate nella coltre superficiale:

Z	PROVA	N' _{SPT}	γ _n	σ'γ	D_R	ф'р	E .
[m]			[KN/m ³]	[kPa]	[%]	[°]	[MPa]
3,0	S_1	30	18	54	>80	40	38
3,0	S_2	12	18	54	67	37	25
6,0	S ₂	10	18	108	54	35	23
3,0	S ₄	48	18	54	>80	40	51
3,0	S ₅	33	18	54	>80	40	40
3,0	S ₆	12	18	54	67	37	25
3,0	S ₇	45	18	54	>80	40	49

in cui:

Z = profondità

 $\gamma_n = 18,0 \text{ KN/m}^3 \text{ (peso do volume di terreno naturale)}$

 $\sigma'_V = (Pressione \ verticale \ efficace)$

 $D_R = densità relativa$

 ϕ'_P = angolo di resistenza al taglio di picco

E' = 16,2 +0,73 • N'_{SPT} (Modulo di deformabilità - D'Apollonia - 1970)

Prudenzialmente si assume come angolo di attrito di picco il valore minimo di 35° mentre l'angolo di resistenza residua dei LIMI SABBIOSI è di 28°, pertanto è possibile assumere, cautelativamente, i seguenti parametri:

 γ_n = peso di volume naturale = 18,0 kN/m³

 ϕ' = angolo di resistenza al taglio =32°

c' = coesione drenata =0 KPa

Cu = coesione non drenata =0 KPa

E = modulo di deformabilità =33 Mpa

v = coeff. di Poisson = 0,30

2.2.2 GHIAIA E SABBIA NON CEMENTATA.

L'Orizzonte GHIAIOSO – SABBIOSO NON CEMENTATO, affiorante al di sotto dello strato precedente e fino a profondità di -9,00 dal p.c. nei sondaggi S4 ed S5 ed a profondità di -6,00 nei sondaggi S6 ed S7.

Nel sondaggio S8 tale strato si estende fino a fondo foro (-15,00 dal p.c.), invece nei sondaggi S2÷S4 la presenza dell'orizzonte non cementato la si ritrova anche sul fondo foro al disotto dello strato cementato.

Nella tabella seguente sono riassunti i valori medi delle prove penetrometriche effettuate nell'orizzonte ghiaioso – sabbioso non cementato:

Z	PROVA	N'spt	γ _n	σ'v	D_R	ф'р	E,
[m]	200		[KN/m ³]	[kPa]	[%]	[°]	[MPa]
18,0	S ₂	33	20	360	60	40	40
18,0	S ₃	R	20	360	>80	44	>50
6,0	S ₄	R	20	120	>80	44	>50
17,6	S ₄	R	20	352	>80	44	>50
6,0	S ₅	R	20	120	>80	44	>50
6,0	S ₆	R	20	120	>80	44	>50
6,0	S ₇	R	20	120	>80	44	>50
6,0	S ₈	24	20	120	77	42	34
12,0	S ₇	42	20	240	78	42	47

Prudenzialmente si assume come angolo di attrito di picco il valore minimo di 40°, mentre l'angolo di resistenza residua delle GHIAIE SABBIOSE è di 34°, pertanto è possibile assumere, cautelativamente, i seguenti parametri:

 $|\gamma_n|$ = peso di volume naturale = 20,0 kN/m³

φ' = angolo di resistenza al taglio =38°

c' = coesione drenata =0 KPa

Cu = coesione non drenata =0 KPa

E = modulo di deformabilità =50 Mpa

v = coeff. di Poisson = 0.30

2.2.3 GHIAIA E SABBIA CON CEMENTATAZIONE.

L'Orizzonte GHIAIOSO - SABBIOSO CEMENTATO, affiorante al di sotto delgli strati precedenti e fino a profondità di -18,00 ÷ -20,00 dal p.c. è costituito da ghiaie, ciottoli e sabbie, da mediamente a molto addensate con diffuse ed evidenti tracce di cementazione (vedi Relazione Geologica paragrafo. 5). Soprattutto nei sondaggi S1 ed S2 si rileva altresì la presenza di lenti di conglomerato a cementazione carbonatica.

L'orizzonte *GHIAIOSO - SABBIOSO CEMENTATO* non può essere caratterizzato unicamente sulla base delle prove penetrometriche, ma bisogna considerare che la presenza diffusa di cementazione altera sensibilmente i valori di N_{spt}, pertranto tale orizzonte è stato caratterizzato sulla base dei parametri di quelle non cementato modificando i valori di coesione e deformabilità anche in funzione delle prove di compressione monoassiale ed i Point Load Test allegati alla relazione geologica.

Cautelativamente, i parametri assunti sono i seguenti:

 γ_n = peso di volume naturale = 21,0 kN/m³

φ' = angolo di resistenza al taglio =38°

c' = coesione drenata =30 KPa

E = modulo di deformabilità =90 Mpa

v = coeff. di Poisson = 0,25

3 - PROBLEMATICHE GEOTECNICHE ED ESECUTIVE

Le problematiche geotecniche relative alle opere in progetto riguardano essenzialmente i seguenti aspetti:

- spinta delle terre sui manufatti interrati (scatolari, camere di manovra e pozzi);
- stabilità ed esecuzione degli scavi in galleria:
- cedimenti superficiali;

4 - SPINTE SUI MANUFATTI INTERRATI

La spinta orizzontale esercitata dal terreno sui manufatti interrati quali pozzi, camere di manovra e scatolati sarà quella geostatica di riposo, infatti affinché si mobilitino le spinte attive o passive sono necessari spostamenti relativi tra terreno e struttura che non possono verificarsi per le tipologie di opere sopra riportate.

Il coefficiente di spinta a riposo " K_0 " è valutabile con l'espressione di $(Jaky, 1944)^1$:

$$K_o = (1-\sin\phi)$$

In particolare i pozzi circolari d'ispezione e di salto saranno verificati a compressione radiale con la nota formula di Mariotte utilizzando un valore di pressione radiale pari a:

$$p_r = \gamma \bullet H \bullet K_0$$

in cui:

H = altezza del pozzo

5 - OPERE IN GALLERIA

Lo scavo della galleria circolare avviene con un'apposita macchina protetta da uno scudo circolare, spinta da pistoni azionati meccanicamente.

Con riferimento alla metodologia di scavo si sottolinea che bisognerà utilizzare mine o particolari attrezzature (demolitori chimici) quando la resistenza a compressione monoassiale del conglomerato o dei trovanti sia superiore a 25 Mpa e lo strato o i trovanti hanno dimensioni superiori a 1,00 m...

¹ Jaky J. "The coefficient of earth pressure at rest". Journal of the Society of Hungarian Architects and Engieers. 1944

Durante lo scavo il vano della galleria è sostenuto provvisoriamente da putrelle HEA 120 poste ad un interasse medio di 0,75 m.. Tra una putrella e l'altra vengono collocati a sostegno del terreno dei travetti tipo CELERSAP.

A scavo ultimato viene posta in opera l'armatura e quindi inizia il getto del CLS di rivestimento definitivo.

Si evidenzia infine che il terreno si presenta sufficientemente compatto, tuttavia localmente può riscontrarsi la presenza di lenti limose poco compatte sia in calotta che sul fondo (vedi sezione stratigrafica della relazione geologica – sondaggi S6 ed S7). In questi casi bisognerà prevedere l'uso di uno scudo con lame che vengono preinfisse nel terreno prima di procedere allo scavo. Qualora l'uso dello scudo con lame si dovesse rilevare non sufficiente a contenere il rifluimento del limo sabbioso occorrerà provvedere ad un completo "blindaggio" del fronte stesso.

5.1 Interazione Terreno - Rivestimento

L'analisi dell'interazione tra il terreno ed il rivestimento della galleria è stato effettuato con l'ausilio del codice di calcolo FLAC 3.30, appositamente studiato per l'analisi di problemi di meccanica dei terreni in stati piani di deformazione.

Orientato allo studio del mezzo continuo e utilizzando un'analisi fisico matematica di tipo lagrangiano per la risoluzione del problema, FLAC permette di prendere in considerazione una vasta gamma di modelli costitutivi. In particolare, nel caso in oggetto è stato utilizzato un mezzo elasto-plastico di MOHR-COULOMB.

Sono state analizzate due sezioni tipo:

- Sezione d'interferenza con il manufatto Fiat
- Sezione tipo relativa al tratto tra i sondaggi S3 ed S4

5.1.1 INTERFERENZA CON IL MANUFATTO FIAT

La sezione stratigrafica utilizzata è riportata nella figura bulk_mod degli elaborati del programma FLAC 3.30. Lo strato superficiale è costituito dalla ghiaia cementata e quello sottostante dalla ghiaia non cementata utilizzando i

parametri riportati rispettivamente nei paragrafi 2.2.3 e 2.2.2.

Il Fondo scorrevole della galleria è posto a -9,00 metri dal piano strada all'interno del manufatto FIAT.

Per la determinazione dei sovracarichi ferroviari si può fare riferimeto alle norme delle Ferrovie dello Stato "Sovraccarichi per il calcolo dei ponti ferroviari – istruzioni per la progettazione, l'esecuzione e il collaudo – 02/06/1995), in particolare è stato applicato, sul piano strada, in trasversalmente alla fognatura, un carico uniformemente distribuito di 75 KN/ml che corrisponde tre volte carico tipo SW/2 ripartito su una superficie trasversale alla fognatura avente una larghezza di 6,00 mt. Il coefficiente 3 utilizzato per la determinazione del acrico precedente tiene conto della presenza contemporanea di tre treni affiancati.

Sono state analizzate due fasi costruttive:

- Fase 1: scavo e messa in opera delle centine con sovraccarico pari al 50% del definitivo.
- Fase 2: getto del rivestimento definitivo con sovraccarico pari al 100% del definitivo.

I risultati dell'analisi sono riportate nei grafici riportati in allegato alla presente relazione; dallo loro lettura si può dedurre che :

- Durante la fase 1, si verifica uno schiacciamento della centina di 6,4 mm con un conseguente spanciamento nei fianchi (vedi structural displacement).
- Durante la fase 2, a causa raddoppio dei sovraccarichi lo schiacciamento della centina diventa di 8,65mm.
- Lo stato tensionale del terreno risulta perturbato dall'esecuzione dello scavo fino ad una distanza dal foro di 1,5 volte il diametro (vedi yy stress e xx stress contours).
- Dall'analisi del grafico relativo all'indicatore di plasticità (plasticity indicator) si nota come solo una piccola zona di terreno, vicino le reni della calotta, risulta plasticizzata.
- La massima pressione sui panconcelli è di 150 Kpa.

Negli allegati alla presente relazione sono riportati anche i grafici, per entrambe le fasi di carico, relativi alle sollecitazioni di:

- Momento flettente
- Sforzo Normale
- Taglio

I diagrammi sopra indicati possono essere utilizzati per il dimensionamento delle Centine provvisorie ed il Rivestimento definitivo.

5.1.2 SEZIONE TIPO

La sezione stratigrafica utilizzata è riportata nella figura bulk_mod degli elaborati del programma FLAC 3.30. Lo strato superficiale è costituito dalla coltre superficiale, quello intermedio dalla ghiaia cementata e quello sottostante dalla ghiaia non cementata, i parametri geotecnici utilizzati sono quelli riportati rispettivamente nei paragrafi 2.2.2, 2.2.3 e 2.2.2.

Il Fondo scorrevole della galleria è posto a -16,00 metri dal piano strada.

Sono stati considerati i sovraccarichi previsti dalla Normativa UNI 7515, in particolare è stato applicato, sul piano strada, in asse alla galleria, un carico di 200 KN ripartito su una larghezza di 2,00.

Sono state analizzate due fasi costruttive:

Fase 1: scavo e messa in opera delle centine senza sovraccarico

Fase 2: getto del rivestimento definitivo con sovraccarico.

I risultati dell'analisi sono riportate nei grafici riportati in allegato alla presente relazione; dallo loro lettura si può dedurre che:

- Durante la fase 1, si verifica uno schiacciamento della centina di 6,3 mm con un conseguente spanciamento nei fianchi (vedi structural displacement).
- Durante la fase 2, lo schiacciamento della centina diventa di 7,6mm.
- La massima pressione sui panconcelli è di 200 Kpa.

Negli allegati alla presente relazione sono riportati anche i grafici, per entrambe le fasi di carico, relativi alle sollecitazioni di:

- Momento flettente
- Sforzo Normale
- Taglio

I diagrammi sopra indicati possono essere utilizzati per il dimensionamento delle Centine provvisorie ed il Rivestimento definitivo.

6 - CEDIMENTI SUPERFICIALI

I cedimenti indotti in superficie dallo scavo in sotterraneo sono legati a due fattori:

- 1) alla natura dei depoditi attraversati dallo scavo, e quindi alle caratteristiche intrinseche di deformabilità e di resistenza di tali materiali, nonché alla sua interazione con il rivestimento:
- 2) alla modalità esecutive, di avanzamento dello scudo, di posa in opera del rivestimento e delle iniezioni a tergo di esso.

Per quanto riguarda il primo punto bisogna considerare sia del rilascio tensionale che si verifica al fronte di scavo che l'interazione del terreno con il rivestimento.

Con il programma di calcolo FLAC 3.30, utilizzando le schematizzazioni riportate nei paragrafi precedenti, è possibile valutare soltanto il termine del cedimento dovuto all'interazione terreno struttura, ma non quelli dovuti al rilascio tensionale al fronte, che sono problemi di tipo tridimensionale che vanno analizzati con schematizzazioni più sofisticate.

Per quanto riguarda il secondo punto questo influenza in maniera talvolta predominante il cedimento totale indotto.

Alla luce delle considerazioni precedenti è possibile affermare che il cedimento totali indotto può essere stimato in primissima approssimazione a partire da quello valutato con il programma FLAC 3.30.

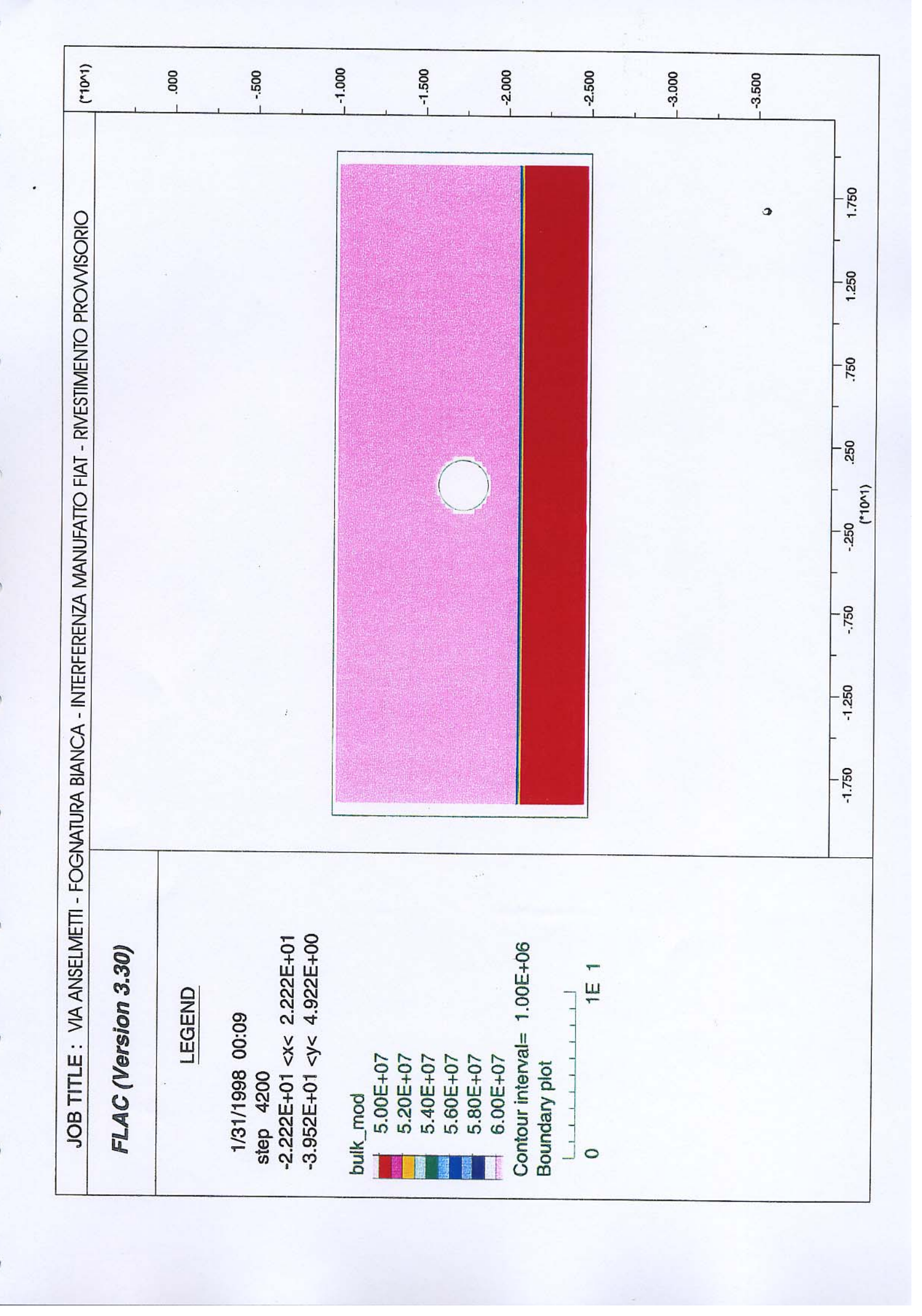
Nel caso particolare si ritiene che il cedimento totale possa arrivare fino a 3-4 volte quello calcolato con il programma, pertanto nel caso dell'attraversamento del maufatto FIAT possiamo attenderci cedimenti in superficie dell'ordine di 2-3 cm. L'entità di tali cedimenti deve essere attentamente controllata in fase esecutiva con un piano di monitoraggio che preveda:

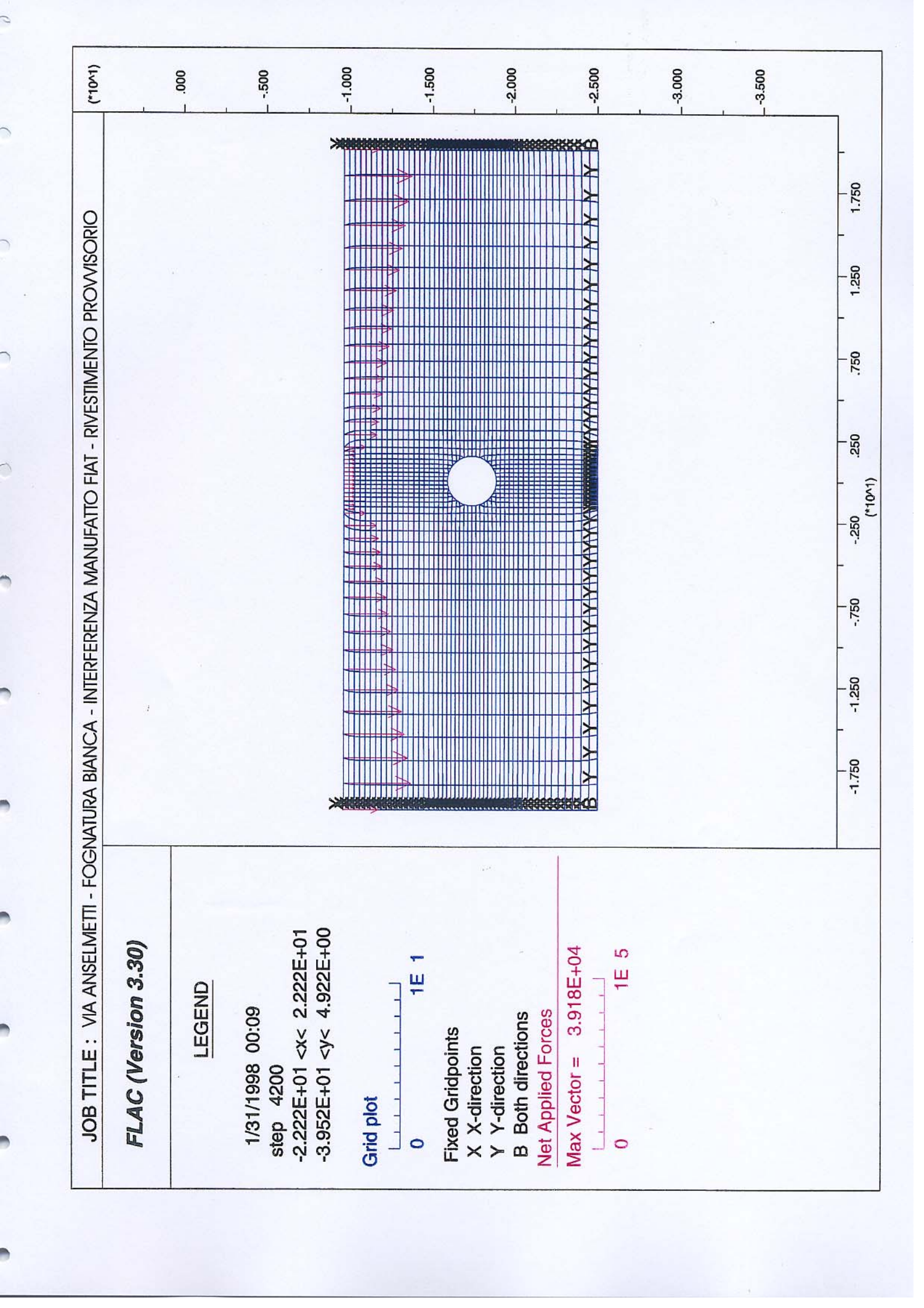
- 1) misure di livellazione topografica di precisione (± 1 mm)
- 2) misure con estensimetri multibase verticali entro il terreno, per il controllo degli spostamenti verticali nel terreno a varie profondità.

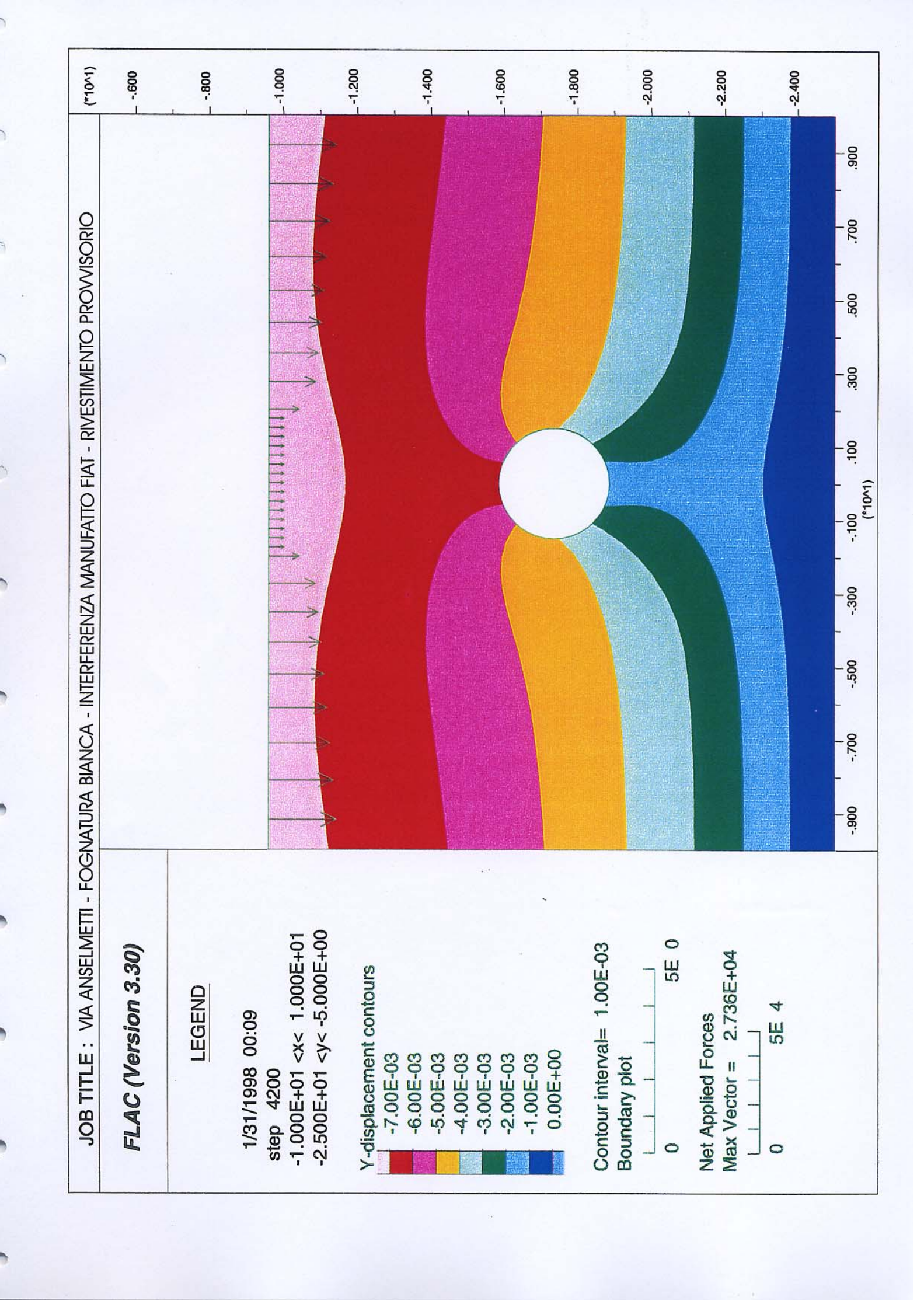
Qualora gli spostamenti rilevati in fase esecutiva fossero incompatibili con le normali condizioni di esercizio ferroviario occorrerà provvedere ad interventi di

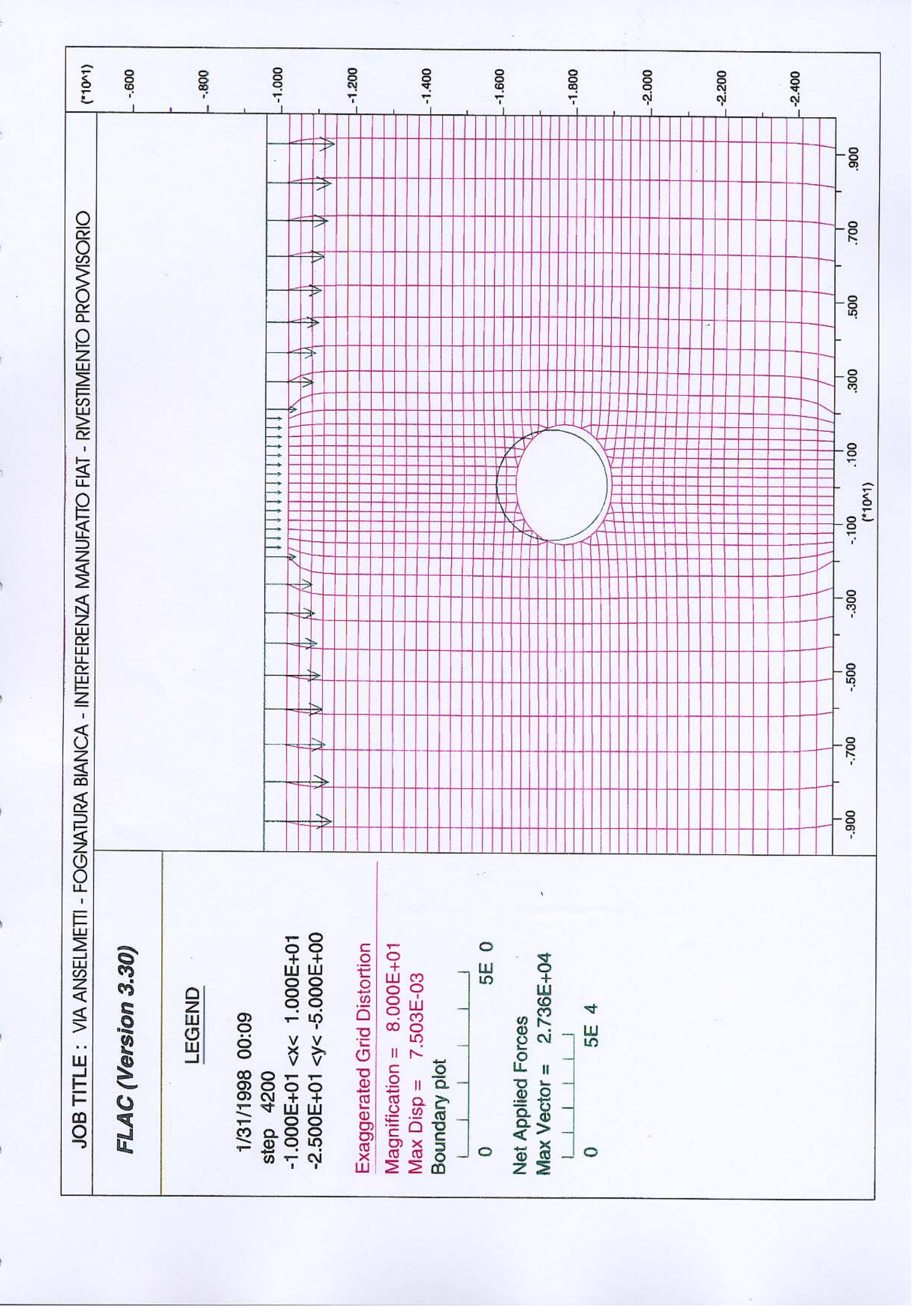
consolidamento quali:

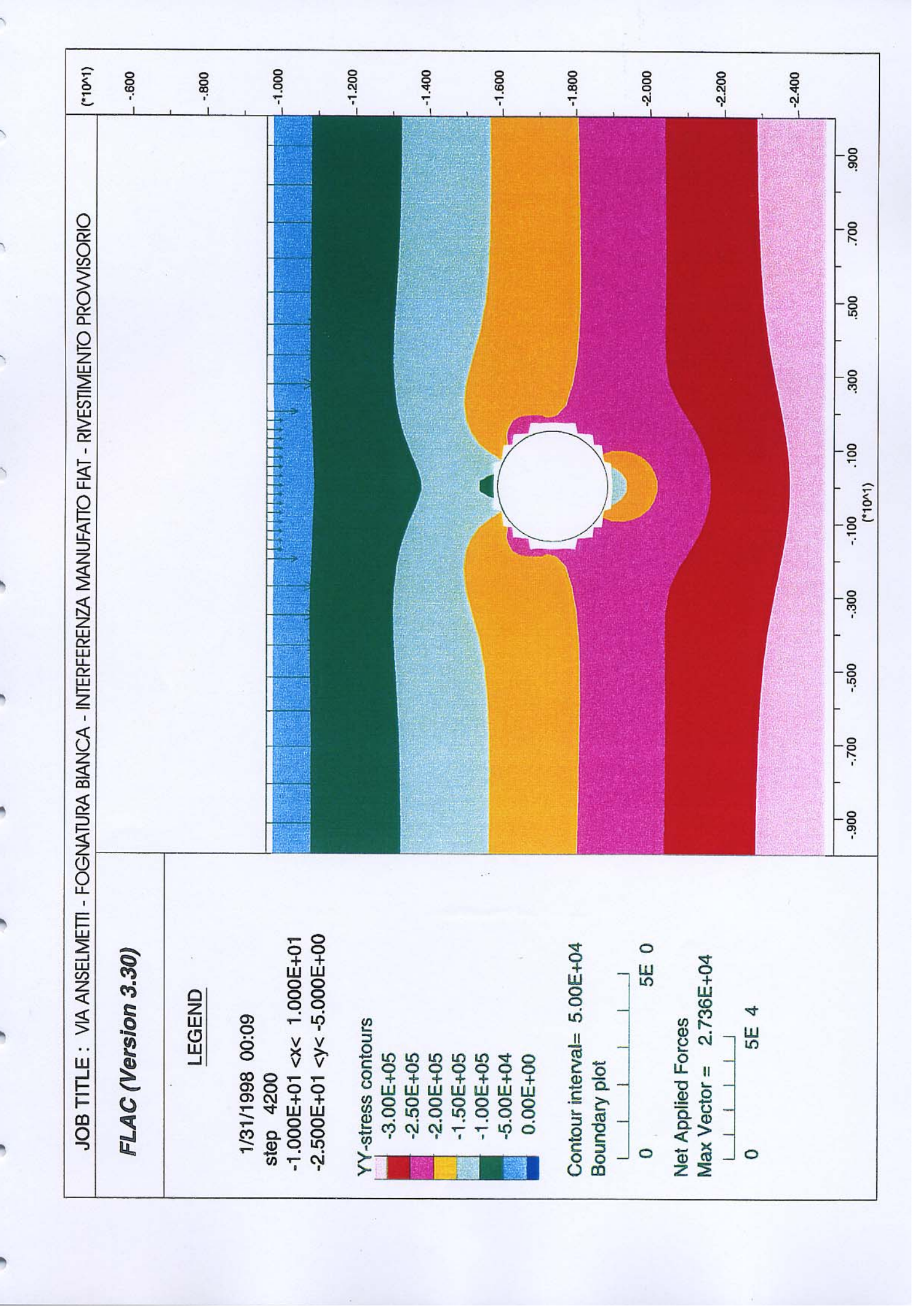
- 1) dall'interno della galleria Fiat mediante iniezioni armate sub-vericali;
- 2) consolidamento in avanti del fronte mediante la realizzazione di un ombrello di colonne jet grouting ed un ombrello sottostante di tubi valvolati.

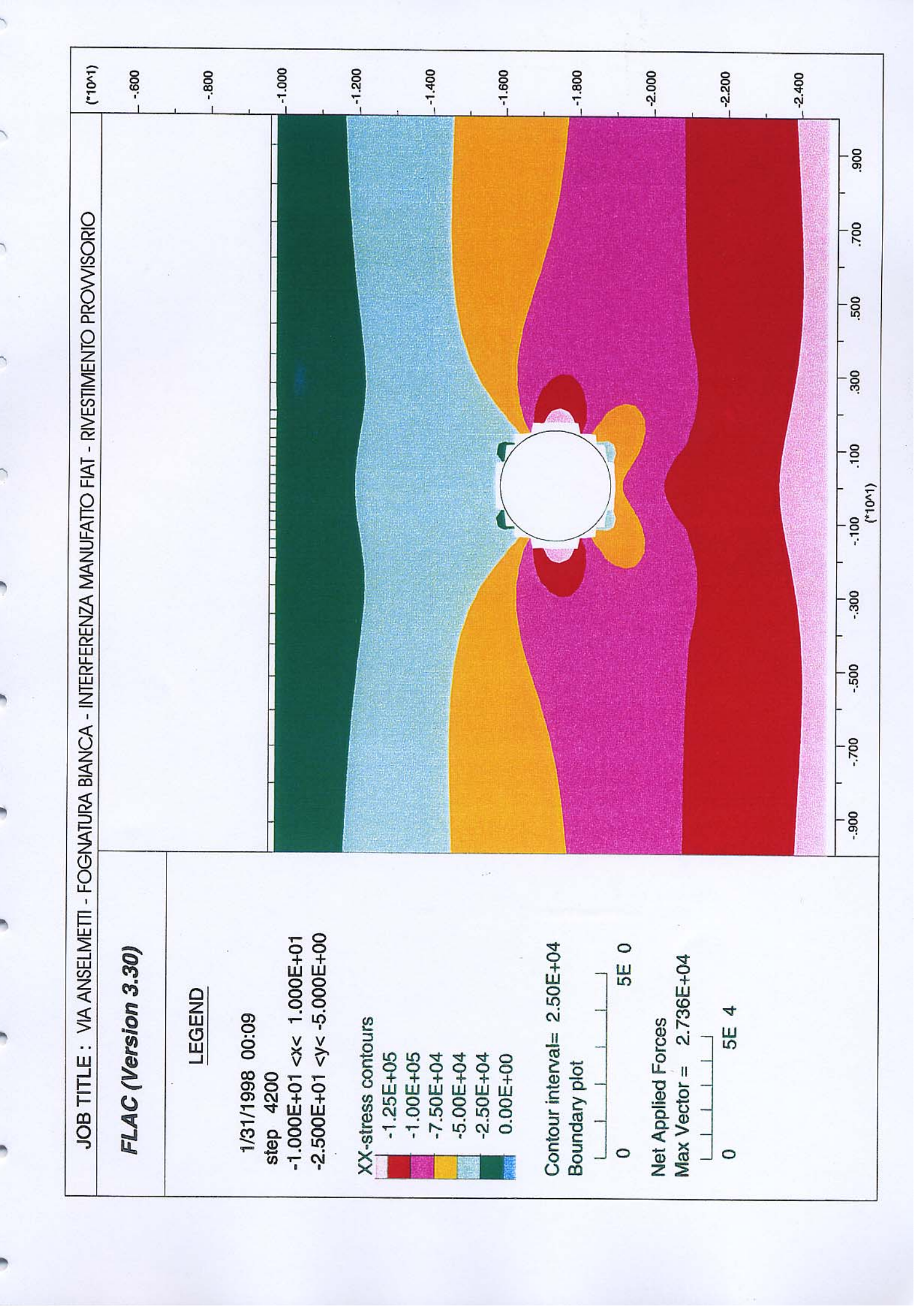


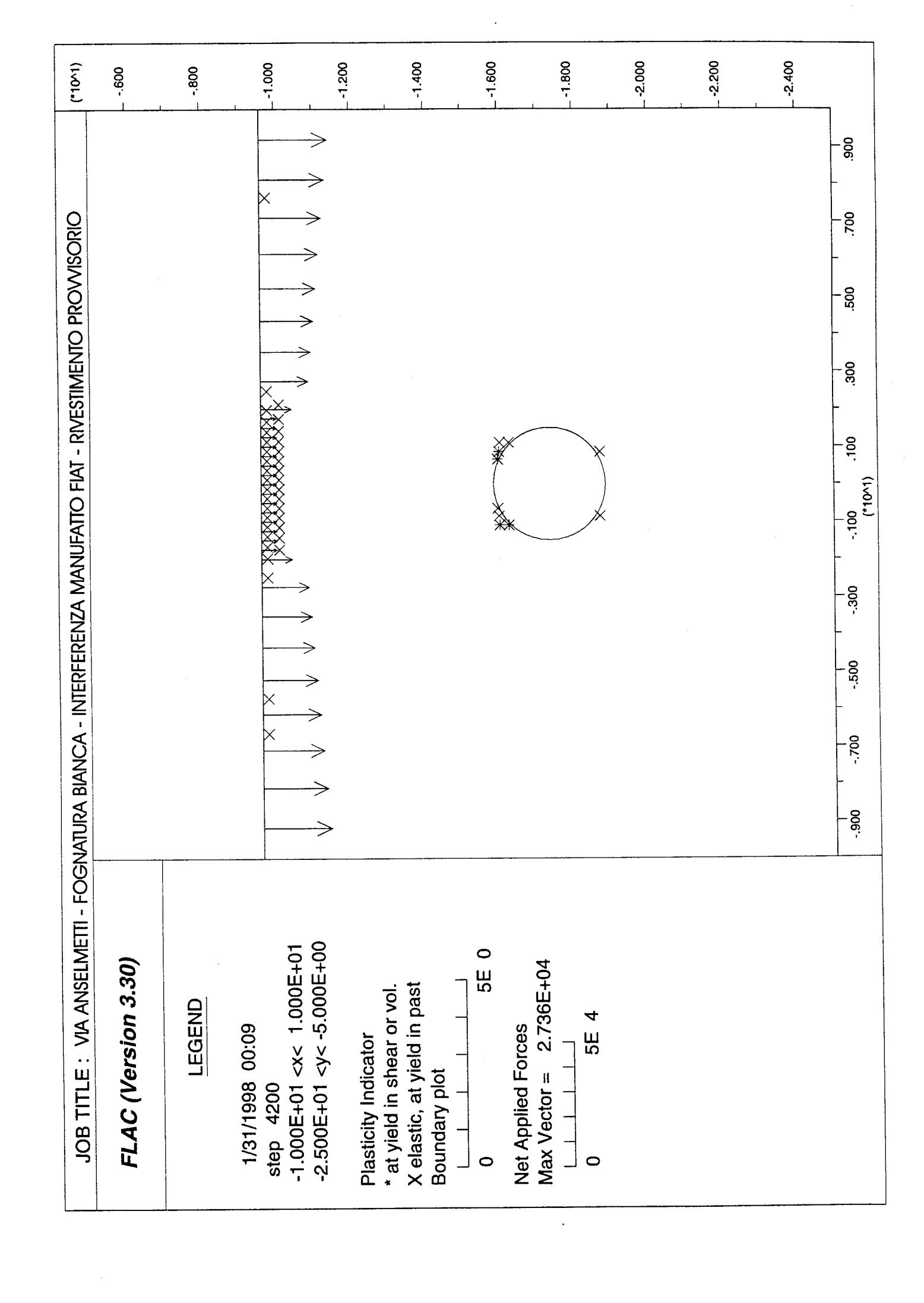


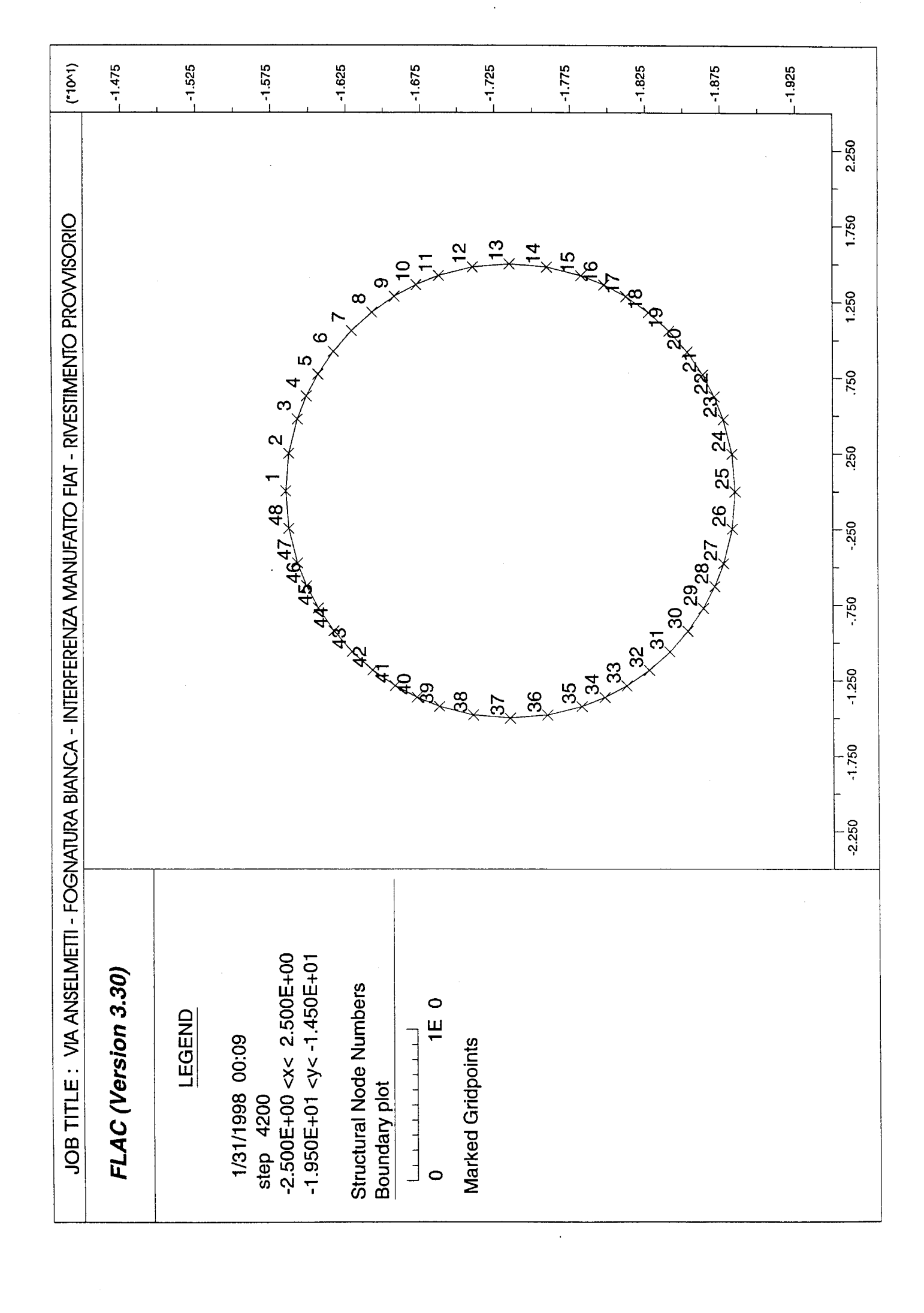










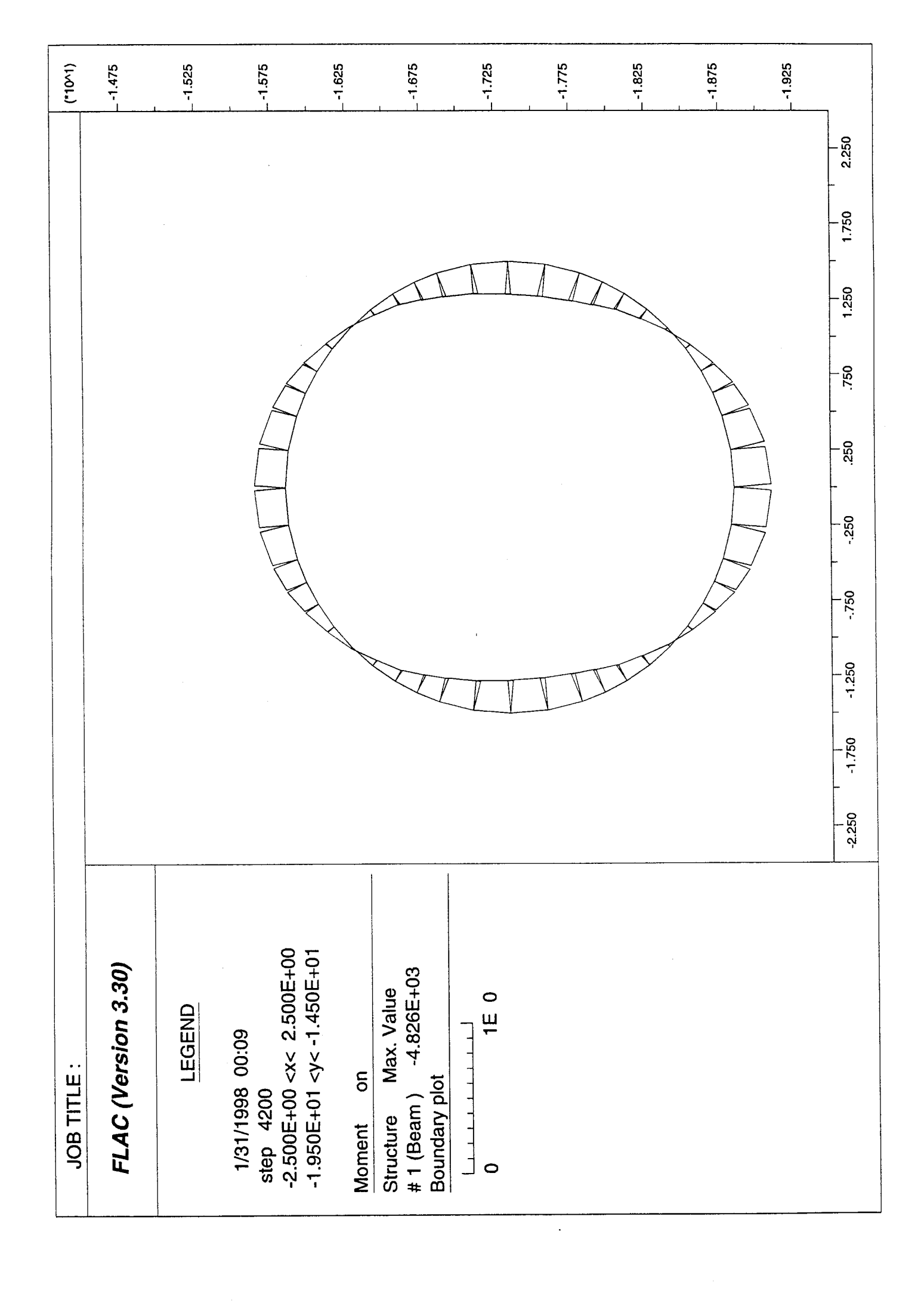


JOB TITLE: VIA ANSELMETII - FOGNATURA BIANCA	GNATURA BIANCA - INTERFERENZA MANUFATTO FIAT - RIVESTIMENTO PROVVISORIO	(*10~1)
FLAC (Version 3.30)		-1.475
LEGEND		-1.525
1/31/1998 00:09 step 4200 -2.500E+00 <x< 2.500e+00<="" td=""><td></td><td>-1.575</td></x<>		-1.575
-1.950E+01 <y< -1.450e+01<br="">Axial Force on</y<>		-1.625
Structure Max. Value # 1 (Beam) 2.607E+05 Boundary plot		-1.675
0 1E 0		-1.725
		-1.775
		-1.875
		-1.925
	-2.250 -1.750 -1.250250 .250 .750 1.250 1.750 2.2	2.250

∼',

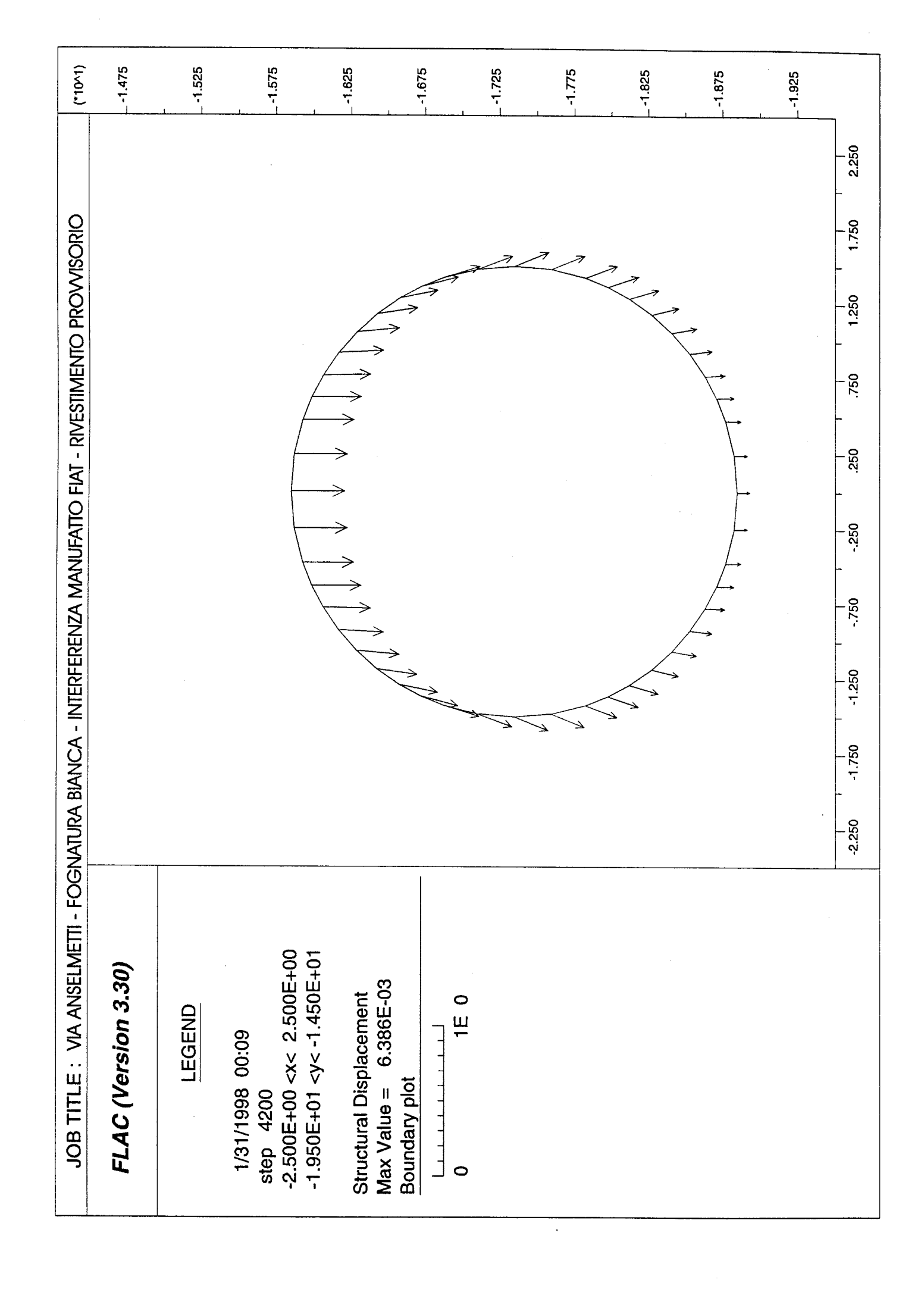
-

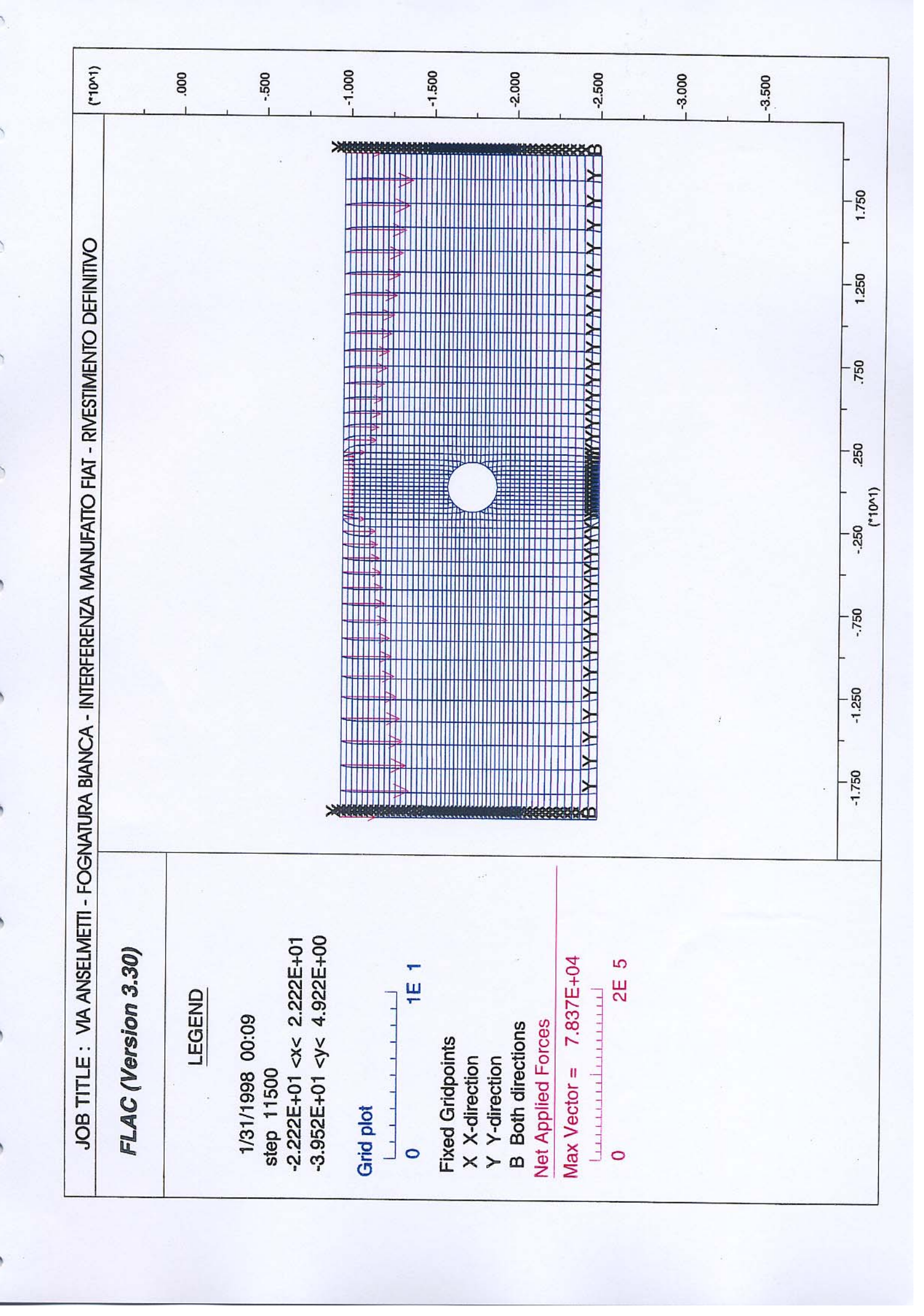
~

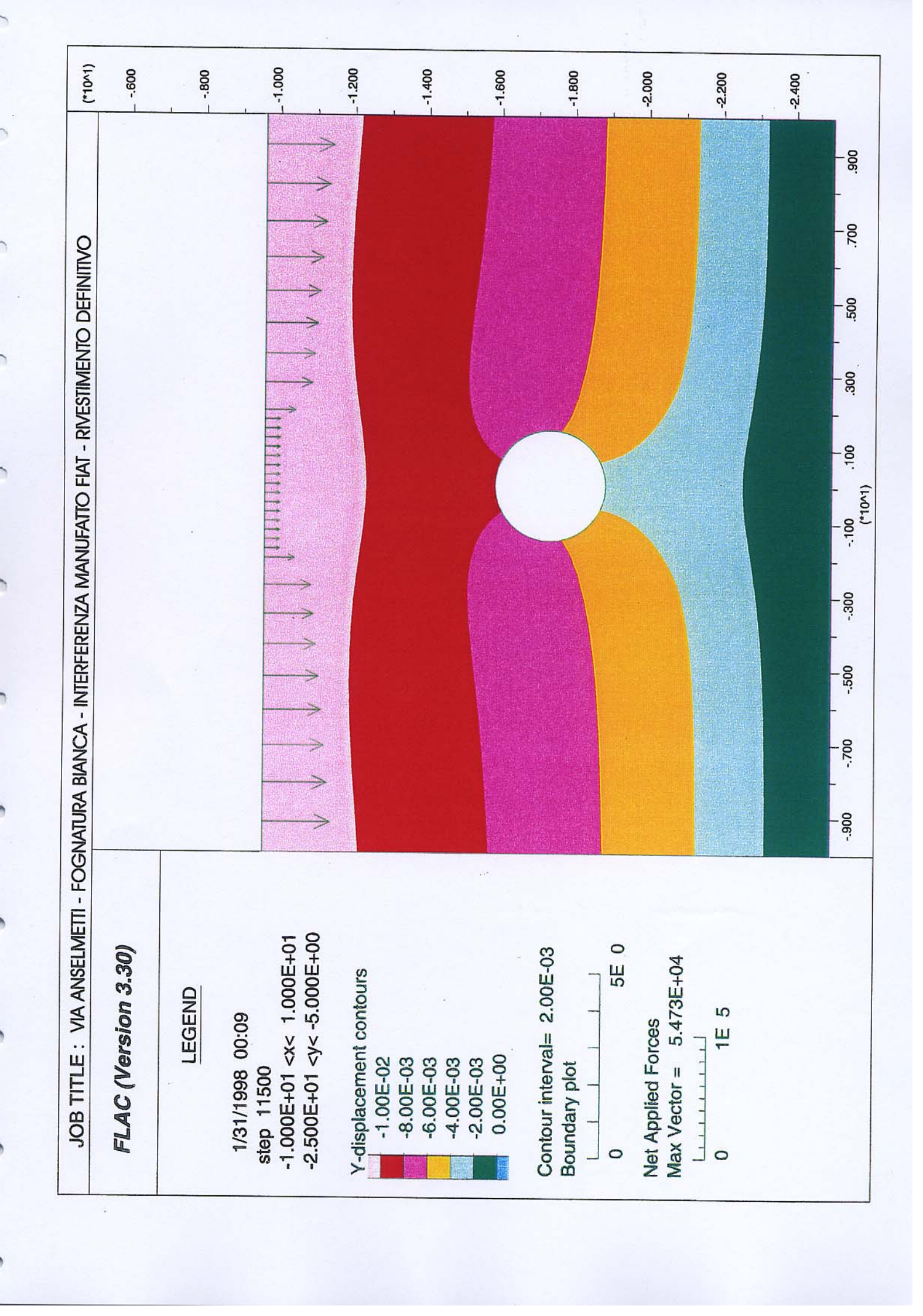


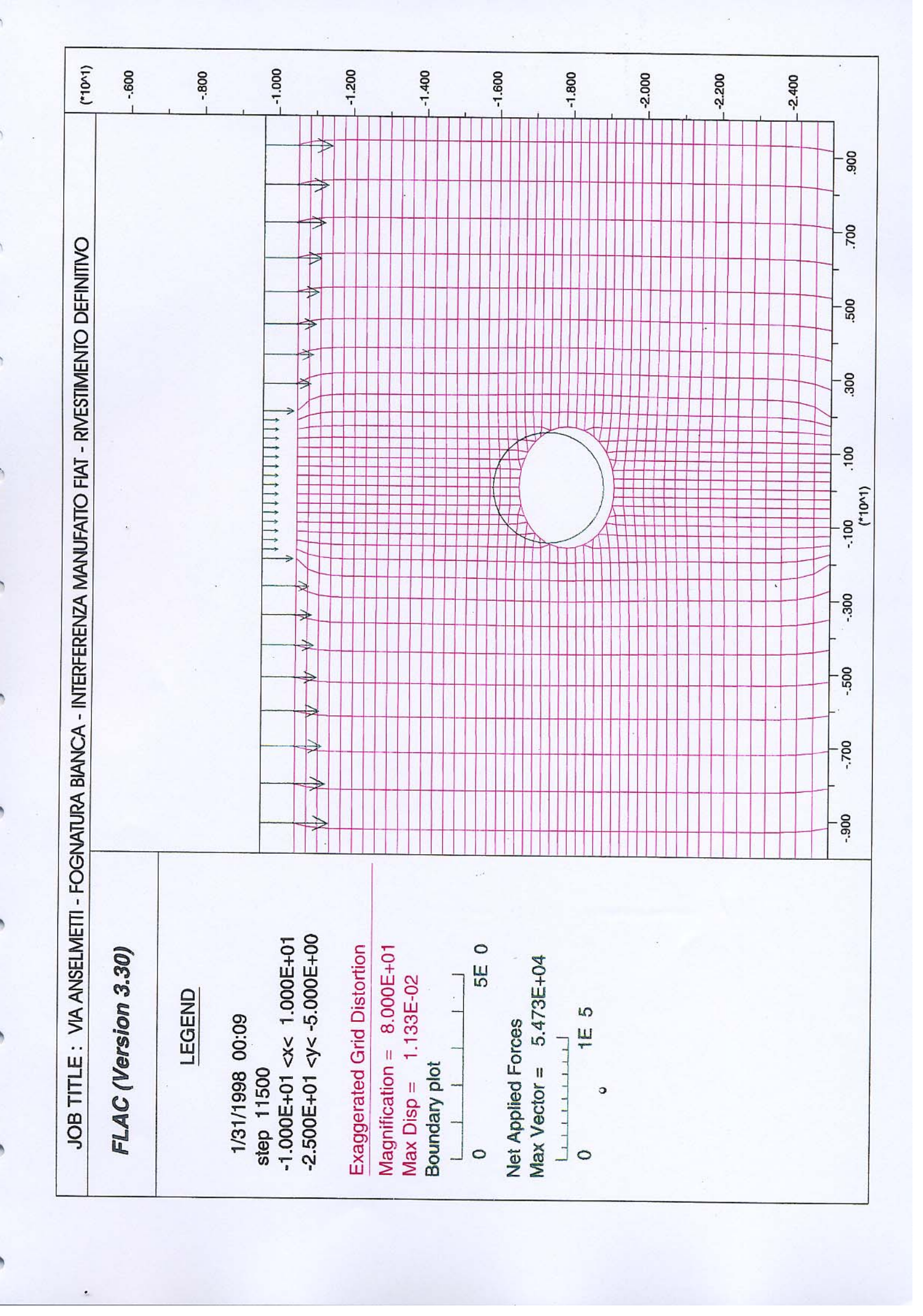
		1
FLAC (Version 3.30)		-1.4/5
LEGEND		-1.525
1/31/1998 00:09 step 4200 -2.500E+00 <x< 2.500e+00<="" td=""><td></td><td>-1.575</td></x<>		-1.575
Shear Force on		1.625
Structure Max. Value # 1 (Beam) -6.430E+03 Boundary plot		
0 1E 0		1.725
		1.775
		1.825
		1.875
		-1.925
	-2.250 -1.750 -1.250 -250 .250 .750 1.250 1.750 2.250	_ و

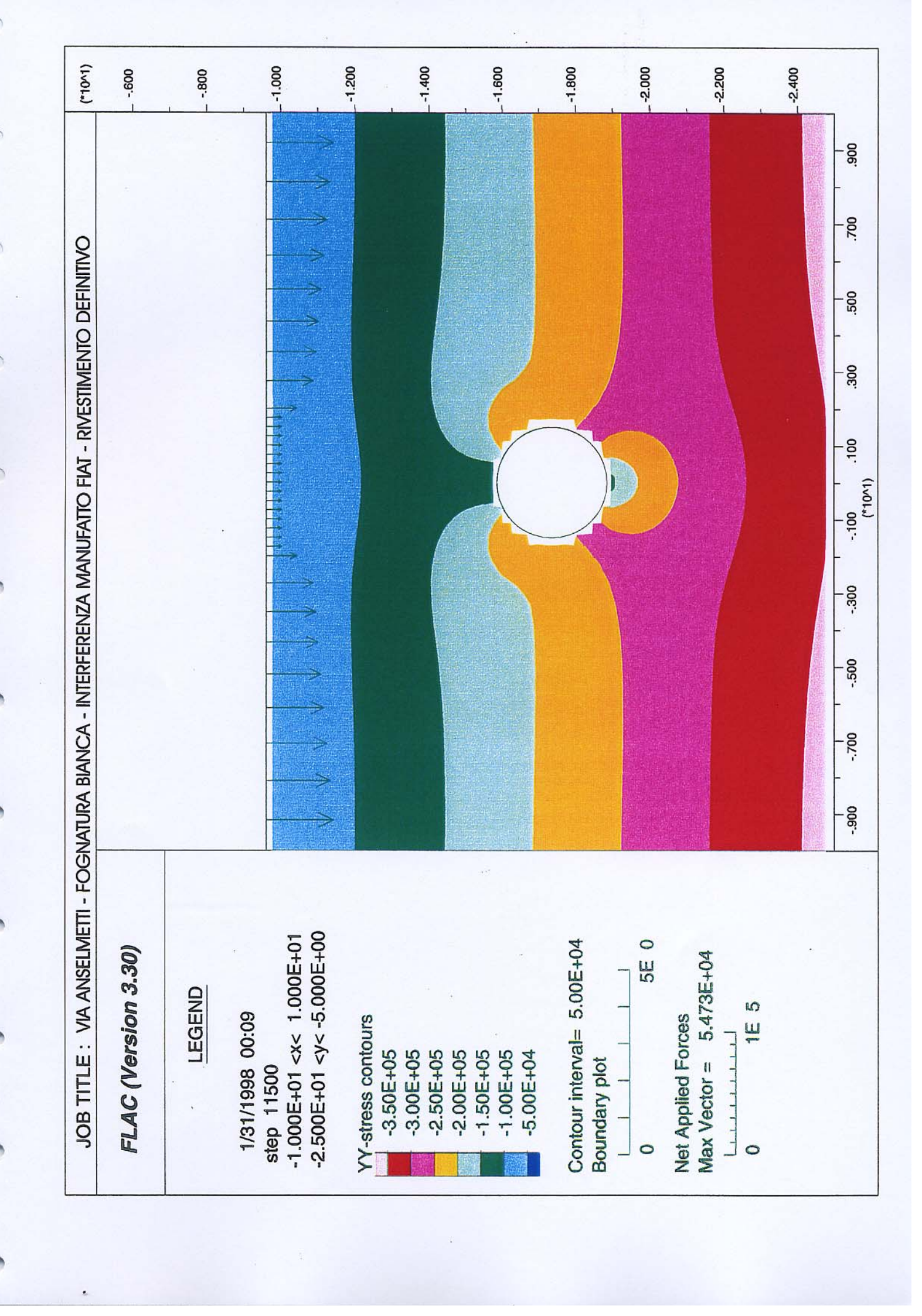
~;

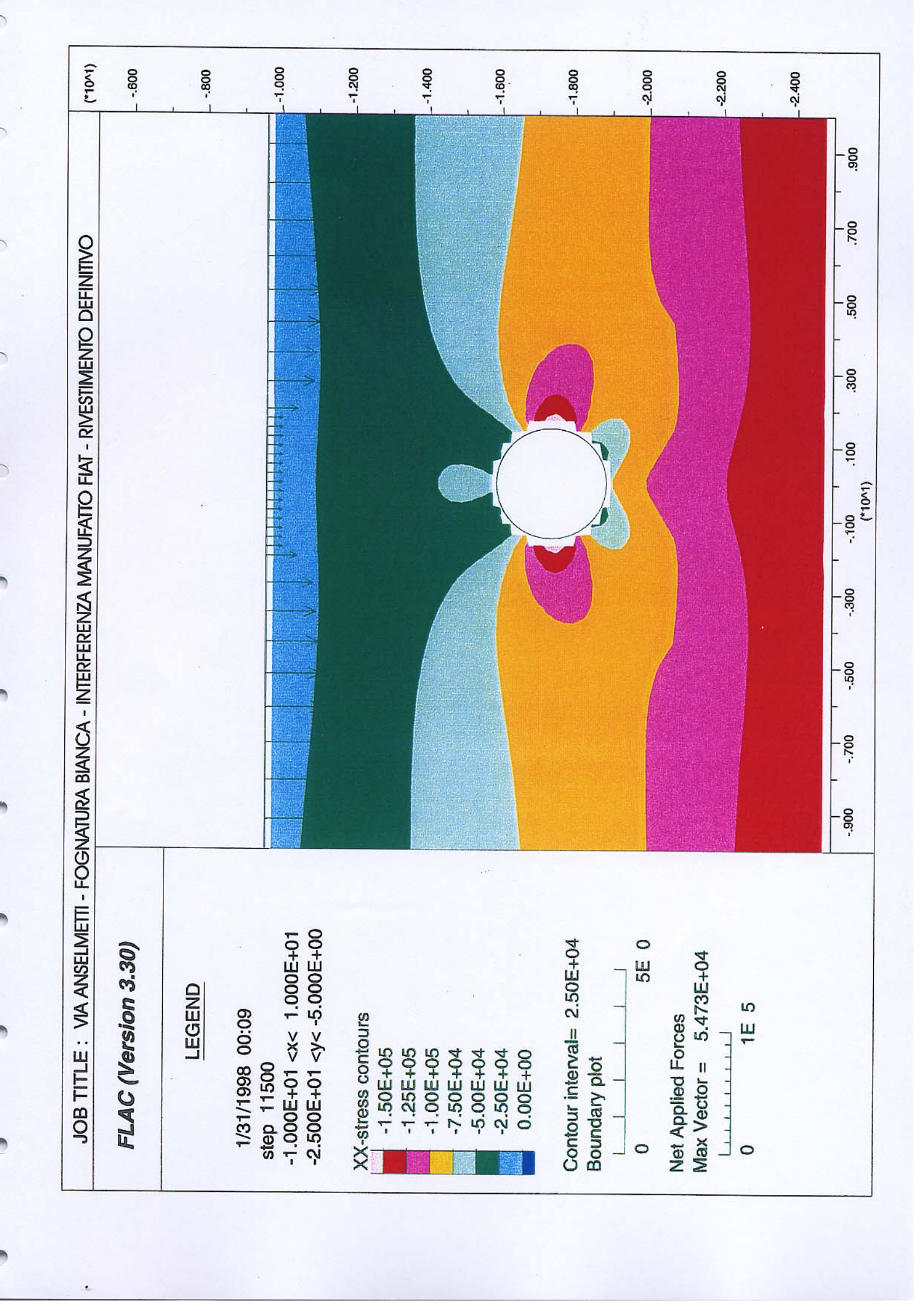


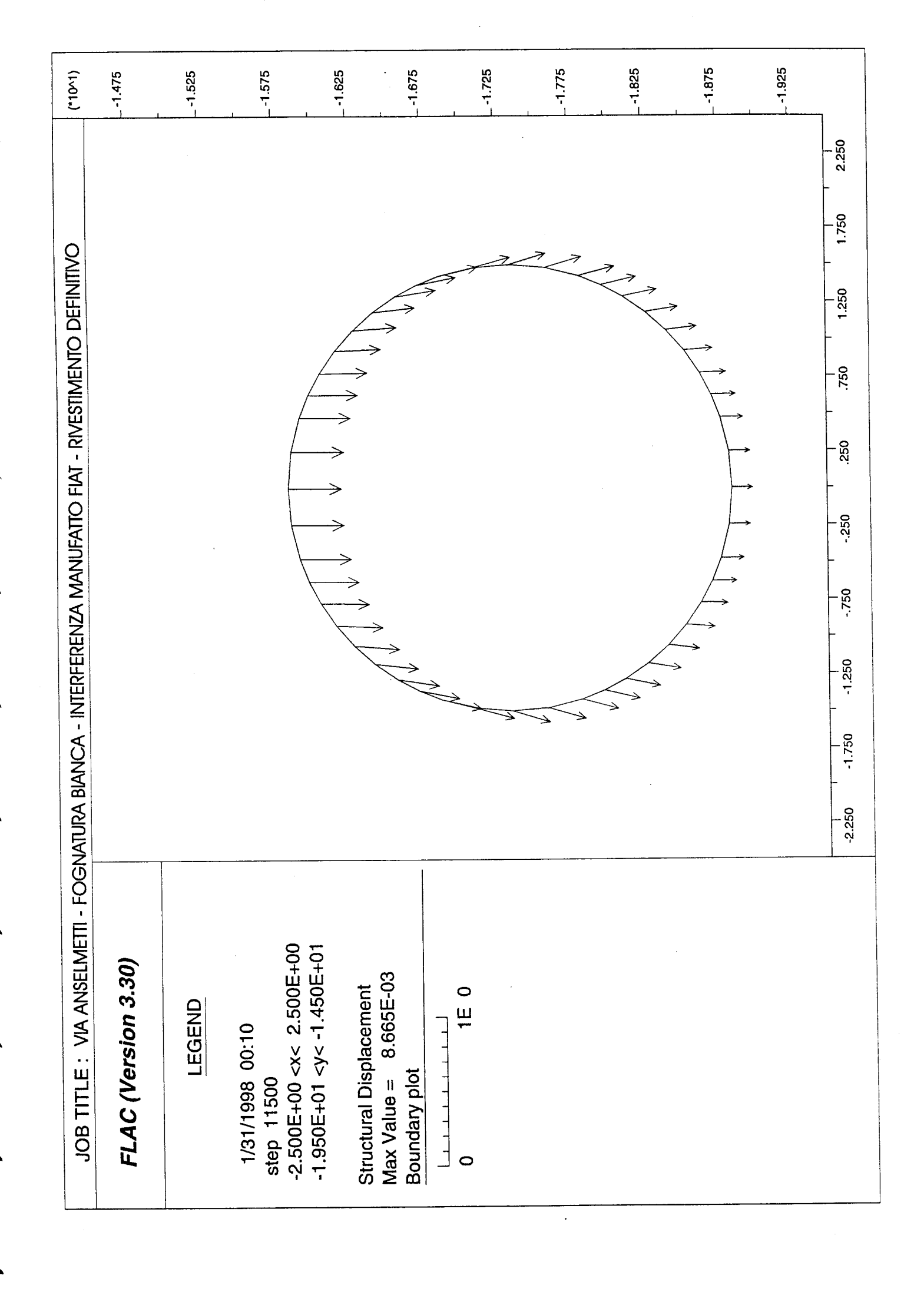


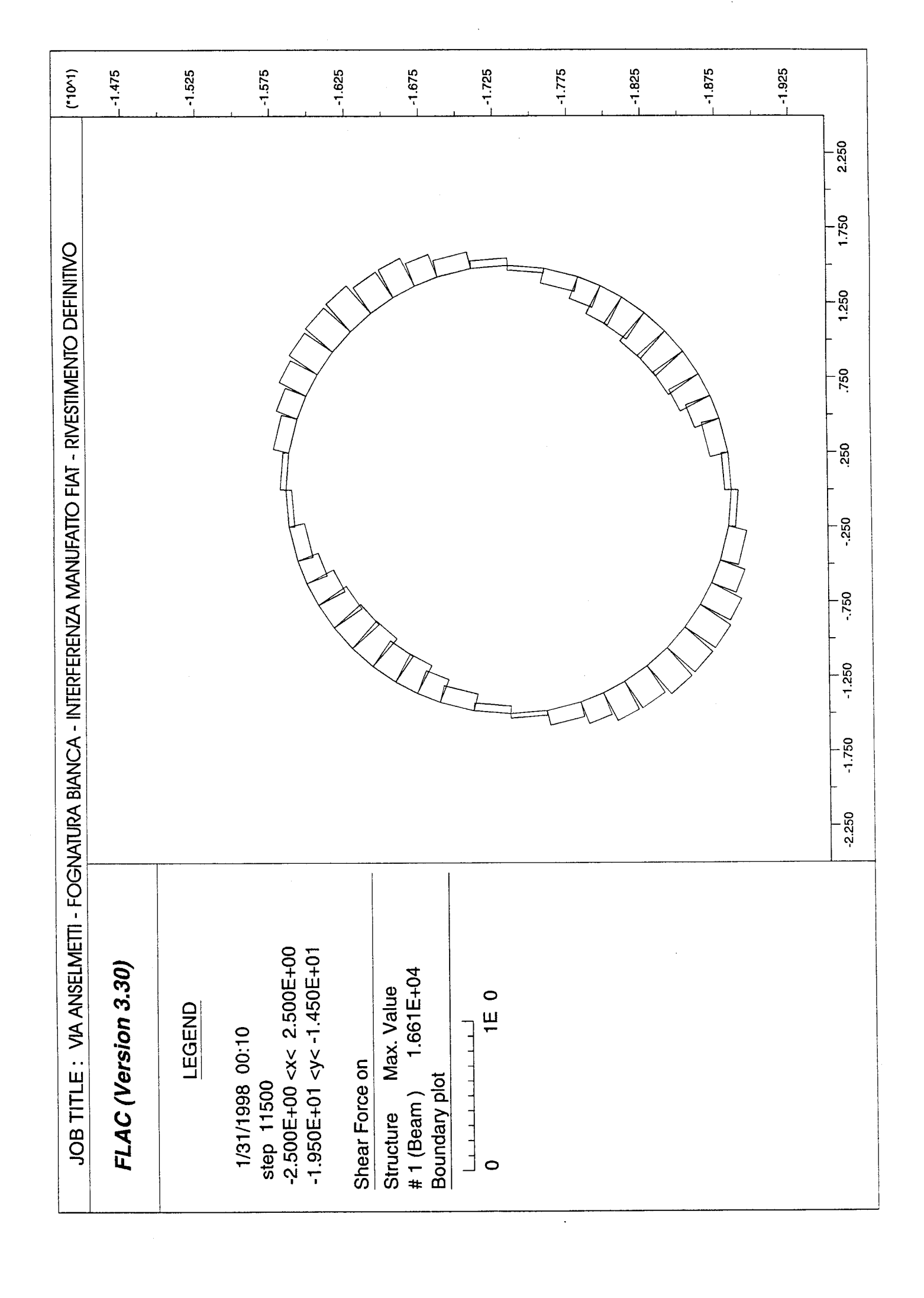


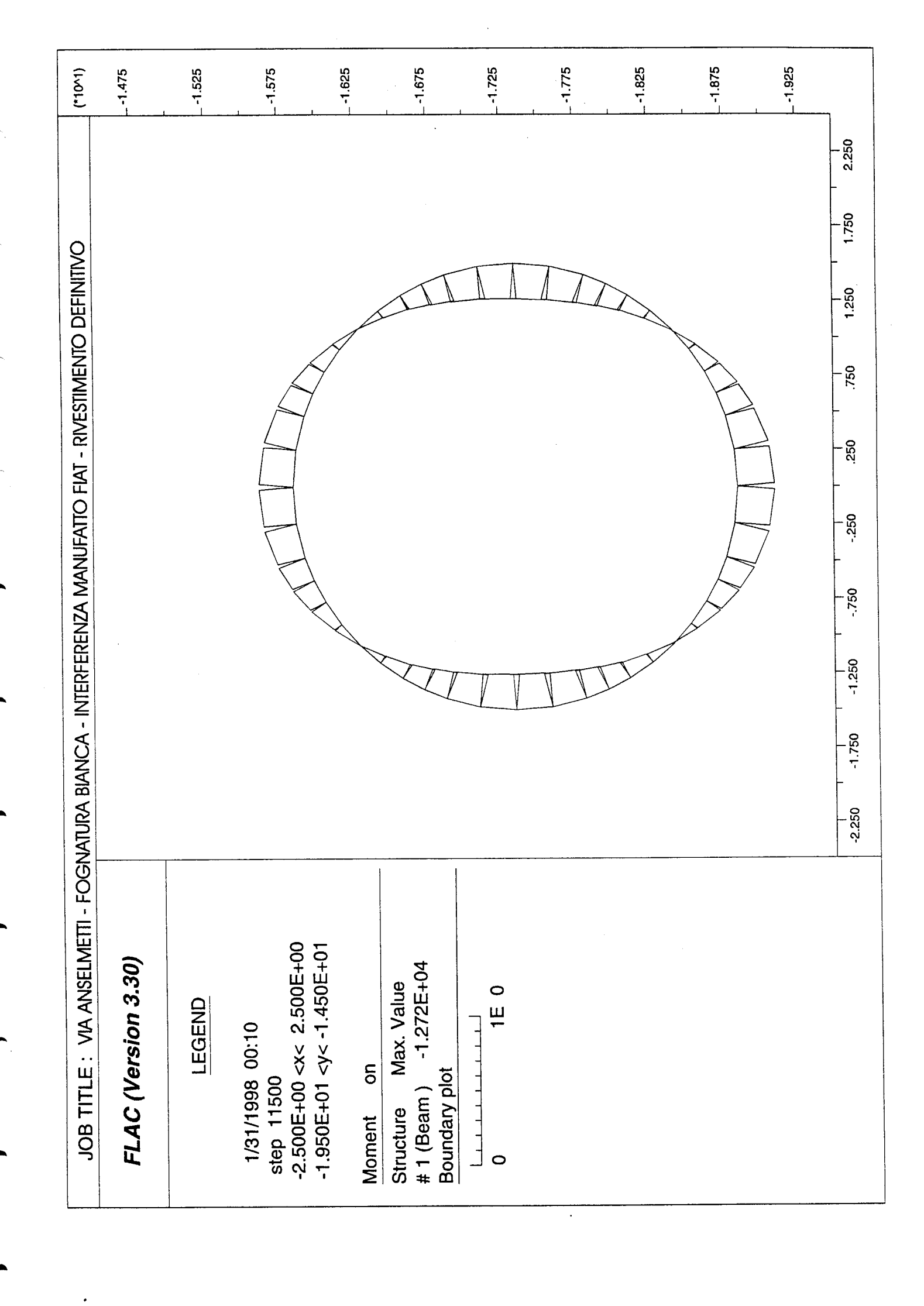


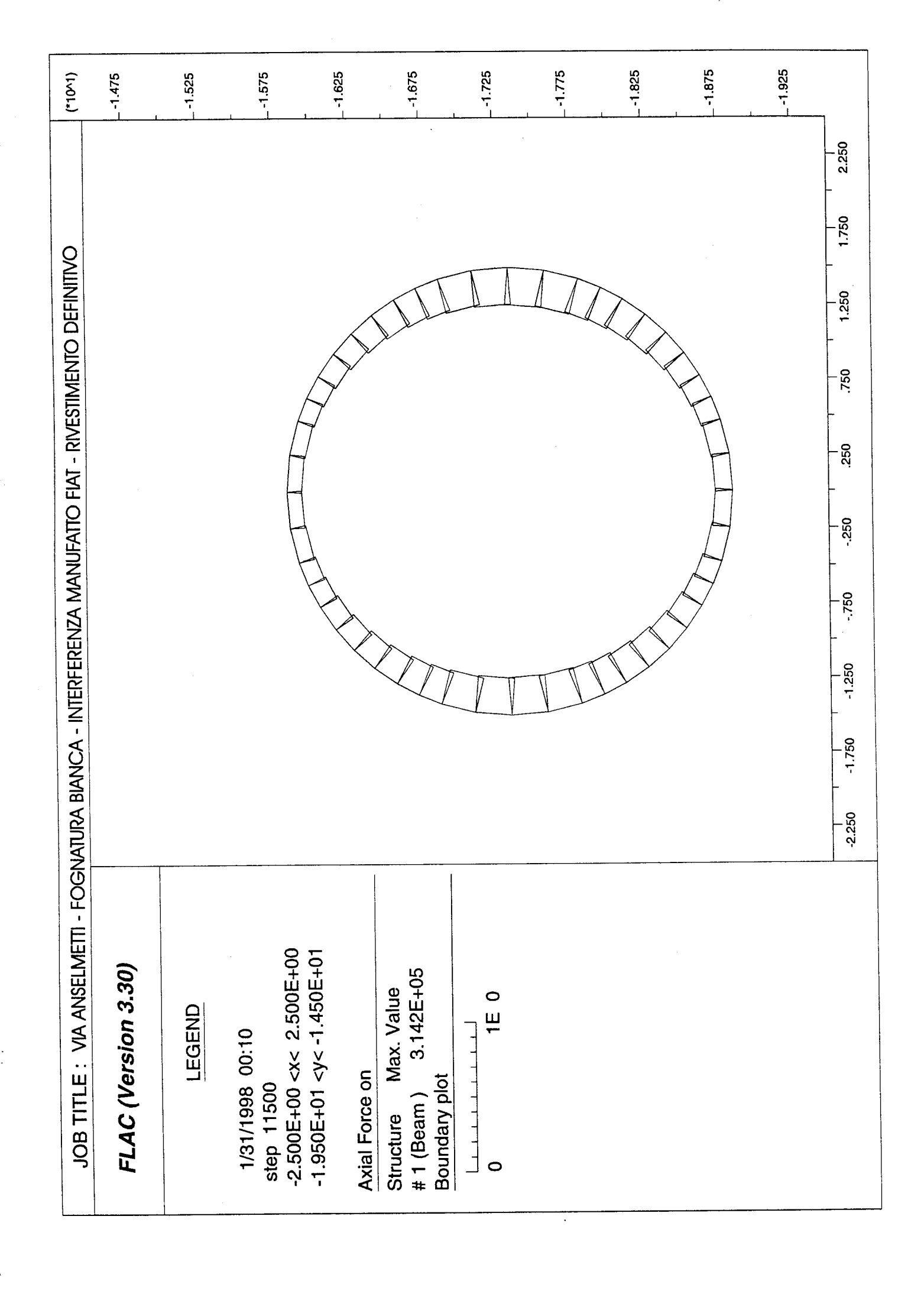


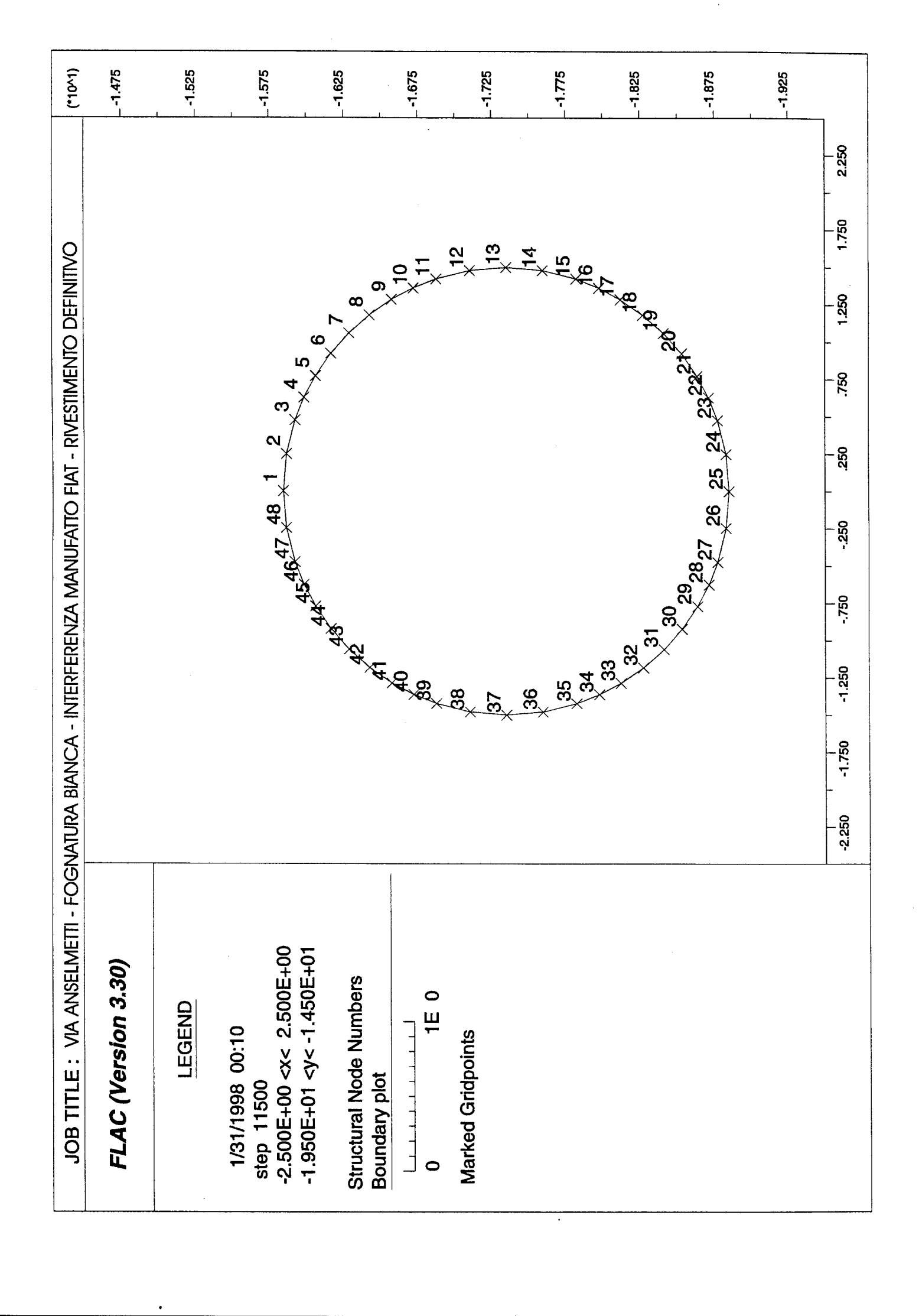


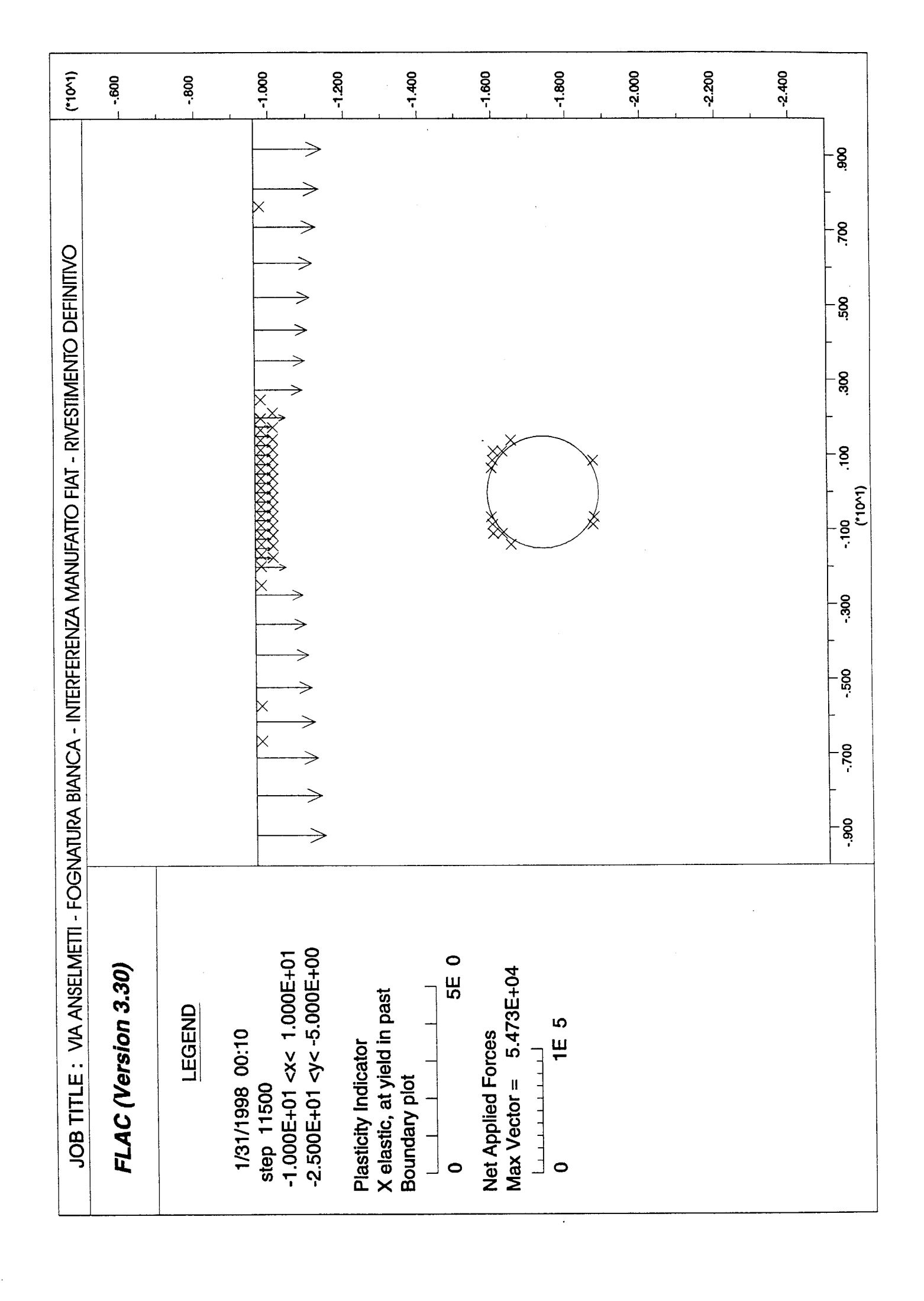


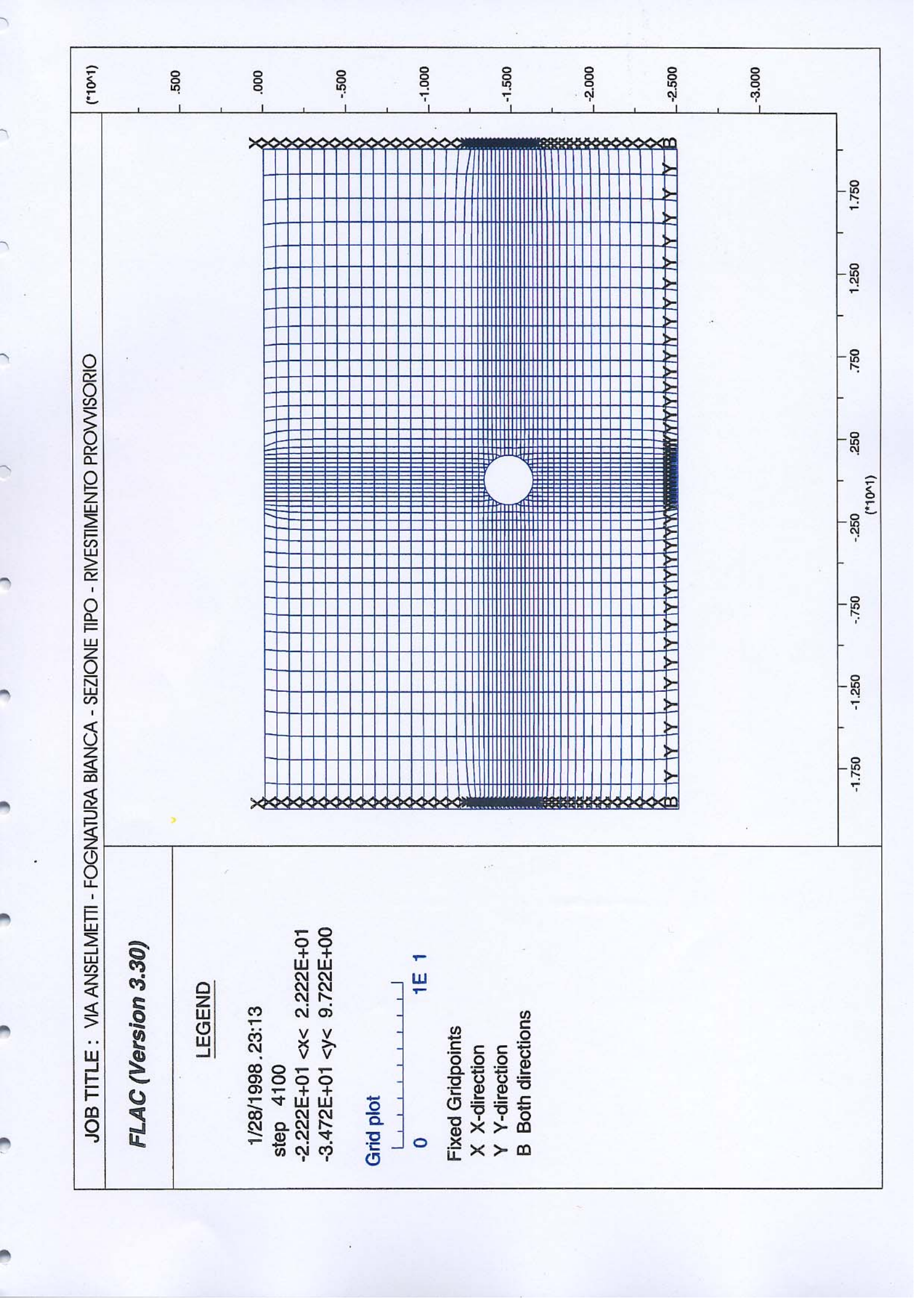


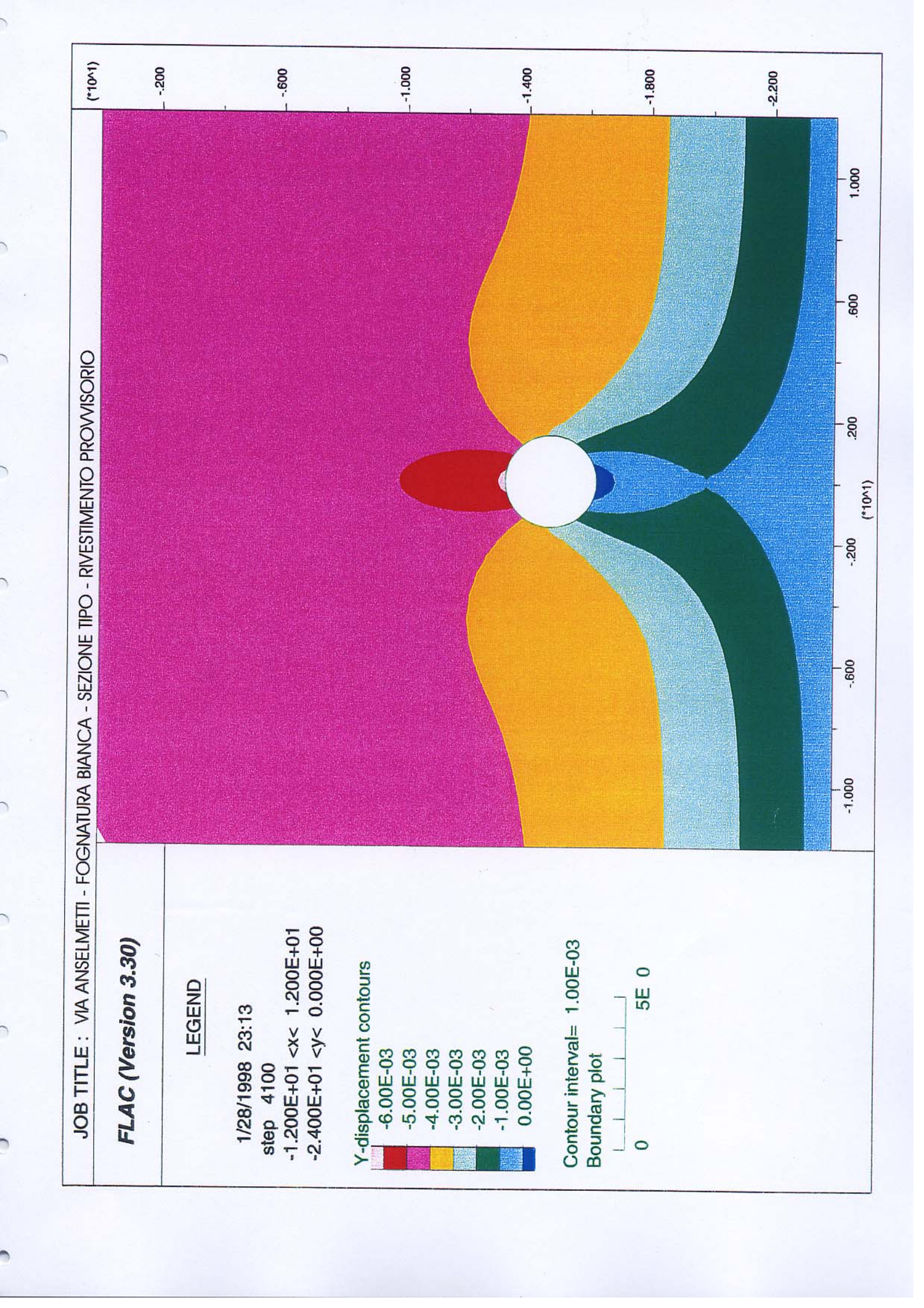


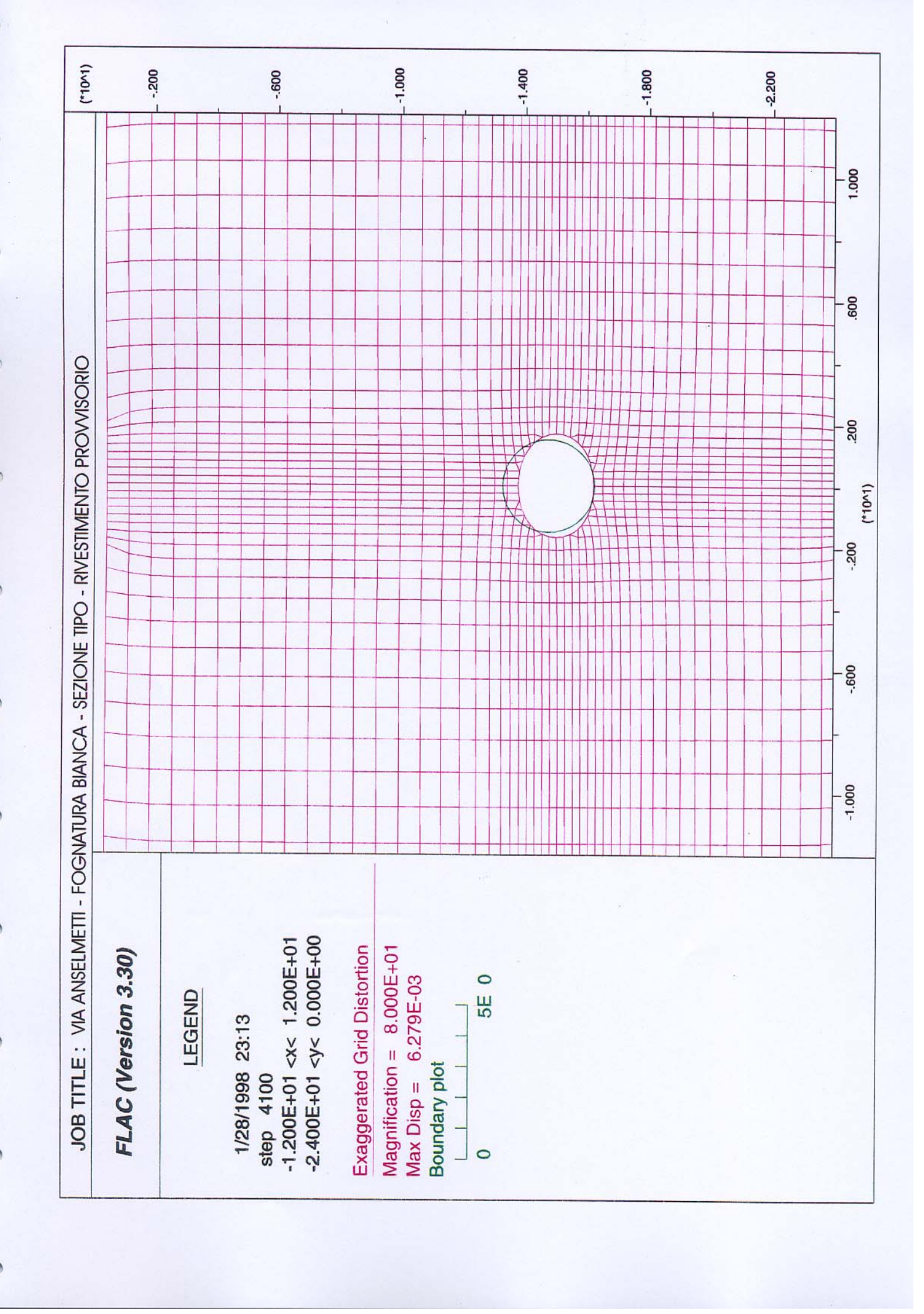


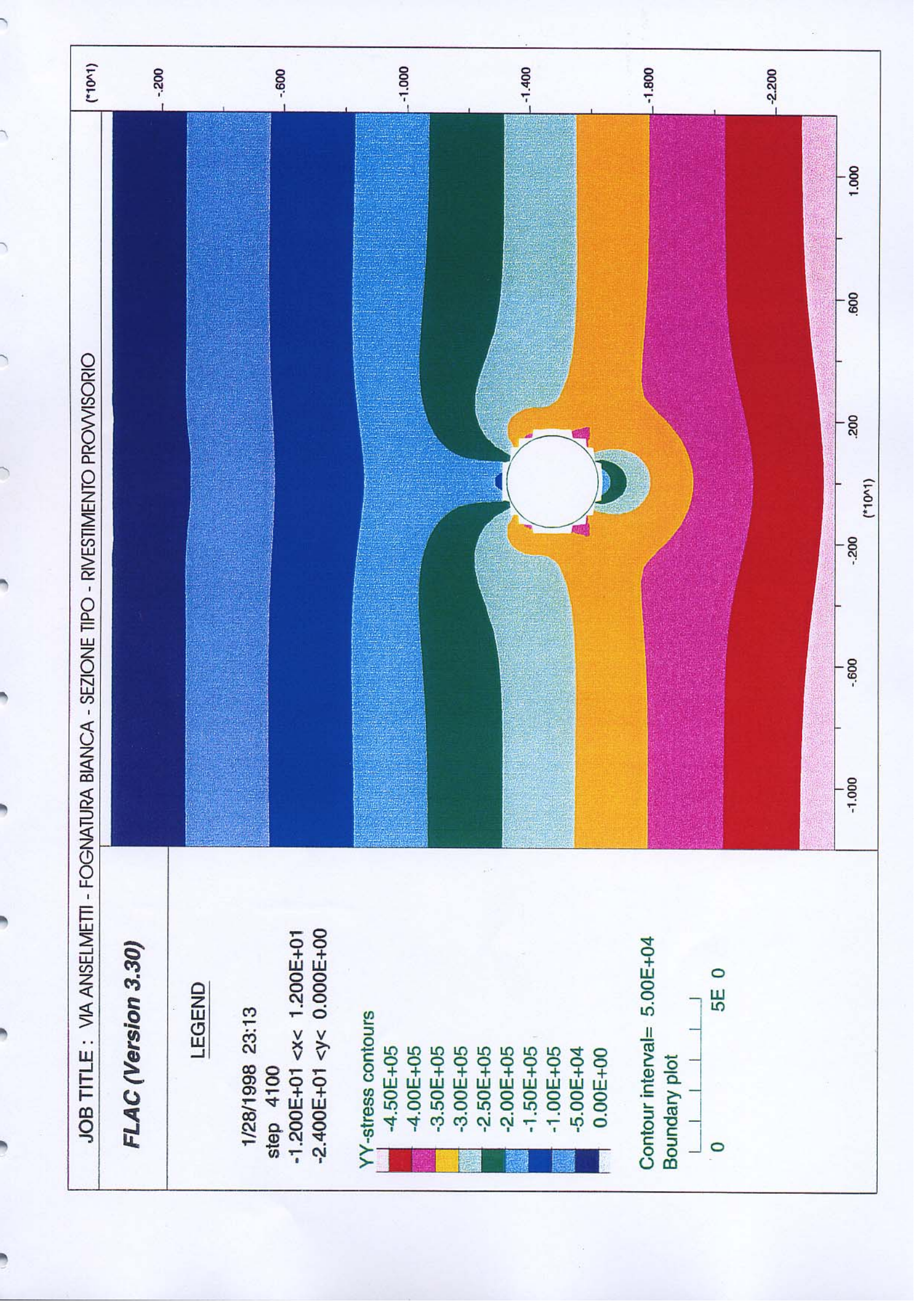


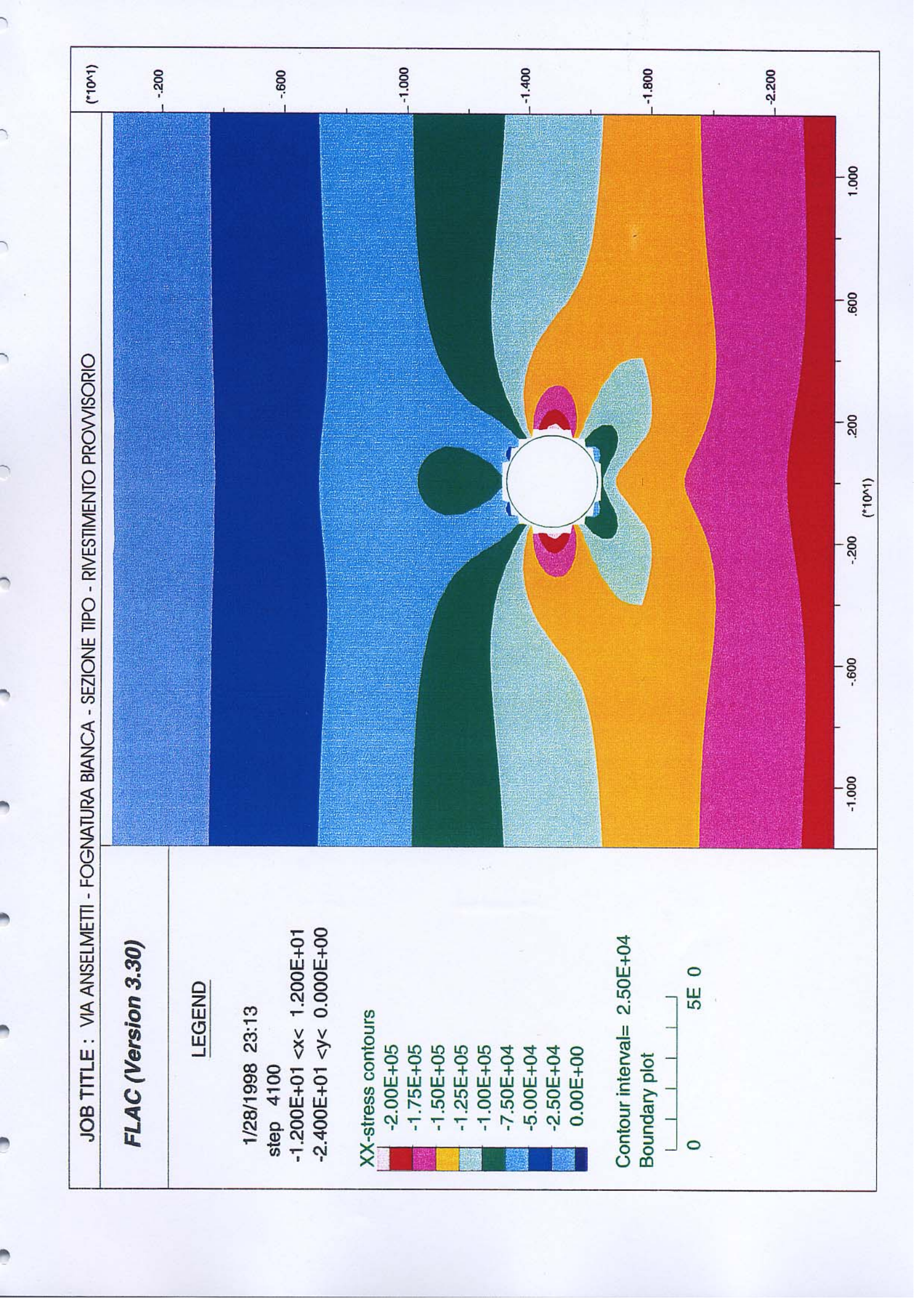


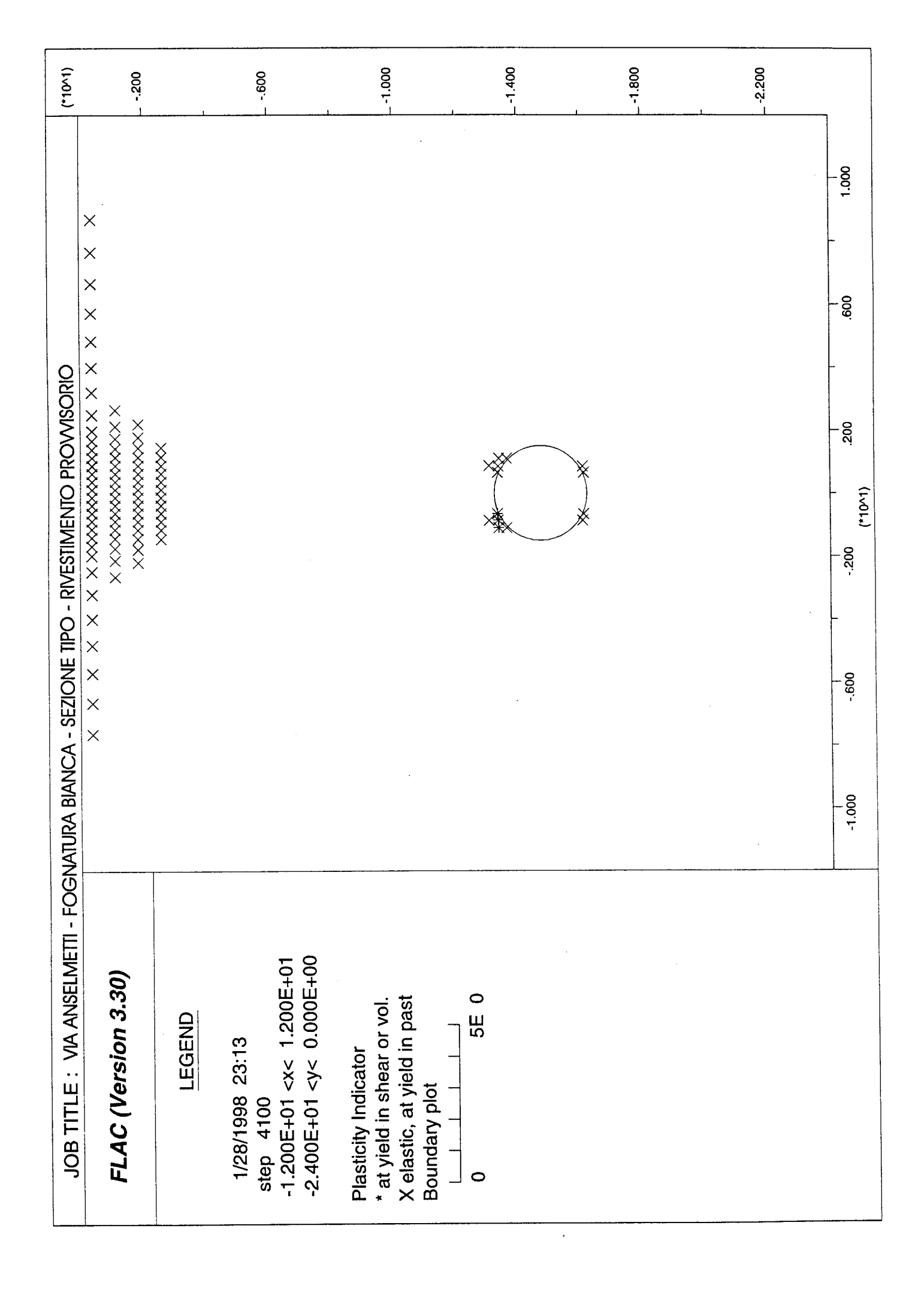


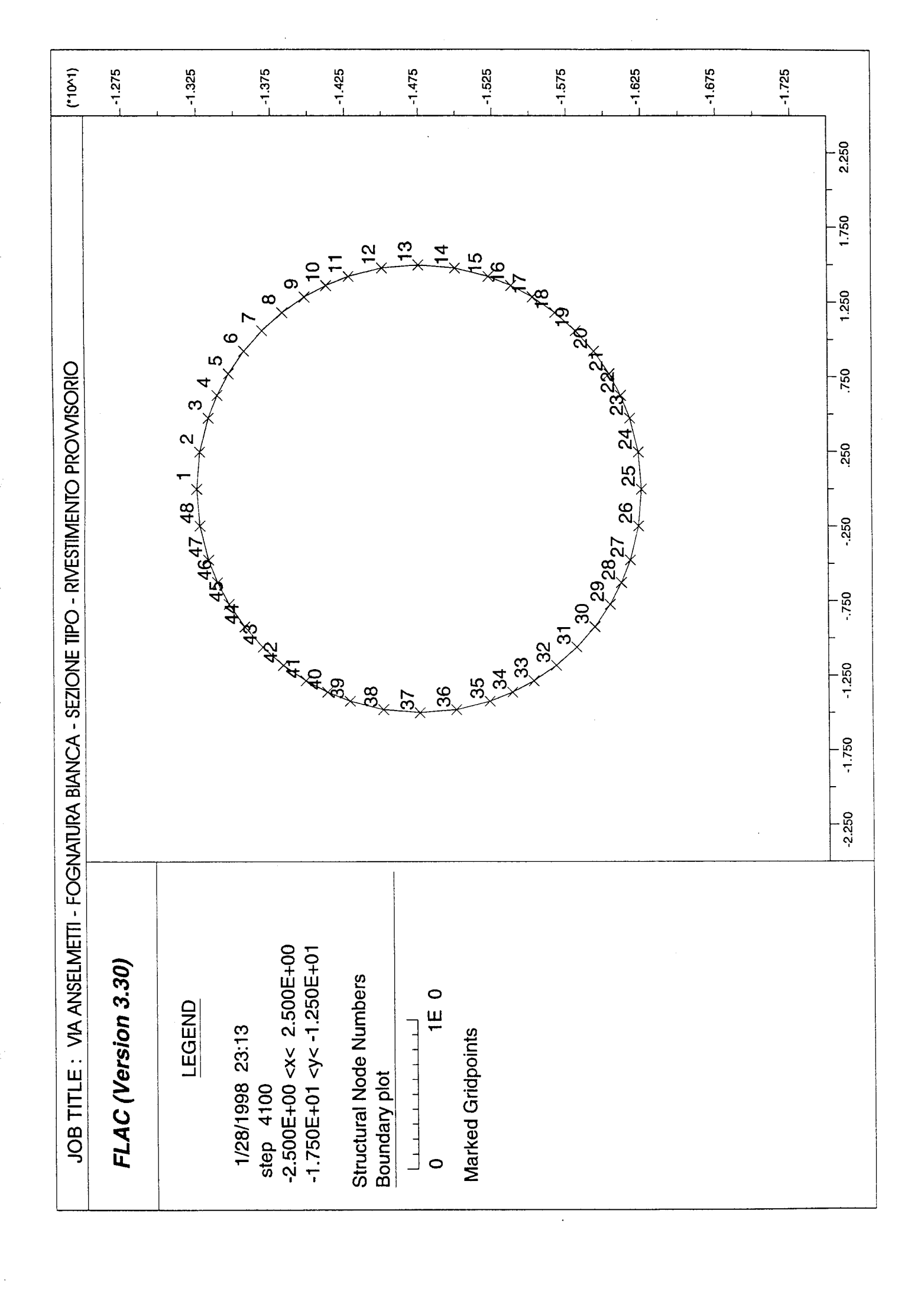


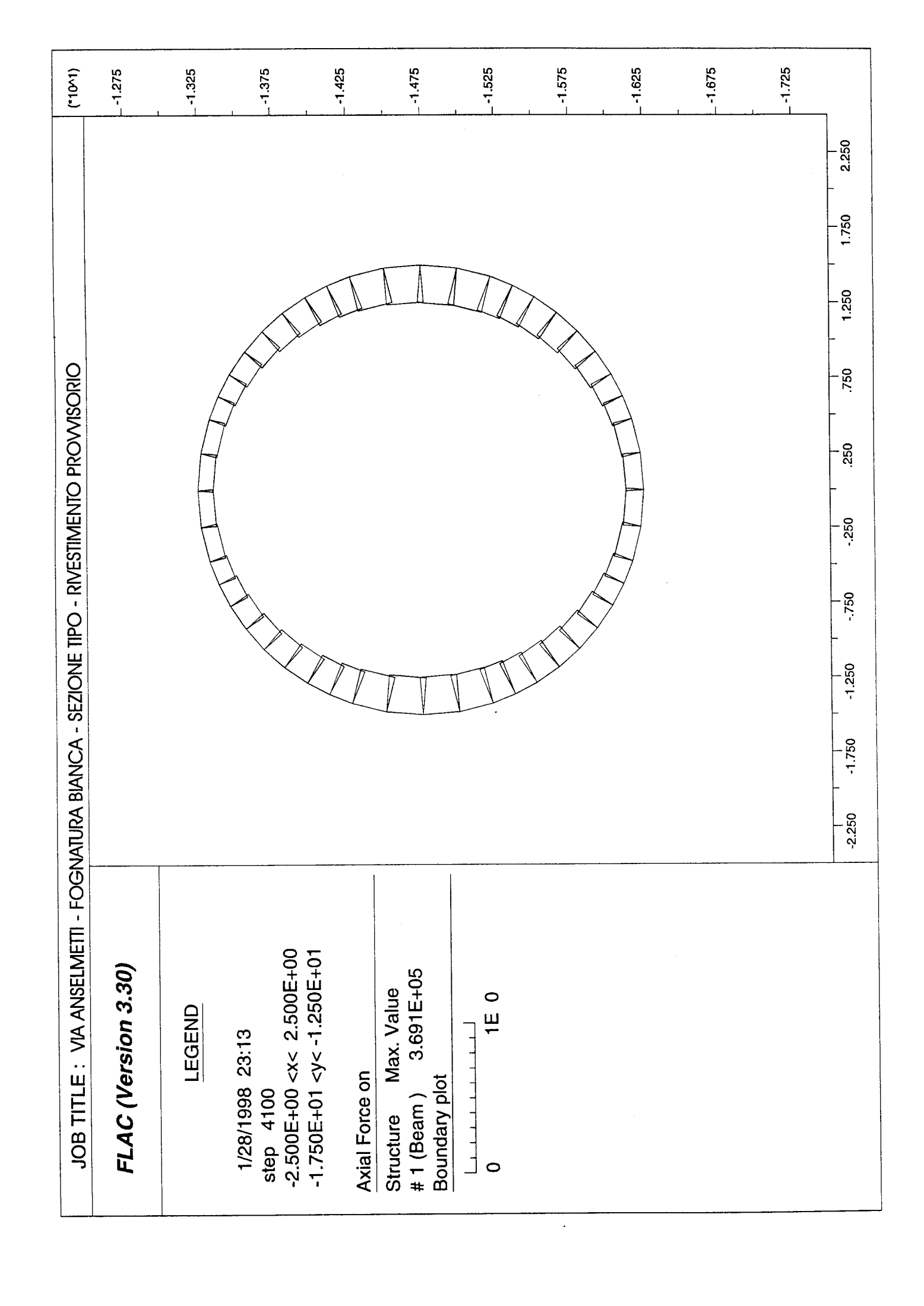


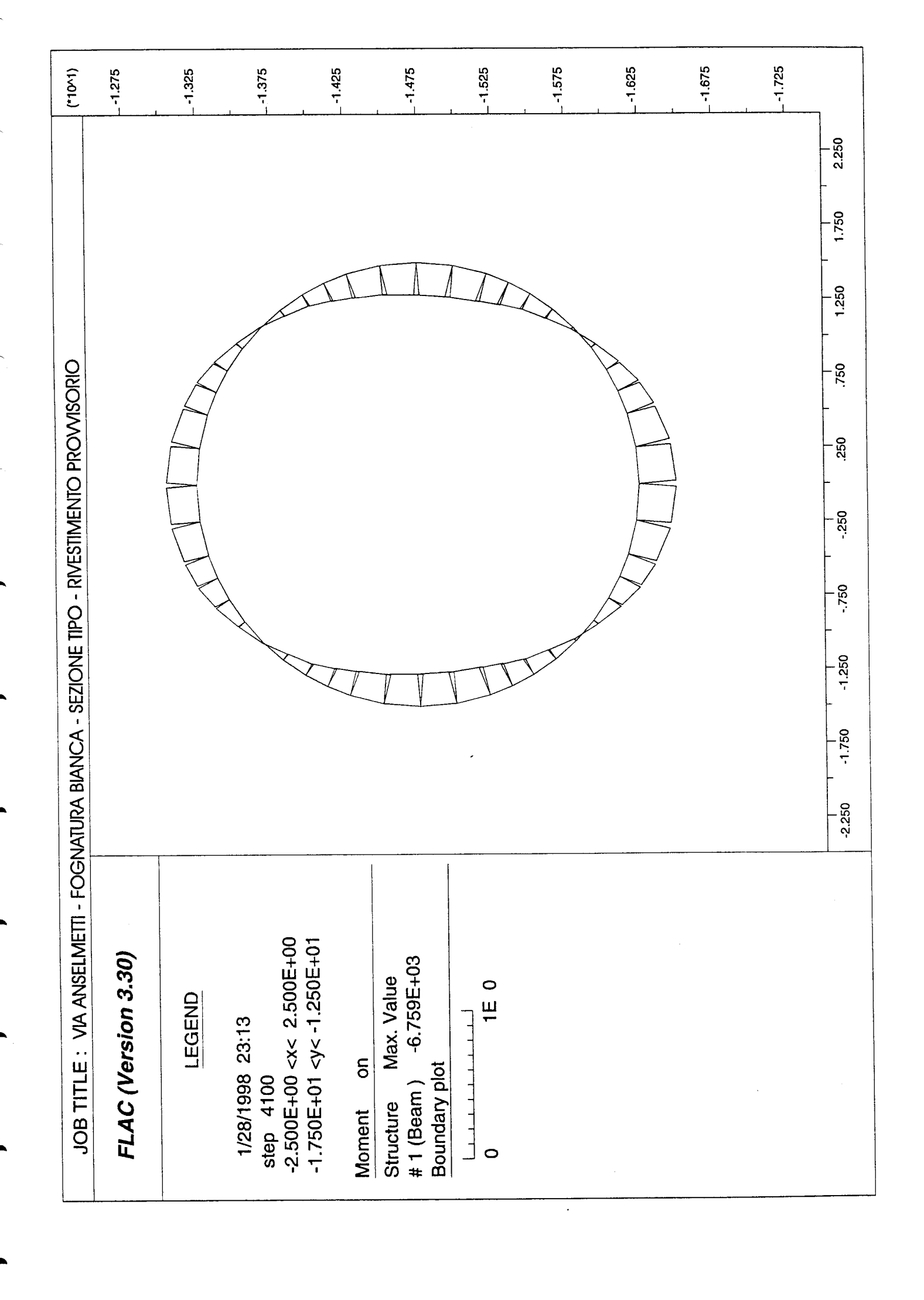


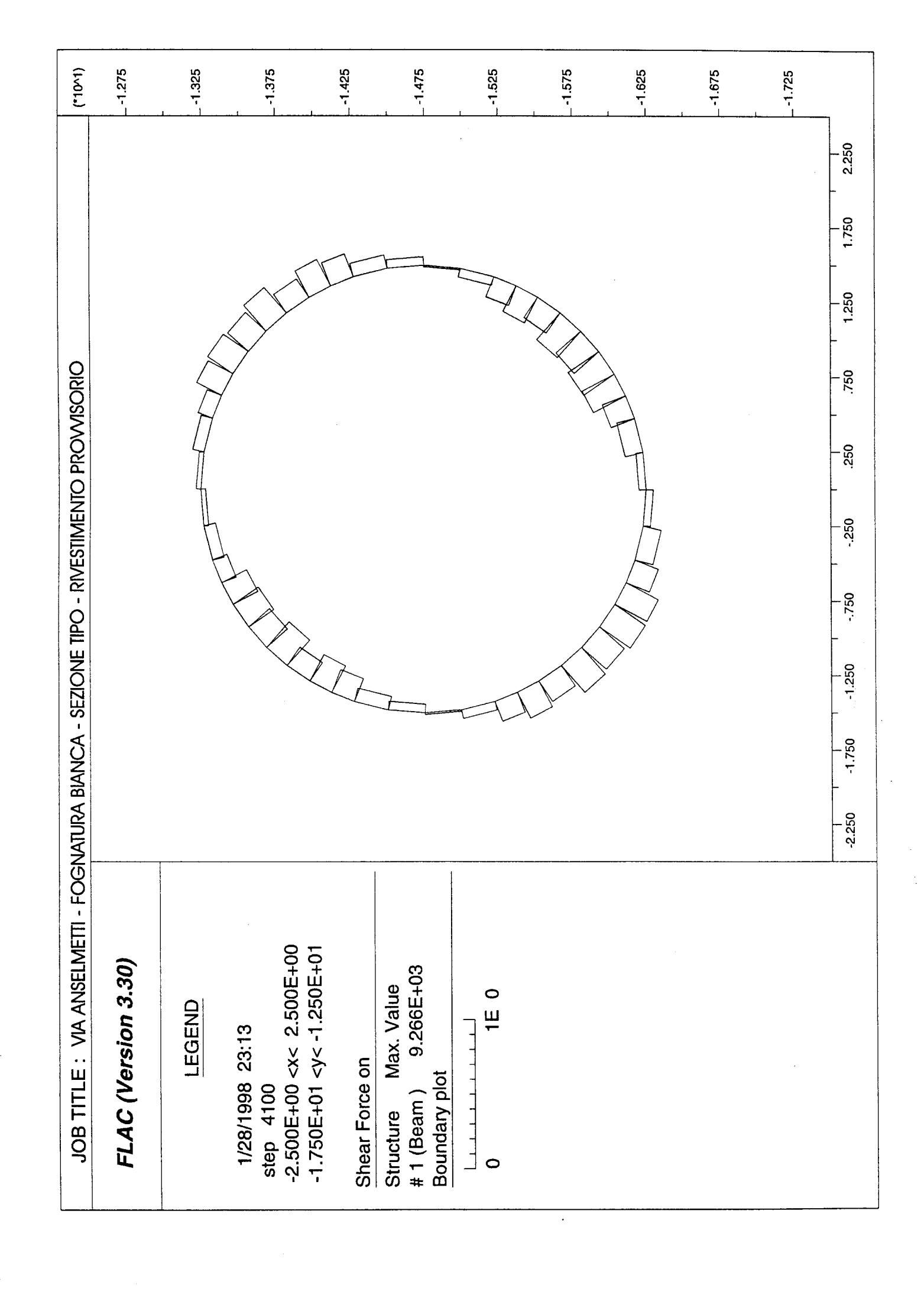


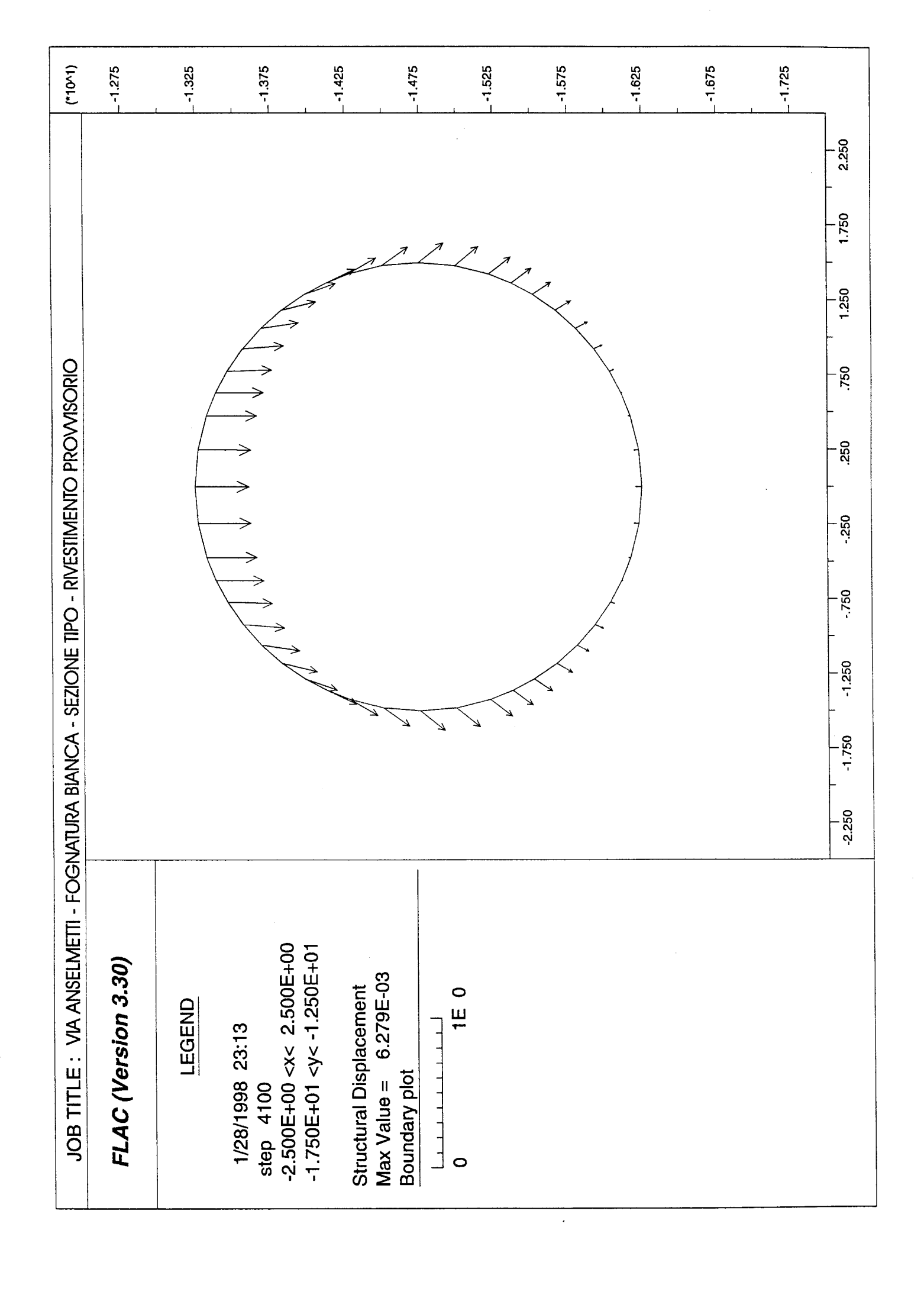


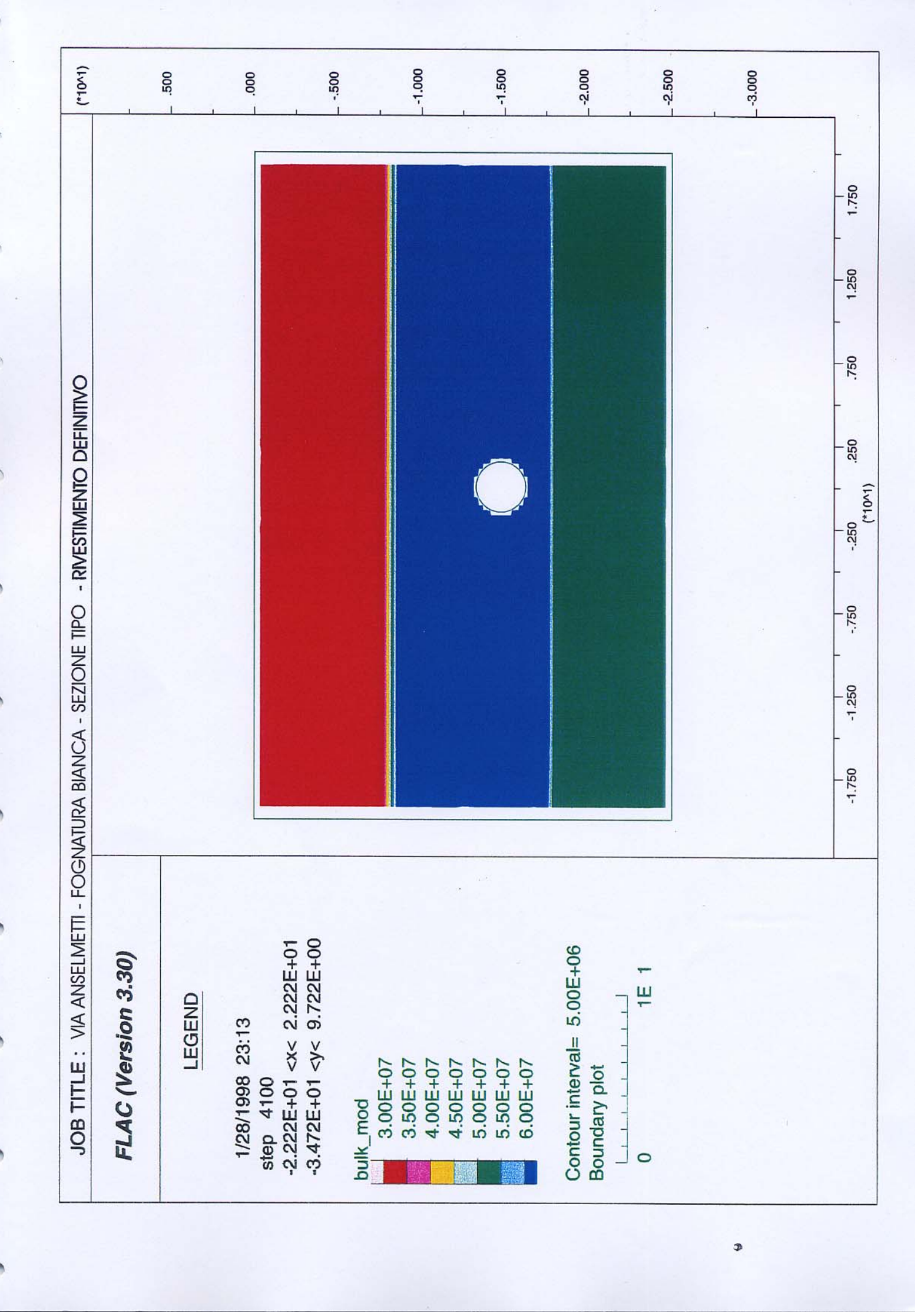


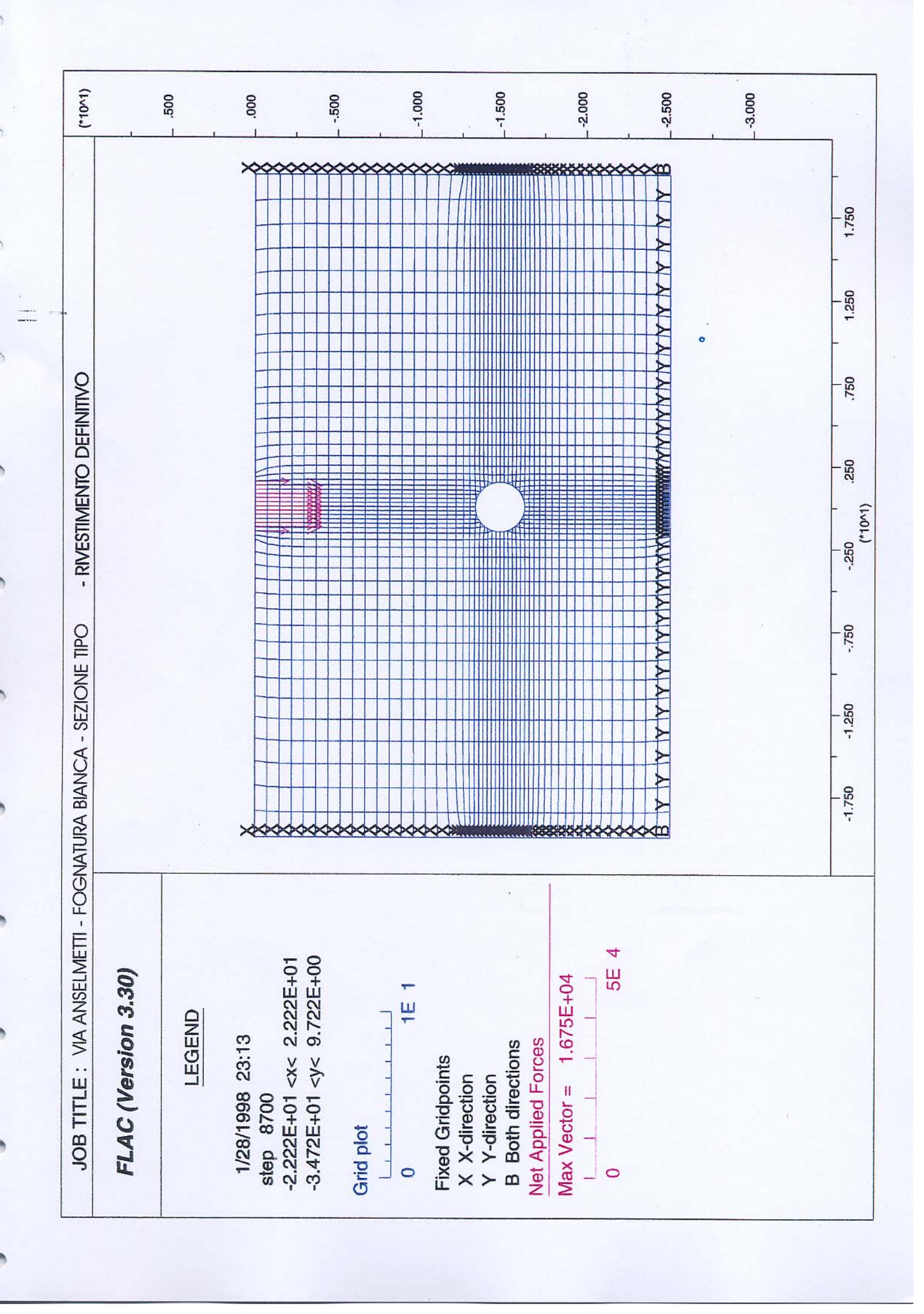


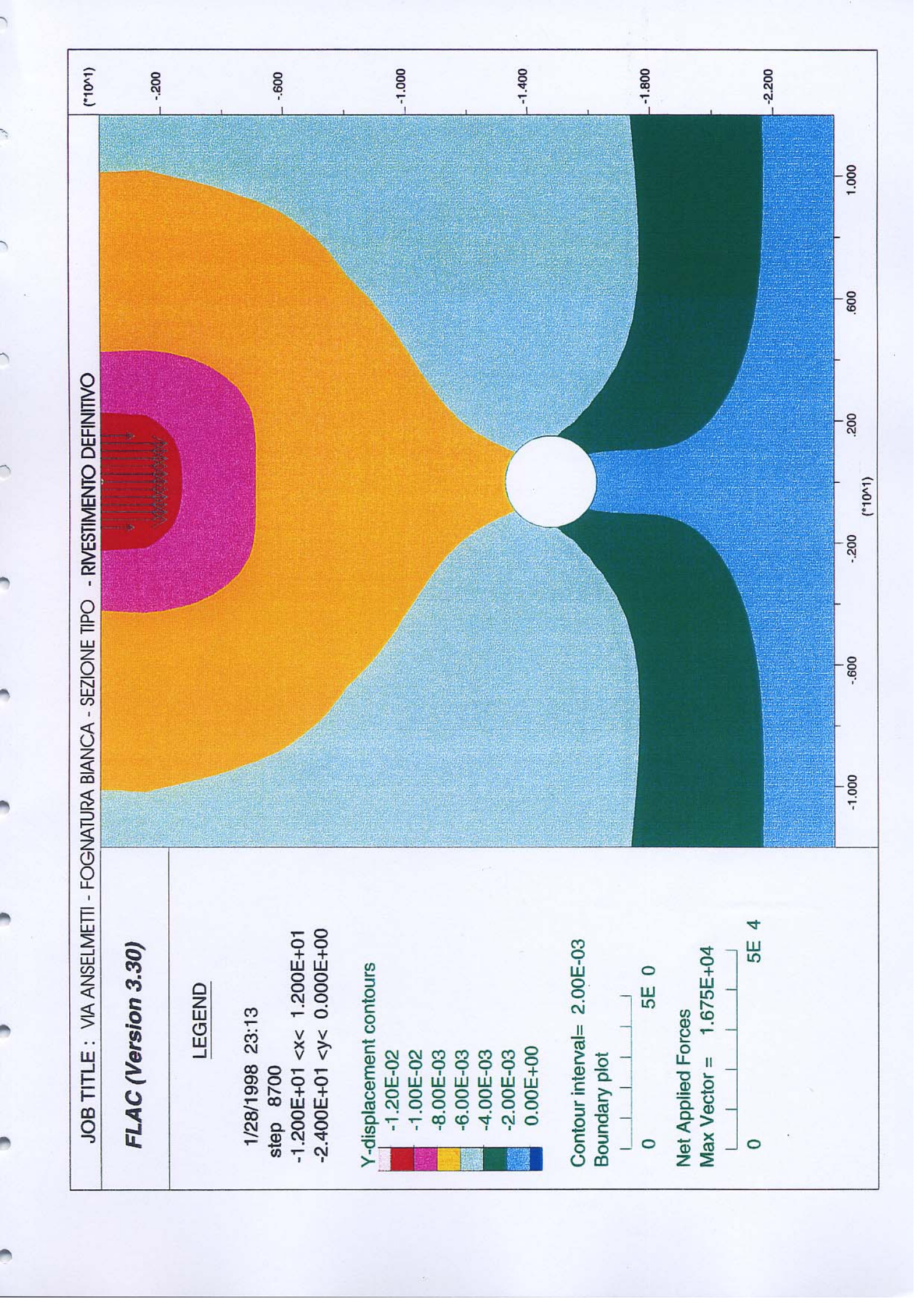


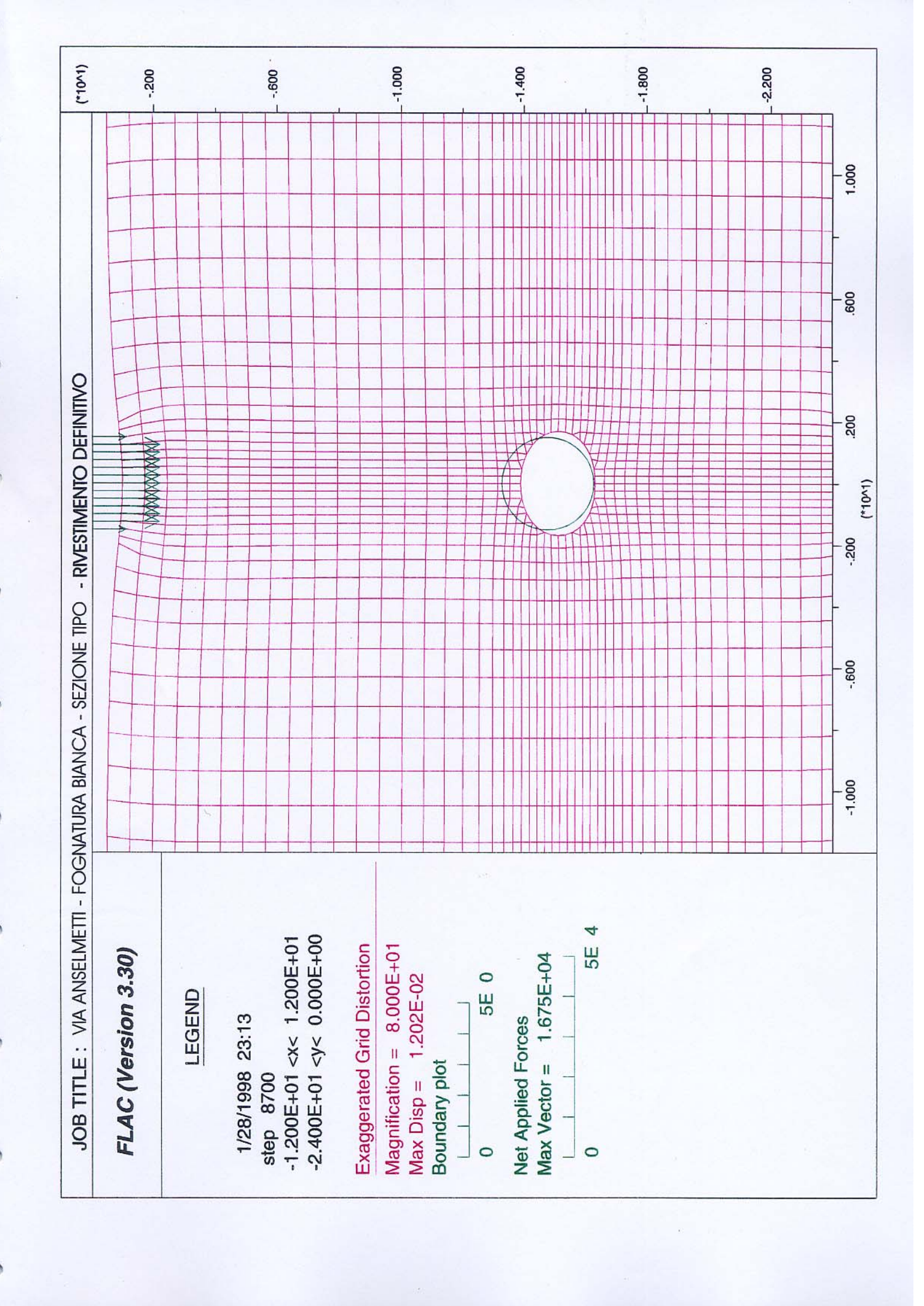


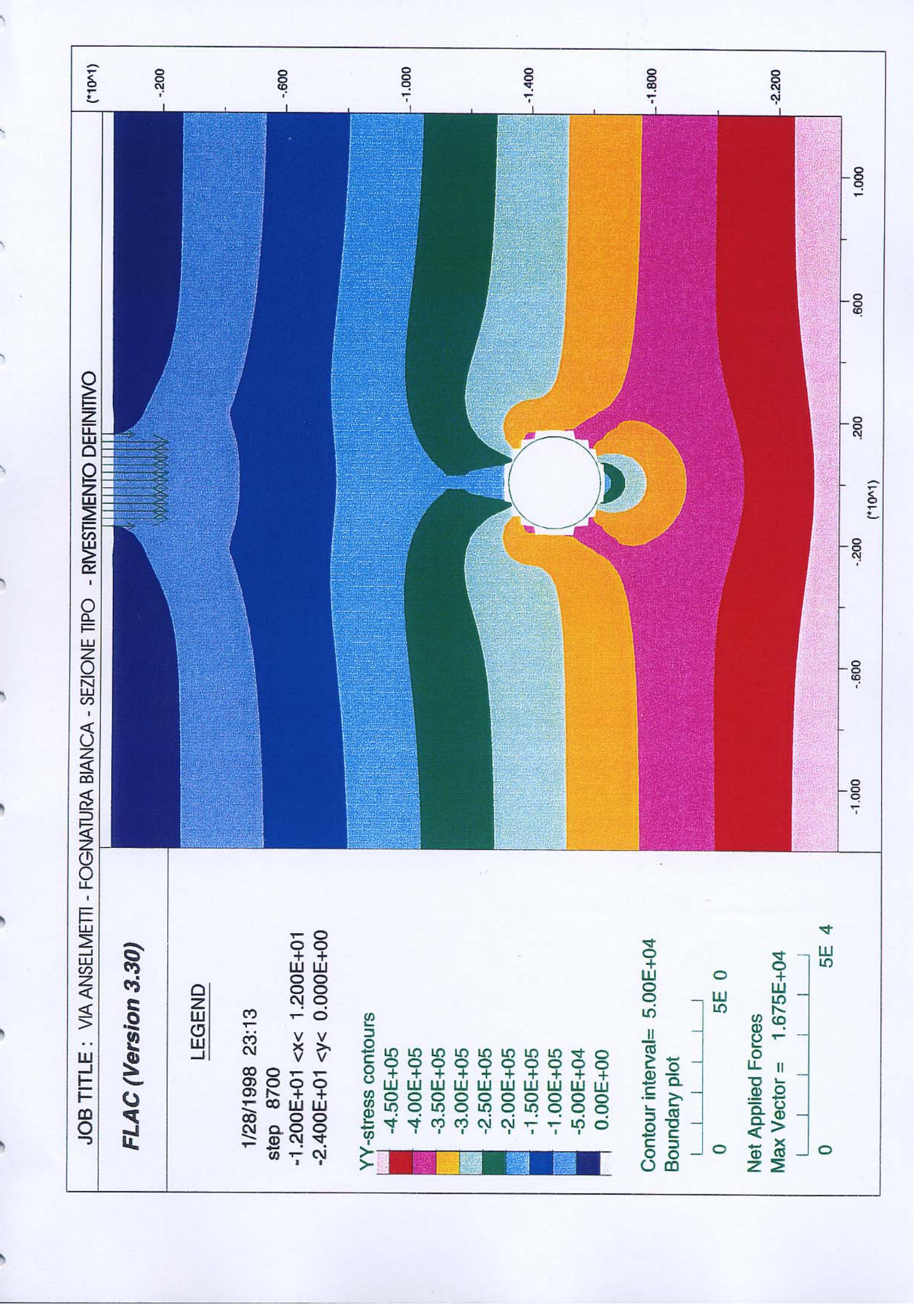


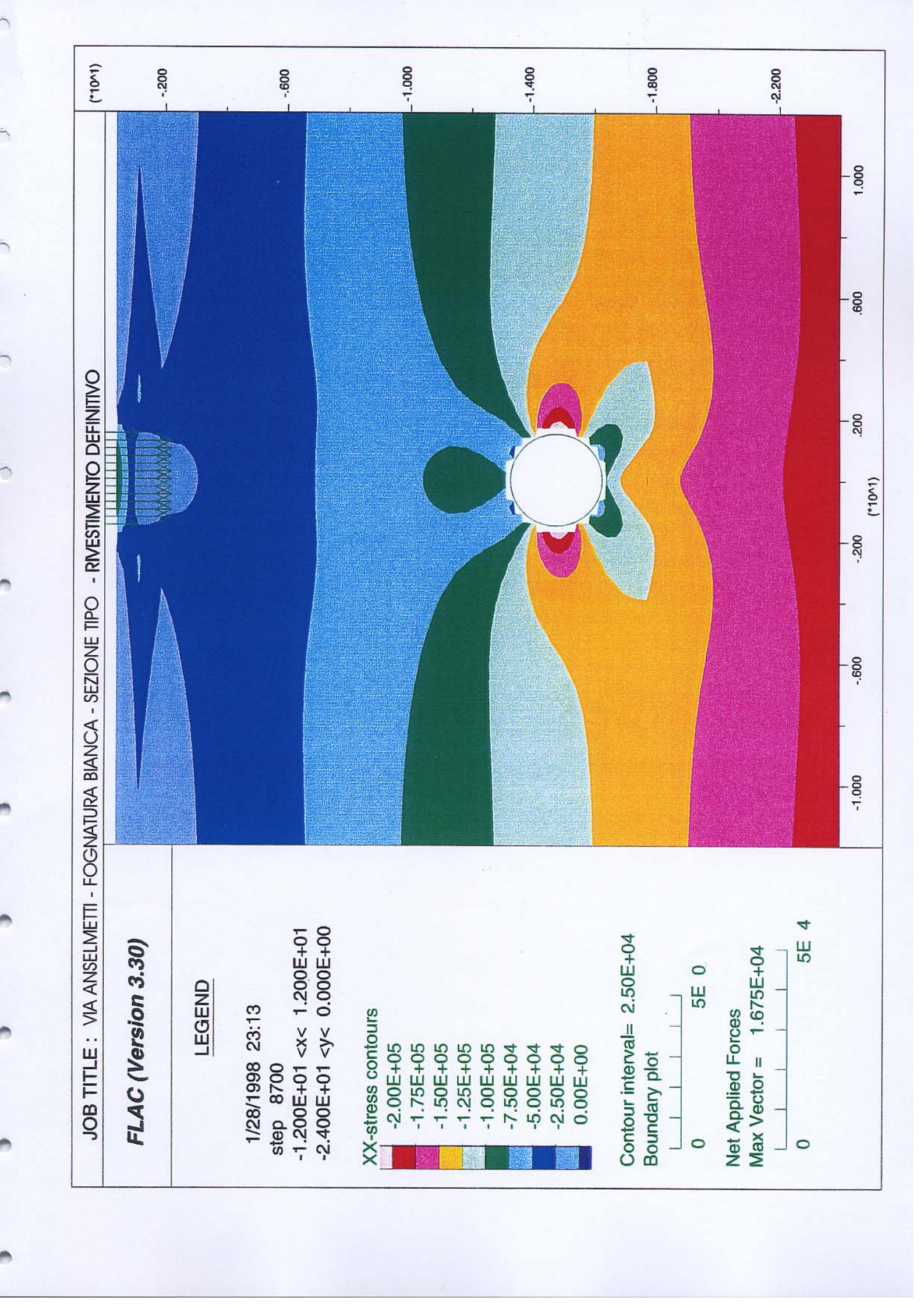


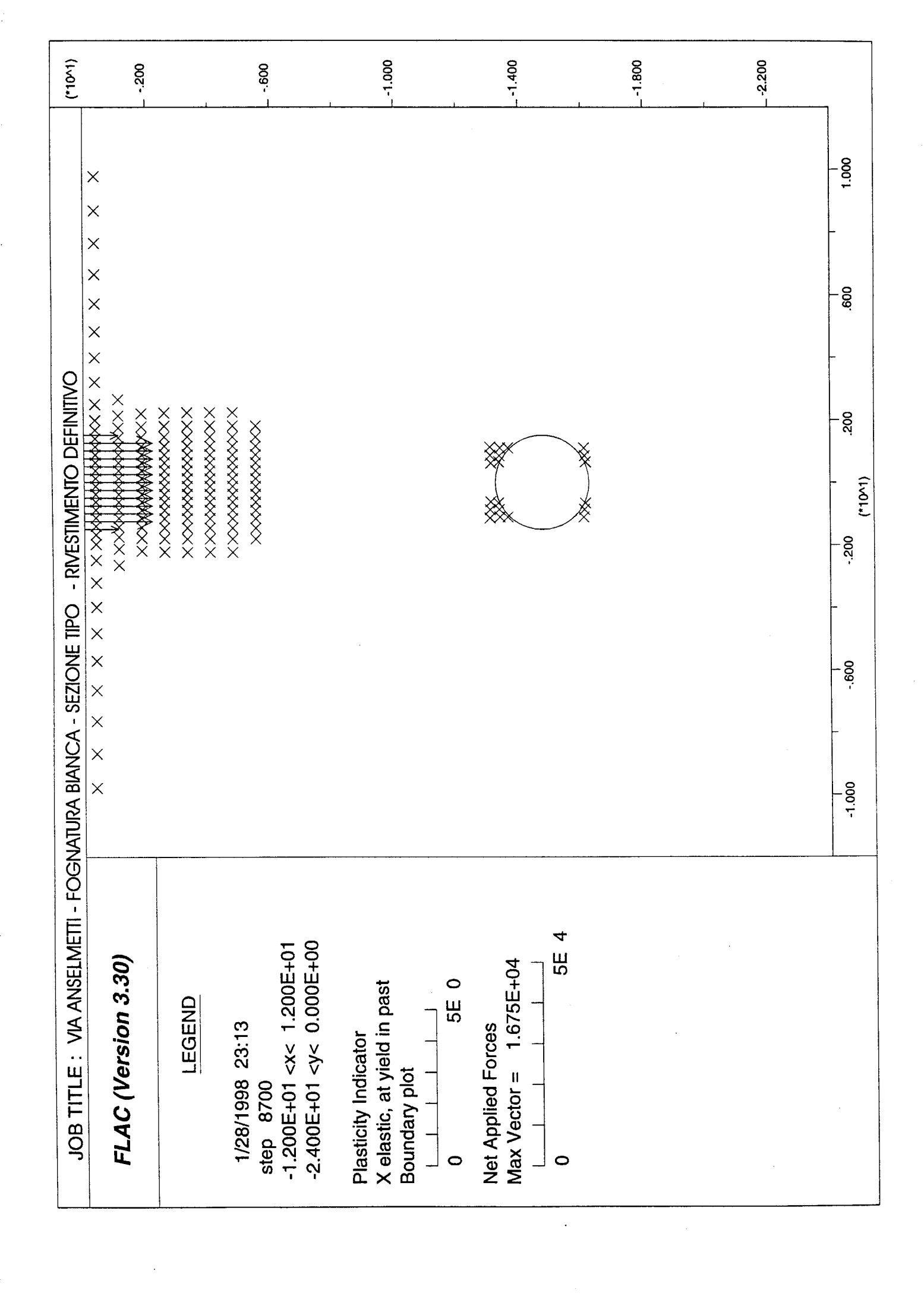


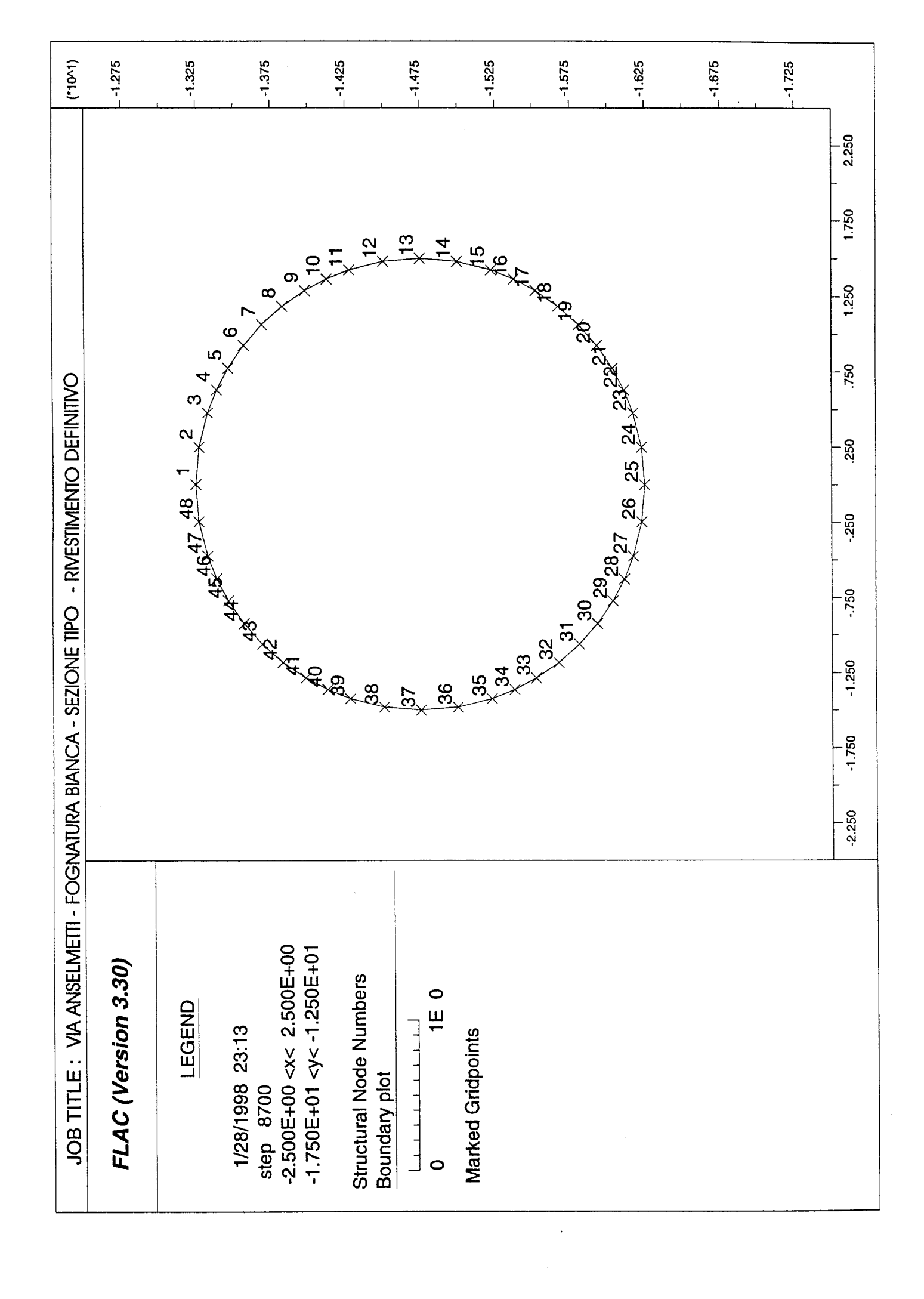








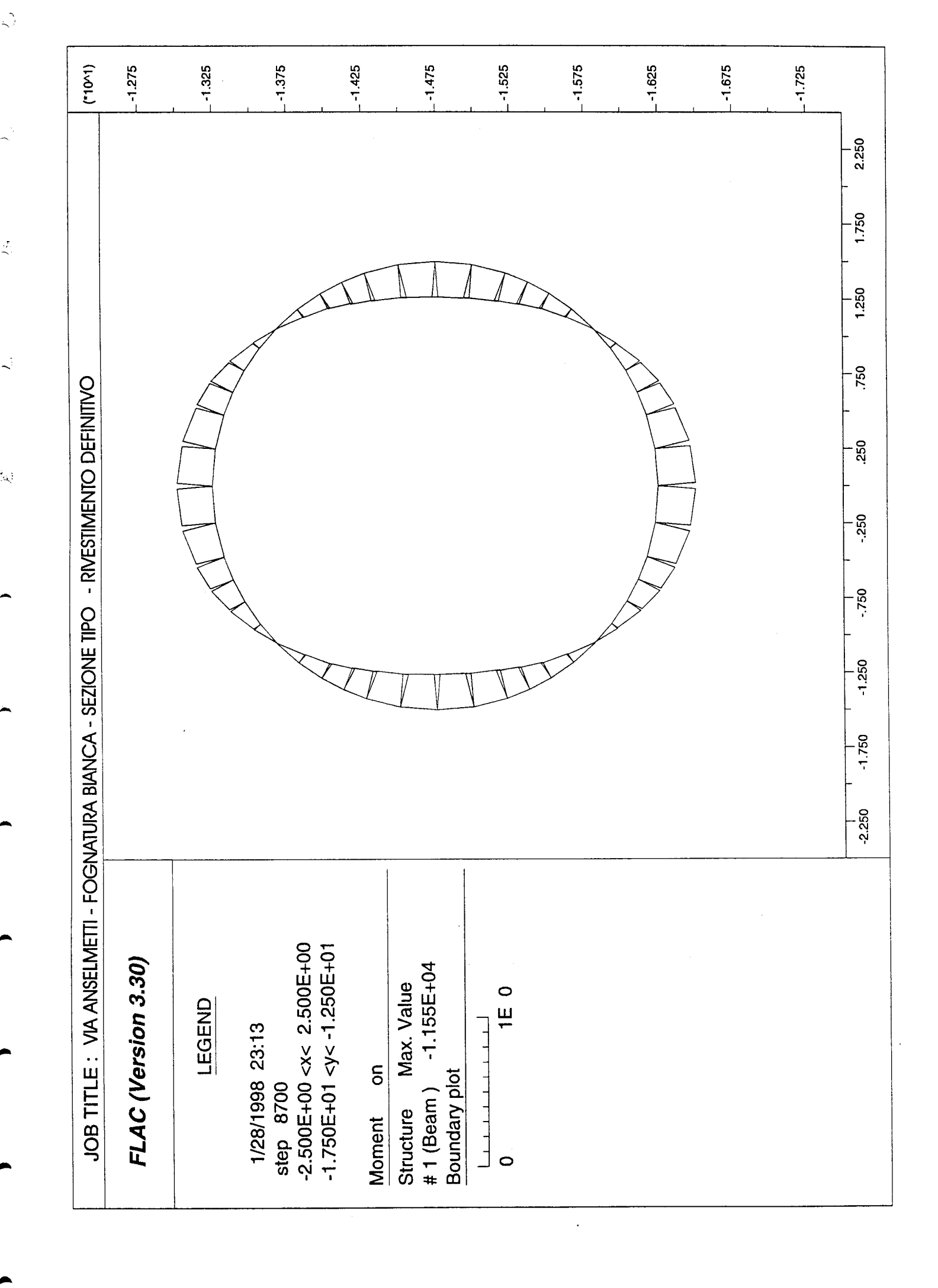


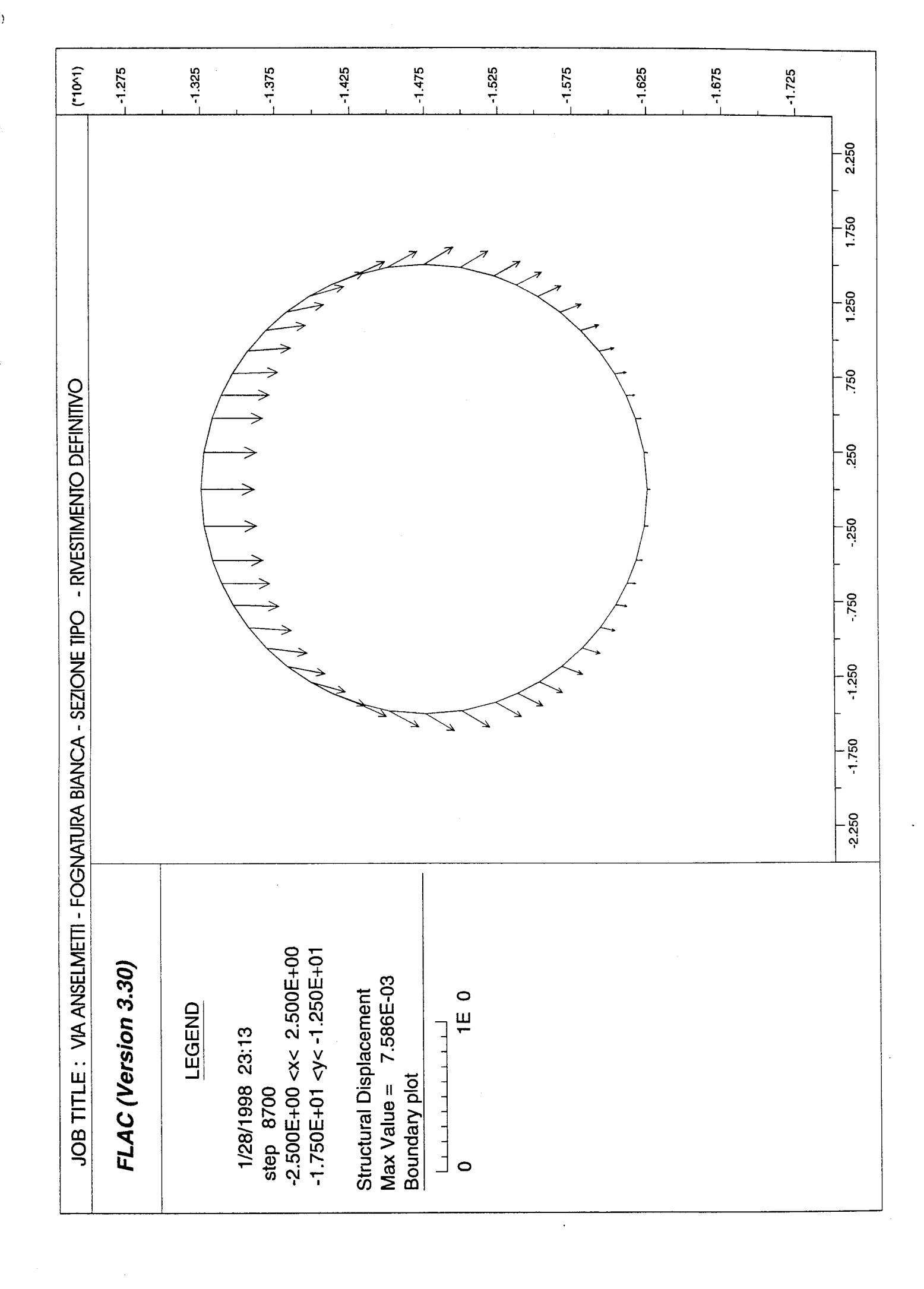


|--|

~;

٤,









PROG. Nº 648

PROGETTO PRELIMINARE –

Comune di



ACCORDO DI PROGRAMMA EX ART. 27 DELLA LEGGE N.142/90 C.A.A.T. / CENTRO AGRO ALIMENTARE DI TORINO - S.I.T.O. / SOCIETA' INTERPORTO TORINO ORBASSANO REALIZZAZIONI OPERE INFRASTRUTTURALI STRADA DEL PORTONE REGOLARIZZAZIONE FOGNATURE IN ZONA MIRAFIORI SUD-OVEST/ COMUNE DI GRUGLIASCO

COSTRUZIONE COLLETTORE DI FOGNATURA LUNGO LA VIA G. C. ANSELMETTI TRA STRADA DEL DROSSO E IL TORRENTE SANGONE - LOTTO II / A -

RELAZIONE DI CALCOLO **DELLE STRUTTURE**

Società Metropolitana Acque Torino S.p.A.

Sede legale: Corso XI Febbraio, 14 - 10152 Torino TO I tel. +39 011 4645.111 - fax. +39 011 4365.575 E-mail: info@smatorino.it Sito web: www.smatorino.it

il Direttore Generale

Dott. Ing. Marco Acri

		I		1	I	
						documento nº:
3						
2						b01
1						
0	Emissione	Settembre 2009	FOLLIS	ACRI	ACRI	All. 05
REV.	DESCRIZIONE	DATA	REDAZIONE	VERIFICA	APPROVAZIONE	

Progettista: Ing. Marco Acri Collaboratori: Geom. Alessandro FOLLIS

Risorse Idriche S.p.A. - Società del gruppo SMAT

Sede legale: C.so XI Febbraio, 14 -10152 Torino Tel. +39 011 4645.1250 /1251- fax: +39 011 4645.1252

Capitale Sociale € 1.241.760,00 € i.v. Codice fiscale-Partita IVA e Registro delle imprese di Torino: 06087720014

E-mail: info@risorseidricheto.it

ATO3 648 RI0235 TANS-PRE-b01 Allegato 05.dwg ID R.I. documento

ing. giorgio salamano	Plazza Vittorio Emanuele (di Città), 12 10015 - Ivrea (TO)	Revisione 0	Oggetto di revisione Prima emissione	Redatto ing. M. Cauda	Verificato MC	Approvato GS	Consegnato
studio tecnico	Tel: 0125 45655 - 0125 44335 E-mail: studio.tecnico@salamano.it	FILE:		PLOTSTYLE/SCAL	E. CAD IET E	DIC IDDICITE -	10.1

PROGETTO

RELAZIONE DI CALCOLO

STRADA DEL DROSSO

1. DESCRIZIONE GENERALE DELLE OPERE

Le opere oggetto della presente relazione consistono nei seguenti manufatti in c.a.:

- canale in galleria;
- pozzo di discesa di diametro 5 m:
- pozzo di discesa di diametro 3 m;
- opere di sfocio nel torrente Sangone.

Il canale in galleria viene scavato con centine metalliche e marciavanti in legno in fase provvisionale, e completato con un getto in c.a. di spessore 50 cm. Prima dell'uscita sull'argine del Sangone la calotta della galleria viene consolidata tramite la realizzazione di micropali orizzontali.

Il comune di Torino è classificato in zona 4 ai sensi dell'Ordinanza P.C.M. n. 3274 e successive modificazioni. Ai sensi del punto 4.7 della stessa Ordinanza le opere oggetto della presente relazione rientrano nella categoria II e pertanto non si procede alla verifica sismica.

2. NORMATIVA DI RIFERIMENTO

L'analisi della struttura in oggetto e' stata fatta utilizzando i metodi usuali della Scienza delle Costruzioni ed in conformità alle normative e leggi vigenti:

- Legge 5/11/1971 n. 1086: Norme per la disciplina delle opere di conglomerato cementizio armato, normale e precompresso ed a struttura metallica.
- Legge 2/2/1974 n. 64: Provvedimenti per le costruzioni con particolari prescrizioni per le zone sismiche.
- C.N.R. 10024/86 del 23/7/1986: Analisi di strutture mediante elaboratore: impostazione e redazione delle relazioni di calcolo
- D.M. 14/2/1992: Norme tecniche per l'esecuzione delle opere in cemento armato normale e precompresso e per le strutture metalliche.
- D.M. 9/1/1996: Norme tecniche per il calcolo, l'esecuzione ed il collaudo delle opere in cemento armato normale e precompresso e per le strutture metalliche.
- D.M. 16/1/1996: Norme tecniche relative ai criteri generali per la verifica della sicurezza delle costruzioni e dei carichi e dei sovraccarichi.
- D.M. 16/1/1996: Norme tecniche per le costruzioni in zona sismica.
- Ordinanza P.C.M. n. 3274 20/03/2003: Primi elementi in materia di criteri generali per la classificazione sismica del territorio nazionale e di normative tecniche per le costruzioni in zona sismica.
- Ordinanza P.C.M. n. 3431 03/05/2005: Ulteriori modifiche ed integrazioni all'ordinanza del Presidente del Consiglio dei Ministri n. 3274 del 20 marzo 2003.

3. CARICHI

SOLETTA SUPERIORE POZZI

POZZO 1		
Peso proprio	1000	kg/mq
Permanente (1,5 m di terreno)	2850	kg/mq
Accidentale	2000	kg/mq
Totale	5850	kg/mq
POZZO S		
Peso proprio	1000	kg/mq
Permanente (1,5 m di terreno)	2850	
Accidentale	1000	kg/mq
Totale	4850	kg/mq

4. MATERIALI E TERRENO

CALCESTRUZZO

Classe C30/35

Rck 300 kg/cmq Diametro max. aggregato 20 mm

Consistenza S4

ACCIAIO PER ARMATURA

Tipo B450C (FeB44k) controllato in stabilimento

ACCIAIO CENTINE

Qualità (EN10025) S275JR Qualità (UNI7070) Fe430B

ACCIAIO MICROPALI

Qualità (EN10025) S355JR Qualità (UNI7070) Fe510B

TERRENO

Massa volumica 2100 kg/mc Angolo di attrito 38 ° Coesione 0,3 kg/cmq

TERRENO DI RIPORTO

Massa volumica 1900 kg/mc Angolo di attrito 30 ° Coesione 0 kg/cmq

5. CODICE DI CALCOLO

Per il calcolo delle sollecitazioni e per la verifica di travi e pilastri in cemento armato si e' fatto ricorso all'elaboratore elettronico utilizzando il seguente programma di calcolo:

- DOLMEN WIN (R), versione 3.1 del 2001 prodotto, distribuito ed assistito dalla CDM DOLMEN srl, con sede in Torino, Via Drovetti 9/F.

Questa procedura e' sviluppata in ambiente Windows, ed e' stata scritta utilizzando i linguaggi Fortran e C. DOLMEN WIN permette l'analisi elastica lineare di strutture tridimensionali con nodi a sei gradi di liberta' utilizzando un solutore ad elementi finiti. Gli elementi considerati sono la trave, con eventuali svincoli interni o rotazione attorno al proprio asse, ed il guscio, sia rettangolare che triangolare, avente comportamento di membrana e di piastra. I carichi possono essere applicati sia ai nodi, come forze o coppie concentrate, sia sulle travi, come forze distribuite, trapezie, concentrate, come coppie e come distorsioni termiche. I vincoli sono forniti tramite le sei costanti di rigidezza elastica.

A supporto del programma e' fornito un ampio manuale d'uso contenente fra l'altro una vasta serie di test di validazione sia su esempi classici di Scienza delle Costruzioni, sia su strutture particolarmente impegnative e reperibili nella bibliografia specializzata.

6. POZZI DI DISCESA

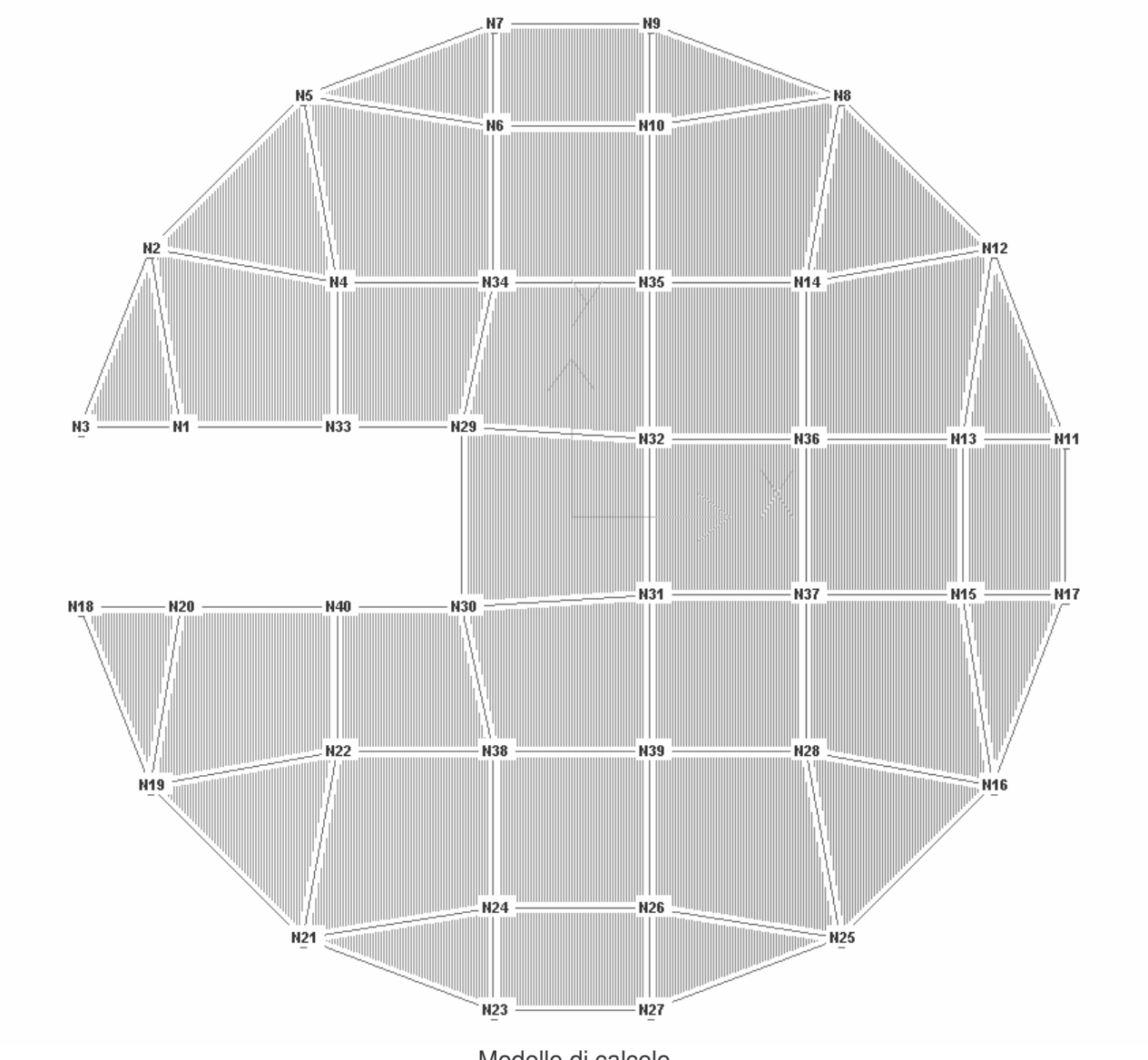
I pozzi di discesa sono costituiti da una struttura anulare di spessore 40 cm e diametro interno di 3 e 5 m. Entrambi i pozzi permettono l'accesso sul fondo alla galleria, mentre in copertura sono chiusi da una soletta in c.a. piena di spessore 40 cm. La profondità dei pozzi è di circa 12,5 m dal piano campagna alla volta della galleria.

La sezione anulare del pozzo è verificata a compressione semplice per la simmetria dei carichi sotto la spinta del terreno in condizioni di spinta a riposo. Di seguito si riporta la verifica della sezione più sollecitata del pozzo 1 che presenta un diametro esterno di 5,8 m.

```
Ko = (1-sen(38^{\circ})) = 0.38
N = 2100 \times 12.5 \times 0.38 \times 5.4 \times 5.8 / 2 = 28 927 \text{ kg}
Sigma = 28 927 / (100 \times 40) = 7.23 \text{ kg/cmq}
```

Evidentemente la sezione non richiede armatura a compressione. Viene comunque disposta un'armatura minima costituita da una doppia rete di Ø10/20x20 al fine di riprendere eventuali asimmetrie di carico.

La soletta superiore viene verificata per mezzo di un modello a elementi finiti di tipo guscio. Le verifiche a SLU e SLE sono riportate in allegato A. Nel seguito si riporta il modello impiegato per la verifica della copertura del pozzo 1. A favore di sicurezza la struttura è considerata semplicemente appoggiata e i gusci perimetrali sono vincolati con cerniere sferiche.



Modello di calcolo

7. GALLERIA

La galleria è costituita da una struttura in c.a. di spessore 50 cm a pareti verticali e volta a botte. In fase provvisionale lo scavo è sostenuto da centine metalliche costituite da profili HEA120 a passo 50 cm e marciavanti in legno. Dal momento che il terreno potrebbe rivelarsi fortemente cementatato sarà facoltà della DL impiegare centine con un passo di 100 cm dopo aver effettuato le opportune verifiche sulla stabilità dello scavo.

In considerazione della natura intrinsecamente aleatoria di questo tipo di intervento, lo scavo dovrà essere costantemente monitorato tramite il posizionamento di mire ottiche fisse in modo da poter intervenire tempestivamente laddove si verificassero spostamenti anomali. Sarà cura della DL valutare in corso d'opera la rispondenza delle caratteristiche del terreno alle ipotesi progettuali in modo da adeguare eventualmente le tecniche di scavo e il dimensionamento della struttura in c.a.

La struttura delle centine è stata verificata in fase provvisionale sotto la spinta di 6 m di terreno al di sopra della calotta, oltre il quale il terreno è comunque in grado di sostenersi con meccanismi resistenti propri e non risente dello scavo sottostante.

La spinta del terreno sulle pareti è stata valutata in condizioni di spinta attiva dal momento che la tecnica dello scavo con centine e marciavanti non è in grado di impedire completamente gli spostamenti del terreno.

$$Ka = (tg(45^{\circ} - 38^{\circ}/2))^{2} = 0.24$$

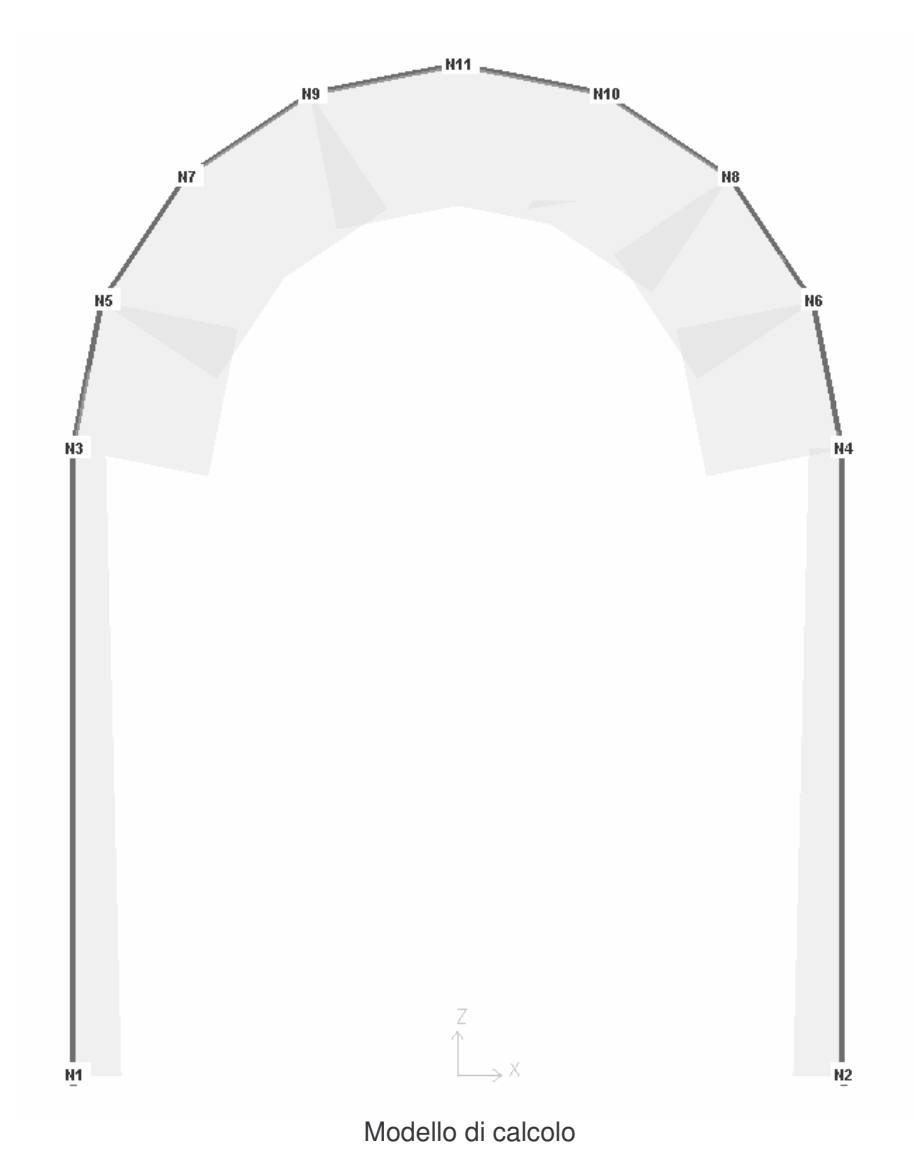
I carichi sulle centine rispettivamente sulla calotta (q) in testa ai ritti (q1) e alla base (q2) in fase provvisionale valgono pertanto:

```
q = 2100 x 6,00 x 0,5 = 6300 kg/m
q1 = 2100 x 6,00 x 0,24 x 0,5 = 1512 kg/m
q2 = 2100 x (6,00 + 2,85) x 0,25 x 0,5 = 2230 kg/m
```

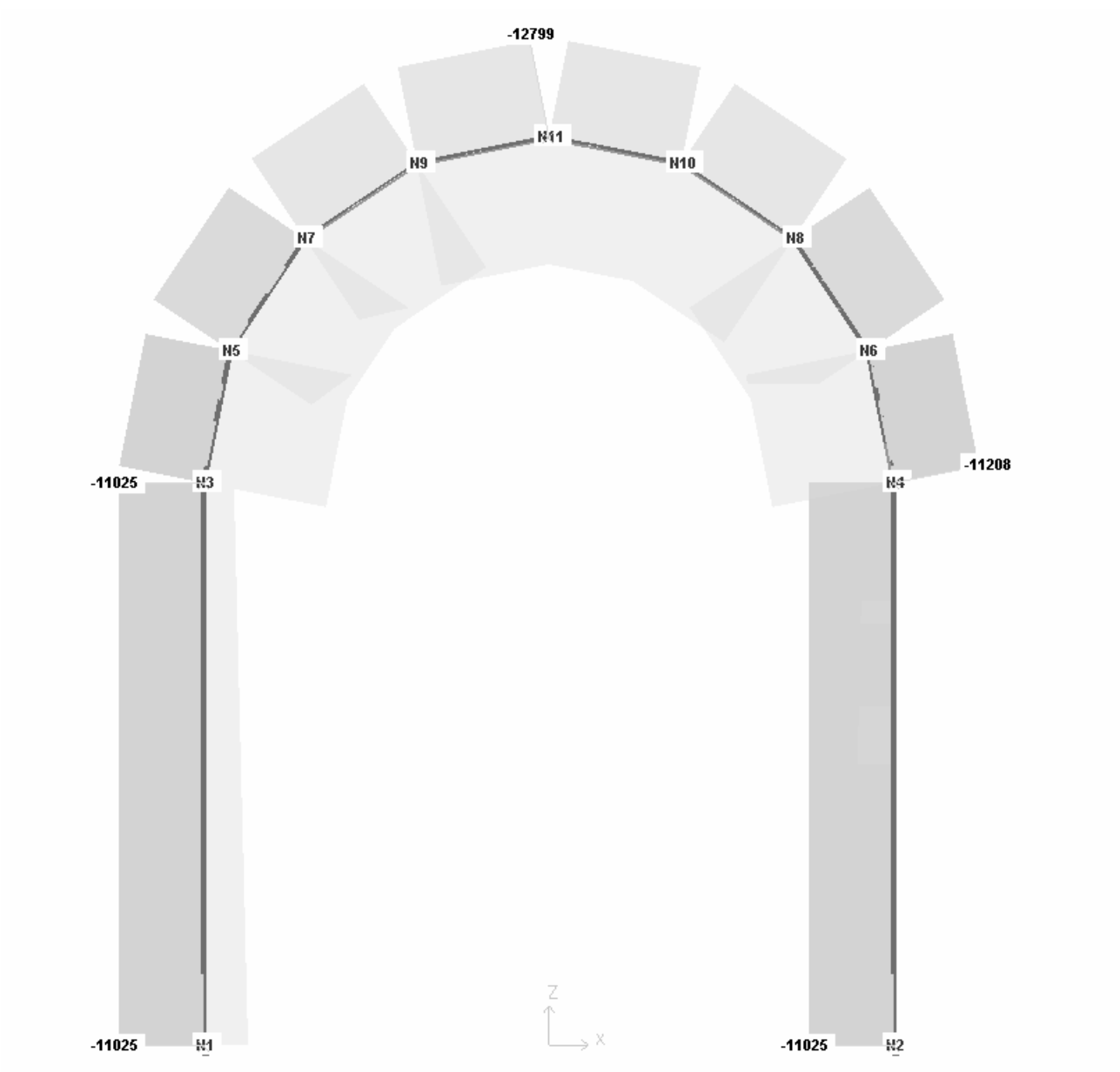
Per la verifica è stato realizzato un modello a elementi finiti di tipo asta il cui schema è riportato nel seguito. La reazione orizzontale al piede, che tenderebbe a far chiudere la centina, può essere ripresa dall'attrito dei piedi con il terreno essendo:

```
N = 11025 kg
T = 3308 kg
coeff. d'attrito = 0,7
T max = 11025 x 0,7 = 7717 kg < T
```

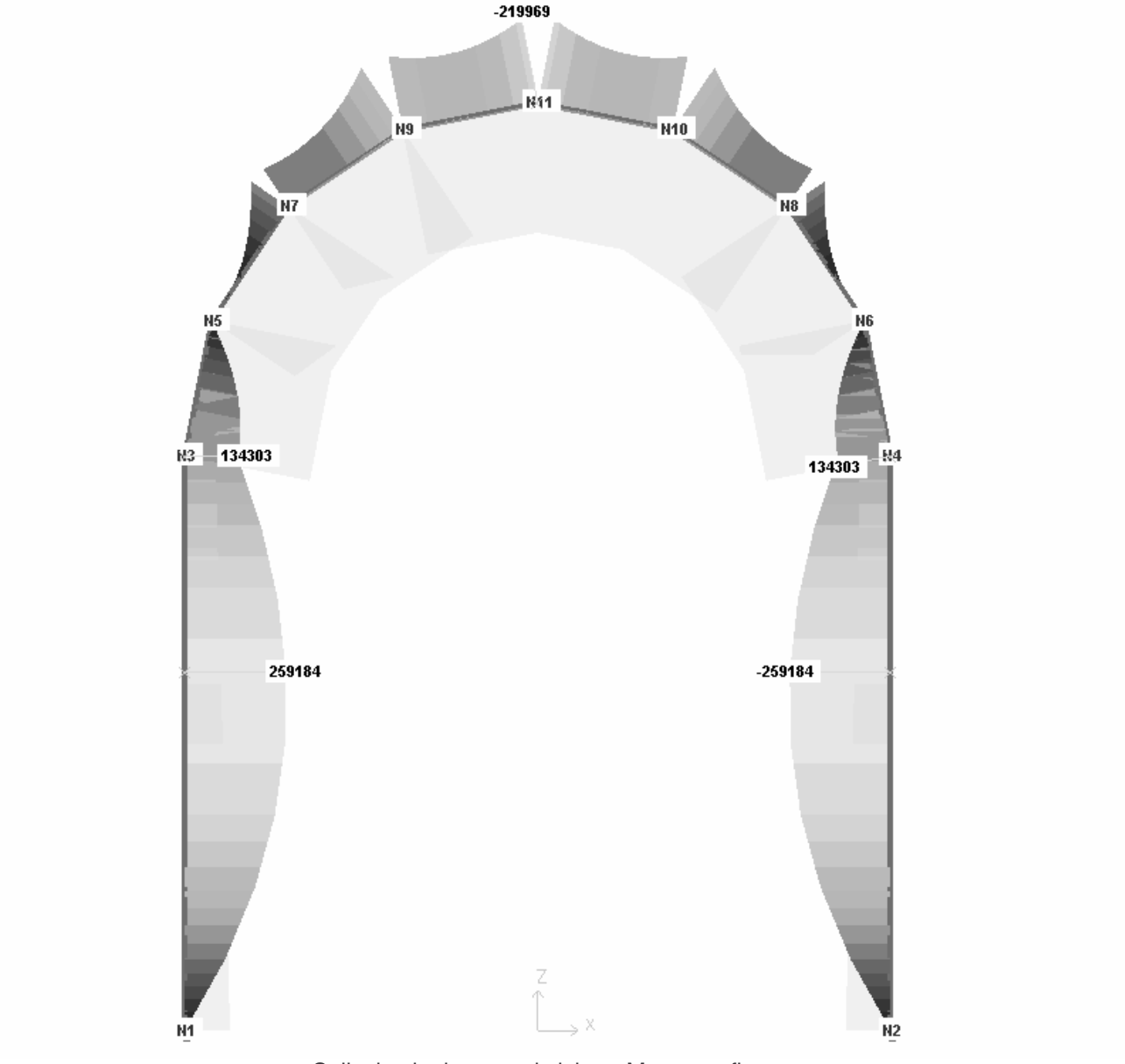
A favore di sicurezza si dispongono dei profili trasversali HEA100 di chiusura delle centine. Sarà facoltà della DL far montare le centine senza chiusura inferiore laddove lo scavo si dimostrasse sufficientemente stabile e in ogni caso sotto costante monitoraggio degli spostamenti.



Strada del Drosso Relazione di calcolo Pagina 5 di 25



Sollecitazioni caratteristiche - Sforzo Normale



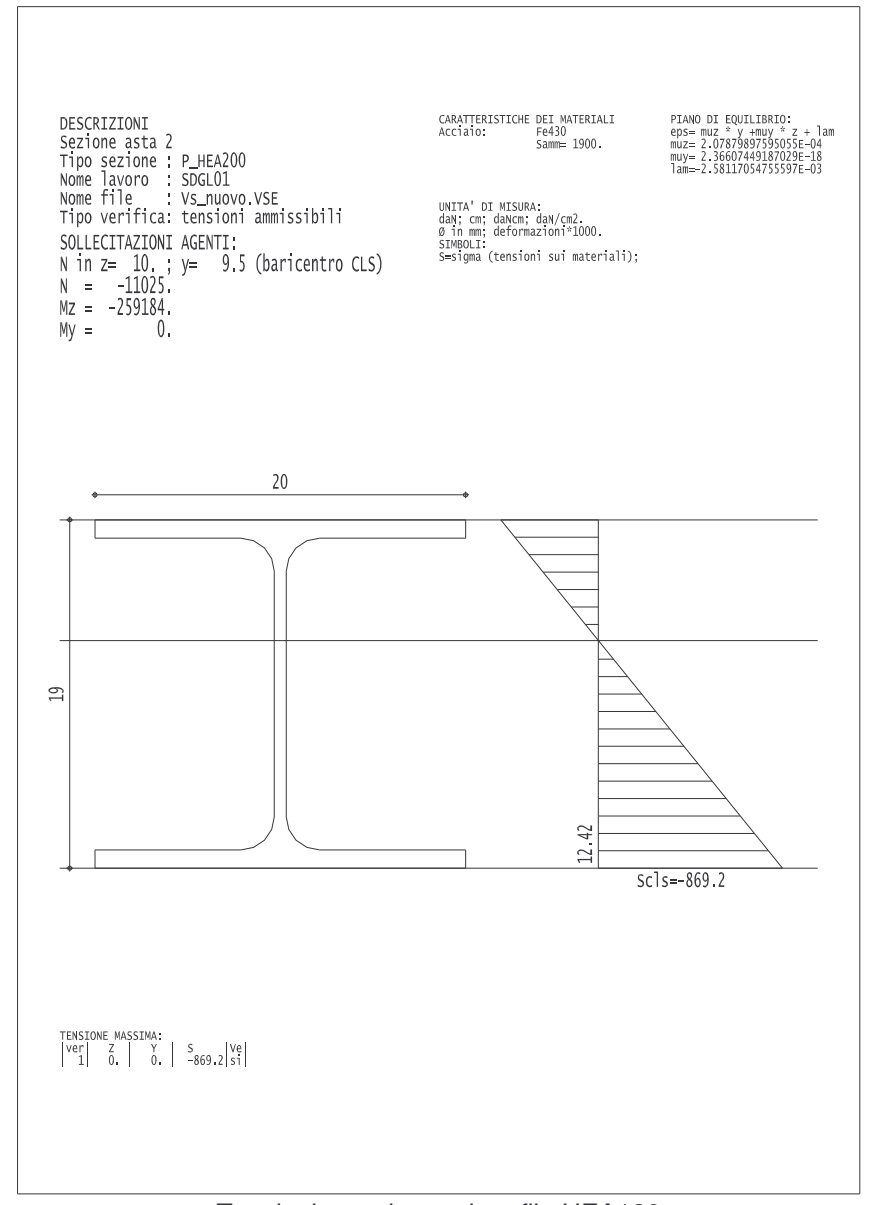
Sollecitazioni caratteristiche - Momento flettente

L'instabilità dei ritti secondo l'asse debole è contrastata dalla presenza di barre trasversali di collegamento Ø24. Secondo l'asse forte si verifica una snellezza pari a:

lambda = 285 / 4,89 = 58,2

non si procede ad ulteriori verifiche di instabilità vista anche la modesta entità delle tensioni.

Nel seguito si riportano le tensioni nelle sezioni più sollecitate sotto la combinazione di carichi caratteristica. I risultati completi dell'analisi strutturale si trovano in allegato B.



Tensioni massime nel profilo HEA120

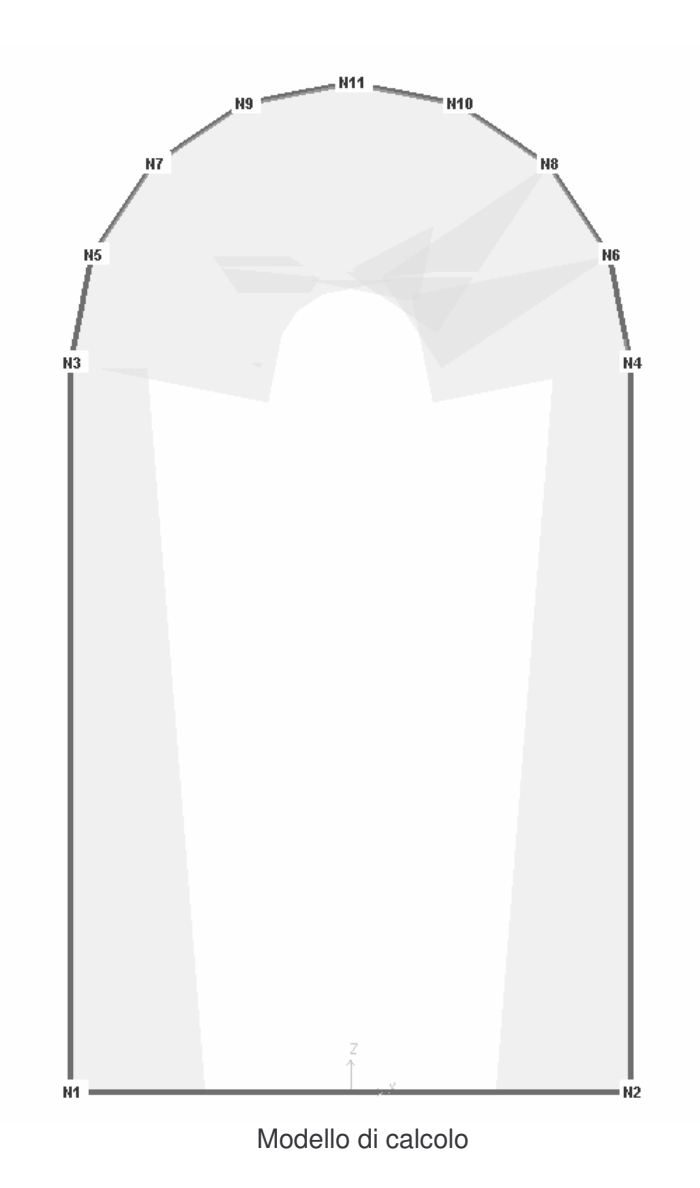
In fase definitiva la spinta del terreno è stata valutata maniera analoga alla fase provvisionale ma in condizioni di spinta a riposo, prevedendo nel tempo un graduale assestamento globale del terreno. Il coefficiente di spinta a riposo viene calcolato con l'espressione di Jaky (1944):

```
Ko = 1-sen(38^{\circ}) = 0.38
```

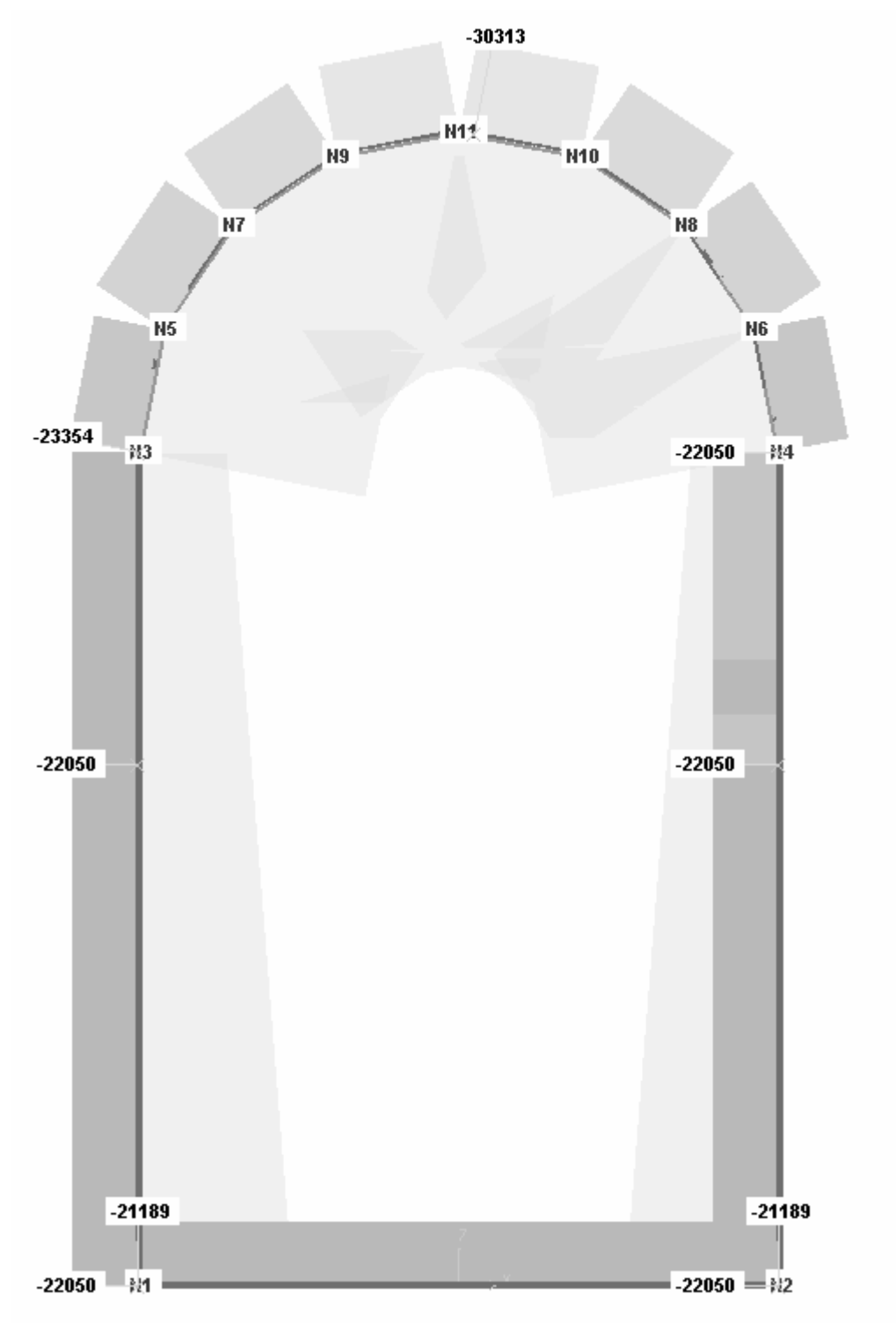
I carichi rispettivamente sulla calotta (q) in testa ai ritti (q1) e alla base (q2) in fase definitiva valgono pertanto, nel caso più sfavorevole della galleria alta:

```
\begin{array}{l} q = 2100 \times 6,00 = 12600 \text{ kg/m} \\ q1 = 2100 \times 6,00 \times 0,24 \times 0,38 = 4788 \text{ kg/m} \\ q2 = 2100 \times (6,00 + 4,55) \times 0,38 = 8419 \text{ kg/m} \end{array}
```

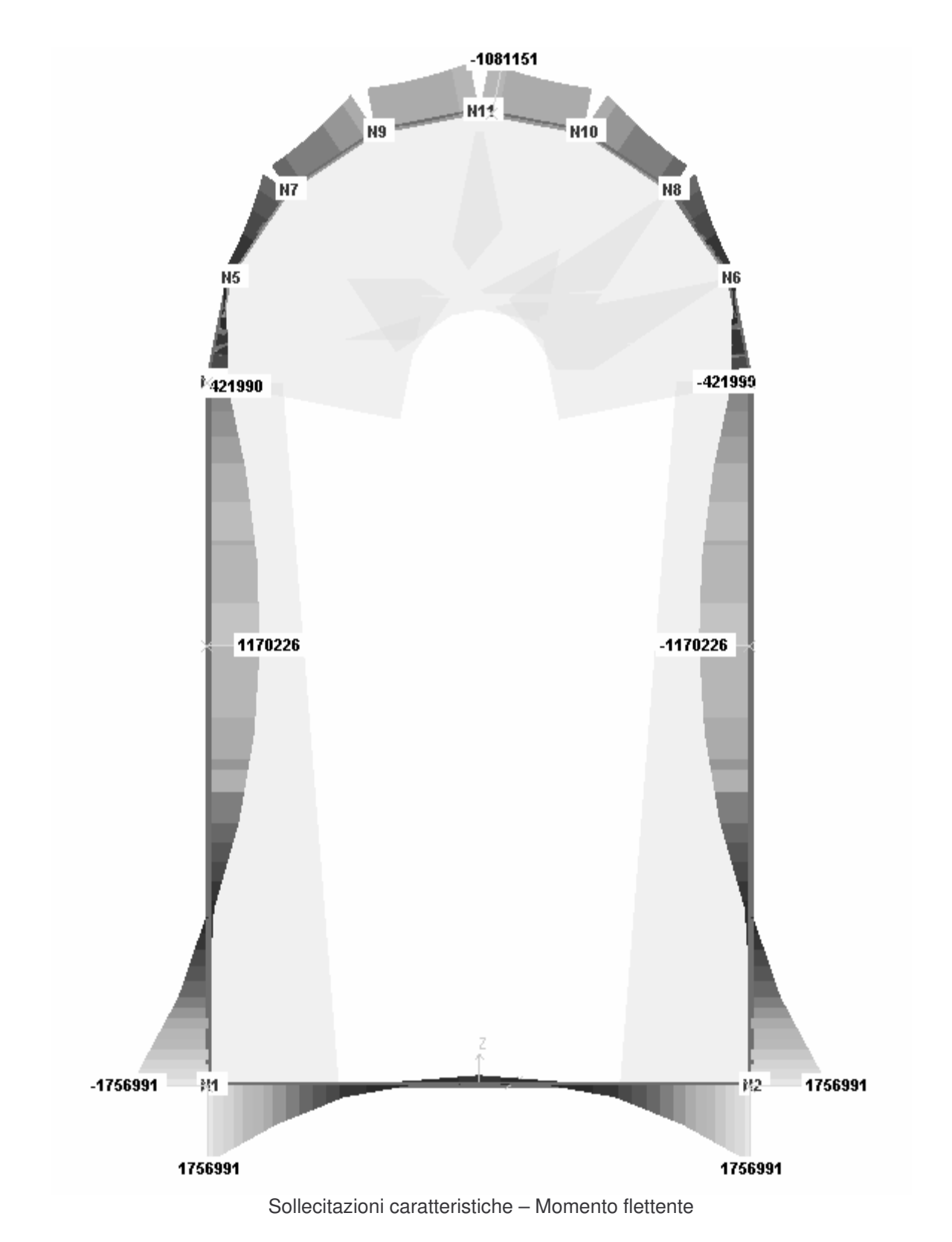
Per la verifica è stato realizzato un modello a elementi finiti di tipo asta il cui schema è riportato nel seguito. L'elemento finito di base è costituito da un elemento su suolo alla Winkler con modulo di reazione Kw = 10 kg/cmq.



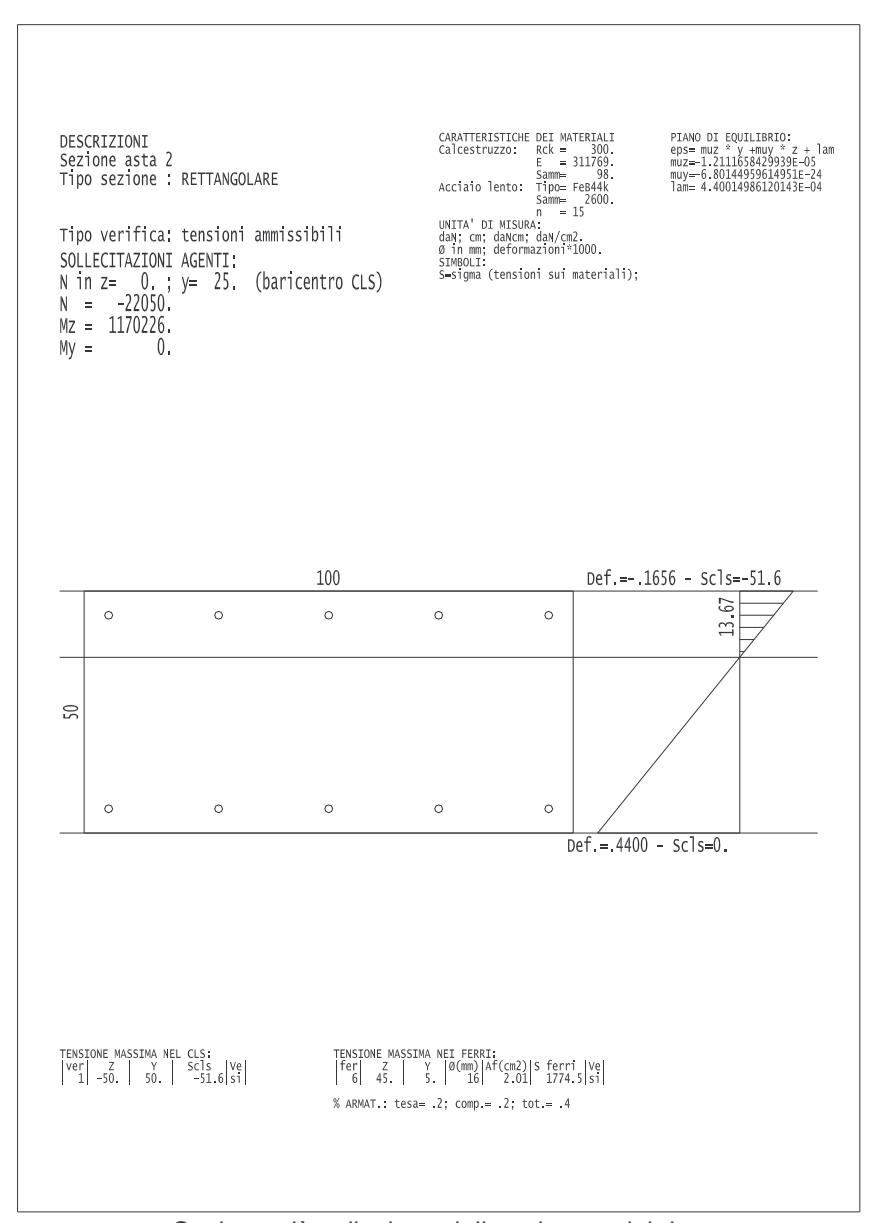
Strada del Drosso Relazione di calcolo Pagina 9 di 25



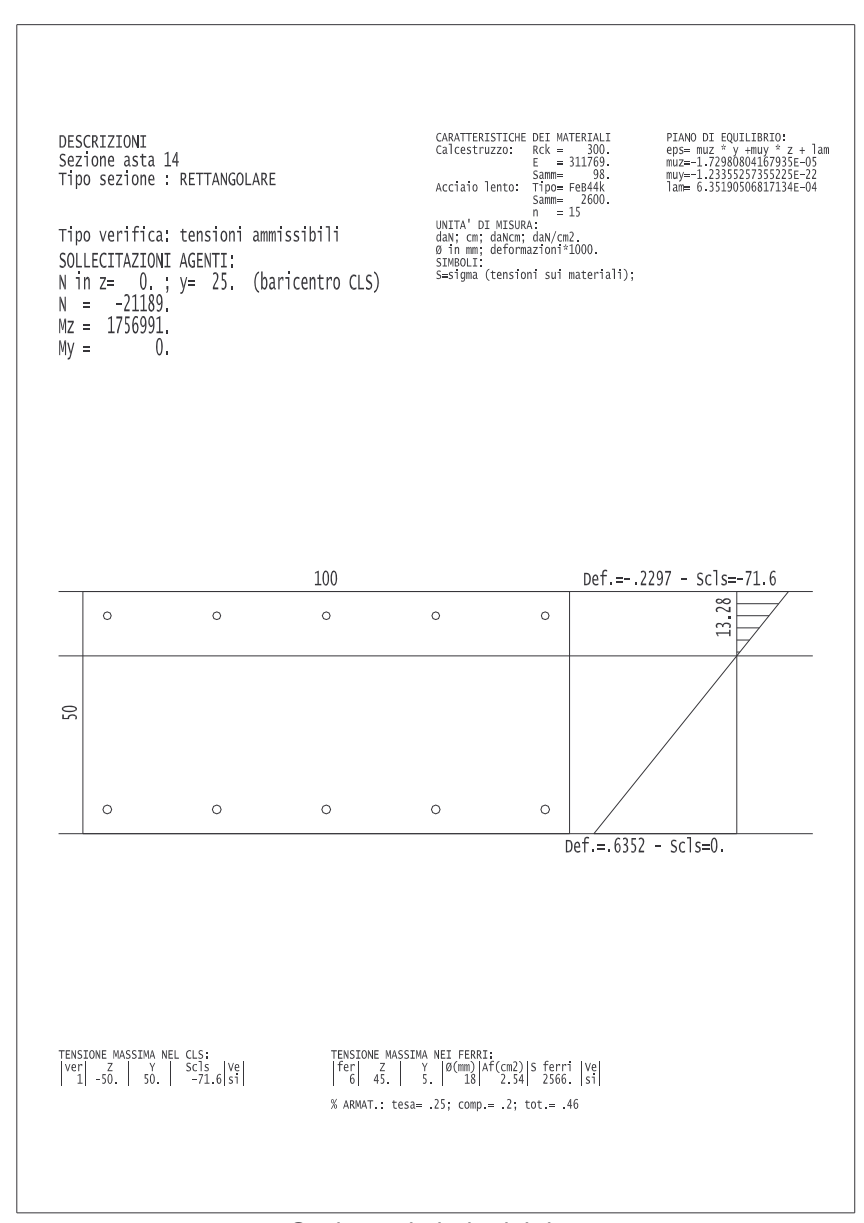
Sollecitazioni caratteristiche - Sforzo normale



Nel seguito si riportano le verifiche delle sezioni più sollecitate con il metodo delle tensioni ammissibili. I risultati completi dell'analisi strutturale si trovano in allegato C.



Sezione più sollecitata della calotta e del ritto



Sezione al piede del ritto

ALLEGATO A VERIFICHE COPERTURA POZZO 1

INVILUPPO ARMATURE TEORICHE GUSCI (EFFETTO MEMBRANA + PIASTRA)

unità di misura:

lunghezze : [cm] - forze : [daN]
momenti : [daNcm/cm]- tensioni : [daN/cm2]
pesi specifici: [daN/cm3] - angoli : [gradi]
armature : [cm2]

CASI DI CARICO:

Nome Descrizione 1 SLU SENZA SISMA

DATI:

tensione di calcolo acciaio (fyd): 3826.09 daN/cm2 tensione di calcolo cls (fcd): 155.62 daN/cm2 copriferro inferiore (asse armatura): 3 cm copriferro superiore (asse armatura): 3 cm moltiplicatore sollecitazioni : 1

					TURA (cm2 a]									
	INF	. ORIZ	ZZ.	INF	. VERTIC.	SUP	. ORIZ	Z.	SUP	. VERT	TC.			
GUSCI	area	EpsC	EpsF	area	EpsC EpsF	area	EpsC	EpsF	area	EpsC	EpsF	tauX	tauY	tauT
1	9.97	0.56	10.00	10.52	0.30 10.00	0.00	0.00	0.00	0.00	0.00	10.00	5.1	0.8	5.2
2	9.97	0.59	10.00	10.52	0.35 10.00	0.00	0.00	0.00	0.00	0.00	0.00	1.8	2.7	3.2
3	9.97	0.52	10.00	10.52	0.16 10.00	0.00	0.00	0.00	0.00	0.00	0.00	1.5	2.5	2.9
4 İ	9.97	0.54	10.00	10.52	0.21 10.00	0.00	0.00	0.00	0.00	0.00	0.00	1.5	2.6	3.0
5 j	9.97	0.22	10.00	10.52	0.53 10.00	0.00	0.00	0.00	0.00	0.00	0.00	2.6	1.3	2.9
6	9.97	0.40	10.00	10.52	0.42 10.00	0.00	0.00	0.00	0.00	0.00	0.00	2.5	2.3	3.4
7 i	9.97	0.18	10.00	10.52	0.53 10.00	0.00	0.00	0.00	0.00	0.00	0.00	2.8	1.4	3.1
8 İ	9.97	0.56	10.00	10.52	0.30 10.00	0.00	0.00	0.00	0.00	0.00	10.00 i	5.1	1.0	5.2
9 i	9.97	0.59	10.00	10.52	0.35 10.00	0.00	0.00	0.00	0.00	0.00	0.00	1.6	2.8	3.2
10	9.97	0.52	10.00	10.52	0.16 10.00	0.00	0.00	0.00	0.00	0.00	0.00	1.3	2.4	2.7
11	9.97		10.00		0.19 10.00	0.00	0.00	0.00	0.00	0.00	0.00	1.5	2.7	3.1
12 İ	9.97		10.00		0.42 10.00	0.00	0.00	0.00	0.00	0.00	0.00	2.6	2.6	3.6
13 İ	9.97	0.59	10.00	10.52	0.90 10.00	0.00	0.00	0.00	0.00	0.00	0.00	1.5	0.2	1.3
14 İ	9.97	0.62	10.00	10.52	0.31 10.00	0.00	0.00	0.00	0.00	0.00	0.00	2.2	1.9	2.0
15 İ	9.97	0.77	10.00	10.52	0.46 10.00	0.00	0.00	0.00	0.00	0.00	0.00	0.3	2.9	1.8
16 İ	9.97	0.61	10.00	10.52	0.35 10.00	0.00	0.00	0.00	0.00	0.00	0.00	1.4	2.4	2.0
17 İ	9.97	0.60	10.00	10.52	0.42 10.00	0.00	0.00	0.00	0.00	0.00	0.00	0.2	0.8	0.7
18 İ	9.97	0.63	10.00	10.52	0.68 10.00	0.00	0.00	0.00	0.00	0.00	0.00	0.3	1.7	1.5
19	9.97	0.55	10.00	10.52	0.16 10.00	0.00	0.00	0.00	0.00	0.00	0.00	0.4	2.7	2.5
20	9.97	0.57	10.00	10.52	0.45 10.00	0.00	0.00	0.00	0.00	0.00	0.00	1.6	2.3	2.0
21 İ	9.97	0.60	10.00	10.52	0.67 10.00	0.00	0.00	0.00	0.00	0.00	0.00	0.5	1.2	0.9
22 j	9.97	0.58	10.00	10.52	0.79 10.00	0.00	0.00	0.00	0.00	0.00	0.00	1.2	0.1	1.1
23 I	9.97	0.63	10.00	10.52	0.68 10.00	0.00	0.00	0.00	0.00	0.00	0.00	0.2	1.7	1.5
24 İ	9.97	0.43	10.00	10.52	0.60 10.00	0.00	0.00	0.00	0.00	0.00	0.00	2.6	1.3	2.1
25 j	9.97	0.16	10.00	10.52	0.51 10.00	0.00	0.00	0.00	0.00	0.00	0.00	2.7	0.4	2.6
26 İ	9.97	0.41	10.00	10.52	0.60 10.00	0.00	0.00	0.00	0.00	0.00	0.00	1.0	0.3	0.9
27 İ	9.97	0.60	10.00	10.52	0.67 10.00	0.00	0.00	0.00	0.00	0.00	0.00	0.5	1.2	0.8
28 İ	9.97	0.43	10.00	10.52	0.60 10.00	0.00	0.00	0.00	0.00	0.00	0.00	2.7	1.3	2.2
29 İ	9.97	0.62	10.00	10.52	0.31 10.00	0.00	0.00	0.00	0.00	0.00	0.00	2.1	1.9	2.0
30 i	9.97	0.77	10.00	10.52	0.46 10.00	0.00	0.00	0.00	0.00	0.00	0.00	0.2	2.9	1.8
31 İ	9.97	0.61	10.00	10.52	0.35 10.00	0.00	0.00	0.00	0.00	0.00	0.00	1.2	2.4	1.9
32 i	9.97		10.00		0.42 10.00	0.00	0.00	0.00	0.00	0.00	0.00	0.2	0.9	0.7
33 i	9.97		10.00		0.14 10.00	0.00	0.00	0.00	0.00	0.00	0.00	0.3	2.5	2.3
34	9.97	0.57	10.00	10.52	0.45 10.00	0.00	0.00	0.00	0.00	0.00	0.00	1.4	2.7	2.2

VERIFICHE A FESSURAZIONE (EFFETTO MEMBRANA + PIASTRA) unità di misura: lunghezze : [cm] momenti : [daNcm/cm] pesi specifici: [daN/cm3] armature : [cm2] : [daN] - tensioni forze : [daN/cm2] angoli : [gradi] CASI DI CARICO: Nome Descrizione Rara (RARA) Frequente (FREQUENTE) Quasi Perm (QUASI PERMANENTE) copriferro inferiore (asse armatura): copriferro superiore (asse armatura): cmAf = area effettiva disposta nello strato indicato (cm2 al metro) wkR = apertura caratteristica per combinazione rara (mm) wkF = '' '' '' frequente (mm) wkP = '' '' '' quasi permanente (mm) - apertura max = 0.3 mm - '' '' = 0.2 mm frequente (mm) - '' '' = 0.2 mm quasi permanente (mm) - '' '' = 0.1 mm wkp = ARMATURA INFERIORE ORIZZONTALE COMBINAZIONE QUASI PERMANENTE Mom Nor sigC sigF WkP 0. 0.000 0.0000 2287 0.14.75 676.0.000 2711 0.17.49 801.0.000 COMBINAZIONE RARA COMBINAZIONE FREQUENTE Af 9.97 9.97 9.97 Afc 0.00 0.00 0.00 NOT SIGC SIGF WKR 0. 39.53 1810. 0.124 0. 41.48 1899. 0.140 0. 36.87 1688. 0.102 0. 37.92 1737. 0.111 0. 15.94 730. 0.000 Nor sigC sigF WkF 0. 0.00 0. 0.000 0. 16.29 746. 0.000 0. 19.31 884. 0.000 Mom 6127 GUSCI Mom 0. 2524 2993 676. 0.000 801. 0.000 6430 5716 0. 18.12 0. 4.11 0. 9.41 0.00 5878 2471 3101 703 0. 20.00 0. 4.53 916. 0.000 208. 0.000 2809 637 830. 0.000 188. 0.000 9 97 9.97 0. 28.89 1323 0.025 0. 13.45 616 0.000 0. 39.53 1810 0.124 0. 41.48 1899 0.140 0. 36.87 1688 0.102 0. 37.86 1734 0.110 1610 703 0. 2524 2993 0. 10.39 0. 4.53 4477 2085 6127 1459 637 9.97 9.97 0.00 476. 0.000 208. 0.000 9.41 4.11 431. 0.000 188. 0.000 0. 4.53 0. 0.00 0. 16.29 0. 19.31 0. 20.00 0. 2287 2711 2809 0. 0.00 0. 14.75 0. 17.49 0. 0.000 676. 0.000 801. 0.000 8 9.97 0.00 0. 0.000 746. 0.000 884. 0.000 916. 0.000 0.00 6430 5716 9.97 0. 17.49 0. 18.12 10 9 97 801. 11 9.97 0.00 5869 3101 830. 0.000 0. 28.89 1323. 0.025 0. 39.38 1803. 0.123 0. 42.58 1950. 0.149 0. 49.43 2263. 0.202 0. 39.69 1818. 0.126 0. 40.58 1858. 0.133 0. 43.84 2008. 0.159 0. 9.41 431. 0.000 0. 25.92 1187. 0.000 0. 17.07 781. 0.000 12 13 9.97 9.97 0.00 4477 1610 4435 0. 10.39 476. 0.000 0. 28.61 1310. 0.022 1459 4017 6104 0. 17.07 781. 0.000 0. 32.53 1490. 0.062 0. 23.37 1070. 0.000 0. 26.71 1223. 0.001 14 9.97 0.00 6601 2920 0. 18.84 863. 0.000 2645 0. 35.91 1644. 0.093 0. 25.80 1181. 0.000 0. 29.48 1350. 0.031 5566 3998 5042 3622 0.00 7662 6153 15 16 17 9 97 0.00 6291 4570 4140 28.85 1321. 0.025 24.48 1121. 0.000 22.04 1009. 0.000 27.47 1258. 0.010 25.99 1190. 0.000 18 19 9.97 9.97 0.00 6796 5766 0. 43.84 2008. 0.159 0. 37.20 1703. 0.104 0. 31.85 27.02 1458. 1238. 0.055 4472 3795 0. 4937 4189 0. 37.20 1703. 0.104 0. 39.33 1801. 0.123 0. 41.73 1911. 0.142 0. 39.49 1808. 0.124 0. 43.84 2008. 0.159 0. 27.90 1278. 0.014 0. 10.16 465. 0.000 0. 26.16 1198. 0.000 0. 41.73 1911. 0.142 0. 27.90 1278. 0.014 0. 42.58 1950. 0.149 0. 49.43 2263. 0.202 24.33 1114. 30.32 1388. 28.69 1314. 3417 4257 4028 20 9.97 0.00 6097 3772 0. 0.000 0. 4700 4447 0.00 6469 21 22 9.97 0.00 6121 0. 0.023 0. 0. 28.85 1... 0. 12.74 583. 0... 0. 3.20 147. 0.000| 0. 17.21 788. 0.000| 0. 27.47 1258. 0.010| 0. 12.74 583. 0.000 17.07 781. 0.000 1490. 0.062 0.00 6796 4937 0. 31.85 1458. 4472 2180 548 2946 9.97 9.97 0.00 4325 1575 0. 14.06 0. 3.53 644. 162. 0.000 1975 496 24 0.00 0.00 0.00 0. 19.00 870. 0.000 1388. 0.040 644. 0.000 2668 26 9.97 4055 27 28 6469 4325 4700 2180 0. 30.32 14.06 1388. 644. 4257 1975 9.97 1950. 0.149 2263. 0.202 1818. 0.126 0.00 6601 2920 0. 18.84 863. 0.000 2645 0. 35.91 1644. 0.093 0. 25.80 1181. 0.000 0. 29.48 1350. 0.031 5042 3622 9.97 9.97 9.97 5566 3998 4570 0. 32.53 0. 23.37 0. 26.71 30 0.00 7662 6153 0. 49.43 0. 39.69 0. 23.37 1070. 0.000 0. 26.71 1223. 0.001 0. 24.48 1121. 0.000 0. 22.04 1009. 0.000 0. 40.58 1858. 0.133 | 0. 37.20 1703. 0.104 | 0. 39.30 1800. 0.122 | 6291 4140 32 0.00 9.97 9.97 0.00 0. 27.02 1238. 0.005 0. 24.33 1114. 0.000 3795 3417 6092 ARMATURA INFERIORE VERTICALE COMBINAZIONE EREQUENTE COMBINAZIONE RARA COMBINAZIONE QUAST PERMANENTE BINAZIONE FREQUENTE Nor sigC sigF WkF 0. 10.23 454. 0.000 0. 7.62 339. 0.000 0. 4.38 194. 0.000 0. 4.53 201. 0.000 0. 19.56 869. 0.000 Af 10.52 10.52 Afc 0.00 0.00 Nor sigC sigF WkR 0. 21.47 954. 0.000 0. 24.91 1106. 0.000 Nor sigC sigF WkP 0. 9.27 411. 0.000 0. 6.91 307. 0.000 Mom 3399 Mom 1619 Mom 1467 3943 1207 1093 0. 24.91 1106. 0.000 0. 11.46 509. 0.000 0. 15.36 682. 0.000 0. 37.04 1645. 0.101 0. 29.28 1300. 0.033 0. 36.96 1641. 0.100 0. 21.47 954. 0.000 0. 24.91 1106. 0.000 0. 11.46 509. 0.000 0. 13.62 605. 0.000 1814 2432 5863 693 717 3097 0. 3.97 0. 4.10 0. 17.72 176. 0.000 182. 0.000 787. 0.000 0.00 628 650 10.52 10.52 0.00 2805 0. 9.68 0. 17.72 0. 9.27 0. 10.68 0. 19.56 0. 10.23 430. 0.000 787. 0.000 411. 0.000 0.00 4635 5850 1691 474. 869. 1532 2805 3097 0.000 8 10.52 0.00 3399 1619 454. 0.000 1467 10.52 10.52 10.52 0.00 0.00 0.00 7.62 4.38 4.53 0. 0. 0. 307. 0.000 176. 0.000 182. 0.000 0. 6.91 3.97 3943 1207 339. 0.000 1093 1814 2156 693 717 194. 201. 0.000 628 650 10 4.10 11 0. 9.68 430. 0.000 37.62 1671. 0.100 10.73 476. 0.000 17.29 768. 0.000 10.21 454. 0.000 12 13 10.52 10.52 0.00 4635 9049 0. 29.28 1300. 0.033 0. 57.17 2539. 0.244 1691 6574 0. 10.68 474. 0. 41.53 1844. 0.000 0.136 1532 5955 0. 0. 20.48 909. 0.000 0. 26.27 1167. 0.002 0. 23.96 1064. 0.000 0. 26.07 1158. 0.000 476. 0.000 768. 0.000 454. 0.000 762. 0.000 10.52 0.00 3241 1875 0. 11.84 526. 0.000 1698 Ö. 0.00 0.00 0.00 0. 19.09 0. 11.27 0. 18.94 0. 0. 0. 15 10.52 10.524159 3021 848. 0.000 2737 1617 3792 4126 1785 2998 501. 841. 0.000 17 10.52 2716 17.16 0.00 6850 1547 0. 43.28 1922. 0.148 0. 9.78 434. 0.000 4976 550 0. 31.44 1396. 0. 3.48 154. 0.053 4508 498 0. 28.48 1265. 0.025 0. 3.15 140. 0.000 18 19 0. 28.61 1270. 0.026 0. 44.81 1990. 0.160 0. 47.93 2129. 0.182 0. 43.28 1922. 0.148 0. 3.48 154. 0. 14.58 648. 0. 32.56 1446. 0. 34.82 1546. 0. 31.44 1396. 13.15 140. 0.000 13.21 587. 0.000 29.49 1310. 0.035 31.54 1401. 0.054 28.48 1265. 0.025 20 21 22 0. 0. 0. 10.52 0.00 4528 2308 0.000 2091 0.00 0.00 0.00 7093 0.063 0.082 10.52 10.52 5153 5512 4668 7587 6850 4993 23 4508 Ö. 4976 0.053 10.52 1748. 0.119 1528. 0.079 0. 24.99 L 0. 28.09 1247. 0 0. 32.56 1446. 0.065 0. 24.46 1086. 0.000 0. 11.84 526. 0.000 0. 19.09 848. 0.000 0.00 6229 5445 39.35 34.40 3871 3956 0. 24.46 24.99 1086. 1110. 0.000 3507 3583 22.16 22.64 984. 1005. 0.000 0. 22.64 1005. 0.000 0. 25.45 1130. 0.000 0. 29.49 1310. 0.035 0. 22.16 984. 0.000 0. 10.73 476. 0.000 10.52 10.52 10.52 10.52 0. 34.40 0. 38.67 0. 44.81 0. 39.31 0. 20.48 0. 26.27 4446 5153 3871 1875 26 27 0.00 6120 7093 1717. 1990. 4028 4668 0.114 0.160

3021 1785

1746. 0.119 909. 0.000

0. 26.27 1167. 0.002 0. 23.96 1064. 0.000

6222 3241

4159 3792

0.00 0.00

0.00

10.52

28 29

984. 0.000 476. 0.000 768. 0.000 454. 0.000

3507 1698

2737 1617

0. 17.29 10.21
 32
 | 10.52
 0.00|
 4126
 0. 26.07
 1158.
 0.000|
 2998
 0. 18.94
 841.
 0.000|
 2716
 0. 17.16
 762.
 0.000|

 33
 | 10.52
 0.00|
 1389
 0. 8.77
 390.
 0.000|
 550
 0. 3.48
 154.
 0.000|
 498
 0. 3.15
 140.
 0.000|

 34
 | 10.52
 0.00|
 4528
 0. 28.61
 1270.
 0.026|
 2308
 0. 14.58
 648.
 0.000|
 2091
 0. 13.21
 587.
 0.000|

ALLEGATO B VERIFICHE CENTINE IN FASE PROVVISIONALE

DATI STRUTTURA:

```
*** DATI STRUTTURA
Unita` di misura :
LUNGHEZZE
                     cm
                    : cm2
SUPERFICI
DATI SEZIONALI
                   : gradi
: daN
ANGOLI
FORZE
MOMENTI
                     daNcm
MOMENTI : dan/cm
CARICHI LINEARI : dan/cm
CARICHI SUPERFIC:: dan/cm2
TENSIONI : dan/cm2
PESI DI VOLUME : dan/cm3
COEFF. DI WINKLER: dan/cm3
RIGIDEZZE VINCOL:: dan/cm - dancm/rad
                                      Coord. Z
0.000
0.000
                      Coord. Y
0.000
0.000
NODI--|-----|-----
          Coord. X
-175.000
175.000
-175.000
175.000
  Nome
                                        285.000
285.000
      3
                             0.000
                                        351.970
351.970
408.744
           -161.679
                             0.000
           161.679
-123.744
                             0.000
      6
            123.744
                             0.000
                                         408.744
            -66.970
66.970
                             0.000
      9
                                         446.679
                                         446.679
     10
               0.000
                            0.000
                                         460.000
ASTE--|-----
                                                      -----|num.=
                   Nodo iniz.
                                     Nodo fin. Rilasci in. Rilasci fin.
         Proprieta
                                                                                         0.0
                   ī
                   1
                                                                                         0.0
      6
                                  9
                                                                                         0.0
                                              11
                                10
      8
                    1
                                 8
                                              10
                                                                                         0.0
                                                                                         0.0
                                                8
                                                                                         0.0
  ROPRIETA ASTE---
Nome Materiale Base
Kw vertic.
2 20.00
PROPRIETA` ASTE---|-----|num.=
                       Base Altezza Area tag. Y Area tag. Z Kw vertic. Kw orizz. J tors. J fless. Z 20.00 19.00 5.38000E+01 1.23500E+01 4.00000E+01 0.000000 0.000000 2.10000E+01 1.33600E+03 3.69200E+03
MATERIALI------|----|num.=
  Nome Mod. elast. Coeff. nu Mod. tang. Peso spec. Dil. te.
2 2.10000E+06 3.00000E-01 8.50000E+05 7.85000E-03 1.00000E-05
VINCOLI-----|num.=
         Rigid. X Rigid. Y
bloccato bloccato
bloccato bloccato
                                    Rigid. Z Rigid. RX Rigid. RY Rigid. RZ
bloccato libero libero libero
bloccato libero libero libero
  Nodo
CARICHI ASTE-----|------|-----| 10
                                  Asta Dir Tip RIF Parametro 1 Parametro 2 Parametro 3 Parametro 4
3 Y FD loc -63.000
10 Y FD loc -63.000
     1 Terreno
        Terreno
                                              FD loc
FD loc
FD loc
      3 Terreno
                                      4 Y
5 Y
                                                           -63.000
      4 Terreno
                                                           -63.000
      5 Terreno
                                                           -63.000
                                              FD loc
                                                           -63.000
                                    7 Y
8 Y
9 Y
2 X
11 X
                                              FD loc
FD loc
      7 Terreno
                                                           -63.000
                                                           -63.000
22.300
      8 Terreno
                                                                     15.120 0.000
-15.120 0.000
      9 Terreno_laterale_+
                                              FT glo
                                                                                                    0.000
                                             FT glo
                                                           -22.300
    10 Terreno_laterale_-
                                                                                                    0.000
CARICHI DI LINEA |-----|----|num.=
            numero coordinata
                                                           Intensità
io fine Descrizione
                      fine Cond. Direz. inizio
             inizio
CONDIZIONI DI CARICO------|-----|-----|num.=
  Nome
        Terreno_
                                  N. carichi: 10
         Lista carichi: 1-10
```

SPOSTAMENTI NODALI:

SPOSTAMENTI NODI

Coefficiente moltiplicativo: 1.000000

NODO	SX	SY	SZ	RX	RY	RZ
1	0.000000	0.000000	0.000000	0.0000000	0.0048744	0.0000000
2	0.000000	0.000000	0.000000	0.0000000	-0.0048744	0.0000000
3	0.494709	0.000000	-0.027811	0.0000000	-0.0022493	0.0000000
4	-0.494709	0.000000	-0.027811	0.0000000	0.0022493	0.0000000
5	0.296589	0.000000	0.004691	0.0000000	-0.0030507	0.0000000
6	-0.296589	0.000000	0.004691	0.0000000	0.0030507	0.0000000
7	0.114054	0.000000	0.117979	0.0000000	-0.0027489	0.0000000
8	-0.114054	0.000000	0.117979	0.0000000	0.0027489	0.0000000
9	0.019028	0.000000	0.246602	0.0000000	-0.0016029	0.0000000
10	-0.019028	0.000000	0.246602	0.0000000	0.0016029	0.0000000
11	0.000000	0.000000	0.302612	0.0000000	0.0000000	0.0000000

REAZIONI VINCOLARI:

REAZIONI VINCOLARI

Coefficiente moltiplicativo: 1.000000

NODO	SX	SY	SZ	RX	RY	RZ
1	-3307.9	0.0	11025.0	0.0	0.0	0.0
2	3307.9	0.0	11025.0	0.0	0.0	0.0

SOLLECITAZIONI ASTE:

SOLLECITAZIONI ASTE

CONDIZION	E :	1 те	rreno			
	misura: Pro TORS [daNcm]		[cm];NORM,T	YY,TZZ [daN]		
Asta PROGR. 0. 36. 71. 107. 143. 178. 214. 249. 285.	NORM -11025.0 -11025.0 -11025.0 -11025.0 -11025.0 -11025.0 -11025.0 -11025.0 -11025.0 -11025.0 -11025.0 -11025.0	nodi TYY 3307.9 2529.5 1783.0 1068.5 386.0 -264.6 -883.2 -1469.8 -2024.4	1 TZZ 0.0 0.0 0.0 0.0 0.0 0.0 0.0 0.0	3 TORS 0.0 0.0 0.0 0.0 0.0 0.0 0.0	MYY 0.0 0.0 0.0 0.0 0.0 0.0 0.0	MZZ 0.0 103884.2 180605.6 231303.3 257116.3 259183.7 238644.5 196637.9 134302.7
Asta PROGR. 0. 9. 17. 26. 34. 43. 51. 60. 68.	3 NORM -11208.1 -11208.1 -11208.1 -11208.1 -11208.1 -11208.1 -11208.1 -11208.1 -11208.1	nodi TYY 165.4 -372.4 -910.1 -1447.8 -1985.5 -2523.2 -3060.9 -3598.7 -4136.4	3 TZZ 0.0 0.0 0.0 0.0 0.0 0.0 0.0 0.0	5 TORS 0.0 0.0 0.0 0.0 0.0 0.0 0.0	MYY 0.0 0.0 0.0 0.0 0.0 0.0 0.0	MZZ 134302.7 133419.3 127946.4 117884.0 103232.0 83990.5 60159.5 31738.9 -1271.2
Asta PROGR. 0. 9. 17. 26. 34. 43. 51. 60. 68.	4 NORM -11937.9 -11937.9 -11937.9 -11937.9 -11937.9 -11937.9 -11937.9 -11937.9	nodi TYY 467.6 -70.1 -607.8 -1145.5 -1683.2 -2221.0 -2758.7 -3296.4 -3834.1	5 TZZ 0.0 0.0 0.0 0.0 0.0 0.0 0.0	7 TORS 0.0 0.0 0.0 0.0 0.0 0.0 0.0 0.0 0.0 0.	MYY 0.0 0.0 0.0 0.0 0.0 0.0 0.0	MZZ -1271.2 425.3 -2467.7 -9950.2 -22022.3 -38683.8 -59935.0 -85775.6 -116205.8
Asta PROGR. 0. 9. 17.	5 NORM -12496.4 -12496.4 -12496.4	nodi TYY 1026.2 488.5 -49.3	7 TZZ 0.0 0.0 0.0	9 TORS 0.0 0.0	MYY 0.0 0.0 0.0	MZZ -116205.8 -109741.9 -107867.6

26. 34. 43. 51. 60.	-12496.4 -12496.4 -12496.4 -12496.4 -12496.4 -12496.4	-587.0 -1124.7 -1662.4 -2200.1 -2737.8 -3275.6	0.0 0.0 0.0 0.0 0.0	0.0 0.0 0.0 0.0 0.0	0.0 0.0 0.0 0.0 0.0	-110582.8 -117887.6 -129781.9 -146265.7 -167339.0 -193001.9
Asta PROGR. 0. 9. 17. 26. 34. 43. 51. 60. 68.	6 NORM -12798.7 -12798.7 -12798.7 -12798.7 -12798.7 -12798.7 -12798.7 -12798.7	nodi TYY 1755.9 1218.2 680.5 142.8 -394.9 -932.7 -1470.4 -2008.1 -2545.8	9 TZZ 0.0 0.0 0.0 0.0 0.0 0.0 0.0 0.0	11 TORS 0.0 0.0 0.0 0.0 0.0 0.0 0.0 0.0	MYY 0.0 0.0 0.0 0.0 0.0 0.0 0.0	MZZ -193001.9 -180309.5 -172206.6 -168693.2 -169769.4 -175435.1 -185690.4 -200535.2 -219969.5
Asta PROGR. 0. 9. 17. 26. 34. 43. 51. 60. 68.	7 NORM -12798.7 -12798.7 -12798.7 -12798.7 -12798.7 -12798.7 -12798.7 -12798.7 -12798.7	nodi TYY 1755.9 1218.2 680.5 142.8 -394.9 -932.7 -1470.4 -2008.1 -2545.8	10 TZZ 0.0 0.0 0.0 0.0 0.0 0.0 0.0 0.0	11 TORS 0.0 0.0 0.0 0.0 0.0 0.0 0.0	MYY 0.0 0.0 0.0 0.0 0.0 0.0 0.0	MZZ -193001.9 -180309.5 -172206.6 -168693.2 -169769.4 -175435.1 -185690.4 -200535.2 -219969.5
Asta PROGR. 0. 9. 17. 26. 34. 43. 51. 60. 68.	8 NORM -12496.4 -12496.4 -12496.4 -12496.4 -12496.4 -12496.4 -12496.4 -12496.4	nodi TYY 1026.2 488.5 -49.3 -587.0 -1124.7 -1662.4 -2200.1 -2737.8 -3275.6	8 TZZ 0.0 0.0 0.0 0.0 0.0 0.0 0.0 0.0	10 TORS 0.0 0.0 0.0 0.0 0.0 0.0 0.0 0.0 0.0 0.	MYY 0.0 0.0 0.0 0.0 0.0 0.0 0.0	MZZ -116205.8 -109741.9 -107867.6 -110582.8 -117887.6 -129781.9 -146265.7 -167339.0 -193001.9
Asta PROGR. 0. 9. 17. 26. 34. 43. 51. 60. 68.	9 NORM -11937.9 -11937.9 -11937.9 -11937.9 -11937.9 -11937.9 -11937.9 -11937.9	nodi TYY 467.6 -70.1 -607.8 -1145.5 -1683.2 -2221.0 -2758.7 -3296.4 -3834.1	6 TZZ 0.0 0.0 0.0 0.0 0.0 0.0 0.0	8 0.0 0.0 0.0 0.0 0.0 0.0 0.0 0.0	MYY 0.0 0.0 0.0 0.0 0.0 0.0 0.0	MZZ -1271.2 425.3 -2467.7 -9950.2 -22022.3 -38683.8 -59935.0 -85775.6 -116205.8
Asta PROGR. 0. 9. 17. 26. 34. 43. 51. 60. 68.	10 NORM -11208.1 -11208.1 -11208.1 -11208.1 -11208.1 -11208.1 -11208.1 -11208.1	nodi TYY 165.4 -372.4 -910.1 -1447.8 -1985.5 -2523.2 -3060.9 -3598.7 -4136.4	4 TZZ 0.0 0.0 0.0 0.0 0.0 0.0 0.0 0.0	6 TORS 0.0 0.0 0.0 0.0 0.0 0.0 0.0 0.0 0.0 0.	MYY 0.0 0.0 0.0 0.0 0.0 0.0 0.0	MZZ 134302.7 133419.3 127946.4 117884.0 103232.0 83990.5 60159.5 31738.9 -1271.2
Asta PROGR. 0. 36. 71. 107. 143. 178. 214. 249. 285.	11 NORM -11025.0 -11025.0 -11025.0 -11025.0 -11025.0 -11025.0 -11025.0 -11025.0	nodi TYY -3307.9 -2529.5 -1783.0 -1068.5 -386.0 264.6 883.2 1469.8 2024.4	2 TZZ 0.0 0.0 0.0 0.0 0.0 0.0 0.0 0.0	4 TORS 0.0 0.0 0.0 0.0 0.0 0.0 0.0	MYY 0.0 0.0 0.0 0.0 0.0 0.0 0.0	MZZ 0.0 -103884.2 -180605.6 -231303.3 -257116.3 -259183.7 -238644.5 -196637.9 -134302.7

ALLEGATO C VERIFICHE GALLERIA IN FASE DEFINITIVA

DATI STRUTTURA:

```
*** DATI STRUTTURA
Unita` di misura :
LUNGHEZZE
                       cm
SUPERFICI
                       cm2
DATI SEZIONALI
                     : cm
ANGOLI
                       gradi
daN
FORZE
MOMENTI
CARICHI LINEARI
                       daN/cm
CARICHI SUPERFIC: dan/cm2
TENSIONI : dan/cm2
PESI DI VOLUME : dan/cm3
PESI DI VOLUME : dan/cm3
COEFF. DI WINKLER: dan/cm3
RIGIDEZZE VINCOL.: dan/cm - dancm/rad
                                                   -|----|num.=
           Coord. X
-175.000
175.000
-175.000
                        Coord. Y
0.000
0.000
                                         Coord. Z
0.000
0.000
  Nome
      1
      3
                               0.000
                                           455.000
      4
            175.000
-161.679
                              0.000
                                           455.000
521.970
      6
             161.679
                               0.000
                                           521.970
            -123.744
123.744
                              0.000
                                           578.744
578.744
              -66.970
66.970
      9
                               0.000
                                           616.679
     10
                               0.000
                                           616,679
                0.000
                               0.000
                                           630,000
                                                        -----|num.=
ASTE--|------|------|------|-
                     a` Nodo iniz.
1
                                                                                               11
         Proprieta`
                                        Nodo fin. Rilasci in. Rilasci fin.
                                                                                         Orient.
  Nome
                     1
                                    3
                                                                                              0.0
                                                                                               0.0
                                    9
      6
7
                     1
                                                 11
                                                                                              0.0
                     ī
                                                                                              0.0
                                   10
                                                  11
                                    8
                                                                                               0.0
      9
                     1
                                    6
4
2
                                                   8
                                                                                              0.0
                     ī
     10
                                                                                               0.0
     14
                                                                                              0.0
PROPRIETA` ASTE---|------|-
                              Base
                                      Altezza Area Area tag. Y Area tag. Z
Kw orizz. J tors. J fless. Y J fless. Z
50.00 5.00000E+03 4.16667E+03 4.16667E+03
0.000000 2.86098E+06 4.16667E+06 1.04167E+06
50.00 5.00000E+03 4.16667E+03 4.16667E+03
10.000000 2.86098E+06 4.16667E+06 1.04167E+06
  Nome Materiale
                       Kw vertic.
100.00
                     1
                         0.000000
                             100.00
                         10.000000
MATERIALI------|------|------|------|------|num.=
Nome Mod. elast. Coeff. nu Mod. tang. Peso spec. Dil. te.
1 3.00000E+05 1.50000E-01 1.30000E+05 2.50000E-03 1.00000E-05
  Nodo Rigid. X Rigid. Y Rigid. Z Rigid. RX Rigid. RY Rigid. RZ
CARICHI ASTE-----|-----|num.=
                                     Asta Dir Tip RIF Parametro 1 Parametro 2 Parametro 3 Parametro 4
3 Y FD loc -126.000
10 Y FD loc -126.000
  Nome
1 Terreno
        Terreno
      3 Terreno
                                                 FD loc
                                                             -126.000
-126.000
      4 Terreno
                                         6
7
8
                                                 FD loc
      5 Terreno
                                                              -126.000
      6 Terreno
                                                 FD loc
                                                              -126.000
                                                              -126.000
        Terreno
                                                 FD loc
                                                              -126.000
      8 Terreno
                                                                                             0.000
      9 Terreno_laterale_+
                                       2 X
11 X
                                                 FT glo
                                                                84.190
                                                                             47.880
                                                                                                           0.000
                                                FT ğlo
     10 Terreno_laterale_-
                                                              -84.190
                                                                             -47.880
                                                                                             0.000
                                                                                                           0.000
CARICHI DI LINEA |-----|-----|-----| 0
                       coordinata Intensità Intensità fine Cond. Direz. inizio fine Descrizione
             numero coordinata
         inizio
  Nome
CONDIZIONI DI CARICO-----|----|num.=
  Nome
         Terreno_
                                     N. carichi: 10
          Lista carichi: 1-10
```

SPOSTAMENTI NODALI:

SPOSTAMENTI NODI

Coefficiente moltiplicativo: 1.000000

NODO	SX	SY	SZ	RX	RY	RZ
1	0.002472	0.000000	-0.111584	0.0000000	0.0002471	0.0000000
2	-0.002472	0.000000	-0.111584	0.0000000	-0.0002471	0.0000000
3	0.075827	0.000000	-0.118272	0.0000000	-0.0004397	0.0000000
4	-0.075827	0.000000	-0.118272	0.0000000	0.0004397	0.0000000
5	0.043099	0.000000	-0.112846	0.0000000	-0.0004778	0.0000000
6	-0.043099	0.000000	-0.112846	0.0000000	0.0004778	0.0000000
7	0.016325	0.000000	-0.096410	0.0000000	-0.0003962	0.0000000
8	-0.016325	0.000000	-0.096410	0.0000000	0.0003962	0.0000000
9	0.002909	0.000000	-0.078707	0.0000000	-0.0002229	0.0000000
10	-0.002909	0.000000	-0.078707	0.0000000	0.0002229	0.0000000
11	0 000000	0 000000	-0 071155	0 0000000	0 0000000	0 0000000

SOLLECITAZIONI ASTE:

SOLLECITAZIONI ASTE

CONDIZIONE	:	1 Tei	reno		
			[cm];NORM,TY	······································	
MZZ,MYY,T Asta PROGR. 0. 57. 114. 171. 228. 284. 341. 398.	ORS [daNcm 2 NORM -22050.0 -22050.0 -22050.0 -22050.0 -22050.0 -22050.0 -22050.0 -22050.0 -22050.0 -22050.0 -22050.0	nodi TYY 21188.7 16529.5 12128.4 7985.4 4100.6 473.9 -2894.6 -6005.0 -8857.2	1 TZZ 0.0 0.0 0.0 0.0 0.0 0.0 0.0 0.0	3 TORS 0.0 0.0 0.0 0.0 0.0 0.0 0.0	MYY MZZ 0.0 -1756991.1 0.0 -685605.0 0.0 128127.9 0.0 698889.6 0.0 1041361.6 0.0 1170226.0 0.0 1100164.3 0.0 845858.6 0.0 421990.4
9. 17. 26. 34. 43. 51. 60.	3 NORM -23354.3 -23354.3 -23354.3 -23354.3 -23354.3 -23354.3 -23354.3 -23354.3	nodi TYY -4385.3 -5460.7 -6536.2 -7611.6 -8687.0 -9762.5 -10837.9 -11913.3 -12988.8	3 TZZ 0.0 0.0 0.0 0.0 0.0 0.0 0.0 0.0	5 TORS 0.0 0.0 0.0 0.0 0.0 0.0 0.0	MYY 0.0 421990.4 0.0 379971.5 0.0 328773.4 0.0 268396.4 0.0 198840.2 0.0 120105.0 0.0 32190.8 0.0 -64902.5 0.0 -171174.9
9. 17. 26. 34. 43. 51. 60.	4 NORM -26547.1 -26547.1 -26547.1 -26547.1 -26547.1 -26547.1 -26547.1 -26547.1	nodi TYY -3062.8 -4138.2 -5213.7 -6289.1 -7364.5 -8440. -9515.4 -10590.8 -11666.3	5 TZZ 0.0 0.0 0.0 0.0 0.0 0.0 0.0 0.0	7 TORS 0.0 0.0 0.0 0.0 0.0 0.0 0.0 0.0 0.0	MYY 0.0 -171174.9 0.0 -201906.0 0.0 -241816.2 0.0 -290905.4 0.0 -349173.7 0.0 -416621.0 0.0 -579052.9 0.0 -674037.4
9. 17. 26. 34. 43. 51. 60.	5 NORM -28990.8 -28990.8 -28990.8 -28990.8 -28990.8 -28990.8 -28990.8 -28990.8	nodi TYY -619.1 -1694.5 -2769.9 -3845.4 -4920.8 -5996.2 -7071.7 -8147.1 -9222.5	7 TZZ 0.0 0.0 0.0 0.0 0.0 0.0 0.0 0.0 0.0 0	9 TORS 0.0 0.0 0.0 0.0 0.0 0.0 0.0	MYY
9. 17. 26. 34. 43. 51.	6 NORM -30313.4 -30313.4 -30313.4 -30313.4 -30313.4 -30313.4 -30313.4	nodi TYY 2573.8 1498.3 422.9 -652.5 -1728.0 -2803.4 -3878.8 -4954.3	9 TZZ 0.0 0.0 0.0 0.0 0.0 0.0 0.0	11 TORS 0.0 0.0 0.0 0.0 0.0 0.0 0.0	MYY MZZ 0.0 -1010037.7 0.0 -992659.6 0.0 -984460.5 0.0 -985440.5 0.0 -995599.5 0.0 -1014937.6 0.0 -1043454.8 0.0 -1081151.0

68.	-30313.4	-6029.7	0.0	0.0	0.0	-1128026.2
Asta PROGR. 0. 9. 17. 26. 34. 43. 51. 60. 68.	7 NORM -30313.4 -30313.4 -30313.4 -30313.4 -30313.4 -30313.4 -30313.4 -30313.4	nodi TYY 2573.8 1498.3 422.9 -652.5 -1728.0 -2803.4 -3878.8 -4954.3 -6029.7	10 TZZ 0.0 0.0 0.0 0.0 0.0 0.0 0.0 0.0	11 TORS 0.0 0.0 0.0 0.0 0.0 0.0 0.0	0.0 0.0 0.0 0.0 0.0 0.0	MZZ -1010037 -992659.6 -984460.5 -985440.5 -995599.5 -1014937.6 -1043454.8 -1081151.0 -1128026.2
Asta PROGR. 0. 9. 17. 26. 34. 43. 51. 60. 68.	8 NORM -28990.8 -28990.8 -28990.8 -28990.8 -28990.8 -28990.8 -28990.8 -28990.8 -28990.8	nodi TYY -619.1 -1694.5 -2769.9 -3845.4 -4920.8 -5996.2 -7071.7 -8147.1 -9222.5	8 TZZ 0.0 0.0 0.0 0.0 0.0 0.0 0.0 0.0	10 TORS 0.0 0.0 0.0 0.0 0.0 0.0 0.0	MYY 0.0 0.0 0.0 0.0 0.0 0.0 0.0	MZZ -674037.4 -683910.7 -702963.1 -731194.6 -768605.1 -815194.7 -870963.3 -935911.0 -1010037.7
Asta PROGR. 0. 9. 17. 26. 34. 43. 51. 60. 68.	9 NORM -26547.1 -26547.1 -26547.1 -26547.1 -26547.1 -26547.1 -26547.1	nodi TYY -3062.8 -4138.2 -5213.7 -6289.1 -7364.5 -8440.0 -9515.4 -10590.8 -11666.3	6 TZZ 0.0 0.0 0.0 0.0 0.0 0.0 0.0 0.0	8 TORS 0.0 0.0 0.0 0.0 0.0 0.0 0.0	MYY 0.0 0.0 0.0 0.0 0.0 0.0 0.0 0.0	MZZ -171174.9 -201906.0 -241816.2 -290905.4 -349173.7 -4166247.4 -579052.9 -674037.4
Asta PROGR. 0. 9. 17. 26. 34. 43. 51. 60. 68.	10 NORM -23354.3 -23354.3 -23354.3 -23354.3 -23354.3 -23354.3 -23354.3 -23354.3	nodi TYY -4385.3 -5460.7 -6536.2 -7611.6 -8687.0 -9762.5 -10837.9 -11913.3 -12988.8	4 TZZ 0.0 0.0 0.0 0.0 0.0 0.0 0.0 0.0	6 TORS 0.0 0.0 0.0 0.0 0.0 0.0 0.0	MYY 0.0 0.0 0.0 0.0 0.0 0.0 0.0 0.0	MZZ 421990.4 379971.5 328773.4 268396.4 198840.2 120105.0 32190.8 -64902.5 -171174.9
Asta PROGR. 0. 57. 114. 171. 228. 284. 341. 398. 455.	11 NORM -22050.0 -22050.0 -22050.0 -22050.0 -22050.0 -22050.0 -22050.0 -22050.0	nodi TYY -21188.7 -16529.5 -12128.4 -7985.4 -4100.6 -473.9 2894.6 6005.0 8857.2	2 TZZ 0.0 0.0 0.0 0.0 0.0 0.0 0.0 0.0	4 TORS 0.0 0.0 0.0 0.0 0.0 0.0 0.0 0.0	0.0	MZZ 1756991.1 685605.0 -128127.9 -698889.6 -1041361.6 -1170226.0 -1100164.3 -845858.6 -421990.4
Asta PROGR. 0. 44. 88. 131. 175. 219. 263. 306. 350.	14 NORM -21188.7 -21188.7 -21188.7 -21188.7 -21188.7 -21188.7 -21188.7 -21188.7 -21188.7	nodi TYY -22050.0 -16951.4 -11498.0 -5808.1 0.0 5808.1 11498.0 16951.4 22050.0	1 TZZ 0.0 0.0 0.0 0.0 0.0 0.0 0.0 0.0	2 TORS 0.0 0.0 0.0 0.0 0.0 0.0 0.0	MYY 0.0 0.0 0.0 0.0 0.0 0.0 0.0	MZZ 1756991.1 902326.5 278917.4 -100301.7 -227570.4 -100301.7 278917.4 902326.5 1756991.1